



TUGAS AKHIR – RC 14-1501

**MODIFIKASI PERENCANAAN FLY OVER
LINGKAR DALAM BARAT SURABAYA DENGAN
MENGGUNAKAN BALOK BOX GIRDER
PRATEKAN**

IRVAN PRATAMA PASAK
NRP 03111240000066

Dosen Konsultasi I
Prof. Dr. Ir. I GUSTI PUTU RAKA

Dosen Konsultasi II
DATA IRANATA,ST.MT. PhD.

DEPARTEMEN TEKNIK SIPIL
Fakultas Teknik Sipil, Lingkungan dan Kebumian
Institut Teknologi Sepuluh Nopember
Surabaya 2018



TUGAS AKHIR – RC 14-1501

**MODIFIKASI PERENCANAAN FLY OVER LINGKAR
DALAM BARAT SURABAYA DENGAN MENGGUNAKAN
BALOK BOX GIRDER PRATEKAN**

IRVAN PRATAMA PASAK

NRP 03111240000066

Dosen Konsultasi I

Prof. Dr. Ir. I GUSTI PUTU RAKA

Dosen Konsultasi II

DATA IRANATA,ST.MT. PhD.

DEPARTEMEN TEKNIK SIPIL

Fakultas Teknik Sipil, Lingkungan dan Kebumian

Institut Teknologi Sepuluh Nopember

Surabaya 2018

Halaman ini sengaja dikosongkan



FINAL PROJECT – RC 14-1501

**MODIFICATION OF FLY OVER WEST INNER RING
ROAD SURABAYA USING PRESTRESSED BOX GIRDER
BEAMS**

IRVAN PRATAMA PASAK

NRP 03111240000066

Advisor I

Prof. Dr. Ir. I GUSTI PUTU RAKA

Advisor II

DATA IRANATA,ST.MT. PhD.

CIVIL ENGINEERING DEPARTMENT

Faculty of Civil, Environmental and Geo Engineering

Institut Teknologi Sepuluh Nopember

Surabaya 2018

Halaman ini sengaja dikosongkan

**MODIFIKASI PERENCANAAN FLY OVER
LINGKAR DALAM BARAT SURABAYA DENGAN
MENGGUNAKAN BALOK BOX GIRDER
PRATEKAN**

TUGAS AKHIR

Diajukan Untuk Memenuhi Salah Satu Syarat

Memperoleh Gelar Sarjana Teknik

Pada

Program Studi S-1 Departemen Teknik Sipil

Fakultas Teknik Sipil, Lingkungan dan Kebumian

Institut Teknologi Sepuluh Nopember

Oleh :

IRVAN PRATAMA PASAK

NRP. 03111240000066

Disetujui oleh Pembimbing Tugas Akhir

1. Prof. Dr. Ir. I GUSTI PISTU RAKA

2. DATA IRANATA, ST, MT, PTE

SURABAYA
JULI, 2018

Halaman ini sengaja dikosongkan

MODIFIKASI PERENCANAAN FLY OVER LINGKAR DALAM BARAT SURABAYA DENGAN MENGGUNAKAN BALOK BOX GIRDER PRATEKAN

N a m a : IRVAN PRATAMA PASAK

N R P : 03111240000066

Departemen : Teknik Sipil FTSLK-ITS

Dosen Pembimbing :

1. Prof. Dr. Ir. I GUSTI PUTU RAKA

2. DATA IRANATA, ST. MT. PhD.

Abstrak

Dalam mengurangi dan mengantisipasi kemacetan di daerah Surabaya Pemkot Surabaya sedang merencanakan pembangunan Fly Over Lingkar Dalam Barat Surabaya yang berlokasi di Jl. Margomulyo yang rencanakan akan dihubungkan dengan jalan tol Surabaya-Gresik. Adapun profil yang digunakan menggunakan I girder dengan panjang maksimal 42 m. Namun, dalam pendesain fly over Lingkar Dalam Barat terdapat pilar yang menghalangi arus jalan yang terdapat di bawah fly over tersebut. Hal ini disebabkan oleh panjang ideal profil balok I pratekan sebesar 45 m.

Dalam mendesign ulang dilakukan perubahan posisi pilar yang terdapat di bawah fly over tersebut. Untuk mendapat profil yang ideal untuk bentang yang ada. Adapun bentang yang melebihi 45 m, maka penulis memilih menggunakan profil balok pratekan box girder mengingat panjang efektif box girder mencapai 90 m.

Dalam tugas akhir ini, dihasilkan balok box girder pratekan pilar sudah tidak menghalangi jalan yang terdapat di bawah fly over dengan panjang fly over sepanjang 173 m dengan bentang terpanjang 83m menggunakan penampang box girder beton dengan mutu 57 MPa dengan tinggi box 4,6 m, lebar

jembanan 11.5 m. Tendon yang direncanakan adalah baja prategang dengan tegangan putus 1860 MPa unit 6-55 sebanyak 14 buah, 6-43 sebanyak 2, 6-37 sebanyak 12 buah, 6-15 sebanyak 10 buah dan 6-12 sebanyak 2 buah .Kolom pilar dengan dimensi 4.5 x 4.5 x 6.05 m³ dan pondasi tiang pancang dengan diameter 1200 mm dan direncanakan sejumlah 49 tiang per pilar.

Kata kunci : Fly Over,Beton Pratekan, Box Girder, Lingkar Dalam Barat, Segmental

MODIFICATION DESIGN OF FLY OVER WEST INNER RING ROAD SURABAYA USING PRESTRESSED BOX GIRDER BEAMS

N a m e : IRVAN PRATAMA PASAK
N R P : 03111240000066
Department : Civil Engineering FTSLK-ITS
Advisors :
1. Prof. Dr. Ir. I GUSTI PUTU RAKA
2. IRANATA DATA, ST. MT. PhD.

Abstract

In reducing and anticipating congestion in Surabaya area Pemkot Surabaya is planning the construction of Fly Over Lingkar Dalam Barat Surabaya located on Jl. Margomulyo is planned to be connected with the Surabaya-Gresik toll road. The profiles used I girder with a maximum length of 42 m. However, in the design of the fly over of the there are pillars that block the flow of roads located under the fly over. This is due to the ideal length of beam profiles prestressed as 45 m.

In redesigning changes the position of the pillars contained under the fly over. To get an ideal profile for an existing landscape. As for spans that exceed 45 m, the authors chose to use the prerock girder box prestressed profile considering the effective length of the girder box reaches 90 m.

In this final project, the preredrated girder box of prestressed pillar is not blocked by the path which is under the fly over with the length of the fly over 173 m with the longest span of 83m using the concrete girder box section with quality 57 MPa with box height 4.6 m, width bridge 11.5 m. The planned tendons are prestressed steel with breaking voltage of 1860 MPa units 6-55 as many as 14 pieces, 6-43 as many as 2, 6-37 as many as 12 pieces, 6-15 as many as 10 units and 6-12 as many as 2 pieces. Column pillars with dimensions 4.5 x 4.5 x 6.05 m³ and a pile

foundation with a diameter of 1200 mm and a planned number of 49 poles per pillar.

Keywords: Fly Over, Prestressed Concrete, Box Girder, West inner ring road, Segmental

KATA PENGANTAR

Puji syukur saya panjatkan kepada Tuhan Yang Maha Esa karena berkat dan rahmat-Nya, penulis dapat menyelesaikan Tugas Akhir dengan judul “Modifikasi Perencanaan Fly Over Lingkar Dalam Barat Surabaya dengan Menggunakan Balok Box Girder Pratekan”. Dalam kesempatan ini penulis bermaksud mengucapkan terima kasih kepada pihak-pihak yang mendukung dan membantu atas terselesaiannya Tugas Akhir ini, yaitu:

1. Bapak Prof. Dr. Ir. I Gusti Putu Raka selaku dosen pemimping tugas akhir yang telah memberikan bimbingannya dalam proses penyusunan Tugas Akhir ini.
2. Bapak Data Iranata, ST. MT. PHd., selaku dosen pemimping tugas akhir yang telah memberikan bimbingannya dalam proses penyusunan Tugas Akhir ini.
3. Seluruh dosen pengajar dan staf di Jurusan Teknik Sipil yang telah mengajar dan membimbing selama masa perkuliahan.
4. Teman-teman Jurusan Teknik Sipil yang selalu memberi motivasi dan bantuan selama proses penyusunan tugas akhir ini.

Dalam pembuatan tugas akhir ini jika terdapat kesalahan dalam penulisan, penulis mohon petunjuk, saran, dan kritik terhadap tugas akhir ini. Sehingga kedepannya, diharapkan ada perbaikan terhadap tugas akhir ini serta dapat menambah pengetahuan bagi penulis,

Surabaya, Juli 2018

Penulis

Halaman ini sengaja dikosongkan

DAFTAR ISI

| | |
|----------------------------------|-------|
| Cover dalam..... | i |
| Cover dalam..... | iii |
| Lembar Pengesahan..... | v |
| Abstrak | vii |
| Abstract | ix |
| KATA PENGANTAR..... | xi |
| DAFTAR ISI..... | xiii |
| DAFTAR GAMBAR..... | xix |
| DAFTAR TABEL | xxiii |
| DAFTAR GRAFIK | xxvii |
| BAB I PENDAHULUAN | 1 |
| 1.1 Latar Belakang..... | 1 |
| 1.2 Perumusan Masalah..... | 2 |
| 1.2.1 MasalahUtama | 2 |
| 1.2.2 Rincian Masalah | 2 |
| 1.3 Tujuan Penulisan | 3 |
| 1.4 Batasan Masalah..... | 3 |
| 1.5 Manfaat Penelitian..... | 3 |
| BAB II TINJAUAN PUSTAKA | 5 |
| 2.1 Tinjauan Umum..... | 5 |
| 2.2 Beton Bertulang..... | 5 |
| 2.3 Definisi Beton Pratekan..... | 5 |

| | |
|---|----|
| 2.4 Keuntungan Beton Pratekan | 6 |
| 2.5 Konsep Dasar Beton Pratekan | 7 |
| 2.6 Metode Pratekan..... | 8 |
| 2.7 Tahap-tahap Pembebanan Beton Pratekan | 10 |
| 2.8 Pemilihan Tipe Jembatan | 12 |
| 2.9 Precast Segmental Box Girder..... | 12 |
| 2.9.1 Tipe, bentuk dan dimensi Jembatan | 13 |
| 2.9.2 Elemen structural jembatan segmental box girder | 15 |
| 2.9.3 Desain Elemen Sembungan..... | 17 |
| 2.9.4 Desain Bentuk Tendon | 17 |
| 2.9.5 Penampang Melintang (Post-Tensioned Box Girder Design Manual-2015)..... | 18 |
| 2.10 Balok Pratekan Menerus Statis Tak Tentu | 20 |
| 2.11 Metode Konstruksi Balance Cantilever (Launching Gantry)..... | 21 |
| 2.12 Perencanaan Pondasi | 22 |
| 2.13 Pondasi Tiang Pancang | 22 |
| BAB III METODOLOGI | 23 |
| 3.1 Pengumpulan Data | 24 |
| 3.1.1 Data-data Teknis Jembatan..... | 24 |
| 3.1.2 Data Bahan | 26 |
| 3.1.3 Tegangan Ijin Bahan..... | 27 |
| 3.2 Preliminary Design..... | 28 |
| 3.3 Analisa Beban-beban yang Bekerja..... | 29 |

| | |
|--|----|
| 3.4 Perhitungan Gaya Prategang Awal | 32 |
| 3.5 Pemilihan Kabel | 32 |
| 3.6 Kehilangan Gaya Pratekan | 33 |
| 3.7 Momen Retak | 38 |
| 3.8 Momen Nominal..... | 39 |
| 3.9 Momen Lentur..... | 40 |
| 3.10 Kontrol Geser | 41 |
| 3.11 Lendutan | 43 |
| 3.12 Preliminari Desain Bangunan Bawah..... | 43 |
| 3.13 Analisa Beban Gempa | 43 |
| 3.13.1 Percepatan respon spektrum | 43 |
| 3.13.2 Faktor situs | 45 |
| 3.13.3 Respon spectrum rencana | 48 |
| 3.13.4 Koefisien respons gempa elastik | 48 |
| 3.13.5 Kategori kinerja seismik | 49 |
| 3.13.6 Faktor modifikasi respon | 50 |
| 3.13.7 Beban Gempa | 51 |
| 3.14 Pilar dan Abutment..... | 51 |
| 3.15 Pondasi | 51 |
| 3.15.1 Daya dukung tiang pondasi berdasarkan hasil SPT dengan metode Luciano Decourt (1996) | 51 |
| 3.15.2 Kekuatan material tiang pancang | 53 |
| 3.16 Metode Pelaksanaan | 56 |

| | | |
|--------------------------------|---|-----------|
| 3.17 | Menuangkan Hasil Perhitungan ke dalam Gambar | 56 |
| BAB IV PEMBAHASAN | | 57 |
| 4.1 | Perencanaan bangunan sekunder..... | 57 |
| 4.1.1 | Perhitungan Pembatas Jalan | 57 |
| 4.1.2 | Penulangan Pembatas Jalan..... | 59 |
| 4.2 | Perencanaan Tulangan Pelat Atas | 60 |
| 4.2.1 | Dimensi Pelat Rencana..... | 60 |
| 4.2.2 | Perencanaan Tulangan Pelat..... | 61 |
| 4.3 | Perencanaan Struktur Primer..... | 65 |
| 4.3.1 | Data Perencanaan | 65 |
| 4.3.2 | Data Bahan | 65 |
| 4.3.3 | Tegangan ijin bahan | 66 |
| 4.3.4 | Preliminary Design..... | 68 |
| 4.3.5 | Analisis Pembebanan..... | 74 |
| 4.3.6 | Perhitungan Momen dan Perencanaan Tendon Pretegang | 76 |
| 4.4 | Perencanaan tendon bentang tengah tahap 2 | 89 |
| 4.5 | Tulangan Angkat..... | 121 |
| 4.5.1 | Perhitungan Tulangan Angkat | 121 |
| 4.6 | Kehilangan gaya prategang | 127 |
| 4.6.1 | Kehilangan akibat perpendekan elastis beton (ES) .. | 127 |
| 4.6.2 | Kehilangan prategang akibat gesekan (woodle effect)..... | 132 |
| 4.6.3 | Akibat rangkak | 136 |

| | |
|--|-----|
| 4.6.4 Akibat Susut | 139 |
| 4.6.5 Akibat relaksasi | 140 |
| 4.6.6 Kehilangan gaya Prategang Total..... | 142 |
| 4.7 Perencanaan Tulangan Geser | 143 |
| 4.7.1 Retak geser pada bagian badan Vcw | 144 |
| 4.7.2 Retak geser terlentur Vci | 145 |
| 4.7.3 Perhitungan Tulangan Geser | 146 |
| 4.8 Kontrol Kekuatan dan Stabilitas Struktur..... | 148 |
| 4.9 Momen Retak | 149 |
| 4.10 Kontrol Torsi | 152 |
| 4.10.1 Penyebab beban torsi | 152 |
| 4.10.2 Perhitungan torsi ijin | 153 |
| 4.11 Kontrol Lendutan..... | 154 |
| 4.12 Analisa Beban Gempa | 154 |
| 4.13 Pembebanan horizontal akibat gempa | 159 |
| 4.14 Perencanaan Kolom..... | 164 |
| 4.14.1 Perencanaan Kolom PE | 166 |
| 4.14.2 Tulangan Lentur | 167 |
| 4.14.3 Tulangan geser..... | 167 |
| 4.15 Perencanaan Kebutuhan Pondasi..... | 169 |
| 4.15.1 Daya dukung tiang pondasi berdasarkan hasil SPT dengan metode Luciano Decourt (1996) | 170 |
| 4.15.2 Daya Dukung Pondasi Tunggal | 174 |

| | |
|--|-----|
| 4.15.3 Daya Dukung Pondasi Kelompok | 174 |
| 4.15.4 Efisiensi tiang pancang kelompok..... | 176 |
| 4.15.5 Kontrol Kekuatan Tiang Terhadap Gaya Lateral Interior..... | 177 |
| 4.16 Perencanaan Poer | 178 |
| 4.16. 1 Penulangan Poer | 179 |
| 4.16. 2 Punching Shear..... | 181 |
| 4.17 Metode Pelaksanaan | 183 |
| 4.17.1 Umum | 183 |
| 4.17.2 Prinsip Tahap Stressing Tendon | 185 |
| 4.17.3 Pemasangan kabel prategang..... | 185 |
| 4.17.4 Penarikan kabel prategang..... | 186 |
| 4.17.5 Tahap Stressing Continuity Tendon | 186 |
| BAB V KESIMPULAN DAN SARAN | 187 |
| 5.1 Kesimpulan..... | 187 |
| 5.2. Saran..... | 189 |
| DAFTAR PUSTAKA..... | 191 |
| LAMPIRAN | 193 |

DAFTAR GAMBAR

| | |
|---|----|
| Gambar 2. 1 Jenis Jembatan Box Girder | 14 |
| Gambar 2. 2 Tipe segmen <i>box girder</i> | 16 |
| Gambar 2. 3 Detail sambungan pada segmen Box Girder..... | 17 |
| Gambar 2. 4 Perletakan Tendon pada Box Girder..... | 18 |
| Gambar 2. 5.Penampang melintang <i>multi-cell box girder</i> | 19 |
| Gambar 2. 6 Penampang melintang <i>single-cell box girder</i> | 19 |
| Gambar 2. 7 Tata letak tendon untuk bentang menerus | 21 |
| Gambar 2. 8 Kontruksi <i>Balance Cantilever (Launching Gantry)</i> | 22 |
| | |
| Gambar 3. 1 Diagram alir penyelesaian tugas akhir..... | 23 |
| Gambar 3. 2 Diagram alir penyelesaian tugas akhir (lanjutan) ... | 24 |
| Gambar 3. 3 Eksisting Lay Out Gambar Proyek | 25 |
| Gambar 3. 4 Hasil modifikasi Lay Out Gambar Proyek | 26 |
| Gambar 3. 5 Gambar <i>preliminary design box girder</i> | 29 |
| Gambar 3. 6 Susunan dan berat as pada beban truk “T” | 31 |
| Gambar 3. 7 Diagram Skematik Momen Retak | 39 |
| Gambar 3. 8 Tegangan Ijin Lentur Akibat Gaya Pratekan dan Beban yang Bekerja..... | 40 |
| Gambar 3. 9 Peta percepatan puncak di batuan dasar (PGA) untuk probabilitas terlampaui 7% dalam 75 tahun. | 44 |
| Gambar 3. 10 Peta respon spectra percepatan 0,2 detik di batuan dasar untuk probabilitas terlampaui 7% dalam 75 tahun..... | 44 |
| Gambar 3. 11 Peta respon spectra percepatan 1 detik di batuan dasar untuk probabilitas terlampaui 7% dalam 75 tahun..... | 45 |
| Gambar 3. 12 Bentuk tipikal respons spectra di permukaan tanah | 48 |
| Gambar 3. 13 <i>Partly-embedded pile & equivalent fixed base pile or column</i> | 54 |
| | |
| Gambar 4. 1 Penyebaran Beban Pada Pelat Lantai..... | 63 |

| | |
|--|----|
| Gambar 4. 2 Pemodelan Jembatan Variable Depth..... | 69 |
| Gambar 4. 3 Dimensi box girder pada joint 12 | 70 |
| Gambar 4. 4 Diagram Tegangan pada titik 12 akibat segmen 11 | 79 |
| Gambar 4. 5 Diagram Tegangan pada titik 12 akibat segmen 10 | 80 |
| Gambar 4. 6 Diagram Tegangan total pada titik 12 akibat segmen 11 &10..... | 80 |
| Gambar 4. 7 Letak pembebahan BTR dan BGT pada kombinasi I | 90 |
| Gambar 4. 8 Letak pembebahan BTR dan BGT pada kombinasi II | 90 |
| Gambar 4. 9 Letak pembebahan BTR dan BGT pada kombinasi III | 90 |
| Gambar 4. 10 Letak pembebahan BTR dan BGT pada kombinasi IV | 91 |
| Gambar 4. 11 Letak pembebahan BTR dan BGT pada kombinasi V | 91 |
| Gambar 4. 12 Letak pembebahan BTR dan BGT pada kombinasi VI..... | 91 |
| Gambar 4. 13 Letak pembebahan BTR dan BGT pada kombinasi VII | 92 |
| Gambar 4. 14 Letak pembebahan BTR dan BGT pada kombinasi VIII | 92 |
| Gambar 4. 15 Letak pembebahan BTR dan BGT pada kombinasi IX..... | 92 |
| Gambar 4. 16 Letak pembebahan BTR dan BGT pada kombinasi X | 93 |
| Gambar 4. 17 Letak pembebahan BTR dan BGT pada kombinasi XI..... | 93 |
| Gambar 4. 18 Letak pembebahan BTR dan BGT pada kombinasi XII | 93 |

| | |
|--|-----|
| Gambar 4. 19 Letak pembebanan BTR dan BGT pada kombinasi XIII | 94 |
| Gambar 4. 20 Letak pembebanan BTR dan BGT pada kombinasi XIV | 94 |
| Gambar 4. 21Letak pembebanan BTR dan BGT pada kombinasi XV | 94 |
| Gambar 4. 22 Diagram tegangan pada saat menjadi struktur penuh pada titik 12 | 107 |
| Gambar 4. 23 Diagaram tegangan pada titik 12 pada saat beban aspal sudah bekerja..... | 108 |
| Gambar 4. 24 Diagaram tegangan pada titik 12 pada saat beban parapet sudah bekerja | 109 |
| Gambar 4. 25 Diagram tegangan pada titik 12 sebelum beban hidup bekerja (penambahan tendon)..... | 110 |
| Gambar 4. 26 Diagram tegangan pada titik 12 saat beban air hujan bekerja | 111 |
| Gambar 4. 27 Tegangan pada titik 12 saat beban lalu sudah bekerja (momen +) | 112 |
| Gambar 4. 28 Tegangan pada titik 12 saat beban lalu sudah bekerja (momen -) | 113 |
| Gambar 4. 29 Tegangan beton pada titik 0 pada saat menjadi struktur statis tak tentu..... | 114 |
| Gambar 4. 30 Tegangan setelah beban aspal..... | 115 |
| Gambar 4. 31 Tegangan setelah beban parapet | 116 |
| Gambar 4. 32 Tegangan beton setelah tendon m2 (untuk beban hidup)..... | 117 |
| Gambar 4. 33 Tegangan beton setelah beban air hujan | 118 |
| Gambar 4. 34 Tegangan beton setelah beban lalu lintas (m+) | 119 |
| Gambar 4. 35 Tegangan beton setelah beban lalu lintas (m-) | 120 |

| | |
|---|-----|
| Gambar 4. 36 Posisi Titik Angkat Pelat (4 Buah Titik Angkat)..... | 121 |
| Gambar 4. 37 Momen Sebelum Pengangakatan segmen 1 | 121 |
| Gambar 4. 38 Momen Waktu pengangakatan segmen 1 | 122 |
| Gambar 4. 39 Tulangan Segmen 1 | 126 |
| Gambar 4. 40 Peta percepatan puncak di batuan dasar (PGA) untuk probabilitas terlampaui 7% dalam 75 tahun. | 155 |
| Gambar 4. 41 Peta respon spectra percepatan 0,2 detik di batuan dasar untuk probabilitas terlampaui 7% dalam 75 tahun..... | 155 |
| Gambar 4. 42 Penamaan Titik Perletakan | 160 |
| Gambar 4. 43 Pot Bearing Penahan Gaya Horizontal (arah-y) . | 161 |
| Gambar 4. 44 Pot Bearing Penahan Gaya Horizontal (arah-x) . | 161 |
| Gambar 4. 45 Dimensi Kolom | 164 |
| Gambar 4. 46 Hasil PC Acol | 167 |
| Gambar 4. 47 Hasil tes SPT | 169 |
| Gambar 4. 48 Desain tiang pancang..... | 175 |
| Gambar 4. 49 Diagram Gaya Lateral Tiang Pondasi..... | 177 |
| Gambar 4. 50 Critical Punching Surface..... | 181 |
| Gambar 4. 51 Kritical Punching Pile..... | 183 |
| Gambar 4. 52 Metode Balance Cantilever (Launching Gantry) | 184 |
| Gambar 5. 1 Desain Penampang Tumpuan | 187 |
| Gambar 5. 2 Desain Penampang Lapangan..... | 188 |

DAFTAR TABEL

| | |
|--|-----|
| Tabel 2. 1 Hubungan antara bentang jembatan dan tipe jembatan | 12 |
| Tabel 2. 2 Hubungan jenis pondasi terhadap kedalamam tanah keras..... | 22 |
| | |
| Tabel 3. 1 Ketentuan tebal <i>top flange</i> minimum profil box | 28 |
| Tabel 3. 2 Spesifikasi Strand Berdasarkan ASTM A-416..... | 32 |
| Tabel 3. 3 Koefisien-koefisien gesekan untuk tendon pasca tarik | 34 |
| | |
| Tabel 3. 4 Nilai koefisien susut (Ksh) untuk komponen struktur pasca tarik..... | 36 |
| Tabel 3. 5 Nilai-nilai C | 37 |
| Tabel 3. 6 Nilai-nilai J dan Kre | 38 |
| Tabel 3. 7 Faktor aplifikasi untuk periode 0 detik dan 0,2 detik (F_{PGA}/F_a)..... | 46 |
| Tabel 3. 8 Faktor amplifikasi untuk periode 1 detik (F_v) | 47 |
| Tabel 3. 9 Zona Gempa | 49 |
| Tabel 3. 10 Faktor modifikasi respon(R) untuk bangunan bawah | 50 |
| | |
| Tabel 3. 11 Faktor modifikasi respons (R) untuk hubungan antar elemen struktur | 50 |
| Tabel 3. 12 Tabel Spesifikasi Tiang Pancang..... | 53 |
| | |
| Tabel 4. 1 Pembebanan Beban Mati | 61 |
| Tabel 4. 2 *P=BOEN=ketiap joint pada gambar..... | 70 |
| Tabel 4. 3 Perhitungan dimensi box pada joint 12 | 71 |
| Tabel 4. 4Perhitungan dimensi box tiap joint..... | 73 |
| Tabel 4. 5Tabel Tegangan tendon cantilever..... | 81 |
| Tabel 4. 6 Momen beban mati 1.4D | 98 |
| Tabel 4. 7 Tengangan tendon menerus (m1) | 100 |

| | |
|--|----------|
| Tabel 4. 8 Kontrol tegangan saat menjadi balok statis tak tentu | 102 |
| Tabel 4. 9 Kontrol tegangan saat beban lalu lintas sudah bekerja |103 |
| Tabel 4. 10 Tegangan tendon yang digunakan | 104 |
| Tabel 4. 11 Tegangan pada saat beban sudah bekerja semuanya |105 |
| Tabel 4. 12 Tabel Tulangan Melintang | 122 |
| Tabel 4. 13 Kehilangan gaya Prategang akibat ES tendon 11-1 | 128 |
| Tabel 4. 14 Kehilangan gaya Prategang akibat ES tendon 10... | 129 |
| Tabel 4. 15 Kehilangan gaya pretegang ES tendon kantilever.. | 130 |
| Tabel 4. 16 Kehilangan gaya prategang akibat ES tendon m1 pada tumpuan | 131 |
| Tabel 4. 17 Kehilangan gaya prategang akibat ES Tengah bentang | 131 |
| Tabel 4. 18 Kehilangan akibat ES tendon menerus..... | 132 |
| Tabel 4. 19 Kehilangan Gaya Akibat GesekanTendon Kantilever |133 |
| Tabel 4. 20 Akibat Gesekan Tendon Menerus pada tumpuan... | 135 |
| Tabel 4. 21 Akibat Gesekan Tendon Menerus Pada Tengah bentang | 135 |
| Tabel 4.22 Kehilangan akibat rangkak tendon kantilever | 137 |
| Tabel 4. 23 Kehilangan akibat rangkak tendon kantilever Joint 12 |138 |
| Tabel 4. 24 Kehilangan akibat rangkak tendon kantilever titik 0 |138 |
| Tabel 4. 25 Kehilangan Gaya Prategang Akibat susut | 139 |
| Tabel 4. 26 Kehilangan Gaya Akibat Relaksasi Tendon Kantilever | 140 |
| Tabel 4. 27 Kehilangan Gaya Akibat Relaksasi Tendon Kantilever Tendon menerus pada Tumpuan..... | 141 |
| Tabel 4. 28 Kehilangan Gaya Akibat Relaksasi Tendon Kantilever Tendon menerus pada Tengah Bentang..... | 141 |

| | |
|---|-----|
| Tabel 4. 29 Kehilangan Gaya prategang total | 142 |
| Tabel 4. 30 Gaya geser yang bekerja..... | 143 |
| Tabel 4. 31 Penulangan Gaya Geser..... | 147 |
| Tabel 4. 32 Momen Crack Tumpuan pada joint 12 | 150 |
| Tabel 4. 33 Momen Crack Tumpuan Tengah Bentang..... | 151 |
| Tabel 4. 34 Tabel Koefisien Fa | 156 |
| Tabel 4. 35 Tabel Koefisien situ Fv | 156 |
| Tabel 4. 36 Tabel zona gempa..... | 157 |
| Tabel 4. 37 Tabel respons spectrum | 158 |
| Tabel 4. 38 Reaksi vertical pada perletakan | 160 |
| Tabel 4. 39 Beban Gaya Vertikal | 162 |
| Tabel 4. 40 Spesifikasi Pot Bearing yang digunakan | 163 |
| Tabel 4. 41 Tabel kombinasi beban..... | 166 |
| Tabel 4. 42 Nilai α dan β untuk tiang pondasi..... | 171 |
| Tabel 4. 43 Hasil kekuatan data tanah..... | 172 |

Halaman ini sengaja dikosongkan

DAFTAR GRAFIK

| | |
|--|-----|
| Grafik 4.1 Grafik berat sendiri | 95 |
| Grafik 4.2 Grafik beban mati dan hidup terfaktor | 96 |
| Grafik 4.3 Grafik Momen Envelope..... | 97 |
| Grafik 4.4 Respons spectrum | 159 |
| Grafik 4.5 Grafik kekuatan tanah | 173 |

Halaman ini sengaja dikosongkan

BAB I

PENDAHULUAN

1.1 Latar Belakang

Surabaya merupakan salah kota metropolitan di Indonesia yang ke dua terbesar setelah Jakarta. Hal ini dibuktikan dengan meningkatnya jumlah penduduk kota Surabaya dari tahun ke tahun. Data statistik penduduk dari Badan Kependudukan kota Surabaya mencatat jumlah penduduk pada tahun 2015 terdapat 2.909.257 jiwa dan pada tahun 2016 jumlah penduduk tercatat 2.954.125 jiwa.

Meningkatnya jumlah penduduk dari tahun ke tahun berpengaruh pada tingkat penggunaan kendaraan bermotor. Meningkatnya volume kendaraan dapat mengakibatkan durasi perjalanan dari satu daerah ke daerah lain meningkatkan sehingga jika hal ini dibiarkan maka akan menyebabkan kerugian dari berbagai aspek, salah satu di antaranya adalah aspek ekonomi.

Surabaya barat merupakan daerah yang memiliki volume kendaraan yang terus meningkat dari tahun ke tahun. Hal ini juga disebabkan oleh pertumbuhan ekonomi di daerah Surabaya Barat terus meningkat setiap tahun. Untuk mencegah kemacetan yang parah, Pemkot Surabaya saat ini sedang merencanakan pembangunan jalan tol yang berawal dari daerah pintu tol Wiung ke arah pintu tol Gresik Margomulio. Diharapkan dengan adanya jalan tol ini akan menghindari peningkatan volume kendaraan pada daerah lingkardalam barat Surabaya. Adapun daerah yang dilalui oleh jalan tol ini terdapat kali makmur dan jalan yang nantinya akan dibangun *fly over* yang melewati jalan pada daerah Tandes dan Balong Sari Banyu Urip.

Pembangunan *fly over* pada jalan tol ini direncanakan menggunakan balok pratekan profil I girder dengan bentang segment maksimum 42 m. Namun dalam rencana pembangunan *fly over* pada daerah Tandes terdapat kendala pada pembangunan pilar. Pilar yang rencananya didirikan terlalu berhimpit dengan

yang jalan yang berada di bawah *fly over*. Hal ini dikarenakan oleh bentang profil yang digunakan tidak mampu mencapai panjang segment yang ideal mengingat panjang ideal profil I girder pratekan maksimum 45 m. Maka dari itu, perlu direncanakan ulang jenis profil yang akan digunakan dengan jenis profil yang berbeda.

Pada makalah ini, penulis akan mendesain ulang jenis penampang profil yang awalnya menggunakan profil I girder diganti dengan menggunakan balok pratekan *box girder* pada segment di daerah profil I girder tidak dapat memadai. Adapun kelebihan dari *box girder* memiliki bentang yang lebih panjang dibandingkan dengan penggunaan balok *I girder*. Penggunaan balok pratekan *box girder* diharapkan dapat mengurangi pilar yang terletak di bawah jalan *fly over*.

1.2 Perumusan Masalah

1.2.1 Masalah Utama

Bagaimana melakukan perancangan terhadap *Fly Over* Lingkar Dalam Barat Surabaya (daerah Tandes) dengan menggunakan balok beton pratekan *box girder*?

1.2.2 Rincian Masalah

1. Bagaimana *preliminary design* pada *fly over* setelah modifikasi?
2. Bagaimana asumsi perhitungan beban-beban yang terjadi setelah dilakukan modifikasi?
3. Bagaimana merancang struktur sekunder bangunan atas pada *fly over* beton pratekan *box girder*?
4. Bagaimana merencanakan struktur utama bangunan atas pada *fly over* pratekan?
5. Bagaimana merancang perletakan dan bangunan bawah yang meliputi pilar dan pondasi?
6. Bagaimana hasil akhir perancangan modifikasi?

1.3 Tujuan Penulisan

1. Memperoleh *preliminary design* pada *fly over* setelah modifikasi.
2. Perhitungan beban-beban yang terjadi setelah dilakukan modifikasi.
3. Merancang struktur sekunder bangunan atas pada *fly over* beton pratekan box gerder.
4. Merencanakan stuktur utama bangunan atas pada *fly over* pratekan.
5. Merancang perletakkan dan bangunan bawah yang meliputi pilar dan pondasi.
6. Hasil akhir perancangan modifikasi.

1.4 Batasan Masalah

1. Tidak memperhitungakan Rencana Anggaran Biaya (RAB)
2. Tidak memperhitungkan metode pelaksanaan.
3. Tidak menghitungkan volume kendaraan.

1.5 Manfaat Penelitian

1. Menambah pengetahuan bagi penulis dan pembaca mengenai *box girder* pratekan.

Halaman ini sengaja dikosongkan

BAB II

TINJAUAN PUSTAKA

2.1 Tinjauan Umum

Pada modifikasi perencanaan jembatan *fly over* Tandes ini digunakan beton pratekan menerus pada struktur *box girder*, sedangkan untuk pilar, abutmen dan struktur sekunder menggunakan struktur beton bertulang non pratekan.

2.2 Beton Bertulang

Perkembangan bahan-bahan struktural diuraikan menjadi tiga lajur yaitu bahan-bahan yang tahan terhadap tekanan, bahan-bahan yang tahan terhadap tarikan, dan pada perkembangan terakhir yaitu bahan-bahan yang tahan terhadap tekanan dan tarikan ketika menerima beban lentur (Lin, 2000). Beton merupakan material yang kuat terhadap tekanan tetapi lemah terhadap tarikanya yang kuat tarik beton besarnya bervariasi dari 8 sampai 14% dari kuat tekannya (Nawy, 2001). Sementara baja merupakan bahan yang kuat terhadap tarikan. Kedua bahan ini kemudian dikombinasikan menjadi struktur beton bertulang. Beton bertulang mengkombinasikan beton dengan tulangan baja dengan cara menyatukan dan membiarkan keduanya bekerja bersama-sama. Namun dalam perkembangannya terdapat ketidakcocokan dalam regangan-regangan baja dan beton yang menimbulkan retak-retak awal pada beton bertulang, selain itu pada beton bertulang seluruh penampang beton tidak bekerja aktif.

2.3 Definisi Beton Pratekan

Pada awal abad ke-18, dikembangkan suatu bahan struktural baru yang disebut beton pratekan. Beton pratekan adalah jenis beton yang mampu mengkombinasikan beton berkekuatan tinggi dengan baja mutu tinggi secara “aktif”. Hal ini dicapai dengan cara menarik baja tersebut dan menahannya ke beton sehingga

membuat beton dalam keadaan tertekan. Baja adalah bahan yang liat dan dibuat untuk bekerja dengan kekuatan tarik yang tinggi oleh prategang. Sedangkan beton adalah bahan yang getas dan kemampuannya menahan tarikan diperbaiki dengan memberi tekanan, sementara kekuatan menahan tekanan tidak dikurangi.

Dibandingkan dengan struktur beton bertulang biasa, beton pratekan lebih baik dalam perilaku struktur, ketahanan dan dari segi ekonomisnya. Lendutan yang terjadi pada beton pratekan 60% lebih kecil dibandingkan dengan beton bertulang untuk beban yang sama. Selain itu retak pada beton bertulang lebih banyak namun dengan lebar retak yang kecil dan pada beton pratekan terjadi sebaliknya. Kelebihan beton pratekan juga terlibat pada peningkatan karakteristiknya terhadap beban layan yang menandakan bahwa material digunakan secara lebih efektif (Maroliya, 2012).

2.4 Keuntungan Beton Pratekan

Ada beberapa keuntungan beton prategang dibandingkan dengan beton bertulang biasa, diantaranya (Hadipratomo,1988):

1. Karena pada beton prategang dipakai bahan baja dan beton mutu tinggi maka jumlah bahan yang dipakai lebih sedikit. Peningkatan mutu beton (2x) kali lipat hanya akan menghemat biaya 30%.
2. Pada beton prategang, seluruh penampang aktif menerima beban, sedangkan pada beton bertulang hanya penampang yang tidak retak.
3. Karena kedua hal diatas maka beton prategang lebih ringan, lebih langsing dan secara estetis lebih menarik. Berat yang lebih ringan ini penting pada balok bentang besar dan jembatan yang beban matinya sangat besar pengaruhnya.
4. Karena tidak terjadi retak pada beton prategang, maka baja lebih terlindung terhadap korosi, dan sangat cocok untuk struktur yang berisi zat cair dan reaktor atom.

5. Lendutan efektif akibat beban jangka panjang dapat terkontrol baik pada prategang penuh maupun sebagian,
6. Akibat kemiringan tendon di dekat perletakan, ketahanan terhadap beban lebih baik dan prategangan akan mengurangi tarikan diagonal. Jadi sengkang yang dipakai berkurang.
7. Bila pada pekerjaan awal pada masa inisial, struktur dapat bertahan terhadap beban yang paling bahaya, maka struktur juga akan cukup aman pada beban kerja.

2.5 Konsep Dasar Beton Pratekan

Terdapat tiga konsep dasar penting yang dapat digunakan untuk menjelaskan dan menganalisis sifat-sifat dasar beton pratekan agar dimengerti oleh seorang perancang untuk menghasilkan desain beton prategang yang baik dan seefisien mungkin. Konsep-konsep tersebut adalah (Lin, 2000):

- 1. Sistem prategang untuk mengubah beton menjadi bahan yang elastis.**

Konsep ini memperlakukan beton sebagai bahan yang elastis. Ini merupakan pemikiran dari Eugene Freyssinet yang memvisualisasikan beton prategang pada dasarnya adalah beton yang ditransformasikan dari bahan yang getas menjadi bahan yang elastis dengan memberikan tekanan terlebih dahulu (pratekan) pada bahan tersebut. Beton yang tidak mampu menahan tarikan dan kuat memikul tekanan (umumnya dengan baja mutu-tinggi yang ditarik) diolah sedemikian rupa sehingga beton yang getas dapat memikul tegangan tarik, dari konsep ini lahirlah criteria “tidak ada tegangan tarik” pada beton.

- 2. Sistem prategang untuk kombinasi baja mutu tinggi dengan beton**

Konsep ini mempertimbangkan beton prategang sebagai kombinasi (gabungan) dari baja dan beton, seperti pada beton bertulang, yakni baja menahan tarikan dan beton

menahan tekanan. Dengan demikian kedua bahan membentuk kopel penahan untuk melawan momen eksternal. Konsep ini mendasari metode perancangan kuat batas dan juga dipakai pada keadaan elastis.

3. Sistem prategang untuk mencapai kesetimbangan beban

Konsep ini terutama menggunakan prategang sebagai suatu usaha untuk membuat seimbang gaya-gaya pada sebuah batang. Pada keseluruhan desain struktur beton prategang, pengaruh dari prategang dipandang sebagai keseimbangan berat sendiri sehingga batang yang mengalami lenturan seperti pelat (*slab*), balok, dan gelagar (*girder*) tidak akan mengalami tegangan lentur pada kondisi pembebahan yang terjadi. Ini memungkinkan transformasi dari batang lentur menjadi batang yang mengalami tegangan langsung dan sangat menyederhanakan persoalan baik didalam desain maupun analisis dari struktur yang rumit.

2.6 Metode Pratekan

Untuk memberikan tekanan pada beton pratekan dapat dilakukan sebelum atau setelah beton dicetak/dicor. Kedua kondisi tersebut membagi sistem pratekan menjadi *Pretension* (pratarik) dan *Post-tension* (pasca tarik).

1. Pratarik

Pada sistem pratarik, tendon ditarik sebelum beton dicor. Beton dicor pada cetakan yang sudah disediakan melingkupi tendon yang sudah ditarik tersebut. Tendon-tendon tersebut pada awalnya diangkurkan pada abutmen untuk sementara dan saat beton sudah mengeras dan mencapai kekuatan yang disyaratkan maka tendon dipotong dan angkurnya dilepas. Pada saat baja yang ditarik berusaha untuk berkontraksi, beton akan tertekan.

Keuntungan pratarik dibandingkan metode *prestressing* lainnya adalah (Hadipratomo, 1988):

Daya lekat yang bagus dan kuat terjadi antara baja tegangan dan beton pada seluruh panjangnya.

Supervisi yang memuaskan dapat dikerjakan, sebab biasanya pretensioning dikerjakan di pabrik.

2. Pasca tarik

Sistem pascatarik adalah suatu sistem prategang dimana kabel ditarik setelah beton mengeras. Beton sebelumnya dicor di sekeliling selongsong yang telah disediakan. Posisi selongsong biasanya diatur sesuai dengan bidang momen dari struktur. Baja tendon tetap berada dalam selongsong selama pengecoran dan tendon bisa ditarik disatu sisi dan sisi yang lain diangkur. Atau tendon ditarik di dua sisi dan diangkur secara bersamaan. Beton menjadi tertekan setelah pengangkuran. Untuk sistem pasca tarik saat ini banyak digunakan elemen beton pracetak yang dirancang khusus dengan lubang-lubang tendon yang telah tersedia.

Kelebihan dari sistem pasca tarik adalah posisi tendonnya dapat diatur mengikuti bidang momennya sedangkan pada sistem pratarik hanya terbatas pada penggunaan kawat lurus yang ditarik diantara dua dinding penahan. Selain itu, metode ini lebih cepat dalam penggerjaannya karena menggunakan beton pracetak sehingga tidak perlu setting time beton untuk mengeras seperti halnya pada metode pratarik.

Namun dalam penggunaan sistem pasca-tarik, jumlah tendon dan sistem penarikannya sangat berpengaruh terutama kepada kehilangan gaya prategangnya. Presentase kehilangan terbesar terjadi pada tendon yang pertama kali ditegangkan. Penggunaan tendon yang terlalu banyak akan menambah presentase kehilangan gaya prategang dan tidak efisien. Dengan kata lain, diameter tendon yang lebih besar dan jumlah tendon yang lebih sedikit akan lebih efisien dibandingkan diameter kecil tetapi jumlah tendonnya lebih banyak. Pemilihan jumlah tendon dan cara penarikannya harus diperhatikan agar kehilangan gaya prategang terjadi seminimum mungkin (Sudarmono, 2002).

2.7 Tahap-tahap Pembebaan Beton Pratekan

Pada struktur beton pratekan terdapat tahap-tahap pembebaan dimana sebuah komponen struktur dibebani (Lin, 2000). Tahap-tahap tersebut adalah:

1. Tahap Awal

Merupakan tahap awal struktur diberi gaya pratekan tetapi tidak dibebani oleh beban eksternal. Tahap ini kemudian dibagi menjadi beberapa tahap selanjutnya, beberapa diantaranya tidak penting dan dapat diabaikan pada desain-desain tertentu, yaitu:

- Sebelum diberi gaya prategang

Sebelum diberi gaya prategang beton cukup lemah dalam memikul beban, oleh karena itu harus dicegah agar tidak terjadi kehancuran pada perletakan.

- Pada saat diberi gaya prategang

Ini merupakan percobaan yang kritis dari kekuatan tendon. Seringkali, tegangan maksimum yang mungkin dialami oleh tendon terjadi saat penarikan tendon.

- Pada saat peralihan gaya prategang

Untuk komponen pratarik, peralihan gaya prategang sekaligus dan dalam waktu yang singkat. Untuk komponen-komponen struktur pasca-tarik, peralihan seringkali secara bertahap, gaya prategang pada tendon-tendon dialihkan ke beton satu per satu. Pada tahap ini, tidak ada gaya eksternal pada komponen struktur kecuali berat sendirinya.

2. Tahap Antara

Tahap antara adalah tahapan selama pengangkutan dan pengangkatan. Hal ini hanya terjadi pada komponen struktur pracetak bila diangkut ke lapangan dan dipasang pada tempatnya. Hal ini penting perlu diperhatikan untuk menjamin bahwa komponen struktur telah ditumpu dan diangkat dengan semestinya. Tidak hanya saat penempatan komponen itu sendiri,

tetapi juga saat penambahan beban mati seperti lantai, keadaan tumpuan dan pembebanan harus diperhatikan.

3. Tahap Akhir

Tahap akhir merupakan tahapan beban kerja yang sesungguhnya telah bekerja pada struktur. Beban yang harus dipertimbangkan adalah sebagai berikut:

- a. Beban yang bekerja tetap

Lendutan ke atas atau ke bawah dari komponen struktur prategang akibat beban tetap yang sesungguhnya, seringkali merupakan faktor penentu dalam desain, dikarenakan pengaruh dari rangkak akibat lentur akan memperbesar nilainya sehingga seringkali dikehendaki pembatasan besar lendutan akibat beban tetap.

- b. Beban kerja

Untuk mendesain akibat beban kerja haruslah ada pemeriksaan terhadap tegangan dan regangan yang berlebihan

- c. Beban retak

Retak pada komponen beton prategang berarti perubahan yang mendadak pada tegangan rekat dan tegangan geser. Hal ini seringkali merupakan ukuran bagi kekuatan lelah.

- d. Beban batas

Struktur yang didesain berdasarkan tegangan kerja mungkin tidak selalu mempunyai angka keamanan yang cukup untuk kelebihan beban. Karena disyaratkan bahwa sebuah struktur memiliki kapasitas minimum memikul beban yang lebih besar, maka perlu ditentukan kekuatan batasnya. Pembebanan batas didasarkan pada peraturan RSNI T-02 2005 Standar Pembebanan untuk Jembatan meliputi:

- Berat sendiri adalah berat dari elemen-elemen struktural pada jembatan
- Beban mati tambahan adalah berat seluruh bahan yang membentuk suatu beban pada jembatan yang merupakan elemen non struktural

- Beban lalu lintas pada jembatan terdiri dari beban lajur “D” dan beban truk “T”.
- Beban angin dihitung berdasarkan kecepatan angin rencana (V_w) dan koefisien seretnya (C_w).
- Gaya rem adalah pengaruh percepatan dan penggereman dari lalu lintas yang harus diperhitungkan sebagai gaya dalam arah memanjang dan dianggap bekerja pada permukaan lantai jembatan.

2.8 Pemilihan Tipe Jembatan

Tipe jembatan bisa ditentukan berdasarkan bentang dari jembatan yang akan dibangun, berikut adalah tabel yang menghubungkan antara bentang jembatan dan tipe yang cocok untuk digunakan.

Tabel 2. 1 Hubungan antara bentang jembatan dan tipe jembatan

| Span | Bridge Types |
|-----------------|---|
| 0-150 ft | I-type pretensioned girder |
| 100-300 ft | Cast-in-place post-tensioned box girder |
| 100-300 ft | Precast balanced cantilever segmental, constant depth |
| 250-600 ft | Precast balanced cantilever segmental, variable depth |
| 200-1000 ft | Cast-in-place cantilever segmental |
| 800-1500 ft | Cable-stay with balanced cantilever segmental |
| 1 ft = 0.3048 m | |

(Sumber : Buku *Prestressed Concrete Segmental Bridges*)

2.9 Precast Segmental Box Girder

Precast segmental box girder adalah salah satu perkembangan penting dalam teknik jembatan yang tergolong baru dalam beberapa tahun terakhir. Berbeda dengan sistem konstruksi monolit, sebuah jembatan segmental *box girder* terdiri dari elemen-elemen pracetak yang dipraktekan bersama-sama oleh tendon eksternal (Rombach, 2002).

2.9.1 Tipe, bentuk dan dimensi Jembatan

a. Tipe Jembatan

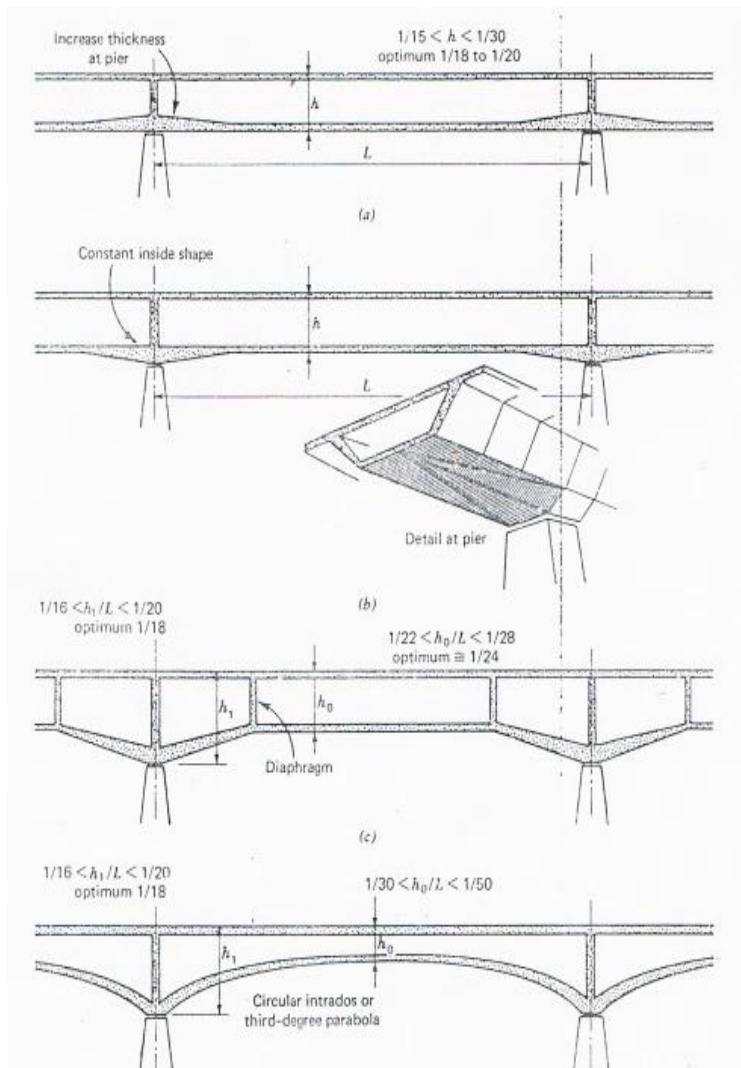
Tipe dalam modifikasi jembatan yang diambil adalah tipe box girder. Pemilihan tipe jembatan ini dikarenakan beberapa hal yaitu (Walter dan Muller, 1982) :

1. Untuk efisiensi bentuk box girder sangat baik dan member keuntungan pada baja prategang. Dimana *box girder* memiliki efisiensi 0,6 lebih baik dibandingkan I girder.
2. Jika kita mengambil sayap bawah yang besar maka keuntungan yan lain adalah bahwa daerah beton cukup besar pada beban ultimate untuk menyeimbangkan kapasitas penuh dari tendon prategang tanpa kehilangan yang besar.

b. Bentuk Jembatan

Jembatan precast segmental box girder memiliki beberapa bentuk sebagai tampak memanjang, Bentuk memanjang dibagi atas empat tampat yaitu (Walter dan Muller 1982) :

- a. *Constant Depth*
- b. *Semiconstant Depth*
- c. *Straight Haunches*
- d. *Variable Depth*



Gambar 2. 1 Jenis Jembatan Box Girder
 (Sumber : Buku Concrete Presstressed Segmental Brigde)

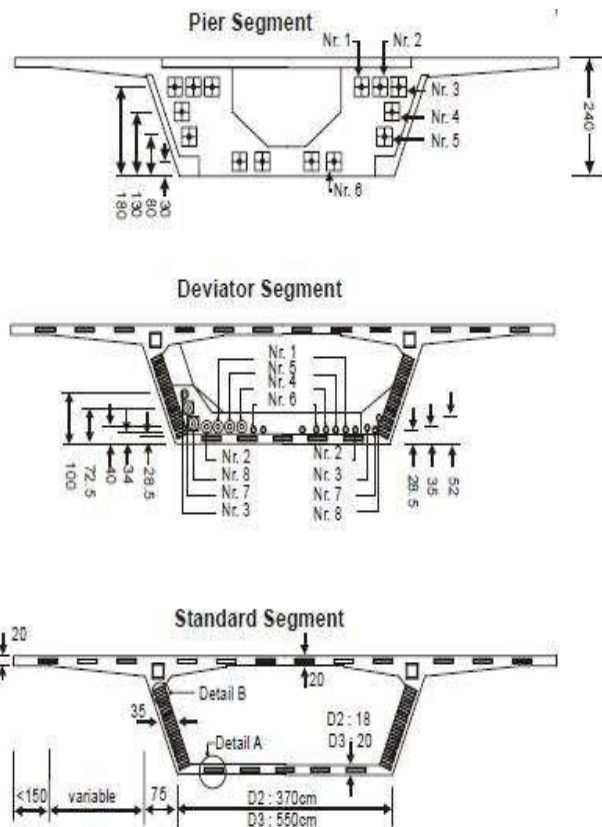
2.9.2 Elemen structural jembatan segmental box girder

Jembatan segmental seharusnya dibangun seperti struktur bentang tunggal untuk menghindari adanya sambungan kabel *post-tension*. Sehubungan dengan adanya eksternal *post-tension* maka diperlukan tiga macam segmen (**Gambar 2.2** dan **Gambar 2.3**), yang berbeda diantaranya (Rombach, 2002):

Pier Segment : Bagian ini terletak tepat diatas abutment.

Deviator segment : Bagian ini dibutuhkan untuk pengaturan deviasi tendon.

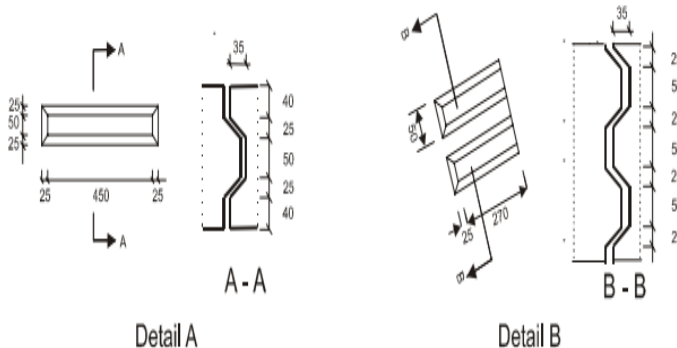
Standard segment : Dimensi standard box girder yang digunakan.



Gambar 2. 2 Tipe segmen box girder
(Sumber: jurnal Prof. Dr-Ing. G. Rombach, 2002)

2.9.3 Desain Elemen Sembungan

Berikut adalah gambar desain sambungan antar Box Girder menurut (Prof. Dr.-Ing. G.Rombach, 2002)

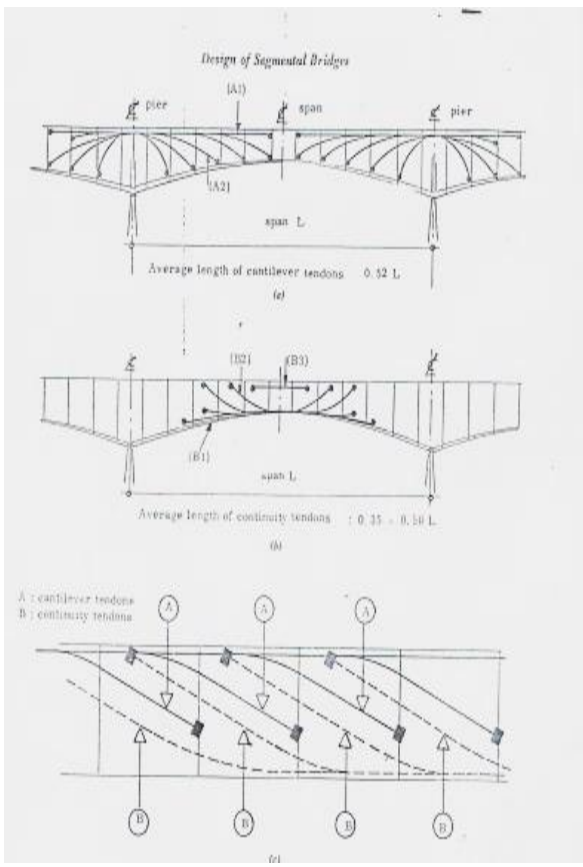


Gambar 2. 3 Detail sambungan pada segmen Box Girder
(Sumber: jurnal Prof. Dr-Ing. G. Rombach, 2002)

2.9.4 Desain Bentuk Tendon

Tendon pada jembatan *box girder* memiliki peranan utama, yang fungsi tendon itu adalah sebagai penopang tiap-tiap segmen dalam jembatan segmental *box girder* tendon diklasifikasikan menjadi dua macam, dalam buku *Prestressed Concrete Segmental Bridge* disebutkan bahwa tendon terdiri dari dua macam yaitu:

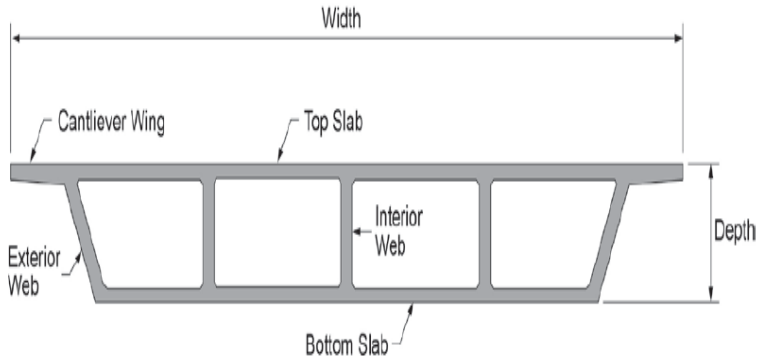
- a. *Cantilever Tendon* :terletak pada area momen negatif yang di *jacking* tiap segmennya.
- b. *Continuity Tendon* : bekerja untuk menyediakan gaya prestressing di area momen positif.



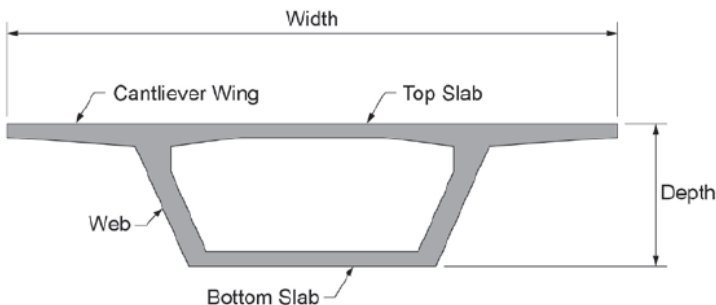
Gambar 2. 4 Perletakan Tendon pada Box Girder
 (Sumber : Buku *Concrete Pressstessed Segmental Brigde*)

2.9.5 Penampang Melintang (Post-Tensioned Box Girder Design Manual-2015)

Penampang melintang struktur atas dari box girder pratekan biasanya bertipe multi-cell (**Gambar 2.5**) atau single-cell (**Gambar 2.6**). Komponen dasar dari penampang melintang antara lain:



Gambar 2. 5. Penampang melintang *multi-cell box girder*
*(Sumber: Post-Tensioned Box Girder Design Manual-2015
 Figure 1.3)*



Gambar 2. 6 Penampang melintang *single-cell box girder*
*(Sumber: Post-Tensioned Box Girder Design Manual-2015
 Figure 1.4)*

Top slab – seluruh lebar dek beton, termasuk kantilever.

Cantilever wings

Webs

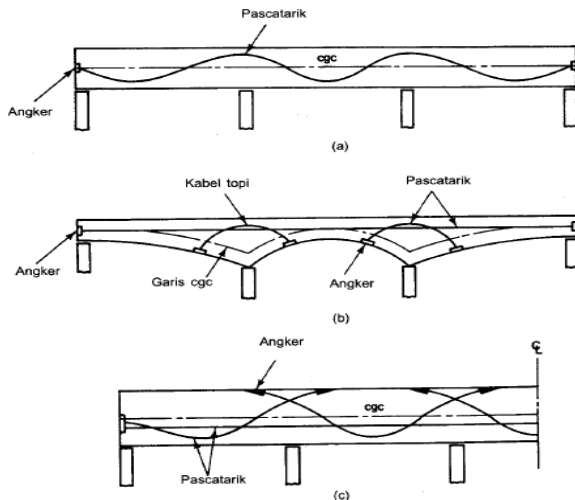
Bottom slab

Penampang melintang *multi-cellbox girder* dapat digunakan untuk berbagai macam lebar jembatan dengan menvariasikan jarak antara atau tebal badan. Lebar jembatan untuk *single-cellbox girder* biasanya digunakan untuk rentang 25 ft hingga 60 ft meskipun terdapat jembatan *single-cellbox girder* selebar 80 ft.

2.10 Balok Pratekan Menerus Statis Tak Tentu

Dalam tugas akhir ini direncanakan jembatan dengan konstruksi beton pratekan statis tak tentu. Seperti halnya dengan struktur menerus lainnya, lendutan pada balok menerus akan lebih kecil daripada lendutan pada balok sederhana (diatas dua tumpuan) (Lin, 2000). Kontinuitas pada konstruksi beton prategang dicapai dengan memakai kabel-kabel melengkung atau lurus yang menerus sepanjang beberapa bentangan. Juga dimungkinkan untuk menimbulkan kontinuitas antara dua balok pracetak dengan memakai “kabel tutup” (*capcable*). Alternatif lain, tendon-tendon lurus yang pendek dapat dipakai diatas tumpuan untuk menimbulkan kontinuitas antara dua balok prategang pracetak.

Beberapa metode kontinuitas pada konstruksi beton prategang (**Gambar 2.7**) (Nawy, 2001):



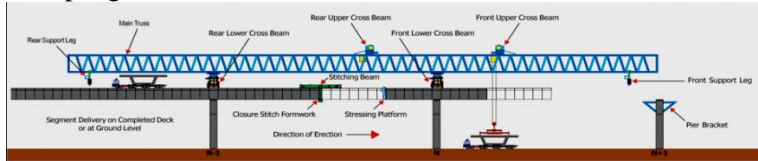
Gambar 2.7 Tata letak tendon untuk bentang menerus
 (Sumber: Buku Beton Prategang Jilid 1 Gambar 6.1 Nawy, 2001)

2.11 Metode Konstruksi Balance Cantilever (Launching Gantry)

Metode konstruksi balanced cantilever adalah metode pembangunan jembatan yang memanfaatkan efek kantilever seimbang sehingga struktur dapat berdiri sendiri tanpa bantuan penahan yang berada di bawahnya akibat dari dukungan berat sendirinya. Metode ini dilakukan untuk mengurangi kesulitan-kesulitan dalam pelaksanaan pembangunan kontruksi dikarenakan adanya aktivitas yang berada di bawah kontruksi seperti lalu lintas.

Metode Kontruksi balanced Cantilever Launching Gantry menggunakan satu buah gantry atau lebih untuk meluncurkan segmen box girder yang ada. Adapun kelebihan metode ini :

- a. Tidak mengganggu lalu lintas yang ada di bawah pengerjaan jembatan tersebut.
- b. Tidak memerlukan perancah
- c. Tidak memerlukan banyak tenaga kerja untuk pemasangan di lapangan



Gambar 2. 8 Kontruksi Balance Cantilever (*Launching Gantry*)

2.12 Perencanaaan Pondasi

Pondasi direncanakan sesuai kedalaman tanah keras seperti pada **Tabel 2.2**.

Tabel 2. 2 Hubungan jenis pondasi terhadap kedalamam tanah keras

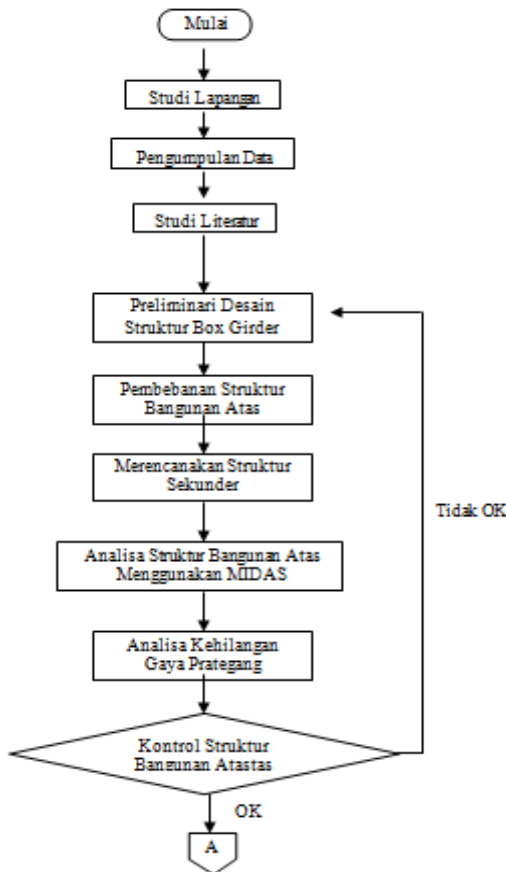
| Kedalaman Tanah Keras (m) | Jenis Pondasi |
|---------------------------|-----------------------|
| 0.00 - 3.00 | Pondasi Langsung |
| 3.00 - 10.00 | Pondasi Sumuran |
| 10.00 -20.00 | Pondasi Tiang pancang |
| > 20.00 | Pondasi Tiang Pancang |

2.13 Pondasi Tiang Pancang

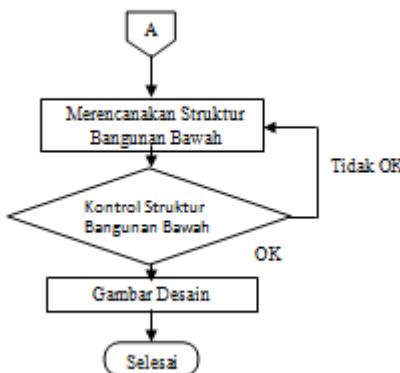
Tiang pancang adalah bagian-bagian konstruksi yang dapat terbuat dari kayu, beton, atau baja, yang digunakan untuk mentransmisikan beban-beban permukaan ke tingkat-tingkat permukaan yang lebih rendah dalam masa tanah. Hal ini merupakan distribusi vertikal dari beban sepanjang poros tiang pancang atau pemakaian beban secara langsung terhadap lapisan yang lebih rendah melalui ujung tiang pancang.

BAB III METODOLOGI

Sistematika metodologi pekerjaan Tugas Akhir dapat dilihat seperti diagram *flowchart* pada **Gambar 3.1** dan **3.2** di bawah:



Gambar 3. 1 Diagram alir penyelesaian tugas akhir



Gambar 3. 2 Diagram alir penyelesaian tugas akhir (lanjutan)

Penjelasan metodologi *flowchart* dalam Perencanaan Ulang Jembatan *fly over* Lingkar Barat (daerah Tandes) dengan Struktur Box Girder di atas sebagai berikut:

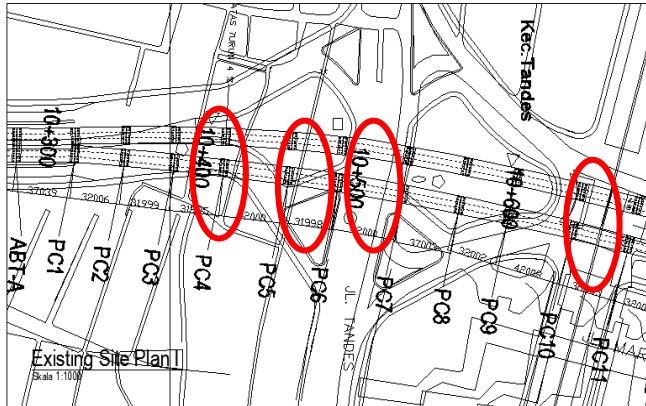
3.1 Pengumpulan Data

3.1.1 Data-data Teknis Jembatan

Jembatan *fly over* Lingkar Barat (daerah Tandes) direncanakan ulang menggunakan struktur jembatan box girder. Adapun data-data yang digunakan dalam perencanaan adalah sebagai berikut:

1. Panjang jembatan : 802 m (21 bentang) dengan bentangmaksimum (42) m
2. Lebar jembatan : 17.5 m
3. Lebar rencana jalan: 11.5 m
4. Lantai kendaraan : 2 lajur, 1 jalur ; beton pratekan
5. Lebar trotoar : 2 x 3 m
6. Gelagor utama : I girder pratekan

Adapun gambar *lay out existing* yang akan direncanakan ulang sebagai berikut :



Gambar 3. 3 Eksisting Lay Out Gambar Proyek

— : Pilar yang menghalangi jalan

Pilar yang menghalangi jalan terlebih dahulu akan pindahkan posisinya sampai menempati titik yang pilar tersebut tidak menghalangi jalan lagi dengan bentang sama namun jika harus memanjangkan panjang bentang antar pilar dengan gelagar utama profil I girder maka panjang maksimum yang diizinkan adalah 45 m (sesuai **tabel 2.1**). Namun, dalam pemindahan pilar masih terdapat pilar yang masih menghalangi jalan sehingga ada pilar yang harus dihilangkan sehingga jarak beberapa jarak antar pilar melebihi 45 m, sehingga penggunaan gelagar utama balok I girder sudah tidak ideal.

Adapun hasil lay out modifikasi adalah sebagai berikut :



Gambar 3.4 Hasil modifikasi Lay Out Gambar Proyek

Dari hasil modifikasi jarak antar pilar diperoleh bentang maksimum antar pilar 83 m sehingga penggunaan bentang yang ideal dari **tabel 2.1** adalah gelagar yang menggunakan balok *box girder*

3.1.2 Data Bahan

Bahan yang akan digunakan dalam perencanaan ulang jembatan *fly over* Lingkar Barat adalah sebagai berikut:

1. Beton

Kuat tekan beton untuk beton pratekan (f'_c) = 57 MPa

Kuat tekan beton untuk beton bertulang non pratekan (f'_c) = 40 MPa

2. Baja

Mutu baja yang digunakan pada beton pratekan adalah kabel jenis strand seven wires stress relieved (7 kawat untaian) dengan diameter 15,24 mm grade 270 (ASTM A-416), luasan strand = 98,71 mm².

Mutu baja yang digunakan penulangan struktur primer adalah baja mutu fy 400 MPa

Untuk penulangan struktur sekunder dipakai baja tulangan dengan mutu fy 400 MPa

Modulus elastisitas beton Es = 200.000 MPa

3.1.3 Tegangan Ijin Bahan

1. Beton

Beton Pratekan (f'_c) = 57 MPa menggunakan *Class U*. Pada saat transfer (tegangan beton sesaat sesudah pemindahan gaya pratekan sebelum kehilangan tegangan yang merupakan fungsi waktu) dimana penarikan pada umur, $f_{ci} = 95\% \times f'_c = 54.15$ MPa, sehingga tegangan pada serat terluar:

Tekan:

$$\text{BP L rāw BE L rāw H wvāw L ut } \frac{\alpha}{f'_c} /2 =$$

Tarik:

$$\text{BP L rāw } \frac{B}{2} \text{ L rāw H } \frac{3}{4} \overline{wvāw} \text{ L sāu } /2 =$$

Pada saat service (tegangan beton pada tingkat beban kerja, setelah memperhitungkan semua kehilangan pratekan yang mungkin terjadi), sehingga tegangan pada serat terluar:

Untuk tekan:

$$\text{B?PL rāw B''? L rāw H wvāw L twāw } /2 =$$

Untuk tarik:

$$\text{B?PL rāw } \frac{B''}{2} \text{ L rāw H } \frac{3}{4} \overline{wy} \text{ L uāy } /2 =$$

Modulus Elastisitas (Ec):

$$\text{? L vyrr } \frac{B''}{2} \text{ L vyrr } \frac{3}{4} \overline{wy} \text{ L uwvzv } /2 =$$

Tegangan Retak (fr):

$$\text{BNL rāw } \frac{B''}{2} \text{ L rāw } \frac{3}{4} \overline{wy} \text{ L wāz } /2 =$$

2. Baja Pratarik

Tegangan tarik pada tendon pratekan adalah sebagai berikut:

Modulus Elastisitas Es = 200.000 Mpa

Tegangan putus kabel fpu = 1860 Mpa

Tegangan leleh kabel fpy = $0.9 \times 1860 = 1674$ MPa

Tegangan tarik ijin kabel (*jacking*)

$$= 0.94 \times 1674 = 1572.56 \text{ MPa}$$

Tegangan tarik ijin kabel (setelah pengangkuran)

$$= 0.70 \times 1860 = 1302 \text{ MPa}$$

3.2 Preliminary Design

- a) Tafsiran tinggi box girder dari Buku *Prestressed Concrete Segmental Bridge* (Walter dan Muller, 1982)

Area tumpuan

$$\frac{\AA}{5} Q D Q \frac{\AA}{64} \quad (3-1)$$

Area tengah bentang

$$\frac{\AA}{74} Q D Q \frac{\AA}{94} \quad (3-2)$$

Sehingga tinggi box girder pada area tumpuan adalah

$$\frac{<7 \text{ } \AA}{5 <} L \text{ } v \ddot{a}k \text{ } I \text{ dan pada areah tengah bentang } \frac{<7 \text{ } \AA}{94} L \text{ } s \ddot{a}y \text{ } I$$

- b) Ketebalan minimum *web box girder* (Walter dan Muller, 1982)

| | |
|--------|---|
| 200 mm | = jika selongsong tendon tidak berada pada <i>box</i> . |
| 250 mm | = jika terdapat selongsong tendon berukuran kecil yang dipasca tarik secara vertikal maupun longitudinal terjadi dibadan <i>box</i> . |
| 300 mm | = jika terdapat selongsong tendon (12 ½ in) pada badan <i>box</i> . |
| 350 mm | = jika terdapat angkur tendon (12 ½ in) pada badan <i>box</i> . |

Penulis memilih tebal *web box* adalah 450 mm

- c) Ketebalan minimum *top flange box girder* dapat ditentukan berdasarkan **Tabel 3.1**.

d)

Tabel 3. 1 Ketentuan tebal *top flange* minimum profil box

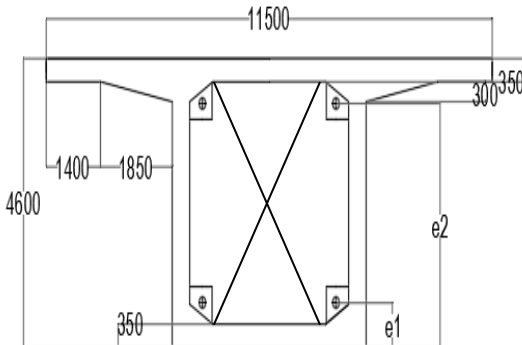
| Bentang antar <i>web</i> | Tebal minimum <i>top flange</i> |
|--------------------------|---|
| Kurang dari 3 m | 175 mm |
| Antara 3 – 4,5 m | 200 mm |
| Antara 4,5 – 7,5 m | 250 mm |
| Lebih dari 7,5 m | Digunakan <i>system rib</i> atau <i>hollow slab</i> |

(Sumber : Buku *Concrete Pressstessed Segmental Brigde*)

Untuk tebal *top flange* sebesar 350 mm

e) Ketebalan minimum *bottom flange box girder* = 125 mm.

Pada ketebalan *bottom flange* sebesar 350 mm



Gambar 3. 5 Gambar preliminary design box girder

3.3 Analisa Beban-beban yang Bekerja

Berdasarkan peraturan pembebahan jembatan RSNI T-02-2005 beban-beban yang bekerja pada jembatan antara lain:

1. Aksi dan beban tetap

Beban mati jembatan terdiri dari berat masing-masing bagian struktural dan elemen-elemen non-struktural. Masing-masing berat elemen ini harus dianggap sebagai aksi yang terintegrasi pada waktu menerapkan faktor beban biasa dan yang terkurangi. Perencana jembatan harus menggunakan kebijaksanaan dalam menentukan elemen-elemen tersebut. Aksi dan beban tetap meliputi:

a) Berat sendiri

Faktor beban berdasarkan materialnya dapat dilihat pada RSNI T-02-2005 pasal 5.2 tabel 2 dan tabel 3.

b) Beban mati tambahan/utilitas

Mengacu pada RSNI T-02-2005 pasal 5.3

- c) Pengaruh penyusutan dan rangkak
Mengacu pada RSNI T-02-2005 pasal 5.4
 - d) Pengaruh prategang
Mengacu pada RSNI T-02-2005 pasal 5.4.1
 - e) Tekanan tanah
Beban akibat tekanan tanah mengacu pada RSNI T-02-2005
2. Beban lalu lintas

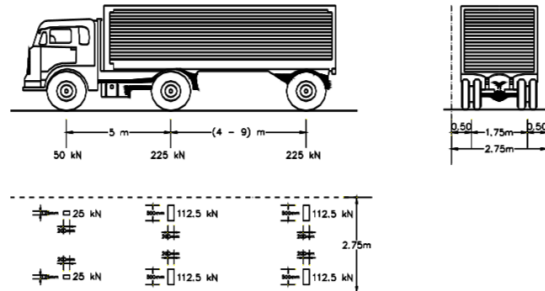
Beban lalu lintas untuk perencanaan jembatan terdiri atas beban lajur “D” dan beban truk “T”. Beban lajur “D” bekerja pada seluruh lebar jalur kendaraan dan menimbulkan pengaruh yang ekivalen dengan suatu iring-iringan kendaraan yang sebenarnya. Sedangkan beban truk “T” adalah satu kendaraan berat dengan 3 as yang ditempatkan pada beberapa posisi dalam lajur lalu lintas rencana. Hanya satu truk “T” diterapkan per lajur lalu lintas rencana.

- a) Beban lajur “D”
Terdiri dari beban terbagi rata (BTR) dan Beban garis (BGT). Beban terbagi rata (BTR) yang mempunyai intensitas q kPa, yang besarnya q tergantung pada panjang total yang dibebani (L) sebagai berikut: (RSNI T-02-2005 pasal 6.3)

$$L \leq 30 \text{ m}, q = 9 \text{ kPa}$$

$$L > 30 \text{ m}, q = 9 T (0.5 + 15.) \text{ kPa}$$

Beban garis (BGT) dengan intensitas p kN/m harus ditempatkan tegak lurus terhadap arah lalu lintas pada jembatan. Besarnya intensitas $p = 49.0$ kN/m.
- b) Beban Truk “T”
Pembebanan truk “T” terdiri dari kendaraan truk semi trailer yang mempunyai susunan dan berat as seperti pada **Gambar 3.6** dan perhitungan besar beban truk “T” didasarkan pada RSNI T-02-2005 pasal 6.4.



Gambar 3. 6 Susunan dan berat as pada beban truk “T”
(Sumber: RSNI T-02-2005 gambar 7)

3. Aksi lingkungan

a) Beban angin

Beban angin dihitung berdasarkan kecepatan angin rencana dan koefisien seretnya. Kecepatan angin (V_w) dan koefisien seret (C_w) ditentukan dalam RSNI T-02-2005 pada tabel 27 dan tabel 28.

Gaya nominal ultimat dan daya layan jembatan akibat angin dirumuskan seperti berikut:

$$TEW = 0.0006 C_w (V_w)^2 A_b \text{ (kN)} \quad (3-1)$$

Dimana:

C_w = koefisien seret

V_w = kecepatan angin rencana (m/s)

A_b = luas koefisien bagian samping jembatan (m^2)

Angin harus dianggap bekerja secara merata pada seluruh bangunan atas, apabila suatu kendaraan sedang berada di atas jembatan, maka beban akibat angin menjadi:

$$TEW = 0.0012 C_w (V_w)^2 \text{ (kN/m)} \quad (3-2)$$

3.4 Perhitungan Gaya Prategang Awal

Perhitungan gaya prategang awal berdasarkan peraturan SNI 2847-2013:

Tegangan tekan

$$\hat{e} PEL \frac{\hat{A}}{\hat{D}} F \frac{\hat{A}}{\hat{D}} E \frac{\hat{H}\hat{O}}{\hat{D}} \hat{E} \quad (3-3)$$

Tegangan Tarik

$$\hat{e} ?EL \frac{\hat{A}}{\hat{D}} E \frac{\hat{A}}{\hat{D}} F \frac{\hat{H}\hat{O}}{\hat{D}} \hat{E} \quad (3-4)$$

3.5 Pemilihan Kabel

Untuk strand kawat atau wires yang digunakan pada profil adalah strand ASTM A-416 produksi Freyssinet Prestressing System grade 270. Dengan spesifikasi sebagai berikut (**Tabel 3.2**):

Tabel 3. 2 Spesifikasi Strand Berdasarkan ASTM A-416

| Diameter mm (in.) | Min. Breaking Strength, kN (lbf) | Strand Steel Area mm ² (in ²) | Weight Kg/1000m (lb/1000ft) |
|----------------------|--|--|-----------------------------------|
| Grade 1725 (250) | | | |
| 6.40 (0.250) | 40.0 (9,000) | 23.2 (0.036) | 182 (122) |
| 7.90 (0.313) | 64.5 (14,500) | 37.4 (0.058) | 294 (197) |
| 9.50 (9.50) | 89.0 (20,000) | 51.6 (0.080) | 405 (272) |
| 11.10 (0.438) | 120.1 (27,000) | 69.7 (0.108) | 548 (367) |
| 12.70 (0.500) | 160.1 (36,000) | 92.9 (0.144) | 730 (490) |
| 15.20 (0.600) | 240.2 (54,000) | 139.4 (0.216) | 1,094 (737) |
| Grade 1860 (270) | | | |
| 9.53 (0.375) | 102.3 (23,000) | 54.80 (0.085) | 432 (290) |
| 11.11 (0.438) | 137.9 (31,000) | 74.2 (0.115) | 582 (390) |
| 12.70 (0.500) | 183.7 (41,300) | 98.70 (0.153) | 775 (520) |
| 15.24 (0.600) | 260.7 (58,600) | 140.0 (0.217) | 1,102 (740) |

(Sumber: Freyssinet Prestressing System brochure)

3.6 Kehilangan Gaya Pratekan

Gaya prategang efektif (gaya prategang rencana) adalah gaya prategang awal pada baja dikurangi semua kehilangan gaya pratekan. Kehilangan gaya pratekan yang terjadi adalah:

1. Kehilangan gaya prategang langsung

Adalah kehilangan gaya awal pratekan sesaat setelah pemberian gaya pratekan pada komponen balok pratekan, yang terdiri dari :

- a. Perpendekan elastis beton (ES)

Perhitungannya kehilangan prategang akibat perpendekan elastis beton mengacu pada RSNI T-12-2004 pasal. 6.4.2 dengan rumus sebagai berikut:

$$'5 L -AO\ddot{O} \frac{\ddot{O} \ddot{U}}{\ddot{U}} \quad (3-5)$$

dengan nilai fcir sebagai berikut :

$$B?ENL \frac{\hat{\theta}}{\circ} E \frac{\emptyset H\emptyset}{\hat{A}} F \frac{AE, H\emptyset}{\hat{A}} \quad (3-6)$$

Dimana:

Kes = 1 untuk komponen struktur pratarik
= 0,5 untuk struktur pasca tarik bila kabel-kabel secara berturut-turut ditarik dengan gaya yang sama

Eci = modulus elastisitas beton saat pengangkuran

Es = Modulus elastisitas baja prategang

fcir = tegangan beton di daerah c.g.s akibat beban tetap (*dead load*)

MG = Momen akibat berat sendiri beton

- b. Kehilangan prategang akibat slip pengangkuran (ANC) (Lin, 1981)

$$\theta \% L \hat{A} B O L \frac{\hat{\theta}}{\hat{A}} \quad (3-7)$$

Dimana:

Δa = deformasi pengangkuran

Es = 200000 MPa

- c. Kehilangan prategang akibat gesekan (*friction and wobble effect*) (Lin,1981)

$$\frac{\dot{\epsilon}^6? \dot{\epsilon}^5}{\dot{\epsilon}^5} L F - \ddot{a} F \ddot{a} \ddot{U} \quad (3-8)$$

Dimana:

F_2 = tegangan tarik satuan pada jarak L

F_1 = tegangan tarik satuan pada ujung pendongkrakan

K = Koefisien wobble (**Tabel 3.3**)

μ = koefisien kelengkungan (**Tabel 3.3**)

α = sudut kelengkungan 11

L = panjang sampai titik yang ditinjau

Tabel 3. 3 Koefisien-koefisien gesekan untuk tendon pasca tarik

| Tipe Tendon | K tiap meter | |
|--|--|--|
| Tendon pada selubung logam fleksibel: - Tendon kawat - Strand dengan untaian 7 kawat - Baja mutu tinggi | 0,0033 – 0,0049 0,0016 – 0,0066 0,0003 – 0,0020 | 0,15 – 0,25 0,15 – 0,25 0,08 – 0,30 |
| Tendon pada selubung logam kaku - Strand dengan untaian 7 kawat | 0,0007 | 0,15 – 0,25 |
| Tendon yang diminyaki terlebih dahulu - Tendon kawat dan strand dengan untaian 7 kawat | 0,001 – 0,0066 | 0,05 – 0,15 |
| Tendon yang diberi lapisan mestic - Tendon kawat dan strand dengan untaian 7 kawat | 0,0033 – 0,0066 | 0,05 – 0,15 |

2. Kehilangan gaya prategang tak langsung

Merupakan kehilangan yang terjadi karena bergantung pada fungsi waktu. Kehilangan ini tidak terjadi sesaat setelah pemberian gaya prategang. Kehilangan gaya prategang tak langsung meliputi:

a. Akibat rangkak beton (CR)

Kehilangan gaya pratekan akibat rangkak beton dihitung dengan rumus sebagai berikut (Lin, 1981):

$$\% \Delta L = \frac{N_{eff}}{N_{cr}} : B \cdot E \cdot F \cdot B \cdot Q; \quad (3-9)$$

Dimana:

$K_{cr} = 1,6$ untuk struktur pasca tarik

f_{cir} = tegangan beton akibat gaya prategang efektif segera setelah diberi gaya prategang

f_{cds} = tegangan beton pada titik berat tendon akibat seluruh beban mati yang bekerja pada komponen struktur setelah diberi gaya prategang

b. Akibat susut beton (*shrinkage*)

Perhitungan kehilangan gaya prategang akibat susut menurut buku beton prategang (Lin, 1981) adalah sebagai berikut:

$$SH = 8,2 \times 10^{-6} \cdot K_{sh} \cdot E_s (1 - 0,06 v/s)(100 - RH) \quad (3-10)$$

Dimana:

K_{sh} = koefisien susut (**Tabel 3.4**)

V = volume beton

S = luas selimut yang berhubungan dengan udara

RH = kelembaban udara

Tabel 3.4 Nilai koefisien susut (Ksh) untuk komponen struktur pasca tarik

| | | | | | | | | |
|--|------|------|------|------|------|------|------|------|
| Jangka waktu setelah perawatan basah sampai penerapan prategang (hari) | 1 | 3 | 5 | 7 | 10 | 20 | 30 | 60 |
| Ksh | 0,92 | 0,85 | 0,80 | 0,77 | 0,73 | 0,64 | 0,58 | 0,45 |

c. Akibat relaksasi baja

Kehilangan gaya pratekan akibat relaksasi baja menurut buku beton prategang oleh (Lin,1981) dirumuskan sebagai berikut:

$$RE = [Kre - J(SH + CR + ES)].C \quad (3-11)$$

Dimana:

Kre, J, dan C didapat dari **Tabel 3.5** dan **Tabel 3.6** SH, CR, dan ES = kehilangan-kehilangan gaya prategang akibat susut, rangkak, dan perpendekan elastisitas beton

Tabel 3. 5 Nilai-nilai C

| fpi/fpu | Strand atau kawat stress-relieved | Batang stress-relieved atau strand atau kawat relaksasi rendah |
|---------|-----------------------------------|--|
| 0,80 | | 1,28 |
| 0,79 | | 1,22 |
| 0,78 | | 1,16 |
| 0,77 | | 1,11 |
| 0,76 | | 1,05 |
| 0,75 | 1,45 | 1,00 |
| 0,74 | 1,36 | 0,95 |
| 0,73 | 1,27 | 0,90 |
| 0,72 | 1,18 | 0,85 |
| 0,71 | 1,09 | 0,80 |
| 0,70 | 1,00 | 0,75 |
| 0,69 | 0,94 | 0,70 |
| 0,68 | 0,89 | 0,66 |
| 0,67 | 0,83 | 0,61 |
| 0,66 | 0,78 | 0,57 |
| 0,65 | 0,73 | 0,53 |
| 0,64 | 0,68 | 0,49 |
| 0,63 | 0,63 | 0,45 |
| 0,62 | 0,58 | 0,41 |
| 0,61 | 0,53 | 0,37 |
| 0,60 | 0,49 | 0,33 |

Tabel 3. 6 Nilai-nilai J dan Kre

| Tipe tendon | K_{re} | J |
|---|-----------------------|----------|
| Strand atau kawat stress-relieved derajat 1860 MPa | 138 | 0,15 |
| Strand atau kawat stress-relieved derajat 1720 MPa | 128 | 0,14 |
| kawat stress-relieved derajat 1655 MPa atau 1620 MPa | 121 | 0,13 |
| Strand relaksasi-rendah derajat 1860 MPa | 35 | 0,040 |
| Kawat relaksasi-rendah derajat 1720 MPa | 32 | 0,037 |
| Kawat relaksasi-rendah derajat 1655 MPa atau 1620 MPa | 30 | 0,035 |
| Batang stress-relieved derajat 1000 MPa atau 1100 MPa | 41 | 0,05 |

3.7 Momen Retak

Momen retak (Mcr) pada struktur beton pratekan dihitung berdasarkan teori elastis. Retak terjadi apabila serat beton terjauh mencapai *modulus of rupture (fr)* dengan nilai sebesar $0,70\sqrt{f'_c}$

$$\frac{\sigma}{E} = \frac{\sigma_{fr}}{E} F \frac{A}{L} F_B N \quad (3-12)$$

$$\therefore N = \frac{A}{i} T \frac{A}{i}; E = \frac{\sigma_{fr}}{A} T \frac{A}{i}; F = BNT \frac{A}{i}; \quad (3-13)$$

$$\therefore 1 = \square \square \square + P \square \quad (3-14)$$

$$\square = B \square \square \square \quad (3-15)$$

$$M_{cr} = M_1 + M_2 \quad (3-16)$$

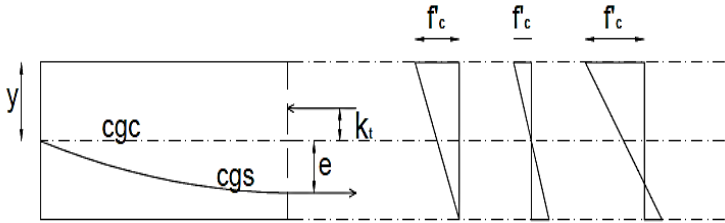


Diagram
Teg. Untuk M1

Diagram
Teg. Untuk M2

Gambar 3.7 Diagram Skematik Momen Retak
(Sumber: Lin, 1981)

Dimana:

F = gaya pratekan efektif setelah kehilangan

I = inersia balok

e = eksentrisitas dari garis netral beton (c.g.c) ke tendon baja

(c.g.s)

A = luas penampang balok

y = garis netral balok

f_r = modulus keruntuhan (*modulus of rupture*)

3.8 Momen Nominal

Kontrol penampang dilakukan untuk mengetahui kekuatan batas penampang rencana mampu atau tidak menahan momen ultimate yang terjadi. Nilai momen nominal bergantung pada desain penampang (menggunakan tulangan lunak terpasang atau tidak) dan pada ukuran penampang balok. Rumus perhitungan momen nominal adalah sebagai berikut:

$$6 = \square \square O \square B \square O \quad (3-17)$$

$$\# LO = \square \square \square \square \square \square \quad (3-18)$$

$$BLOL BLQ@ F \frac{\tilde{a}}{5} \text{ BE } \frac{\tilde{a}}{UfO} E \frac{x}{x\tilde{a}} : \tilde{F} \tilde{F} \tilde{F} ; CA \quad (3-19)$$

$$\begin{array}{c} \square \square \square \\ \hline 4 \square \square \square \square \end{array} \quad (3-20)$$

$$\Delta L = \frac{M_n}{E} F \quad (3-21)$$

Dimana:

M_n = momen nominal penampang

T = gaya tarik = $A_{ps} \times f_{ps}$

A_{ps} = luas tulangan pratekan dalam daerah tarik

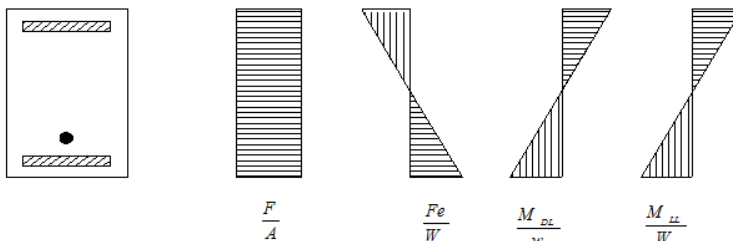
f_{ps} = tegangan tulangan pratekan saat mencapai kuat nominal

d = jarak dari serat tekan terluar ke titik berat tulangan
prategang

a = tinggi balok tekan persegi ekuivalen

3.9 Momen Lentur

$$\Delta M = L \cdot \frac{\epsilon_{ps}}{E} G \cdot \frac{\epsilon_e}{E} G \cdot \frac{\epsilon_w}{E} Q \quad (3-22)$$



Gambar 3. 8 Tegangan Ijin Lentur Akibat Gaya Pratekan dan Beban yang Bekerja

Dimana:

ϵ_{ps} = tegangan lentur yang terjadi pada serat atas dan bawah

F = gaya pratekan efektif setelah kehilangan

A = luas penampang

e = eksentrisitas dari garis netral beton pratekan (c.g.c) ke tendon baja (c.g.s)

MDL = momen akibat berat sendiri

MLL = momen akibat beban hidup

ϵ_{ps} tegangan ijin sesuai dengan ketentuan

3.10 Kontrol Geser

Kekuatan geser rencana harus diambil sebesar ϕV_n dimana kuat geser batas V_n diatur dalam RSNI T-12 2004 pada persamaan (6.8-10) dan ϕ merupakan faktor kekuatan yang sesuai dengan sub-pasa 4.5.2. Agar syarat keamanan geser terpenuhi maka kuat geser rencana harus lebih besar dari gaya geser batas (ultimate), V_u , pada penampang yang ditinjau akibat kombinasi pembebanan luar yang paling berbahaya.

$$8J = \frac{8B}{8} + \frac{8D}{8} \quad (3-23)$$

Dalam penentuan V_c , pengaruh tarik aksial akibat rangkak dan susut pada komponen struktur yang terkekang perlu diperhitungkan.

$$8L F \frac{\bar{U}_0}{64} E w \frac{k}{E} \geq G > S \quad (3-24)$$

Dan V_c harus memenuhi persyaratan berikut:

$$\frac{5}{8} \sqrt{B''} \geq S \quad Q \leq \sqrt{B''} \geq S \quad (3-25)$$

Jika perhitungan geser dihitung secara rinci, maka V_c harus diambil dari nilai terkecil antara retak geser terlentur (V_{ci}) atau retak geser badan (V_{cw})

$$8EL \frac{\bar{U}_0}{64} \geq S @ E \quad 8@E \frac{M}{E} \quad (3-26)$$

Dimana:

$$\frac{1}{8} N L \frac{\bar{A}}{k} \geq \frac{3\bar{U}_0}{6} E BLAF B @ A \quad (3-27)$$

Tetapi nilai V_{ci} tidak perlu diambil kurang daripada $\frac{3\bar{U}_0}{6} > S @ .$ dan nilai-nilai M_{max} dan V_i harus dihitung dari kombinasi beban yang menimbulkan momen maksimum pada penampang yang ditinjau.

$$8S L r \leq \frac{3}{4} B'' E BL @ E > S @ E 8L \quad (3-28)$$

Keterangan:

V_c = kuat geser nominal yang disumbangkan oleh beton

V_u = kuat geser ultimate dari kombinasi beban yang ada

- Vci = kuat geser nominal yang disumbangkan oleh beton pada saat terjadinya keretakan diagonal akibat momen dan geser
 Vcw = kuat geser nominal yang disumbangkan oleh beton pada saat terjadinya keretakan diagonal akibat tegangan tarik utama yang berlebihan pada badan penampang.
 Vd =gaya geser pada penampang akibat beban mati tidak terfaktor
 Vi =gaya geser terfaktor pada penampang akibat beban luar yang terjadi bersamaan dengan Mmax.
 Vp =komponen vertikal gaya pratekan efektif pada penampang
 I =Momen inersia penampang yang menahan beban luar terfaktor yang bekerja
 yt = jarak tepi atas balok ke garis netral
 bw = lebar badan / garis tengah penampang
 d =jarak dari serat tekan terluar ke titik berat tulangan prategang
 Mcr =momen yang menyebabkan terjadinya retak lentur pada penampang akibat beban luar
 M_{\max} =momen terfaktor maksimum pada penampang akibat beban luar
 fd =tegangan akibat beban mati tak terfaktor pada sera terluar penampang dimana tegangan tarik disebabkan oleh beban luar
 fpc =tegangan tekan beton (setelah memperhitungkan semua kehilangan gaya pratekan) pada titik berat penampang yang menahan beban luar atau pertemuan antara badan dan flens jika titik berat terletak di dalam flens
 fpe =tegangan tekan pada beton akibat gaya pratekan efektif saja (setelah memperhitungkan semua kehilangan gaya pratekan) pada serat terluar penampang dimana tegangan tarik terjadi akibat beban luar

3.11 Lendutan

Ada 2 macam lendutan yang terjadi:

- a. Lendutan ke atas (*camber*) akibat gaya prategang

$$\delta L F \frac{\frac{H}{5}^0}{5 < H} \quad (3-29)$$

- b. Lendutan ke bawah akibat beban merata dan beban terpusat

$$\delta L F \frac{\frac{H}{5}^0}{5 < H} H \frac{4\sqrt{4} = < E A}{A} \quad (3-30)$$

Dimana :

W = beban yang terdistribusi secara merata kearah atas

P = beban terpusat

q = beban terbagi rata

L = panjang bentang

3.12 Preliminari Desain Bangunan Bawah

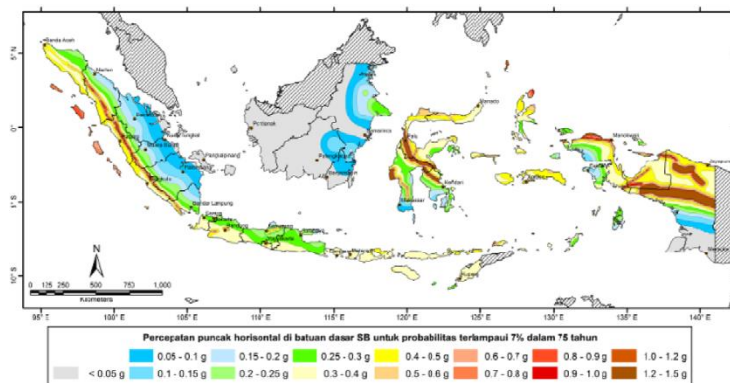
Perencanaan struktur bawah meliputi perencanaan pilar, abutment dan perencanaan pondasi. Untuk menganalisa bangunan bawah terlebih dahulu dilakukan analisa beban gempa dengan bantuan program MIDAS.

3.13 Analisa Beban Gempa

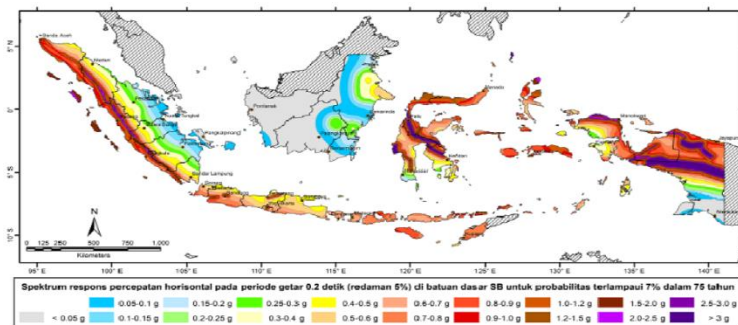
Analisa beban gempa dilakukan dengan analisa respon spektrum sebagai berikut:

3.13.1 Percepatan respon spektrum

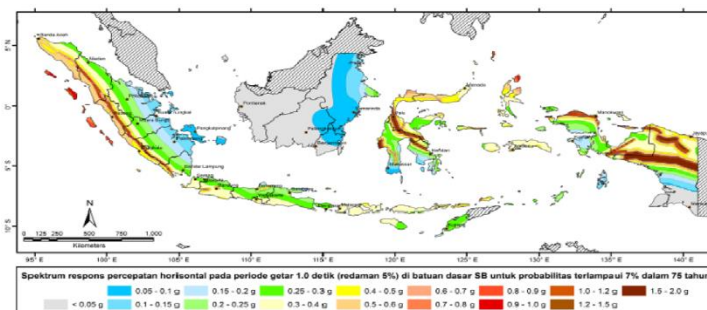
Penentuan wilayah gempa meliputi peta percepatan puncak batuan dasar (*PGA*) dan respons spectra percepatan 0,2 detik dan 1 detik dapat dilihat pada **Gambar 3.9, 3.10 dan 3.11**



Gambar 3.9 Peta percepatan puncak di batuan dasar (PGA) untuk probabilitas terlampaui 7% dalam 75 tahun.
(Sumber: SNI 2833-2013 Gambar 4)



Gambar 3.10 Peta respon spectra percepatan 0,2 detik di batuan dasar untuk probabilitas terlampaui 7% dalam 75 tahun
(Sumber: SNI 2833-2013 Gambar 5)



Gambar 3. 11 Peta respon spectra percepatan 1 detik di batuan dasar untuk probabilitas terlampaui 7% dalam 75 tahun
(Sumber: SNI 2833-2013 Gambar 6)

3.13.2 Faktor situs

Faktor amplifikasi meiputi factor amplifikasi getaran terkait percepatan pada getaran periode nol detik (F_{PGA}), factor amplifikasi periode pendek (F_a) dan factor amplifikasi periode 1 detik (F_v) yang dapat ditentukan menggunakan **Tabel 3.7** dan **3.8**

Tabel 3. 7 Faktor aplifikasi untuk periode 0 detik dan 0,2 detik
 (F_{PGA}/F_a)

| Kelas Situs | PGA ≤ 0.1 $S_a \leq 0.25$ | PGA = 0.2 $S_a = 0.5$ | PGA = 0.3 $S_a = 0.75$ | PGA = 0.4 $S_a = 1.0$ | PGA > 0.5 $S_a \geq 1.25$ |
|-------------------|------------------------------|--------------------------|---------------------------|--------------------------|------------------------------|
| Batuan Keras (SA) | 0.8 | 0.8 | 0.8 | 0.8 | 0.8 |
| Batuan (SB) | 1.0 | 1.0 | 1.0 | 1.0 | 1.0 |
| Tanah Keras (SC) | 1.2 | 1.2 | 1.1 | 1.0 | 1.0 |
| Tanah Sedang (SD) | 1.6 | 1.4 | 1.2 | 1.1 | 1.0 |
| Tanah Lunak (SE) | 2.5 | 1.7 | 1.2 | 0.9 | 0.9 |
| Tanah Khusus (SF) | SS | SS | SS | SS | SS |

Catatan : Untuk nilai-nilai antara dapat dilakukan interpolasi linier

Keterangan :

PGA adalah percepatan puncak batuan dasar mengacu pada Peta Gempa Indonesia (Gambar 1 atau Gambar 4)

S_a adalah parameter respons spektral gempa untuk periode pendek ($T=0.2$ detik) mengacu pada Peta Gempa Indonesia 2010 (Gambar 2 atau Gambar 5)

SS adalah lokasi yang memerlukan investigasi geoteknik dan analisis respons dinamik spesifik.

(Sumber: SNI 2833-2013 Tabel 3)

Tabel 3. 8 Faktor amplifikasi untuk periode 1 detik (F_v)

| Kelas Situs | $S_5 \leq 0.1$ | $S_5 = 0.2$ | $S_5 = 0.3$ | $S_5 = 0.4$ | $S_{\alpha \geq 0.5}$ |
|-------------------|----------------|-------------|-------------|-------------|-----------------------|
| Batuan Keras (SA) | 0.8 | 0.8 | 0.8 | 0.8 | 0.8 |
| Batuan (SB) | 1.0 | 1.0 | 1.0 | 1.0 | 1.0 |
| Tanah Keras (SC) | 1.7 | 1.6 | 1.5 | 1.4 | 1.3 |
| Tanah Sedang (SD) | 2.4 | 2.0 | 1.8 | 1.6 | 1.5 |
| Tanah Lunak (SE) | 3.5 | 3.2 | 2.8 | 2.4 | 2.4 |
| Tanah Khusus (SF) | SS | SS | SS | SS | SS |

Catatan : Untuk nilai-nilai antara dapat dilakukan interpolasi linier

Keterangan :

PGA adalah percepatan puncak batuan dasar mengacu pada Peta Gempa Indonesia (Gambar 1 atau Gambar 4)

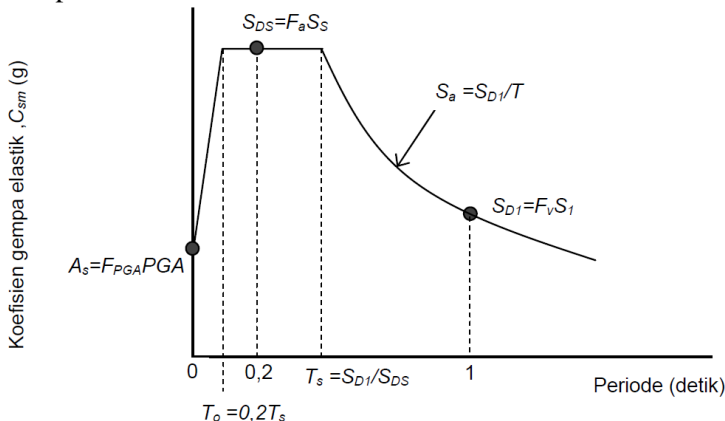
S_5 adalah parameter respons spektral gempa untuk periode pendek ($T=0.2$ detik) mengacu pada Peta Gempa Indonesia 2010 (Gambar 3 atau Gambar 6)

SS adalah lokasi yang memerlukan investigasi geoteknik dan analisis respons dinamik spesifik.

(Sumber: SNI 2833-2013 Tabel 4)

3.13.3 Respon spectrum rencana

Bentuk tipikal respons spectra di permukaan tanah dapat dilihat pada **Gambar 3.9**.



Gambar 3. 12 Bentuk tipikal respons spectra di permukaan tanah
(Sumber: SNI 2833-2013 Gambar 7)

Respons spectra di permukaan tanah ditentukan dari 3 (tiga) nilai percepatan puncak yang mengacu pada peta gempa Indonesia 2010 (PGA , S_s dan S_1), serta nilai faktor amplifikasi F_{PGA} , F_a dan F_v dengan perumusan sebagai berikut:

$$\#_1 L (\text{H } 2) \quad (3-31)$$

$$5_{1/21} L (\text{H } 5_{\alpha}) \quad (3-32)$$

$$5_{1/25} L (\epsilon \text{ H } 5_5) \quad (3-33)$$

3.13.4 Koefisien respons gempa elastik

1. Untuk periode yang lebih kecil dari T_0 , koefisien respons gempa elastic (C_{sm}) didapatkan dari persamaan:

$$\%_e L : 5_{1/21} F \#_1 ; \frac{1}{1} E \#_1 \quad (3-34)$$

2. Untuk periode lebih besar dari atau sama dengan T_0 dan lebih kecil dari atau sama dengan T_s , respons spectra percepatan, $\%_e$ sama dengan S_{DS} .

3. Untuk perioda lebih besar dar Ts, koefisien respons gempa elastic $\%_e$ didapatkan dari persamaan:

$$\%_e = L \frac{\dot{I}_{\mu-}}{\dot{I}} \quad (3-35)$$

Dimana:

S_{DS} : parameter respons spektral percepatan desain pada perioda pendek

S_{DI} : parameter respons spektral percepatan desain pada perioda 1 detik

$$6_4 L \approx 6_e$$

$$6_e L \frac{5_{1/25}}{5_{1/21}}$$

Penggunaan masing-masing persamaan dapat membentuk respon spectra di permukaan seperti diperlihatkan pada **Gambar 3.12**

3.13.5 Kategori kinerja seismik

Setiap jembatan harus ditetapkan dalam salah satu dari empat zona gempa berdasarkan spectra percepatan periode 1 detik (SD1) sesuai **Tabel 3.9**.

Tabel 3.9 Zona Gempa

| Koefisien percepatan ($5_{1/25}$; | Zona Gempa |
|-------------------------------------|------------|
| $5_{1/25} \leq 0.15$ | 1 |
| $0.15 < 5_{1/25} \leq 0.30$ | 2 |
| $0.30 < 5_{1/25} \leq 0.50$ | 3 |
| $5_{1/25} > 0.50$ | 4 |

Catatan : $5_{1/25} L (\epsilon T_5^2)$

$5_{1/25}$ adalah nilai spektral permukaan tanah pada periode 1.0 detik

(ϵ) adalah nilai faktor amplifikasi untuk periode : (ϵ) ;

T_5 adalah parameter respons spektral percepatan gempat untuk periode 1.0 detik mengacu pada Peta Gempa Indonesia 2010 (Gambar 3)

(Sumber: SNI 2833-2013 Tabel 5)

3.13.6 Faktor modifikasi respons

Gaya gempa rencana pada bangunan bawah dan hubungan antara elemen struktur ditentukan dengan cara membagi gaya gempa elastis dengan faktor modifikasi respons (R) sesuai dengan **Tabel 3.10 dan Tabel 3.11**.

Tabel 3. 10 Faktor modifikasi respon(R) untuk bangunan bawah

| Bangunan Bawah | Kategori kepentingan | | |
|-----------------------------|----------------------|---------|---------|
| | Sangat Penting | Penting | Lainnya |
| Pilar tipe dinding | 1.5 | 1.5 | 2.0 |
| Tiang/kolom beton bertulang | | | |
| Tiang vertikal | 1.5 | 2.0 | 3.0 |
| Tiang miring | 1.5 | 1.5 | 2.0 |
| Kolom tunggal | 1.5 | 2.0 | 3.0 |
| Tiang baja dan komposit | | | |
| Tiang vertikal | 1.5 | 3.5 | 5.0 |
| Tiang miring | 1.5 | 2.0 | 3.0 |
| Kolom Majemuk | 1.5 | 3.5 | 5.0 |

Catatan :

Pilar tipe dinding dapat direncanakan sebagai tunggal dalam arah sumbu lemah pilar

(Sumber: SNI 2833-2013 Tabel 6)

Tabel 3. 11 Faktor modifikasi respons (R) untuk hubungan antar elemen struktur

| Hubungan elemen struktur | Semua kateg kepentingan |
|--|----------------------------|
| Bangunan atas dengan kepala jembatan | 0.8 |
| Sambungan muai (dilatasasi) pada bangunan atas | 0.8 |
| Kolom, pilar, atau tiang dengan bangunan atas | 1.0 |
| Kolom atau pilar dengan fondasi | 1.0 |

(Sumber: SNI 2833-2013 Tabel 7)

3.13.7 Beban Gempa

Beban gempa diambil sebagai gaya horizontal yang ditentukan dengan formulasi sebagai berikut:

$$\text{Beban gempa} = L \cdot \frac{\gamma_{\text{g}}}{E} \cdot H \cdot 9 \cdot \xi^4 \quad (3-36)$$

Dimana:

Beban gempa : gaya gempa horizontal statis (kN)

γ_{g} : koefisien respons gempa elastic pada mortas getar km

4 : faktor modifikasi respons

$9 \cdot \xi$: berat total struktur terdiri dari beban mati dan beban hidup yang sesuai (kN)

3.14 Pilar dan Abutment

Pilar dan Abutment direncanakan menggunakan tipe solid. Dalam perencanaan kolom perlu dipenuhi syarat *Balance Stiffness* untuk mengetahui kekakuan atau kolom yang bersebelahan yaitu minimal 0,5.

$$\frac{\frac{A}{X}}{R} \leq 0.5 \quad (3-37)$$

Cek kelangsungan struktur:

$$\frac{P_{\text{d}}}{A} \leq O_t \quad (3-38)$$

Tulangan longitudinal: Sesuai RSNI T-12-2004 luas dari tulangan kolom tidak kurang dari $0,01 A_g$ dan tidak lebih dari $0,08 A_g$.

3.15 Pondasi

Perencanaan pondasi tiang pancang dilakukan berdasarkan hasil SPT.

3.15.1 Daya dukung tiang pondasi berdasarkan hasil SPT dengan metode Luciano Decourt (1996)

Harga N koreksi
Harga N di bawahmuka airtanahharusdikoreksimengjadi N'
berdasarkanperumusansebagaiberikut: (TERZAGHI & PECK)

$$N' = 15 + 0.5 N - 15 \quad (3-39)$$

Dimana:

N = Jumlah pukulan kenyataan di lapangan untuk di bawah muka air tanah

N' = Harga N terkoreksikarena N dibawah muka air tanah

Metode Luciano Decourt (1996):

$$Q_L \quad Q_P \quad Q_S \quad (3-40)$$

Dimana :

Q_L = Daya dukung tanah maksimum pada pondasi

Q_P = Daya dukung pada dasar pondasi

Q_S = Daya dukung akibat lekatan lateral

$$Q_P \quad q_P A_P \quad N_P K \quad A_P \quad (3-41)$$

Dimana:

\bar{N}_P = Harga rata-rata SPT disekitar 4B di atas hingga 4B di bawah

$$\text{dasar tiang pondasi (} B = \text{diameter pondasi}) = \frac{\sum_{i=1}^n N_i}{n}.$$

K = Koefisien karakteristik tanah:

12 t/m², untuk lempung

20 t/m², untuk lanau berlempung

25 t/m², untuk lanau berpasir

40 t/m², untuk pasir

A_P = Luas penampang dasar tiang

q_P = Tegangan diujung tiang

= Base coefficient = 1,00 untuk driven pile (tiang pancang)

$$Q_s \quad q_s A_s \quad N_s / 3 \quad 1 A_s \quad (3-42)$$

Dimana :

q_s = Tegangan akibat lekatan lateral dalam t/m²

\bar{N}_s = Harga rata-rata sepanjang tiang yang tertanam, dengan batasan : $3 \leq N \leq 50$

A_P = Keliling x panjang tiang yang terbenam (luas selimut tiang)

= Shaft coefficient = 1,00 untuk driven pile

3.15.2 Kekuatan material tiang pancang

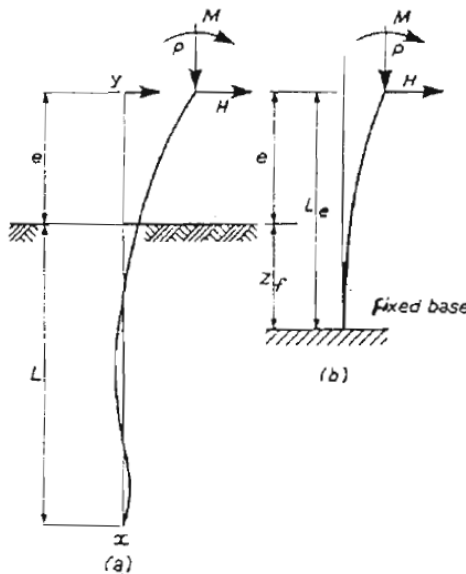
Letak titik jepit tanah terhadap tiang pondasi (Zf), dihitung dengan perumusan sebagai berikut (**Gambar 3.13**):

$Zf = 1,8 \text{ T}$ untuk normally consolidated clay dan granular soil, atau yang mempunyai kenaikan linier harga modulus.

Tabel 3. 12 Tabel Spesifikasi Tiang Pancang

| Nominal Diameter | Nominal Thickness | Length | Nominal Weight | Prestressing Bar | | | | Area of Concrete | Section Modulus | Bending Moment | | Recommended Max Structural Axial Working Load (For a short strut) | Effective Prestress |
|------------------|-------------------|--------|----------------|------------------|--------|---------|---------|------------------|----------------------|----------------|----------|---|---------------------|
| | | | | 7.1 mm | 9.0 mm | 10.7 mm | 12.6 mm | | | Cracking | Ultimate | | |
| mm | mm | m | kg/m | no. | no. | no. | no. | mm ² | x1000mm ³ | kNm | kNm | ton | N/mm ² |
| 250 | 55 | 6-12 | 88 | 7 | - | - | - | 33.694 | 1.443 | 16.2 | 33.8 | 63 | 7.20 |
| 300 | 60 | 6-12 | 118 | 10 | - | - | - | 45.239 | 2.416 | 28 | 57.9 | 84 | 7.6 |
| 350 | 70 | 6-15 | 160 | - | 8 | - | - | 61.575 | 3.826 | 43 | 86.5 | 114 | 7.2 |
| 400 | 80 | 6-15 | 209 | - | 12 | - | - | 80.425 | 5.748 | 69.7 | 148.3 | 147 | 8.1 |
| 450 | 80 | 6-15 | 242 | - | 12 | - | - | 92.991 | 7.734 | 86.9 | 166.9 | 173 | 7.2 |
| 500 | 90 | 6-18 | 301 | - | 15 | - | - | 115.925 | 10.67 | 120.3 | 231.7 | 215 | 7.3 |
| 600 | 100 | 6-30 | 408 | - | - | 14 | - | 157.08 | 17.761 | 196.4 | 365 | 292 | 7.0 |
| 700 | 110 | 6-46 | 530 | - | - | 20 | - | 203.889 | 27.498 | 320.6 | 608.3 | 376 | 7.6 |
| 800 | 120 | 6-46 | 667 | - | - | 24 | - | 256.354 | 39.966 | 454.7 | 834.3 | 475 | 7.4 |
| 900 | 130 | 6-46 | 818 | - | - | 28 | - | 314.473 | 55.622 | 617.7 | 1095 | 584 | 7.1 |
| 1000 | 140 | 6-46 | 983 | - | - | 36 | - | 378.248 | 75.188 | 864.5 | 1564.3 | 699 | 7.5 |
| 1200 | 150 | 6-36 | 1286 | - | - | 46 | - | 494.801 | 121.361 | 1378.6 | 2398.6 | 916 | 7.3 |
| 1000 | 140 | 6-46 | 983 | - | - | - | 34 | 378.248 | 76.247 | 961.1 | 2051.9 | 688 | 8.6 |
| 1200 | 150 | 6-36 | 1286 | - | - | - | 46 | 494.801 | 123.457 | 1583.1 | 33313 | 898 | 8.8 |

(Sumber : ICP Pile)



Gambar 3. 13 Partly-embedded pile & equivalent fixed base pile or column

Harga-harga T dicari dengan cara sebagai berikut:

$$\text{Stiffness factor } T = \sqrt[5]{\frac{EI}{n_h}} \text{ (dalam satuan panjang)}.$$

Dimana:

Harga-harga n_h untuk soft normally-consolidated clays = 350 s/d 700 KN/m³ dan soft organic silts = 150 KN/m³.

E = modulus elastisitas young tiang dan

I = momen inersia

Bila dikaitkan dengan L_e dan kekuatan strukturtiung, maka besarnya gaya P aksial maksimum (P_{kritis}) terhadap "buckling" adalah:

$$\text{Fixed & translating headed conditions : } P_{cr} = \frac{e^2 EI}{Zf^2} \quad (3-43)$$

Gayahorizontalbatasataumaksimum yang bekerja diujungatassebuatiang:

$$M_{\max} = \frac{W}{H} e - 1.5d - 0.5f \quad (3-44)$$

$$M_{\max} = H e - 1.5d - 0.5f \quad (3-45)$$

$$f = \frac{H}{9.Cu.d} \quad (3-46)$$

Dimana:

H_u = Ultimate lateral resistance

H = Lateral load

L = Kedalaman tiang pondasi dari muka tanah

d = Diameter tiang pondasi

e = Jarak antara lateral load (H) bekerja dengan muka tanah

Cu = Undrained cohesion

f = Posisi M_{\max} dari muka tanah

σ = Tegangan beton

W = Modulus of section

Besarnya H_u yang bekerjapadasebuatiangPanjanguntuk *Fixed-HeadedPile* dapatdisederhanakansebagiberikut (Tomlinson) :

$$H_u = \frac{2Mu}{e - Zf} \quad (3-47)$$

Defleksihorisontal yang terjadiakibat lateral loads dicaridenganpersamaan:

Deflection at head untuk fixed-headed pile:

$$Y = \frac{H(e - Zf)^3}{12EI} \quad (3-48)$$

dengan:

E = Elastic modulus dari material tiangpondasi

I = Momeninersiadari cross-section tiangpondasi

3.16 Metode Pelaksanaan

Metode pelaksanaan yang akan digunakan dalam modifikasi perencanaan fly over Lingkar Dalam Barat (daerah Tandes) ini adalah menggunakan sistem launching gantry cantilever sebagai metode pemasangan segmen struktur *box girder* pada bentang jembatan.

Tahap-tahap metode pelaksanaan dengan metode *balanced cantilever* dengan launcher grantry sebagai berikut :

1. Bagian bentang yang dipasang tipe I girder dianggap telah diselesaikan tanpa memperhitungkan metode yang digunakan. Pasang launcher gantry pada pilay yang telah ditentukan oleh perencana. Box girder diangkut dari pabrik, kemudian diangkat dan digerakkan menuju tempat yang sesuai dengan bantuan launcher gantry.
2. *Box* diturunkan pada elevasi yang sesuai, kemudian dilakukan *jacking* pada tendon kantilever yang dipasang sepanjang segmen. Untuk keseimbangan *launcher gantry*, digunakan pemberat sementara pada sisi segmen jembatan.
3. Setelah semua *box* telah terpasang semua, dilakukan *jacking* pada tendon menerus.
4. Pada tahap akhir dilakukan pekerjaan aspal, pagar pembatas dan utilitas.

3.17 Menuangkan Hasil Perhitungan ke dalam Gambar

Dalam menuangkan hasil perhitungan ke dalam gambar teknik dengan menggunakan program Autocad.

BAB IV

PEMBAHASAN

4.1 Perencanaan bangunan sekunder

4.1.1 Perhitungan Pembatas Jalan

Pembatas jalan direncanakan setinggi dari permukaan *box girder*, lebar bawah 50 cm dan lebar atas 30 cm. Berdasarkan peraturan RSNI T-02-2005 penghalang lalu lintas harus direncanakan untuk menahan beban tumbukan ultimit arah menyilang sebesar $P = 100 \text{ kN}$ untuk $h \leq 850 \text{ mm}$. Penyebaran menyilang rencana harus direntangkan dengan jarak memanjang 1500 mm pada bagian atas penghalang dan disebarluaskan dengan sudut 45° ke bawah pada lantai yang memikulnya. Berikut adalah gambar pembebasan akibat tumbukan.

Selain pembatas jalan menerima beban tumbukan pembatas juga menerima beban angin sebesar :

$$*_{\epsilon} L r \ddot{\alpha}rrx T \%_{\epsilon} T : 8_{\epsilon} ; ^6T \#_{\alpha}$$

Dimana :

$*_{\epsilon}$ = Kecapatan angin rencana (m/dt)

$\%_{\epsilon}$ = Koefisien seret, dari tabel 42 RSNI T-02-2005

8_{ϵ} = Kecepatan angin rencana : $I \cdot R^6$) dari tabel RSNI T-02-2005

$\#_{\alpha}$ = Luas koefisien bagian samping jembatan (I^{-6});

a. Data Perencanaan :

1. Panjang total jembatan = 801 m

2. Mutu beton $f'c$ = 30 MPa

3. Mutu baja f_y = 240 MPa

4. Beban angin yang diterima oleh pembatas jalan

Tinggi rencana *box girder* diperoleh dari rasio tinggi terhadap bentang yang disebutkan pada pembahasan sebelumnya : $\frac{5}{5} O \frac{U}{A} O \frac{5}{64}$. Untuk bentang maksimum direncanakan

$\frac{b}{d}$ sebesar $\frac{5}{5} <$, sehingga didapatkan tinggi *box girder* di area tumpuan sebesar $D_b = 4.6 \text{ m}$.

$$\frac{b}{d} > \frac{sswrr}{wxr} L \text{ t } \rightarrow$$

Keterangan :

b = lebar keseluruhan jembatan dihitung dari sisi terluar *box girder*

d = tinggi bangunan atas termasuk tinggi pembatas jalan ($4.6 + 1.06 = 5.75 \text{ m}$).

Dari nilai b/d diperoleh nilai $\%_e$ dengan cara menginterpolasi yang terdapat pada tabel 27 RSNI T-02-2005. Dengan nilai b/d sebesar 2 diperoleh :

Nilai koefisien $\%_e = 1.19$

Nilai $\%_e = 30 \text{ m/s}$ karena letak jembatan lebih 5 km dari pantai

Nialai A = tinggi pembatas jalan x lebar terbebani

$$= 1.06 \times 1.5$$

$$= 1.59 \text{ m}^2$$

$$\begin{aligned} \text{Sehingga } *_{\hat{e}} &= r_{\text{errx}} T \%_e T : 8_e ; {}^6T\#_x \\ &= r_{\text{errx}} T_s \&{} T : ur ; {}^6T_s \&{} z_w \\ &= 1.147 \text{ kN} \end{aligned}$$

Jadi momen ultimate yang dipikul oleh pembatas jalan sebesar :

$M_u = (\text{bebannya tumbukan} - \text{bebannya angin } H_w) \times \text{tinggi Pembatas jalan.}$

$$= ((\cos 45^\circ \times 100) - 1.147) \times 1.06$$

$$= 73.74 \text{ kNm}$$

$$\begin{aligned} M_u &= \frac{\Delta E_a}{J} = \frac{7.48}{4\ddot{\alpha}} \\ &= 92.18 \text{ kNm} = 99.18 \times sr : \text{ Nmm} \end{aligned}$$

4.1.2 Penulangan Pembatas Jalan

Dimensi pembatas jalan : $1.5 \times 0.3 \text{ m}^2$

Beton decking : 40 mm

Direncanakan menggunakan tulangan utama $D = 16 \text{ mm}$.

Direncanakan menggunakan tulangan sengkang $D = 10 \text{ mm}$

$$\frac{1}{\pi} = \frac{\pi}{4} \times 10^2 = 0.11$$

$$d = \frac{w_{\text{eff}} F_v r F}{\frac{5}{6}} ;$$

$$d = \frac{w_{\text{eff}} F_v r F}{\frac{5}{6}} \times \frac{1}{T_s x} ;$$

$$d = 452 \text{ mm}$$

$$A_a = \frac{A_a}{\text{Area}} = \frac{6.5 \times 54^2}{5944 \times 896} = 0.301 \text{ MPa}$$

$$m = \frac{U}{4 \times 9} = \frac{684}{4 \times 9 \times 74} = 9.05$$

$$e_u = \frac{5.8}{684} = 0.0058$$

$$e_b = \frac{4 \times 9 \times U}{684} - T = \frac{44}{684} = 0.066$$

$$\begin{aligned} e_b &= 0.75 \times e_b \\ &= 0.75 \times 0.066 \\ &= 0.0495 \end{aligned}$$

$$\begin{aligned} e_{\text{eff}} &= \frac{5}{4} : s F \times \overline{s F \frac{6 \times E_U}{U}} \\ &= \frac{5}{4} : s F \times \overline{s F \frac{6 \times 200 \times 45}{684}} \\ &= 0.0013 \end{aligned}$$

Karena $e_u < P / e_{\text{eff}}$ maka dipakai e_u

$$\begin{aligned} \text{As perlu} &= e_u \times b \times d = 0.0058 \times 252 \times 1500 \\ &= 2192.4 \text{ mm}^2 \end{aligned}$$

$$\begin{aligned} A_s &= 11 \times 0.25 \times 3.14 \times 16^2 \\ &= 2210.56 \text{ mm}^2 \end{aligned}$$

Jadi dibutuhkan tulangan 11D16 ($A_s = 2210.56 \text{ mm}^2$)

Tulangan sengkang (A_s) $= 2 \times 3.14 \times 0.25 \times 10^2$

$$= 157 \text{ mm}^2$$

$$V_s = \frac{\sigma_e \cdot U_e \times \pi}{544}$$

$$V_s = \frac{59; v 684 v 696}{544} = 94953.6 \text{ N}$$

$$V_s = 94.95 \text{ kN}$$

$$\begin{aligned} V_u &= ((\cos 45^\circ \times 100) - 1.4) \\ &= 69.31 \text{ kN} \end{aligned}$$

Karena $V_s > V_u$ maka tulangan yang digunakan adalah $\emptyset 10-100 \text{ mm}$

4.2 Perencanaan Tulangan Pelat Atas

4.2.1 Dimensi Pelat Rencana

Lebar jalur kendaraan $= 10.47 \text{ m}$

Lebar total jembatan $= 11.5 \text{ m}$

Mutu beton pelat $= 57 \text{ MPa}$

Modulus elastisitas, $E = 4700 \text{ T} \sqrt{f_y}$

$$= 4700 \text{ T} \sqrt{57}$$

$$= 35484,222 \text{ MPa}$$

Mutu baja tulangan, $f_y = 400 \text{ MPa}$

Berdasarkan SNI-T-12-2004 pasal 5.5.3 tebal minimum pelat lantai harus memenuhi ketentuan sebagai berikut:

$t_s \geq 200 \text{ mm atau,}$

$t_s \geq (100 + 40 b) \text{ mm}$

$t_s \geq (100 + 40 \times 4,4)$

$t_s \geq 276 \text{ mm diambil}$

Maka digunakan tebal pelat lantai kendaraan, $d_3 = 300$ mm.
Tebal aspal rencana yang digunakan, $d_4 = 80$ mm

$$\cdot = 83 I$$

$$5 = 4,4 I$$

$$\frac{I}{I} = \frac{A}{83} = \frac{7}{83} = 18.86 > 2 \text{ (Pelat satu arah)}$$

4.2.2 Perencanaan Tulangan Pelat

a. Pembebanan

Beban Mati

Tabel 4. 1 Pembebanan Beban Mati

| | | |
|-----------------------|--|------------|
| Berat pelat atas | 0.3 m x 1 m x 25 kN/m ³ x 1.8 | 13.5 kN/m |
| Berat aspal | 0.08 m x 1m x 22 kN/m ³ x 2 | 3.52 kN/m |
| Berat mati total (qD) | | 17.02 kN/m |

Beban Hidup

Beban Truk (T), berdasarkan SNI T-02-2005 pasal 6.4.1 besar beban roda truk $T = 112,5$ KN dan faktor beban - $\epsilon_f = 1,8$. Faktor beban dinamis (DLA) untuk beban truk T adalah 30%

$$\begin{aligned} T' &= T \times (1 + DLA) \\ &= 112,5 \times (1 + 0,3) \\ &= 146,25 \text{ kN}_e \end{aligned}$$

Beban truk ultimate, $T_u = K_{UTT} \cdot T' = 1,8 \times 146,25 = 263,25$ kN

Perhitungan momen arah melintang

- Akibat beban mati, qD

$$\frac{1}{2} L \frac{5}{54} M_e H L \frac{5}{54} T_{sy} \text{ at } T_{vav}^6 = 32.951 \text{ kNm}$$

Akibat beban T

$$\frac{1}{f} L r \ddot{\alpha} T \frac{5 E r \ddot{\alpha}}{sr} T^6$$

$$\frac{1}{f} L r \ddot{\alpha} T \frac{vav E r \ddot{\alpha}}{sr} T_{txu} \text{ at } L_{srw} \text{ at } G_OI$$

Momen total, $M_u = 32.951 + 105.3 = 138.251$ kNm

b. Penulangan Arah Melintang

Perhitungan penulangan arah melintang didasarkan pada SNI 2847-2013. Rasio tulangan longitudinal tidak boleh kurang dari $0.25 \frac{\sqrt{U_0}}{U}$ dan juga tidak boleh kurang dari $\frac{58}{U}$ dan tidak melebihi 0.025

| | |
|-------------------------|------------|
| f_c | = 57 MPa |
| f_y | = 400 MPa |
| Selimut beton | = 40 mm |
| Tebal pelat | = 300 mm |
| Diameter tulangan | = 25 mm |
| $d = 300 - 40 - 25 / 2$ | = 247.5 mm |

$$\epsilon I \ H = 0.25 \frac{\sqrt{U_0}}{U} = 0.25 \frac{\sqrt{844}}{844} = 0.00442$$

$$m = \frac{U}{4\pi^2 U_0} L = \frac{844}{4\pi^2 \cdot 9} = 9.41$$

$$M_n = \frac{\sigma E}{I} ; I = 0.9$$

$$M_n = \frac{\sigma E}{I} ; I = 0.9$$

$$M_n = \frac{57 \times 695}{4\pi^2} = 153.612 = 153612000 \text{ Nmm}$$

$$R_n = \frac{\sigma E}{v \times} = \frac{597.56444}{5444 \times 68} = 2.507 \text{ MPa}$$

$$\epsilon L = \frac{5}{k} 1 s F \ \overline{s} \ F \ \overline{\frac{6 \times \overline{\epsilon} \ \overline{E}}{U} p}$$

$$= \frac{5}{485} F_s F \ \overline{s} \ F \ \overline{\frac{6 \times 485 \times 694}{844} G}$$

$$= 0.007$$

$$\epsilon L = G = E = 0.007$$

$$\begin{aligned} A_{st} &= A_{sc} = \rho \times b_w \times d \\ &= 0.007 \times 1000 \times 247.5 \\ &= 1732.5 \text{ II}^6 \end{aligned}$$

Jumlah tulangan = A_s perlu / Luas tulangan **D25 = 4 buah / meter**

$$A_s = 1963.495 \text{ II}^6$$

$$a = \frac{\alpha}{4 \times 9 \times d^2} L = \frac{5 \times 7.88 \times 844}{4 \times 9 \times 9 \times 5444} L \approx 0.007 \text{ m}$$

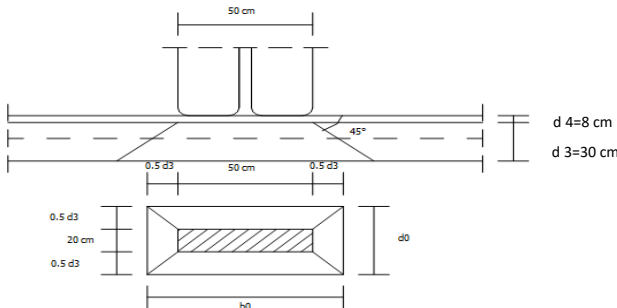
$$C = \frac{\hat{O}}{s} = \frac{5 \times 88}{4 \times 12} = 12.17 \text{ mm}$$

$$\varepsilon = \frac{F}{A} = \frac{F}{\frac{1}{2} \times 12.17 \times 12.17} = \frac{12.17 \times 12.17}{2} F = 144.44 F$$

$\varepsilon > 0,005$ sehingga pelat termasuk dalam kondisi terkontrol tarik dengan nilai ϕ sebesar 0,9.

c. Kontrol Geser terhadap geser ponds

Kontrol geser pons merupakan control terhadap lantai kendaraan akibat beban muatan terbesar yaitu dengan beban sebesar $T=112.5 \text{ kN}$ dengan bidang kontak roda.



Gambar 4. 1 Penyebaran Beban Pada Pelat Lantai

$$U_O = \frac{94}{64} L t \Delta w$$

$$>_4 = \frac{\times}{6} E wr E \frac{\times}{6} = \frac{68 \Delta 9}{6} E wr E \frac{68 \Delta 9}{6} \\ = 74.75$$

$$@_4 = \frac{\times}{6} E tr E \frac{\times}{6} = \frac{68 \Delta 9}{6} E tr E \frac{68 \Delta 9}{6} \\ = 44.75$$

Gaya geser (Vu)

$$= - e 66 T_{sst} \Delta T_s E r \Delta i; \\ = 1.8 \times 112.5 x (1+0.3) \\ = 263.25 \text{ kN}$$

Keliling kristis (U)

$$= t T >_4 E @_4; \\ = 2 x (74.75 + 44.75) \\ = 239 \text{ cm} = 2390 \text{ mm}$$

Luas bidang kritis (Ak)

$$= t T >_4 E @_4; T @_4 \\ = 2 x (74.75 + 44.75) x 30 \\ = 7170 \text{ cm}^2$$

$$8 J_O = @_4 E \frac{6}{64} A T \frac{\sqrt{U_O}}{\cdot} T 7 T @_4 \\ = @_4 E \frac{6}{64} A T \frac{\sqrt{3/9}}{\cdot} T tu \{ T ur \\ = 1520986 \text{ N} = 1520.986 \text{ kN}$$

Kemampuan geser (Vc)

$$= Ak x Teg. Geser beton \\ = 7.17 x sr 9 T \frac{5}{7} \sqrt{B} \\ = 7.17 x sr 9 T \frac{5}{7} \sqrt{3/4 w_y} \\ = 1689985.2 \text{ N} \\ = 1689.9852 \text{ kN}$$

Karena $8J_c < V_c$ maka digunakan $8J_c$ sehingga diperoleh hasil :

$$V_u \leq \emptyset \times 8J_c$$

$$V_u \leq 0.6 \times kN$$

$$263.25 \text{ kN} < 636.4 \text{ kN}$$

(OK)

4.3 Perencanaan Struktur Primer

4.3.1 Data Perencanaan

Pada modifikasi *fly over* Lingkar Dalam Barat direncakan menggunakan kontruksi *box girder* pratekan. *Fly Over* ini memiliki panjang total 802 m dengan bentang terpanjang yaitu 83m. Pada tugas akhir ini bagian yang hanya dimodifikasi pada bentang yang terpanjang.

| | |
|----------------------|---|
| Nama Jembatan | : <i>Fly Over</i> Linggar Dalam Barat |
| Lokasi Jembatan | : Jln. Margomulyo Surabaya |
| Barat | |
| Tipe Jembatan | : <i>Precast segmental box girder</i> dengan menggunakan beton pratekan |
| Metode Pelaksanaan | : Dengan menggunakan metode <i>Balance Cantilever</i> |
| Lebar total jembatan | : 11.5 m |
| Jumlah Lajur | : 3 Lajur 2 arah |

4.3.2 Data Bahan

a Data Beton

- Kuat tekan beton pratekan (f'_c) = 57 MPa
- Kuat tekan beton untuk struktur sekunder (f'_c) = 40MPa

b Data Baja

- Mutu baja yang digunakan untuk penulangan *box girder* adalah baja mutu (f_y) = 400 MPa.
- Mutu baja yang digunakan untuk penulangan struktur sekunder adalah baja mutu (f_y) = 400 MPa
- Dalam perencanaan ini akan digunakan jenis kabel dan angkur ASTM A416-74 Grade 270.

4.3.3 Tegangan ijin bahan

1. Beban Prategang (Pasal 4.4.1.2)

a. Pada saat transfer

Kuat tekan beton yang direncanakan pada umur saat dilakukan transfer (f'_{ci})

$$\begin{aligned} f'_{ci} &= 95\% \times f'_c \\ &= 95\% \times 57 \\ &= 54.15 \text{ MPa} \end{aligned}$$

Berdasarkan RSNI T-12-2004 pasal 4.4.1.2.2 untuk komponen beton prategang pada saat transfer, tegangan tekan dalam penampang beton tidak boleh melampaui nilai sebagai berikut :

$$\begin{aligned} - \hat{\epsilon}_s &= r \sqrt{T B} / E \\ &= 0.6 \times 54.15 \\ &= 32.49 \text{ MPa} \end{aligned}$$

Berdasarkan SNI T-12-2004 pasal 8.3 untuk struktur jembatan segmental pracetak tidak ada tegangan tarik yang diijinkan pada setiap sambungan antara segmen-semen selama pelaksanaan (cantilever).

$$\begin{aligned} - \hat{\epsilon}_s & L_r / 2 = \\ - \hat{\epsilon}_s & L_r \sqrt{w B} / 2 = 1.83 \text{ MPa} \end{aligned}$$

b. Pada saat service

Berdasarkan RSNI T-12-2004 pasal 4.4.1.2.1 untuk komponen beton prategang pada saat transfer, tegangan tekan dalam penampang beton tidak boleh melebihi nilai sebagai berikut :

$$\begin{aligned} - \hat{\epsilon}_s & = r \sqrt{w T B} / E \\ & = 0.45 \times 57 \\ & = 25.65 \text{ MPa} \end{aligned}$$

$$- \hat{\epsilon}_s = r \sqrt{w B} = 3.77 \text{ MPa}$$

Berdasarkan RSNI T-12-2004 pasal 8.3 untuk struktur jembatan segmental pracetak tidak ada tegangan batas yang diijinkan pada kondisi batas layan.

c. Modulus Elastisitas (E)

Untuk beton normal dengan massa jenis sekitar 2500 GC I⁷, boleh diambil sebesar $\frac{3}{4} E_b$. Untuk baja prategang diambil sesuai RSNI T-12-2004 pasal 4.4.1.5

$$\begin{aligned} E_c &= \frac{3}{4} E_b \\ &= 4700 \frac{3}{4} w_y \\ &= 35484 \text{ MPa} \end{aligned}$$

2. Baja Prategang

a. Modulus Elastisat (Es) = 200.000 MPa

b. Tegangan Putus Kabel (R_a) = 1860 MPa

c. Tegangan leleh kabel (R_u)
 $= 0.85 \times R_a$
 $= 0.85 \times 1860$
 $= 1581 \text{ MPa}$

d. Tegangan tarik ijin kabel (jacking)
 $= 0.94 \times R_a$
 $= 0.94 \times 1860$
 $= 1748.4 \text{ MPa}$

e. Tegangan ijin kabel (setelah pengangkuran)

$$\begin{aligned} &= 0.7 \times R_a \\ &= 0.7 \times 1860 \\ &= 1302 \text{ MPa} \end{aligned}$$

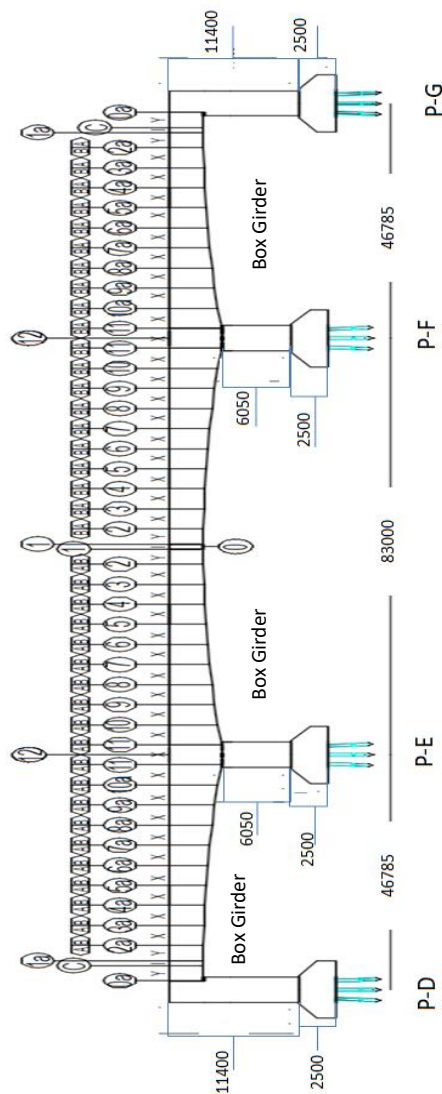
4.3.4 Preliminary Design

Perencanaan *fly over* Lingkar Dalam Barat direncanakan menggunakan *box girder*, penampang *box girder* dibuat non prismatis dengan menggunakan beton pracetak dengan metode *balance cantilever* sehingga mempermudah proses pelaksanaan jembatan.

Penentuan dimensi awal *box girder* yaitu dengan menentukan tafsiran awal *box girder* yaitu : (dalam buku *Prestressed Segmental Bridges*).

$$\begin{aligned} H &= 1/18 \times L \\ &= 1/18 \times 83 = 4.61 \text{ m} \approx 4.60 \text{ m} \end{aligned}$$

Karena struktur jembatan direncanakan tipe menerus maka direncanakan $\ast \ddot{\phi} L \text{ v}\dot{\text{a}}\text{k I}$. Dimensi rencana *box girder* dapat dilihat pada gambar.



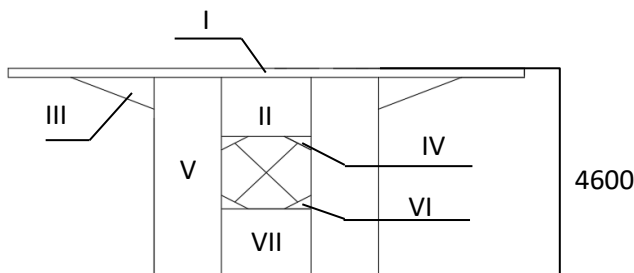
Ket:
x = 4m
y = 3m
l = 1m

Gambar 4.2 Pemodelan Jembatan Variabel Depth

Tabel 4. 2 * setiap joint pada gambar

| Nomor Joint | H (mm) |
|----------------|-----------|
| 12 | 4600 |
| 11 | 4600 |
| 10 & 10a | 4490 |
| 9 & 9a | 4385 |
| 8 & 8a | 4300 |
| 7 & 7a | 4220 |
| 6 & 6a | 4150 |
| 5 & 5a | 4100 |
| 4 & 4a | 4055 |
| 3 & 3a | 4025 |
| 2 & 2a | 4010 |
| 1 & 1a | 4000 |

Berikut adalah contoh perhitungan dimensi *box girder* pada joint 12 dengan H tafsiran = 4600 mm

**Gambar 4. 3** Dimensi box girder pada joint 12

Tabel 4. 3 Perhitungan dimensi box pada joint 12

| Joint 12 | No | Tinggi (m) | Lebar (m) | Shape factor | Jumlah penampang | Luas tampang (m ²) | Jarak terhadap alas (m) | Statis Momen $A*y$ |
|----------|-----|---------------|--------------|-----------------|---------------------|--------------------------------------|-------------------------------|--------------------------|
| | I | 0.3 | 11.5 | 1 | 1 | 3.46 | 4.45 | 15.352 |
| | II | 1.3 | 2 | 1 | 1 | 2.6 | 3.65 | 9.49 |
| | III | 0.6 | 1.85 | 0.5 | 2 | 1.1 | 4.1 | 4.551 |
| | IV | 0.3 | 0.6 | 0.5 | 2 | 0.18 | 2.9 | 0.522 |
| | V | 4.4 | 1.5 | 1 | 2 | 13.2 | 2.2 | 29.04 |
| | VI | 0.3 | 0.6 | 0.5 | 2 | 0.18 | 1.6 | 0.288 |
| | VII | 1.5 | 2 | 1 | 1 | 3 | 0.75 | 2.25 |
| Jumlah | | 4.6 | | | | 23.72 | | 61.494 |

$$\text{Letak titik berat } y_b = \tilde{A} / \tilde{U} = 2.59 \text{ m}$$

$$y_a = H - y_b = 4.6 - 2.59 = 2.11 \text{ m}$$

Momen inersia terhadap titik berat balok :

$$I_e = \tilde{A} \cdot \frac{L}{4} + \tilde{A} \cdot \frac{H}{2}^2 = 41.361 \text{ m}^4$$

Tahanan momen sisi atas

$$9 \cdot L \cdot I_e = 41.361 / 2.11 = 19.625 \text{ N}^7$$

Tahanan momen sisi bawah

$$9 \cdot L \cdot I_e = 41.361 / 2.59 = 15.95 \text{ N}^7$$

Kern sisi atas :

$$K_a = W_b / \tilde{A} = 15.95 / 23.72 = 0.673 \text{ m}$$

Kern sisi bawah :

$$K_b = W_a / \tilde{A} = 19.625 / 23.72 = 0.827 \text{ m}$$

Tabel 4. 4 Perhitungan dimensi box tiap joint

| Joint | H (m) | L box (m) | A (m ²) | Y _a (m) | Y _b (m) | I (m ⁴) | W _a (m ³) | W _b (m ³) | K _a (m) | K _b (m) |
|----------|----------|--------------|------------------------|-----------------------|-----------------------|------------------------|-------------------------------------|-------------------------------------|-----------------------|-----------------------|
| 12 | 4.6 | 0 | 23.72 | 2.11 | 2.59 | 41.361 | 19.625 | 15.954 | 0.673 | 0.827 |
| 11 | 4.6 | 2 | 23.72 | 2.11 | 2.59 | 41.361 | 19.625 | 15.954 | 0.673 | 0.827 |
| 10 & 10a | 4.49 | 4 | 16 | 1.87 | 2.62 | 31.486 | 16.85 | 12.01 | 0.751 | 1.053 |
| 9 & 9a | 4.385 | 4 | 13.242 | 1.75 | 2.64 | 28.697 | 16.400 | 10.890 | 0.822 | 1.238 |
| 8 & 8a | 4.3 | 4 | 13.14 | 1.71 | 2.59 | 27.805 | 16.224 | 10.752 | 0.818 | 1.235 |
| 7 & 7a | 4.22 | 4 | 13.044 | 1.68 | 2.54 | 26.991 | 16.066 | 10.626 | 0.815 | 1.232 |
| 6 & 6a | 4.15 | 4 | 12.96 | 1.65 | 2.50 | 26.298 | 15.934 | 10.521 | 0.812 | 1.229 |
| 5 & 5a | 4.1 | 4 | 12.9 | 1.63 | 2.47 | 25.814 | 15.842 | 10.449 | 0.810 | 1.228 |
| 4 & 4a | 4.055 | 4 | 12.846 | 1.61 | 2.44 | 25.386 | 15.763 | 10.385 | 0.808 | 1.227 |
| 3 & 3a | 4.025 | 4 | 12.81 | 1.60 | 2.43 | 25.105 | 15.711 | 10.344 | 0.807 | 1.226 |
| 2 & 2a | 4.01 | 4 | 12.792 | 1.59 | 2.42 | 24.966 | 15.686 | 10.323 | 0.807 | 1.226 |
| 1 & 1a | 4 | 3 | 12.78 | 1.59 | 2.41 | 24.814 | 15.631 | 10.285 | 0.805 | 1.223 |
| closur | 4 | 0.5 | 12.78 | 1.59 | 2.41 | 24.81 | 15.63 | 10.29 | 0.80 | 1.22 |

4.3.5 Analisis Pembebanan

A. Analisis Beban Mati

a. Analisis Berat sendiri

Contoh perhitungan pada segmen 10

$$q = A \times B_j \text{ beton}$$

$$q = 13.755 \times 250$$

$$q = 343,875 \text{ kN/m}$$

b. Beban mati tambahan

- Berat lapisan aspal

$$\text{qu} = -\frac{e}{A} T PA >= H > F = OL = H \Delta A >= N = H = J$$

$$= 2 \times 0.08 \times 22 \times 11.5$$

$$= 40.48 \text{ kN/m}$$

- Berat parapet

$$\text{qu} = -\frac{e}{A} T M L = N = L A F t$$

$$= 1.3 \times 9.675 \times 2$$

$$= 25.155 \text{ kN/m}$$

- Berat air hujan

$$\text{qu} = \text{tebal air hujan} \times b_j \text{ air} \times \text{lebar jalan}$$

$$= 0.05 \times 9.81 \times 11.5$$

$$= 5,641 \text{ kN/m}$$

B. Analisa Beban Hidup

Beban hidup pada jembatan terdiri dari beban hidup terbagi rata (BTR), beban hidup garis (BGT) dan beban truk (T).

a. Beban Hidup Terbagi Rata (BTR)

Bentang terpanjang pada *fly over* Lingkar dalam Barat Surabaya adalah 83 m.

$$q = \{ T @ w E \frac{59}{\Delta} A$$

$$q = \{ T : r w E \frac{59}{\Delta} ; = 6.127 G0 I^6$$

Beban per lajur beban 100% dan 50% dengan jumlah lajur 3 dengan lebar masing-masing 3.49 m.

$$\begin{aligned} M_{344} &= 100\% \times q \times \text{lebar jalur} \times \text{jumlah lajur} \times I \\ &= 100\% \times 6.127 \times 3.49 \times 1.8 \\ &= 115.493 \text{ kN/m} \end{aligned}$$

$$\begin{aligned} M_{34} &= 50\% \times q \times \text{lebar jalur} \times \text{jumlah lajur} \times I \\ &= 50\% \times 6.127 \times 3.49 \times 1.8 \\ &= 57.747 \text{ kN/m} \end{aligned}$$

Beban terbagi rata (BTR) untuk bentang 41.5 m

$$\begin{aligned} q &= \{ T @ \text{awE} \frac{59}{\text{A}} \} \\ qu &= \{ T @ \text{awE} \frac{59}{89} \text{A} \\ &= 7.5 \text{ G0 I}^6 \end{aligned}$$

Beban per lajur beban 100% dan 50% dengan jumlah lajur 3 dengan lebar masing-masing 3.49 m.

$$\begin{aligned} M_{344} &= 100\% \times q \times \text{lebar jalur} \times \text{jumlah lajur} \times I \\ &= 100\% \times 7.5 \times 3.49 \times 1.8 \\ &= 141.386 \text{ kN/m} \end{aligned}$$

$$\begin{aligned} M_{34} &= 50\% \times q \times \text{lebar jalur} \times \text{jumlah lajur} \times I \\ &= 50\% \times 7.753 \times 3.49 \times 1.8 \\ &= 70.693 \text{ kN/m} \end{aligned}$$

b. Beban Hidup Garis

| | |
|----------------|--------------------------------|
| Lebar jembatan | = 11.5 m |
| Lebar lajur | = 3.49 m/lajur |
| P | = 49 kN/m |
| 2_3 | = P x lebar lajur |
| | = 49 x 3.49 = 171.059 kN/lajur |
| 2_5 | = 100% x P x jumlah lajur |
| 2_5 | = 100% x 171.059 x 3 |
| | = 513.177 kN |

c. Beban Truk

| | |
|----------------------|--|
| Beban roda truk | = 112.5 kN |
| Faktor beban dinamik | = 31.75 % |
| Faktor beban | = 1.8 |
| Tr | = $T \times (1+FBD) \times -\hat{I}$ |
| Ttr | = $112.5 \times (1+0.3175) \times 1.8$ |
| | = 266.794 kN |

C. Beban Angin

Beban angin yang bekerja pada bangunan jembatan bekerja secara merata.

a. Akibat angin

$$\begin{aligned} H_w &= 0.0006 \times C_w \times :8S ;^6 \times A_b \\ H_w &= 0.0006 \times 1.493 \times :uw; ^6 \times 21.24 \\ H_w &= 23.308 \text{ kN/m} \end{aligned}$$

b. Akibat angin yang mengenai kendaraan

$$\begin{aligned} T_{ew} &= 0.0012 \times C_w \times :8S ;^6 \\ T_{ew} &= 0.0012 \times 1.2 \times :uw; ^6 \\ T_{ew} &= 37.467 \text{ kN/m} \end{aligned}$$

4.3.6 Perhitungan Momen dan Perencanaan Tendon Pretegang

a. Perencanaan tendon kantilever (Tahap 1).

Tendon kantilever dihitung berdasarkan berat sendiri *box girder*.

Perhitungan Momen akibat berat sendiri dilakukan secara manual, yaitu dengan cara :

$$M = P \times L$$

Dimana :

- M = Momen akibat berat sendiri (Nmm)
- P = Berat sendiri *box girder* (N)
- L = Panjang lengan (mm)

Contoh perhitungan tendon pada saat pemasangan *box girder* no. 10. Direncanakan menggunakan tendon/jenis kabel strand *seven wire relieved* (7 kawat untaian). Dengan mengacu pada tabel ASTM A-416, berikut adalah jenis dan karakteristik dari kabel tendon dan *box girder* yang akan dipasang :

| | |
|------------------------------------|---|
| - Diameter | = 15.24 mm |
| - Luas nominal | = 140.00 mm ² |
| - Minimal breaking load | = 260.7 kN |
| - Modulus Elastisitas (Es) | = 200000 Mpa |
| - Data penampang <i>box girder</i> | |
| Berat Sendiri | = 1600000 N |
| * 55 | = 4600 mm |
| * 54 | = 4490 mm |
| # 55 | = 23420000 mm ² |
| # 54 | = 16000000 mm ² |
| ; Ø55 | = 2030.038 mm |
| ; Ø54 | = 1868.613 mm |
| ; Ø55 | = 2569.962 mm |
| ; Ø54 | = 2621.388 mm |
| ± 55 | = 4.11 x sr ⁵⁷ II ⁸ |
| ± 54 | = 3.15 x sr ⁵⁷ II ⁸ |
| 9 Ø55 | = 20260 mm |
| 9 Ø54 | = 16845 mm |
| - Ø55 | = 870mm |
| - Ø54 | = 1053 mm |

Direncanakan letak tendon 10 secara parabolis diambil e yang bervariasi pada setiap joint :

| | |
|-----------------|--------------|
| e pada joint 12 | = 1031,93 mm |
| e pada joint 11 | = 1031,93 mm |
| e pada joint 10 | = 454,065 mm |

Momen yang terjadi pada tiap joint akibat pemasangan box 10 pada joint 12

$$M_{joint} = (q \times L) \times (0.5 \times L + (0.55 \times 0.56))$$

$$M_{akibat\ box\ 10} = 6.4 \times 10^9 \text{ N.mm}$$

$$M_{akibat\ box\ 11} = 1.2 \times sr = \text{N.mm}$$

Direncanakan untuk pemasangan box girder 10 menggunakan 4 tendon VSL 55 sc dengan besar gaya tendon $F_{11}=14339000 \text{ N} \times 0.7 \times 4 = 40149200 \text{ N}$

- Kontrol tegangan akibat tendon pada joint 12 :

Serat atas :

$$B_{4\uparrow} = F \frac{\frac{L}{2}}{A} F \frac{\frac{L}{2} \times E_s Q}{A} E \frac{AE_s Q}{A}$$

kondisi segmen 10 belum terpasang

Akibat tendon 11

$$B_{4\uparrow} = F \frac{\frac{8458=644}{67864444}}{F} \frac{\frac{8458=644}{855 \times 54} \times 694 \times 6474}{E} \frac{5 \times 54^5 \times 6474}{855 \times 54^4} \\ = -2.152 \text{ MPa} < -32.49 \text{ MPa} \dots (\text{OK})$$

- Kondisi segmen 10 terpasang

Direncanakan untuk pemasangan box girder 10 menggunakan 2 tendon VSL 43 sc dengan besar gaya tendon $F_{10}=11210000 \text{ N} \times 0.7 \times 2 = 15694000 \text{ N}$

Akibat tendon 10

$$B_{4\uparrow} = F \frac{\frac{59:=8444}{67864444}}{F} \frac{\frac{59:=8444}{855 \times 54} \times 874 \times 6474}{E} \frac{5 \times 54^5 \times 6474}{855 \times 54^4} \\ = -0.687 \text{ MPa}$$

Kontrol di joint 12

$$B_{411} + B_{410} = -2.152 + (-0.687) = -2.839 \text{ MPa} < -32.49 \text{ MPa} \dots (\text{OK})$$

Serat bawah :

$$B_4 = F \frac{i}{\sigma} E \frac{\sigma_{\text{O}} - \sigma_l}{A} F \frac{A_{\text{O}} - A_l}{A}$$

Akibat tendon 11

$$B_{4,11} = F \frac{8458=644}{67864444} E \frac{8458=644 \quad \sigma_{694} - \sigma_{54}}{8458 \quad 54} F \frac{54 \times 54^5 - 69 \times 69^5}{8458 \times 54^5}$$

$$= -1.16 \text{ MPa} < 0 \text{ MPa} \dots (\text{OK})$$

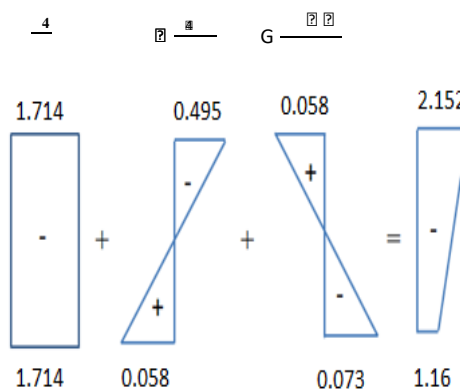
Akibat tendon 10

$$B_{4,10} = F \frac{swx_{\text{trrr}}}{tuv_{\text{trrr}}} E \frac{swx_{\text{trrr}} - T_{\text{vur}} \alpha z - T_{\text{twx}}}{v_{\text{ss}} T_{\text{sr}} s_{\text{u}}} F \frac{x_{\text{ss}} s_{\text{sr}} \{ T_{\text{twx}} \}}{v_{\text{ss}} T_{\text{sr}} s_{\text{u}}}$$

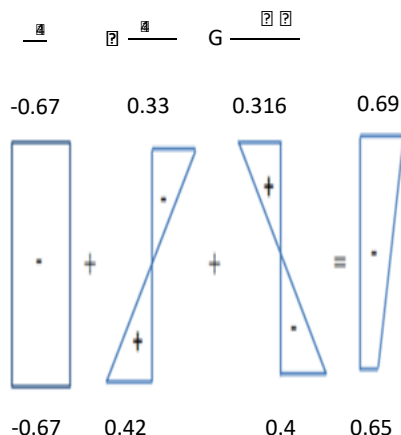
$$= -0.648 \text{ MPa}$$

Kontrol di joint 12

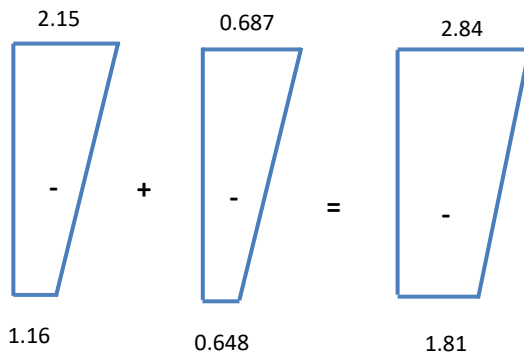
$$B_{4,11} + B_{4,10} = -1.16 + (-0.648) = -1.809 \text{ MPa} < 0 \text{ MPa} \text{ (OK)}$$



Gambar 4.4 Diagram Tegangan pada titik 12 akibat segmen 11



Gambar 4.5 Diagram Tegangan pada titik 12 akibat segmen 10

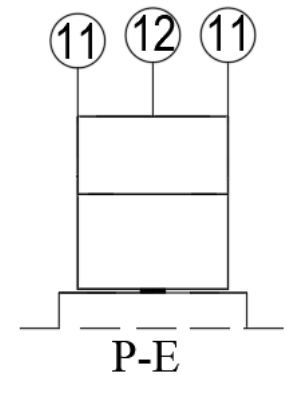


Gambar 4.6 Diagram Tegangan total pada titik 12 akibat segmen 11 &10

Tabel 4. 5 Tabel Tegangan tendon cantilever

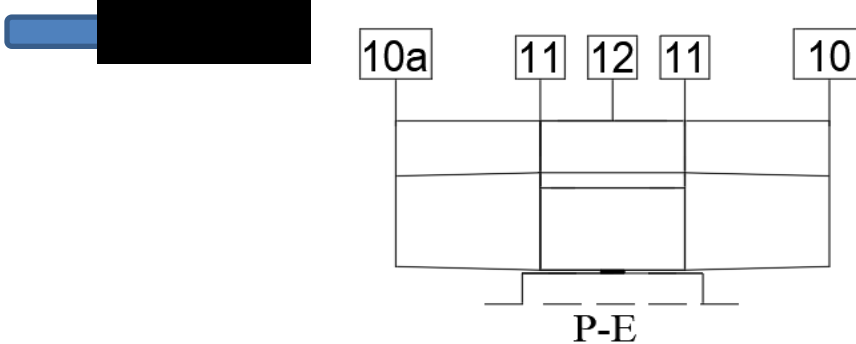
| Joint | Tendon | F (N) | n | F1 (N) | e (mm) | A (mm ²) | Y _a (mm) | Y _b (mm) | I (mm ⁴) | M _g (N.mm) | Tegangan (MPa) | | | | | Resultan (R) (Mpa) | | | |
|-------|--------|----------|---|----------|--------|----------------------|---------------------|---------------------|----------------------|-----------------------|----------------|------------------------|-----------------------|-----------------------------------|-----------------------------------|--------------------|----------|------|-------|
| | | | | | | | | | | | -F/A | -F.e.Y _a /I | F.e.Y _b /I | M _g .Y _a /I | M _g .Y _b /I | atas | bawah | atas | bawah |
| 1 | 2 | 3 | 4 | 5 | 6 | 7 | 8 | 9 | 10 | 11 | 12 | 13 | 14 | 15 | 16 | 17 | 18 | 19 | 20 |
| 12 | 12 | 0 | 2 | 0 | 0 | 23420000 | 2030.038429 | 2569.961571 | 4.11314E+13 | 0 | 0 | 0 | 0 | 0 | 0 | 0 | 0 | OK | OK |
| 11 | 11 | 28678000 | 2 | 40149200 | 250 | 23420000 | 2030.038429 | 2569.961571 | 4.11314E+13 | 1171000000 | -1.71431255 | -0.495391 | 0.62714862 | 0.057795 | -0.0731662 | -2.1519 | -1.16033 | OK | OK |
| 11 | 11 | 28678000 | 2 | 40149200 | 250 | 23420000 | 2030.038429 | 2569.961571 | 4.11314E+13 | 0 | -1.71431255 | -0.495391 | 0.62714862 | 0 | 0 | -2.2097 | -1.08716 | OK | OK |

Keterangan:



| Joint | Tendon | F (N) | n | F1 (N) | e (mm) | A (mm ²) | Ya (mm) | Yb (mm) | I (mm ⁴) | Mg (N.mm) | Tegangan (MPa) | | | | | Resultan (R) (Mpa) | | | |
|-------|--------|----------|---|----------|---------|----------------------|-----------|----------|----------------------|------------|----------------|-----------|----------|---------|---------|--------------------|--------|------|-------|
| | | | | | | | | | | | -F/A | -F.e.Ya/I | F.e.Yb/I | Mg.Ya/I | Mg.Yb/I | atas | bawah | atas | bawah |
| | | | | | | | | | | | | | | | | | | | |
| 1 | 2 | 3 | 4 | 5 | 6 | 7 | 8 | 9 | 10 | 11 | 12 | 13 | 14 | 15 | 16 | 17 | 18 | 19 | 20 |
| 12 | 12 | 0 | 2 | 0 | 0 | 23420000 | 2030.038 | 2569.962 | 4.113E+13 | 0 | 0 | 0 | 0 | 0 | 0 | 0 | 0 | OK | OK |
| | 11 | 28678000 | 2 | 40149200 | 250 | 23420000 | 2030.038 | 2569.962 | 4.113E+13 | 1171000000 | -1.71431255 | -0.495 | 0.627 | 0.058 | -0.073 | -2.152 | -1.160 | OK | OK |
| | 10 | 11210000 | 2 | 15694000 | 430.038 | 23420000 | 2030.038 | 2569.962 | 4.113E+13 | 6400000000 | -0.67011102 | -0.333 | 0.422 | 0.316 | -0.400 | -2.839 | -1.809 | OK | OK |
| 11 | 11 | 28678000 | 2 | 40149200 | 250 | 23420000 | 2030.038 | 2569.962 | 4.113E+13 | 0 | -1.71431255 | -0.495 | 0.627 | 0 | 0 | -2.210 | -1.087 | OK | OK |
| | 10 | 11210000 | 2 | 15694000 | 430.038 | 23420000 | 2030.038 | 2569.962 | 4.113E+13 | 3200000000 | -0.67011102 | -0.333 | 0.422 | 0.158 | -0.200 | -3.055 | -1.536 | OK | OK |
| 10 | 10 | 11210000 | 2 | 15694000 | 168.613 | 16000000 | 1868.6125 | 2621.388 | 3.149E+13 | 0 | -0.9809 | -0.1570 | 0.2203 | 0 | 0 | -1.138 | -0.761 | OK | OK |

Keterangan :



| Joint | Tendon | F (N) | n | F1 (N) | e (mm) | A (mm ²) | Y _a (mm) | Y _b (mm) | l (mm ⁴) | M _g (N.mm) | Tegangan (MPa) | | | | | Resultan (R) (Mpa) | | | |
|-------|--------|----------|---|----------|-------------|----------------------|---------------------|---------------------|----------------------|-----------------------|----------------|------------------------|-----------------------|-----------------------------------|-----------------------------------|-----------------------|---------|------|-------|
| | | | | | | | | | | | -F/A | -F.e.Y _a /l | F.e.Y _b /l | M _g .Y _a /l | M _g .Y _b /l | | | | |
| | | | | | | | | | | | | atas | bawah | atas | bawah | atas | bawah | atas | bawah |
| 1 | 2 | 3 | 4 | 5 | 6 | 7 | 8 | 9 | 10 | 11 | 12 | 13 | 14 | 15 | 16 | 17 | 18 | 19 | 20 |
| 12 | 12 | 0 | 2 | 0 | 0 | 23420000 | 2030.038 | 2569.962 | 4.113E+13 | 0 | 0 | 0 | 0 | 0 | 0 | 0 | 0 | OK | OK |
| | 11 | 28678000 | 2 | 40149200 | 250 | 23420000 | 2030.038 | 2569.962 | 4.113E+13 | 1171000000 | -1.714 | -0.495 | 0.627 | 0.058 | -0.073 | -2.152 | -1.160 | OK | OK |
| | 10 | 11210000 | 2 | 15694000 | 430.0384287 | 23420000 | 2030.038 | 2569.962 | 4.113E+13 | 6400000000 | -0.670 | -0.333 | 0.422 | 0.316 | -0.400 | -2.839 | -1.809 | OK | OK |
| | 9 | 9385000 | 2 | 13139000 | 530.0384287 | 23420000 | 2030.038 | 2569.962 | 4.113E+13 | 1.059E+10 | -0.561 | -0.344 | 0.435 | 0.523 | -0.662 | -3.221 | -2.596 | OK | OK |
| | 8 | 9385000 | 2 | 13139000 | 1850.038429 | 23420000 | 2030.038 | 2569.962 | 4.113E+13 | 1.577E+10 | -0.561 | -1.200 | 1.519 | 0.778 | -0.985 | -4.204 | -2.624 | OK | OK |
| | 7 | 9385000 | 2 | 13139000 | 1850.038429 | 23420000 | 2030.038 | 2569.962 | 4.113E+13 | 2.087E+10 | -0.561 | -1.200 | 1.519 | 1.030 | -1.304 | -4.934 | -2.970 | OK | OK |
| | 6 | 7821000 | 2 | 10949400 | 1650.038429 | 23420000 | 2030.038 | 2569.962 | 4.113E+13 | 2.592E+10 | -0.468 | -0.892 | 1.129 | 1.279 | -1.620 | -5.014 | -3.928 | OK | OK |
| | 5 | 7039000 | 2 | 9854600 | 1850.038429 | 23420000 | 2030.038 | 2569.962 | 4.113E+13 | 3.096E+10 | -0.421 | -0.900 | 1.139 | 1.528 | -1.934 | -4.807 | -5.144 | OK | OK |
| | 4 | 3650000 | 2 | 5110000 | 1643.038429 | 23420000 | 2030.038 | 2569.962 | 4.113E+13 | 3.597E+10 | -0.218 | -0.414 | 0.525 | 1.775 | -2.247 | -3.664 | -7.085 | OK | OK |
| | 3 | 3389000 | 2 | 4744600 | 957.0384287 | 23420000 | 2030.038 | 2569.962 | 4.113E+13 | 4.099E+10 | -0.203 | -0.224 | 0.284 | 2.023 | -2.561 | -2.068 | -9.566 | OK | OK |
| | 2 | 3128000 | 2 | 4379200 | 716.0384287 | 23420000 | 2030.038 | 2569.962 | 4.113E+13 | 4.605E+10 | -0.187 | -0.155 | 0.196 | 2.273 | -2.877 | -0.137 | -12.434 | OK | OK |
| | t2 | 14339000 | 2 | 20074600 | 1643.038429 | 23420000 | 2030.038 | 2569.962 | 4.113E+13 | 0 | -0.857 | -1.628 | 2.061 | 0 | 0 | -2.622 | -11.230 | OK | OK |
| | t1 | 14339000 | 2 | 20074600 | 1643.038429 | 23420000 | 2030.038 | 2569.962 | 4.113E+13 | 0 | -0.857 | -1.628 | 2.061 | 0 | 0 | -5.107 | -10.027 | OK | OK |
| | t3 | 14339000 | 2 | 20074600 | 1850.038429 | 23420000 | 2030.038 | 2569.962 | 4.113E+13 | 0 | -0.857 | -1.833 | 2.320 | 0 | 0 | -7.797 | -8.563 | OK | OK |
| | 1 | 3389000 | 2 | 4744600 | 1210.038429 | 23420000 | 2030.038 | 2569.962 | 4.113E+13 | 3.7861E+10 | -0.203 | -0.283 | 0.359 | 1.869 | -2.366 | -6.414 | -10.773 | OK | OK |

| | 1 | 2 | 3 | 4 | 5 | 6 | 7 | 8 | 9 | 10 | 11 | 12 | 13 | 14 | 15 | 16 | 17 | 18 | 19 | 20 |
|----|----|----------|---|----------|-----------|----------|----------|----------|-----------|------------|--------|--------|-------|-------|--------|--------|---------|----|----|----|
| 11 | 11 | 28678000 | 2 | 40149200 | 250 | 23420000 | 2030.038 | 2569.962 | 4.113E+13 | 0 | -1.714 | -0.495 | 0.627 | 0 | 0 | -2.210 | -1.087 | OK | OK | |
| | 10 | 11210000 | 2 | 15694000 | 430.0384 | 23420000 | 2030.038 | 2569.962 | 4.113E+13 | 3200000000 | -0.670 | -0.333 | 0.422 | 0.158 | -0.200 | -3.055 | -1.536 | OK | OK | |
| | 9 | 9385000 | 2 | 13139000 | 530.0384 | 23420000 | 2030.038 | 2569.962 | 4.113E+13 | 7945200000 | -0.561 | -0.344 | 0.435 | 0.392 | -0.496 | -3.568 | -2.158 | OK | OK | |
| | 8 | 9385000 | 2 | 13139000 | 1850.0384 | 23420000 | 2030.038 | 2569.962 | 4.113E+13 | 1.314E+10 | -0.561 | -1.200 | 1.519 | 0.649 | -0.821 | -4.680 | -2.021 | OK | OK | |
| | 7 | 9385000 | 2 | 13139000 | 1850.0384 | 23420000 | 2030.038 | 2569.962 | 4.113E+13 | 1.8262E+10 | -0.561 | -1.200 | 1.519 | 0.901 | -1.141 | -5.539 | -2.204 | OK | OK | |
| | 6 | 7821000 | 2 | 10949400 | 1650.0384 | 23420000 | 2030.038 | 2569.962 | 4.113E+13 | 2.3328E+10 | -0.468 | -0.892 | 1.129 | 1.151 | -1.458 | -5.747 | -3.001 | OK | OK | |
| | 5 | 7039000 | 2 | 9854600 | 1850.0384 | 23420000 | 2030.038 | 2569.962 | 4.113E+13 | 2.838E+10 | -0.421 | -0.900 | 1.139 | 1.401 | -1.773 | -5.667 | -4.055 | OK | OK | |
| | 4 | 3650000 | 2 | 5110000 | 1643.0384 | 23420000 | 2030.038 | 2569.962 | 4.113E+13 | 3.34E+10 | -0.218 | -0.414 | 0.525 | 1.648 | -2.087 | -4.651 | -5.836 | OK | OK | |
| | 3 | 3389000 | 2 | 4744600 | 957.0384 | 23420000 | 2030.038 | 2569.962 | 4.113E+13 | 3.843E+10 | -0.203 | -0.224 | 0.284 | 1.897 | -2.401 | -3.181 | -8.156 | OK | OK | |
| | 2 | 3128000 | 2 | 4379200 | 716.0384 | 23420000 | 2030.038 | 2569.962 | 4.113E+13 | 4.3493E+10 | -0.187 | -0.155 | 0.196 | 2.147 | -2.718 | -1.376 | -10.865 | OK | OK | |
| | t2 | 14339000 | 2 | 20074600 | 1643.0384 | 23420000 | 2030.038 | 2569.962 | 4.113E+13 | 0 | -0.857 | -1.628 | 2.061 | 0 | 0 | -3.861 | -9.661 | OK | OK | |
| | t1 | 14339000 | 2 | 20074600 | 1643.0384 | 23420000 | 2030.038 | 2569.962 | 4.113E+13 | 0 | -0.857 | -1.628 | 2.061 | 0 | 0 | -6.346 | -8.457 | OK | OK | |
| | t3 | 14339000 | 2 | 20074600 | 1850.0384 | 23420000 | 2030.038 | 2569.962 | 4.113E+13 | 0 | -0.857 | -1.833 | 2.320 | 0 | 0 | -9.036 | -6.994 | OK | OK | |
| | 1 | 3389000 | 2 | 4744600 | 1210.0384 | 23420000 | 2030.038 | 2569.962 | 4.113E+13 | 3.5944E+10 | -0.203 | -0.283 | 0.359 | 1.774 | -2.246 | -7.748 | -9.083 | OK | OK | |

| 1 | 2 | 3 | 4 | 5 | 6 | 7 | 8 | 9 | 10 | 11 | 12 | 13 | 14 | 15 | 16 | 17 | 18 | 19 | 20 |
|----|----|----------|---|----------|----------|----------|----------|----------|-----------|------------|--------|--------|-------|-------|--------|---------|---------|----|----|
| 10 | 10 | 11210000 | 2 | 15694000 | 168.613 | 16000000 | 1868.613 | 2621.388 | 3.149E+13 | 0 | -0.981 | -0.157 | 0.220 | 0 | 0 | -1.138 | -0.761 | OK | OK |
| | 9 | 9385000 | 2 | 13139000 | 368.613 | 16000000 | 1868.613 | 2621.388 | 3.149E+13 | 2648400000 | -0.821 | -0.287 | 0.403 | 0.157 | -0.220 | -2.089 | -1.399 | OK | OK |
| | 8 | 9385000 | 2 | 13139000 | 1678.613 | 16000000 | 1868.613 | 2621.388 | 3.149E+13 | 7884000000 | -0.821 | -1.309 | 1.836 | 0.468 | -0.656 | -3.752 | -1.040 | OK | OK |
| | 7 | 9385000 | 2 | 13139000 | 1688.613 | 16000000 | 1868.613 | 2621.388 | 3.149E+13 | 1.304E+10 | -0.821 | -1.317 | 1.847 | 0.774 | -1.086 | -5.115 | -1.100 | OK | OK |
| | 6 | 7821000 | 2 | 10949400 | 1488.613 | 16000000 | 1868.613 | 2621.388 | 3.149E+13 | 1.814E+10 | -0.684 | -0.967 | 1.357 | 1.077 | -1.511 | -5.690 | -1.938 | OK | OK |
| | 5 | 7039000 | 2 | 9854600 | 1688.613 | 16000000 | 1868.613 | 2621.388 | 3.149E+13 | 2.322E+10 | -0.616 | -0.988 | 1.385 | 1.378 | -1.933 | -5.916 | -3.102 | OK | OK |
| | 4 | 3650000 | 2 | 5110000 | 1481.613 | 16000000 | 1868.613 | 2621.388 | 3.149E+13 | 2.826E+10 | -0.319 | -0.449 | 0.630 | 1.677 | -2.353 | -5.007 | -5.144 | OK | OK |
| | 3 | 3389000 | 2 | 4744600 | 795.613 | 16000000 | 1868.613 | 2621.388 | 3.149E+13 | 3.331E+10 | -0.297 | -0.224 | 0.314 | 1.977 | -2.773 | -3.551 | -7.899 | OK | OK |
| | 2 | 3128000 | 2 | 4379200 | 554.613 | 16000000 | 1868.613 | 2621.388 | 3.149E+13 | 3.838E+10 | -0.274 | -0.144 | 0.202 | 2.278 | -3.195 | -1.691 | -11.166 | OK | OK |
| | t2 | 14339000 | 2 | 20074600 | 1481.613 | 16000000 | 1868.613 | 2621.388 | 3.149E+13 | 0 | -1.255 | -1.765 | 2.476 | 0 | 0 | -4.711 | -9.944 | OK | OK |
| | t1 | 14339000 | 2 | 20074600 | 1481.613 | 16000000 | 1868.613 | 2621.388 | 3.149E+13 | 0 | -1.255 | -1.765 | 2.476 | 0 | 0 | -7.731 | -8.722 | OK | OK |
| | t3 | 14339000 | 2 | 20074600 | 1688.613 | 16000000 | 1868.613 | 2621.388 | 3.149E+13 | 0 | -1.255 | -2.012 | 2.822 | 0 | 0 | -10.997 | -7.155 | OK | OK |
| | 1 | 3389000 | 2 | 4744600 | 1048.613 | 16000000 | 1868.613 | 2621.388 | 3.149E+13 | 3.211E+10 | -0.297 | -0.295 | 0.414 | 1.906 | -2.673 | -9.684 | -9.711 | OK | OK |

| 1 | 2 | 3 | 4 | 5 | 6 | 7 | 8 | 9 | 10 | 11 | 12 | 13 | 14 | 15 | 16 | 17 | 18 | 19 | 20 |
|---|----|----------|---|----------|----------|----------|----------|----------|-----------|------------|--------|--------|-------|-------|--------|---------|---------|----|----|
| 9 | 9 | 9385000 | 2 | 13139000 | 39.419 | 13242000 | 1749.852 | 2635.148 | 2.870E+13 | 0 | -0.992 | -0.032 | 0.048 | 0 | 0 | -1.024 | -0.945 | OK | OK |
| | 8 | 9385000 | 2 | 13139000 | 968.852 | 13242000 | 1749.852 | 2635.148 | 2.870E+13 | 2628000000 | -0.992 | -0.776 | 1.169 | 0.160 | -0.241 | -2.632 | -1.009 | OK | OK |
| | 7 | 9385000 | 2 | 13139000 | 1569.852 | 13242000 | 1749.852 | 2635.148 | 2.870E+13 | 7826400000 | -0.992 | -1.258 | 1.894 | 0.477 | -0.719 | -4.405 | -0.826 | OK | OK |
| | 6 | 7821000 | 2 | 10949400 | 1362.852 | 13242000 | 1749.852 | 2635.148 | 2.870E+13 | 1.30E+10 | -0.827 | -0.910 | 1.370 | 0.790 | -1.190 | -5.351 | -1.473 | OK | OK |
| | 5 | 7039000 | 2 | 9854600 | 1569.852 | 13242000 | 1749.852 | 2635.148 | 2.870E+13 | 1.81E+10 | -0.744 | -0.943 | 1.421 | 1.101 | -1.658 | -5.938 | -2.455 | OK | OK |
| | 4 | 3650000 | 2 | 5110000 | 1362.852 | 13242000 | 1749.852 | 2635.148 | 2.870E+13 | 2.31E+10 | -0.386 | -0.425 | 0.640 | 1.410 | -2.123 | -5.338 | -4.324 | OK | OK |
| | 3 | 3389000 | 2 | 4744600 | 676.852 | 13242000 | 1749.852 | 2635.148 | 2.870E+13 | 2.82E+10 | -0.358 | -0.196 | 0.295 | 1.718 | -2.588 | -4.174 | -6.976 | OK | OK |
| | 2 | 3128000 | 2 | 4379200 | 435.852 | 13242000 | 1749.852 | 2635.148 | 2.870E+13 | 3.33E+10 | -0.331 | -0.116 | 0.175 | 2.028 | -3.054 | -2.593 | -10.185 | OK | OK |
| | t2 | 14339000 | 2 | 20074600 | 1074.852 | 13242000 | 1749.852 | 2635.148 | 2.870E+13 | 0 | -1.516 | -1.316 | 1.981 | 0 | 0 | -5.425 | -9.720 | OK | OK |
| | t1 | 14339000 | 2 | 20074600 | 546.852 | 13242000 | 1749.852 | 2635.148 | 2.870E+13 | 0 | -1.516 | -0.669 | 1.008 | 0 | 0 | -7.610 | -10.228 | OK | OK |
| 8 | t3 | 14339000 | 2 | 20074600 | 1569.852 | 13242000 | 1749.852 | 2635.148 | 2.870E+13 | 0 | -1.516 | -1.922 | 2.894 | 0 | 0 | -11.048 | -8.850 | OK | OK |
| | 1 | 3389000 | 2 | 4744600 | 929.852 | 13242000 | 1749.852 | 2635.148 | 2.870E+13 | 2.828E+10 | -0.358 | -0.269 | 0.405 | 1.724 | -2.596 | -9.951 | -11.400 | OK | OK |
| | 8 | 9385000 | 2 | 13139000 | 254.419 | 13140000 | 1713.813 | 2586.187 | 2.781E+13 | 0 | -1.000 | -0.206 | 0.311 | 0 | 0 | -1.206 | -0.689 | OK | OK |
| | 7 | 9385000 | 2 | 13139000 | 1112.813 | 13140000 | 1713.813 | 2586.187 | 2.781E+13 | 2608800000 | -1.000 | -0.901 | 1.360 | 0.161 | -0.243 | -2.946 | -0.572 | OK | OK |
| | 6 | 7821000 | 2 | 10949400 | 1025.813 | 13140000 | 1713.813 | 2586.187 | 2.781E+13 | 7776000000 | -0.833 | -0.692 | 1.045 | 0.479 | -0.723 | -3.993 | -1.083 | OK | OK |
| | 5 | 7039000 | 2 | 9854600 | 1328.813 | 13140000 | 1713.813 | 2586.187 | 2.781E+13 | 1.29E+10 | -0.750 | -0.807 | 1.218 | 0.795 | -1.200 | -4.755 | -1.815 | OK | OK |
| | 4 | 3650000 | 2 | 5110000 | 1326.813 | 13140000 | 1713.813 | 2586.187 | 2.781E+13 | 1.798E+10 | -0.389 | -0.418 | 0.631 | 1.108 | -1.673 | -4.453 | -3.246 | OK | OK |
| | 3 | 3389000 | 2 | 4744600 | 640.813 | 13140000 | 1713.813 | 2586.187 | 2.781E+13 | 2.306E+10 | -0.361 | -0.187 | 0.283 | 1.421 | -2.145 | -3.580 | -5.469 | OK | OK |
| | 2 | 3128000 | 2 | 4379200 | 399.813 | 13140000 | 1713.813 | 2586.187 | 2.781E+13 | 2.814E+10 | -0.333 | -0.108 | 0.163 | 1.735 | -2.618 | -2.287 | -8.257 | OK | OK |
| | t2 | 14339000 | 2 | 20074600 | 493.813 | 13140000 | 1713.813 | 2586.187 | 2.781E+13 | 0 | -1.528 | -0.611 | 0.922 | 0 | 0 | -4.425 | -8.863 | OK | OK |
| | t3 | 14339000 | 2 | 20074600 | 1281.813 | 13140000 | 1713.813 | 2586.187 | 2.781E+13 | 0 | -1.528 | -1.586 | 2.393 | 0 | 0 | -7.539 | -7.997 | OK | OK |
| | 1 | 3389000 | 2 | 4744600 | 893.813 | 13140000 | 1713.813 | 2586.187 | 2.781E+13 | 2.444E+10 | -0.361 | -0.261 | 0.394 | 1.506 | -2.273 | -6.655 | -10.237 | OK | OK |

| 1 | 2 | 3 | 4 | 5 | 6 | 7 | 8 | 9 | 10 | 11 | 12 | 13 | 14 | 15 | 16 | 17 | 18 | 19 | 20 |
|---|----|----------|---|----------|----------|----------|----------|----------|-----------|------------|--------|--------|-------|-------|--------|--------|--------|----|----|
| 7 | 7 | 9385000 | 2 | 13139000 | 584.419 | 13044000 | 1679.986 | 2540.014 | 2.699E+13 | 0 | -1.007 | -0.478 | 0.723 | 0 | 0 | -1.485 | -0.285 | OK | OK |
| | 6 | 7821000 | 2 | 10949400 | 677.986 | 13044000 | 1679.986 | 2540.014 | 2.699E+13 | 2592000000 | -0.839 | -0.462 | 0.699 | 0.161 | -0.244 | -2.625 | -0.669 | OK | OK |
| | 5 | 7039000 | 2 | 9854600 | 1084.986 | 13044000 | 1679.986 | 2540.014 | 2.699E+13 | 7740000000 | -0.755 | -0.665 | 1.006 | 0.482 | -0.728 | -3.565 | -1.147 | OK | OK |
| | 4 | 3650000 | 2 | 5110000 | 1292.986 | 13044000 | 1679.986 | 2540.014 | 2.699E+13 | 1.285E+10 | -0.392 | -0.411 | 0.622 | 0.800 | -1.209 | -3.568 | -2.126 | OK | OK |
| | 3 | 3389000 | 2 | 4744600 | 606.986 | 13044000 | 1679.986 | 2540.014 | 2.699E+13 | 1.793E+10 | -0.364 | -0.179 | 0.271 | 1.116 | -1.688 | -2.995 | -3.906 | OK | OK |
| | 2 | 3128000 | 2 | 4379200 | 365.986 | 13044000 | 1679.986 | 2540.014 | 2.699E+13 | 2.303E+10 | -0.336 | -0.100 | 0.151 | 1.433 | -2.167 | -1.997 | -6.258 | OK | OK |
| | t2 | 14339000 | 2 | 20074600 | 37.986 | 13044000 | 1679.986 | 2540.014 | 2.699E+13 | 0 | -1.539 | -0.047 | 0.072 | 0 | 0 | -3.584 | -7.725 | OK | OK |
| | t3 | 14339000 | 2 | 20074600 | 984.986 | 13044000 | 1679.986 | 2540.014 | 2.699E+13 | 0 | -1.539 | -1.231 | 1.861 | 0 | 0 | -6.353 | -7.404 | OK | OK |
| | 1 | 3389000 | 2 | 4744600 | 1529.986 | 13044000 | 1679.986 | 2540.014 | 2.699E+13 | 2.061E+10 | -0.364 | -0.452 | 0.683 | 1.283 | -1.939 | -5.886 | -9.023 | OK | OK |
| | 6 | 7821000 | 2 | 10949400 | 309.419 | 12960000 | 1650.463 | 2499.537 | 2.630E+13 | 0 | -0.845 | -0.213 | 0.322 | 0 | 0 | -1.057 | -0.523 | OK | OK |
| 6 | 5 | 7039000 | 2 | 9854600 | 845.463 | 12960000 | 1650.463 | 2499.537 | 2.630E+13 | 2580000000 | -0.760 | -0.523 | 0.792 | 0.162 | -0.245 | -2.179 | -0.737 | OK | OK |
| | 4 | 3650000 | 2 | 5110000 | 1103.463 | 12960000 | 1650.463 | 2499.537 | 2.630E+13 | 7707600000 | -0.394 | -0.354 | 0.536 | 0.484 | -0.733 | -2.443 | -1.327 | OK | OK |
| | 3 | 3389000 | 2 | 4744600 | 577.463 | 12960000 | 1650.463 | 2499.537 | 2.630E+13 | 1.281E+10 | -0.366 | -0.172 | 0.260 | 0.804 | -1.218 | -2.177 | -2.651 | OK | OK |
| | 2 | 3128000 | 2 | 4379200 | 336.463 | 12960000 | 1650.463 | 2499.537 | 2.630E+13 | 1.791E+10 | -0.338 | -0.092 | 0.140 | 1.124 | -1.702 | -1.484 | -4.551 | OK | OK |
| | t3 | 14339000 | 2 | 20074600 | 697.463 | 12960000 | 1650.463 | 2499.537 | 2.630E+13 | 0 | -1.549 | -0.879 | 1.331 | 0 | 0 | -3.911 | -4.769 | OK | OK |
| | 1 | 3389000 | 2 | 4744600 | 830.463 | 12960000 | 1650.463 | 2499.537 | 2.630E+13 | 1.677E+10 | -0.366 | -0.247 | 0.375 | 1.053 | -1.594 | -3.472 | -6.355 | OK | OK |

| 1 | 2 | 3 | 4 | 5 | 6 | 7 | 8 | 9 | 10 | 11 | 12 | 13 | 14 | 15 | 16 | 17 | 18 | 19 | 20 |
|---|---|---------|---|---------|---------|----------|----------|----------|-----------|------------|--------|--------|-------|-------|--------|--------|--------|----|----|
| 5 | 5 | 7039000 | 2 | 9854600 | 614.419 | 12900000 | 1629.419 | 2470.581 | 2.581E+13 | 0 | -0.764 | 0.382 | 0.579 | 0 | 0 | -1.146 | -0.184 | OK | OK |
| | 4 | 3650000 | 2 | 5110000 | 912.419 | 12900000 | 1629.419 | 2470.581 | 2.581E+13 | 2569200000 | -0.396 | -0.294 | 0.446 | 0.162 | -0.246 | -1.674 | -0.380 | OK | OK |
| | 3 | 3389000 | 2 | 4744600 | 556.419 | 12900000 | 1629.419 | 2470.581 | 2.581E+13 | 7686000000 | -0.368 | -0.167 | 0.253 | 0.485 | -0.736 | -1.724 | -1.231 | OK | OK |
| | 2 | 3128000 | 2 | 4379200 | 315.419 | 12900000 | 1629.419 | 2470.581 | 2.581E+13 | 1.279E+10 | -0.339 | -0.087 | 0.132 | 0.807 | -1.224 | -1.343 | -2.663 | OK | OK |
| | 1 | 3389000 | 2 | 4744600 | 809.419 | 12900000 | 1629.419 | 2470.581 | 2.581E+13 | 1.294E+10 | -0.368 | -0.242 | 0.368 | 0.817 | -1.238 | -1.136 | -3.901 | OK | OK |
| 4 | 4 | 3650000 | 2 | 5110000 | 720.510 | 12846000 | 1610.510 | 2444.490 | 2.539E+13 | 0 | -0.398 | -0.234 | 0.355 | 0 | 0 | -0.631 | -0.043 | OK | OK |
| | 3 | 3389000 | 2 | 4744600 | 537.510 | 12846000 | 1610.510 | 2444.490 | 2.539E+13 | 2562000000 | -0.369 | -0.162 | 0.246 | 0.163 | -0.247 | -1.000 | -0.414 | OK | OK |
| | 2 | 3128000 | 2 | 4379200 | 296.510 | 12846000 | 1610.510 | 2444.490 | 2.539E+13 | 7675200000 | -0.341 | -0.082 | 0.125 | 0.487 | -0.739 | -0.936 | -1.369 | OK | OK |
| | 1 | 3389000 | 2 | 4744600 | 790.510 | 12846000 | 1610.510 | 2444.490 | 2.539E+13 | 9105750000 | -0.369 | -0.238 | 0.361 | 0.578 | -0.877 | -0.966 | -2.254 | OK | OK |
| 3 | 3 | 3389000 | 2 | 4744600 | 524.922 | 12810000 | 1597.922 | 2427.078 | 2.511E+13 | 0 | -0.370 | -0.159 | 0.241 | 0 | 0 | -0.529 | -0.130 | OK | OK |
| | 2 | 3128000 | 2 | 4379200 | 283.922 | 12810000 | 1597.922 | 2427.078 | 2.511E+13 | 2558400000 | -0.342 | -0.079 | 0.120 | 0.163 | -0.247 | -0.787 | -0.599 | OK | OK |
| | 1 | 3389000 | 2 | 4744600 | 777.922 | 12810000 | 1597.922 | 2427.078 | 2.511E+13 | 5271750000 | -0.370 | -0.235 | 0.357 | 0.336 | -0.510 | -1.057 | -1.122 | OK | OK |
| 2 | 2 | 3128000 | 2 | 4379200 | 277.632 | 12792000 | 1591.632 | 2418.368 | 2.497E+13 | 0 | -0.342 | -0.078 | 0.118 | 0 | 0 | -0.420 | -0.225 | OK | OK |
| | 1 | 3389000 | 2 | 4744600 | 771.632 | 12792000 | 1591.632 | 2418.368 | 2.497E+13 | 1437750000 | -0.371 | -0.233 | 0.355 | 0.092 | -0.139 | -0.932 | -0.380 | OK | OK |
| 1 | 1 | 3389000 | 2 | 4744600 | 767.441 | 12780000 | 1587.441 | 2412.559 | 2.481E+13 | 0 | -0.371 | -0.233 | 0.354 | 0 | 0 | -0.604 | -0.017 | OK | OK |

4.4 Perencanaan tendon bentang tengah tahap 2

Pada tahap ini tendon tengah dipasang dan dijacking setelah box girder pada tengah bentang telah dicor dan mengeras sehingga struktur telah menjadi statis tak tentu. Perencanaan tendon untuk bentang tengah bentang ini diletakkan di bawah c.g.c guna untuk menahan momen positif yang diakibatkan dari beban hidup.

Berikut adalah langkah-langkah perhitungannya :

1. Hitung momen akibat beban mati tambahan yang bekerja pada jembatan :

- Perhitungan beban mati

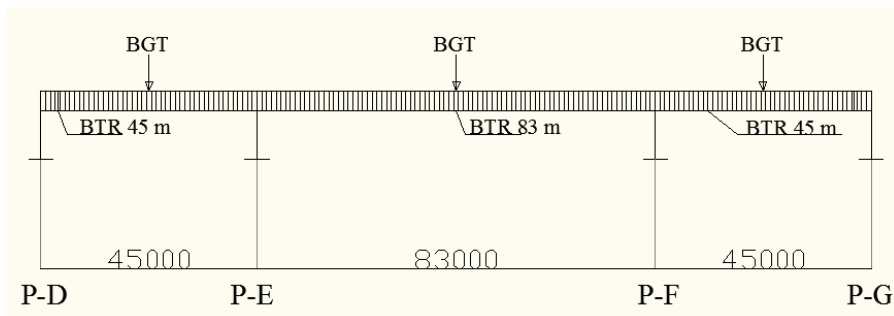
| | |
|-----------------------|----------------|
| Berat lapisan aspal | = 40.48 kN/m |
| Berat air hujan | = 5.64 kN/m |
| <u>Berat pembatas</u> | = 25.155 kN/m+ |
| Berat tambahan (q1) | = 71.275 kN/m |
| Berat closur (q2) | = 307.875 kN/m |

2. Beban lalu lintas :

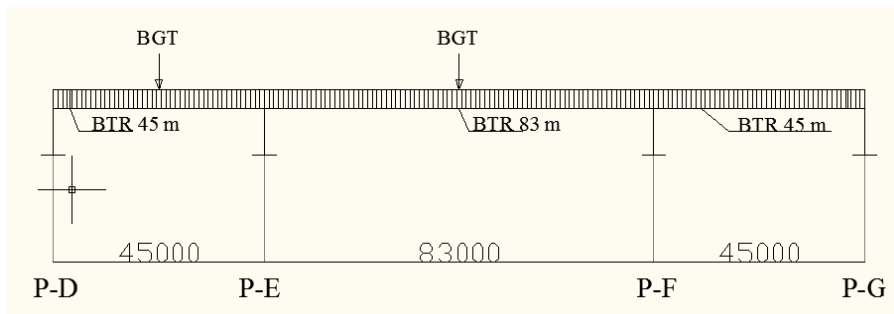
| | |
|---------------|---------------|
| - BTR 83 m | = 115.49 kN/m |
| - BTR 45 m | = 141.39 kN/m |
| - BGT | = 513.177 kN |
| - Beban truck | = 266.794 kN |

Karena BGT lebih besar dari pada beban truk maka pada pembebanannya digunakan BGT karena nilai yang lebih besar menentukan.

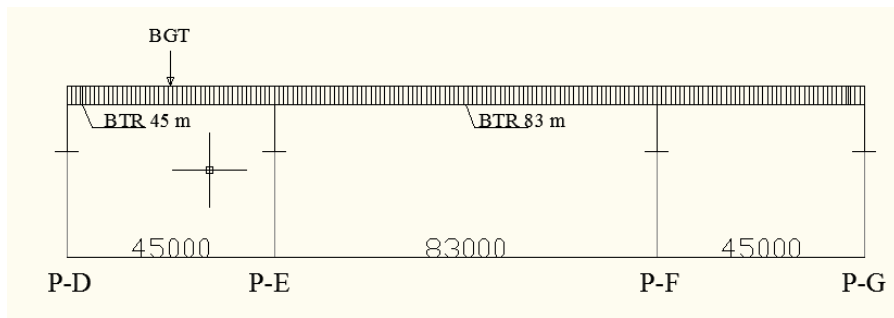
3. Merencanakan kombinasi beban yang mungkin terjadi pada jembatan dengan menggunakan beban BTR dan BGT. Berikut adalah macam kombinasi yang mungkin terjadi pada jembatan :



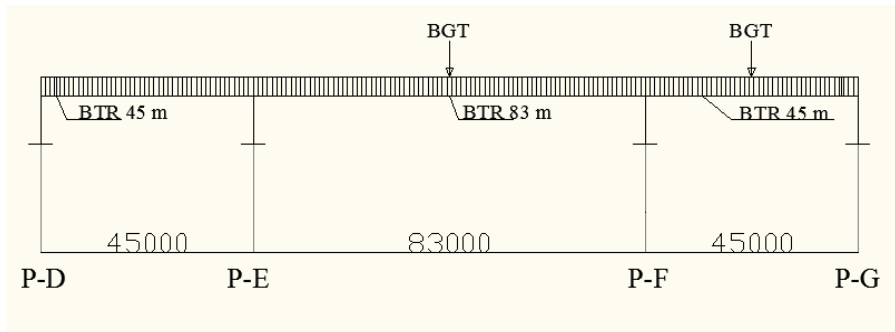
Gambar 4. 7 Letak pembebanan BTR dan BGT pada kombinasi I



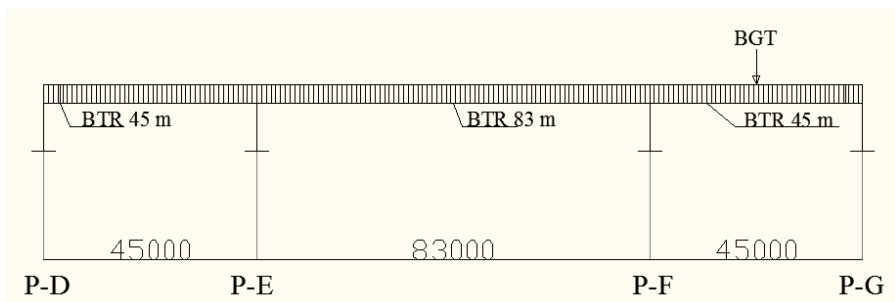
Gambar 4. 8 Letak pembebanan BTR dan BGT pada kombinasi II



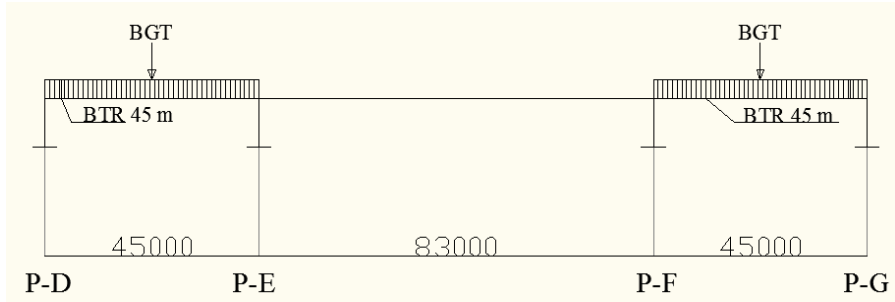
Gambar 4. 9 Letak pembebanan BTR dan BGT pada kombinasi III



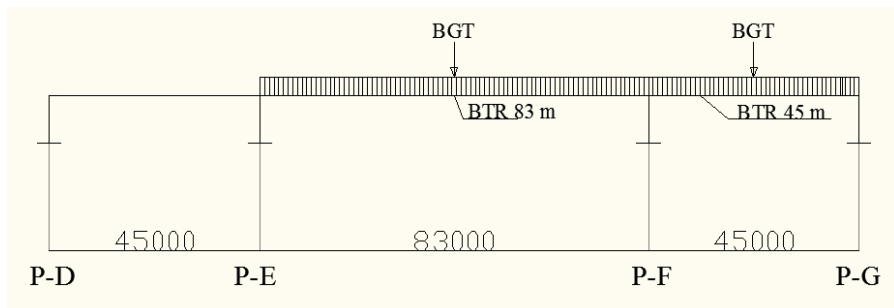
Gambar 4. 10 Letak pembebanan BTR dan BGT pada kombinasi IV



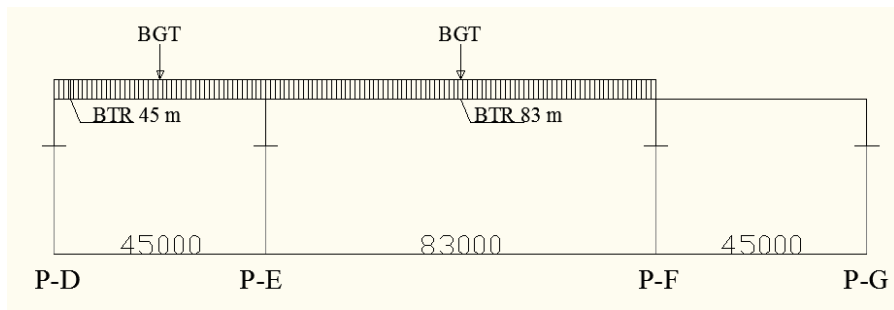
Gambar 4. 11 Letak pembebanan BTR dan BGT pada kombinasi V



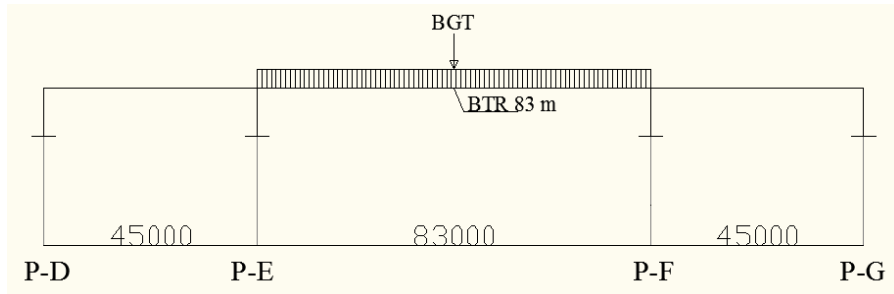
Gambar 4. 12 Letak pembebanan BTR dan BGT pada kombinasi VI



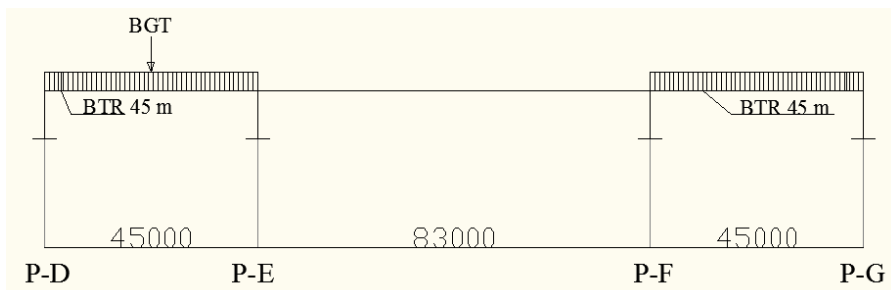
Gambar 4. 13 Letak pembebanan BTR dan BGT pada kombinasi VII



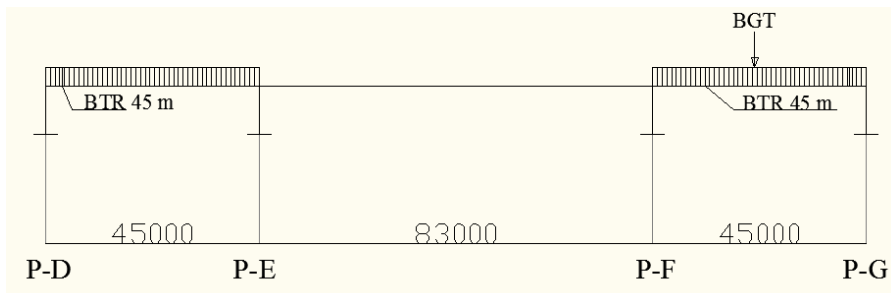
Gambar 4. 14 Letak pembebanan BTR dan BGT pada kombinasi VIII



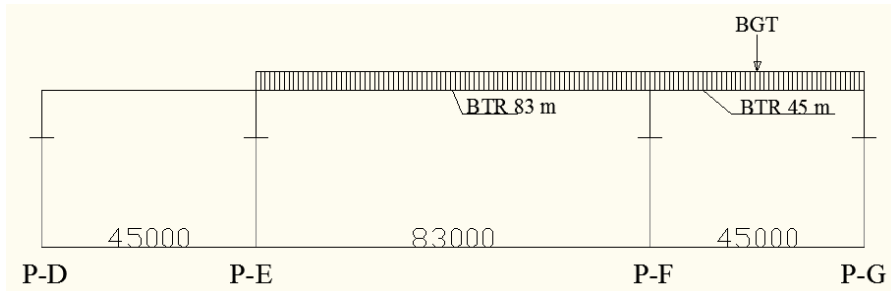
Gambar 4. 15 Letak pembebanan BTR dan BGT pada kombinasi IX



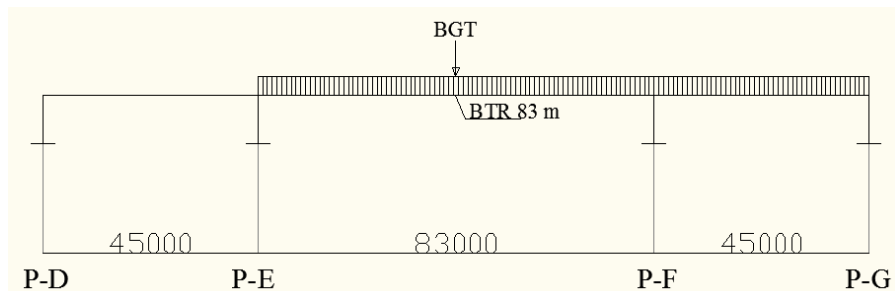
Gambar 4. 16 Letak pembebanan BTR dan BGT pada kombinasi X



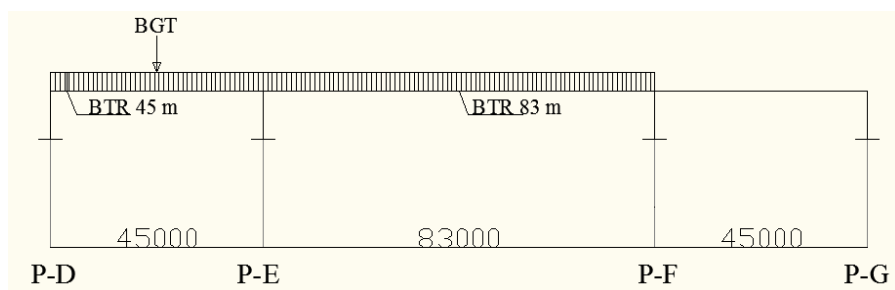
Gambar 4. 17 Letak pembebanan BTR dan BGT pada kombinasi XI



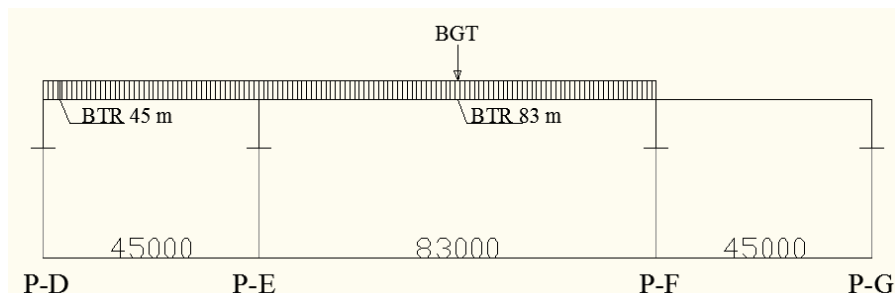
Gambar 4. 18 Letak pembebanan BTR dan BGT pada kombinasi XII



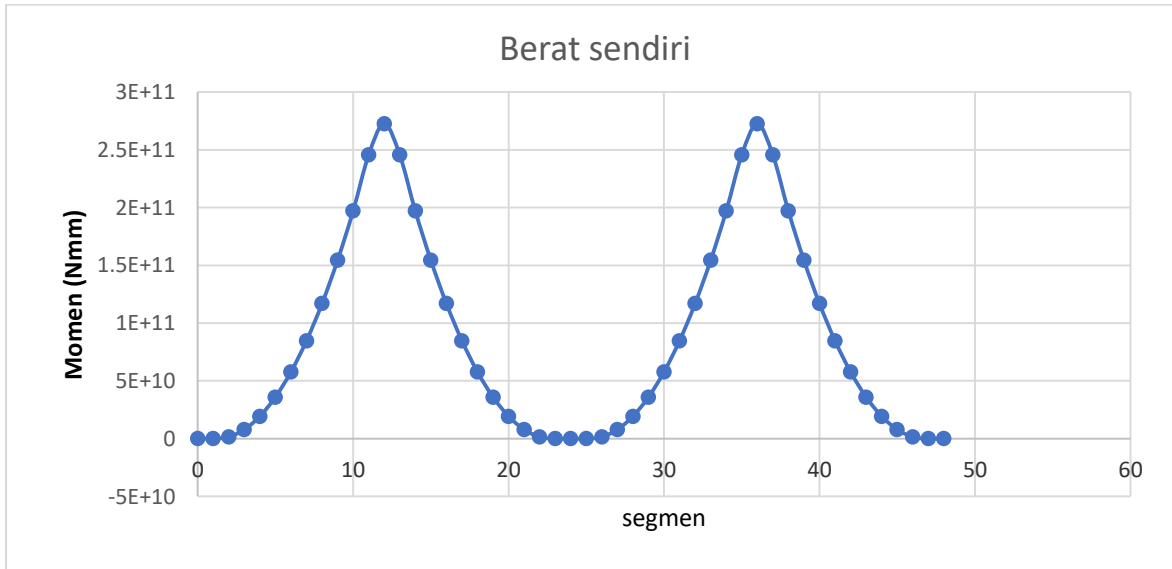
Gambar 4. 19 Letak pembebanan BTR dan BGT pada kombinasi XIII



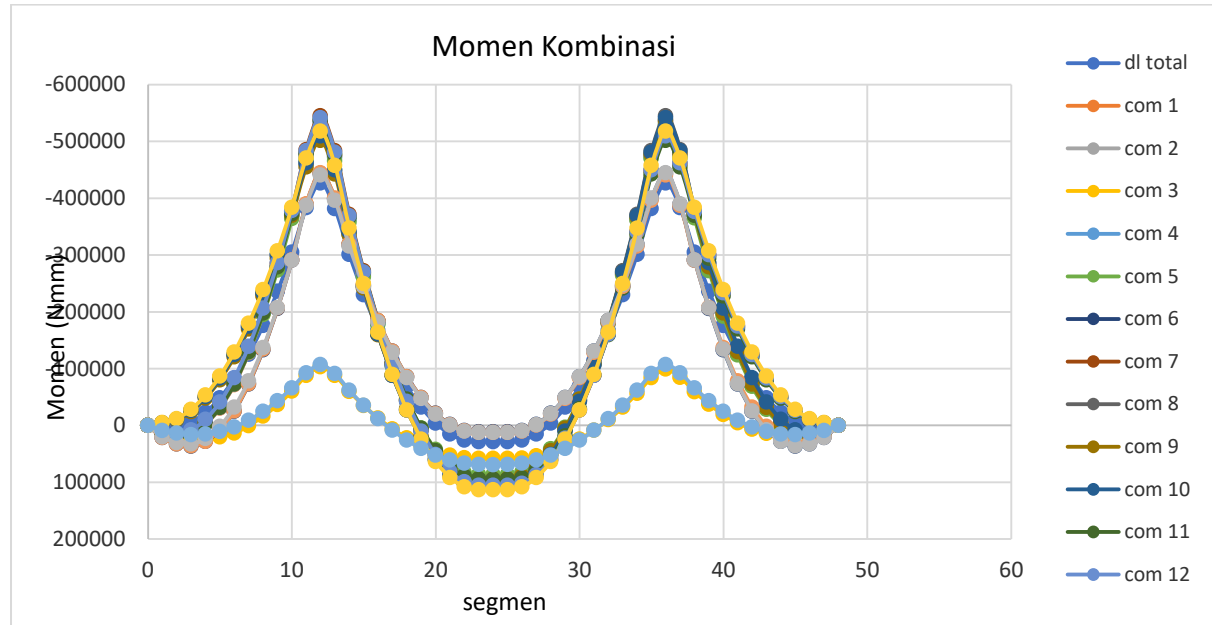
Gambar 4. 20 Letak pembebanan BTR dan BGT pada kombinasi XIV



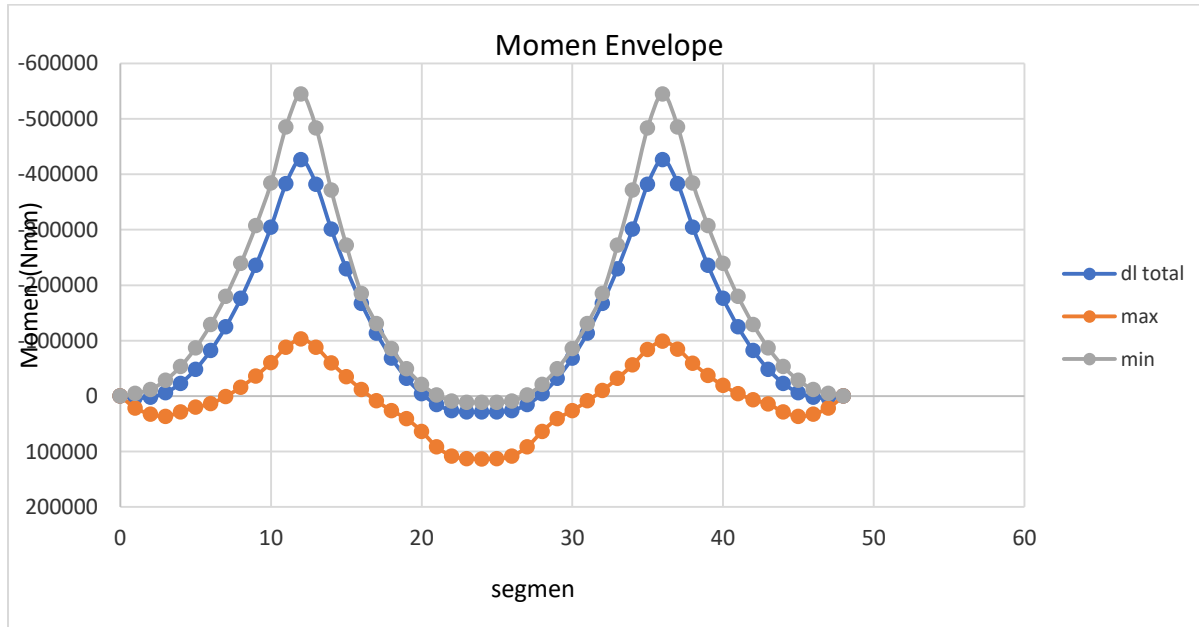
Gambar 4. 21 Letak pembebanan BTR dan BGT pada kombinasi XV



Grafik 4. 1 Grafik berat sendiri



Grafik 4. 2 Grafik beban mati dan hidup terfaktor



Grafik 4. 3 Grafik Momen Envelope

Tabel 4. 6 Momen beban mati 1.4D

Tegangan ketika telah menjadi struktur statis tak tentu

| segment | Berat sendiri (Nmm) | Closur (Nmm) | Aspal (Nmm) | Parapet (Nmm) | Y_a (mm) | Y_b (mm) | I (II^{-8}) | Beban mati (MPa) | | Tegangan tendon Cantilever (MPa) | | Closur (MPa) | | Aspal (MPa) | | Parapet (MPa) | | Total (MPa) | |
|---------|------------------------|-----------------|----------------|------------------|---------------|---------------|-----------------------------|---------------------|---------|--|-------|-----------------|-------|----------------|-------|------------------|-------|----------------|--------|
| | | | | | | | | atas | bawah | atas | bawah | atas | bawah | atas | bawah | atas | bawah | atas | bawah |
| 1 | 2 | 3 | 4 | 5 | 6 | 7 | 8 | 9 | 10 | 11 | 12 | 13 | 14 | 15 | 16 | 17 | 18 | 19 | 20 |
| 0a | 0 | 0 | 0 | 0 | 1587.441 | 2412.559 | 2.48E+13 | 0 | 0 | 0 | 0 | 0 | 0 | 0 | 0 | 0 | 0 | 0 | 0 |
| 1a | 0 | 2.88E+08 | 2E+09 | 1.24E+09 | 1587.441 | 2412.559 | 2.48E+13 | 0 | 0 | -0.60 | -0.02 | -0.02 | 0.03 | -0.13 | 0.19 | -0.08 | 0.12 | -0.83 | 0.33 |
| 2a | -2.01E+09 | 2.36E+08 | 2.9E+09 | 1.8E+09 | 1591.632 | 2418.368 | 2.5E+13 | 0.128 | -0.195 | -1.02 | -0.24 | -0.02 | 0.02 | -0.19 | 0.28 | -0.12 | 0.17 | -1.21 | 0.04 |
| 3a | -1.1E+10 | 1.67E+08 | 3.32E+09 | 2.06E+09 | 1597.922 | 2427.078 | 2.51E+13 | 0.698 | -1.06 | -1.56 | -0.36 | -0.01 | 0.02 | -0.21 | 0.32 | -0.13 | 0.20 | -1.21 | -0.89 |
| 4a | -2.71E+10 | 97271862 | 2.82E+09 | 1.75E+09 | 1610.51 | 2444.49 | 2.54E+13 | 1.718 | -2.608 | -2.19 | -0.39 | -0.01 | 0.01 | -0.18 | 0.27 | -0.11 | 0.17 | -0.77 | -2.55 |
| 5a | -5.04E+10 | 27787026 | 1.42E+09 | 8.82E+08 | 1629.419 | 2470.581 | 2.58E+13 | 3.18 | -4.822 | -3.41 | -0.46 | 0.00 | 0.00 | -0.09 | 0.14 | -0.06 | 0.08 | -0.37 | -5.06 |
| 6a | -8.09E+10 | -4.2E+07 | -8.9E+08 | -5.5E+08 | 1650.463 | 2499.537 | 2.63E+13 | 5.077 | -7.689 | -7.10 | -0.86 | 0.00 | 0.00 | 0.06 | -0.08 | 0.03 | -0.05 | -1.93 | -8.69 |
| 7a | -1.19E+11 | -1.1E+08 | -4.1E+09 | -2.5E+09 | 1679.986 | 2540.014 | 2.7E+13 | 7.385 | -11.165 | -11.16 | -1.05 | 0.01 | -0.01 | 0.26 | -0.39 | 0.16 | -0.24 | -3.36 | -12.85 |
| 8a | -1.64E+11 | -1.8E+08 | -8.2E+09 | -5.1E+09 | 1713.813 | 2586.187 | 2.78E+13 | 10.088 | -15.224 | -13.86 | 0.64 | 0.01 | -0.02 | 0.51 | -0.76 | 0.32 | -0.48 | -2.94 | -15.84 |
| 9a | -2.16E+11 | -2.5E+08 | -1.3E+10 | -8.2E+09 | 1749.852 | 2635.148 | 2.87E+13 | 13.174 | -19.838 | -19.36 | 2.77 | 0.02 | -0.02 | 0.81 | -1.22 | 0.50 | -0.76 | -4.86 | -19.06 |
| 10a | -2.76E+11 | -3.2E+08 | -1.9E+10 | -1.2E+10 | 1868.613 | 2621.388 | 3.15E+13 | 16.368 | -22.961 | -21.37 | 6.69 | 0.02 | -0.03 | 1.14 | -1.60 | 0.71 | -0.99 | -3.14 | -18.89 |
| 11 | -3.44E+11 | -3.9E+08 | -2.6E+10 | -1.6E+10 | 2030.038 | 2569.962 | 4.11E+13 | 16.965 | -21.477 | -19.87 | 6.26 | 0.02 | -0.02 | 1.28 | -1.63 | 0.80 | -1.01 | -0.80 | -17.88 |

| 1 | 2 | 3 | 4 | 5 | 6 | 7 | 8 | 9 | 10 | 11 | 12 | 13 | 14 | 15 | 16 | 17 | 18 | 19 | 20 |
|----|----------|----------|----------|----------|---------|---------|---------|-------|--------|--------|-------|-------|-------|-------|-------|-------|-------|-------|--------|
| 12 | -3.8E+11 | -4.2E+08 | -3.0E+10 | -1.9E+10 | 2030.04 | 2569.96 | 4.1E+13 | 18.83 | -23.84 | -19.87 | 6.26 | 0.02 | -0.03 | 1.47 | -1.86 | 0.91 | -1.16 | 1.37 | -20.63 |
| 11 | -3.4E+11 | -3.8E+08 | -2.5E+10 | -1.6E+10 | 2030.04 | 2569.96 | 4.1E+13 | 16.96 | -21.48 | -19.87 | 6.26 | 0.02 | -0.02 | 1.24 | -1.57 | 0.77 | -0.98 | -0.87 | -17.80 |
| 10 | -2.8E+11 | -2.9E+08 | -1.7E+10 | -1.0E+10 | 1868.61 | 2621.39 | 3.1E+13 | 16.37 | -22.96 | -21.37 | 6.69 | 0.02 | -0.02 | 0.99 | -1.39 | 0.62 | -0.86 | -3.38 | -18.55 |
| 9 | -2.2E+11 | -2.0E+08 | -9.1E+09 | -5.7E+09 | 1749.85 | 2635.15 | 2.9E+13 | 13.17 | -19.84 | -19.36 | 2.77 | 0.01 | -0.02 | 0.56 | -0.84 | 0.35 | -0.52 | -5.27 | -18.44 |
| 8 | -1.6E+11 | -1.1E+08 | -2.4E+09 | -1.5E+09 | 1713.81 | 2586.19 | 2.8E+13 | 10.09 | -15.22 | -13.86 | 0.64 | 0.01 | -0.01 | 0.15 | -0.22 | 0.09 | -0.14 | -3.52 | -14.96 |
| 7 | -1.2E+11 | -2.1E+07 | 3.4E+09 | 2.1E+09 | 1679.99 | 2540.01 | 2.7E+13 | 7.38 | -11.17 | -11.16 | -1.05 | 0.00 | 0.00 | -0.21 | 0.32 | -0.13 | 0.20 | -4.11 | -11.70 |
| 6 | -8.1E+10 | 6.8E+07 | 8.2E+09 | 5.1E+09 | 1650.46 | 2499.54 | 2.6E+13 | 5.08 | -7.69 | -7.10 | -0.86 | 0.00 | 0.01 | -0.52 | 0.78 | -0.32 | 0.49 | -2.86 | -7.28 |
| 5 | -5.0E+10 | 1.6E+08 | 1.2E+10 | 7.6E+09 | 1629.42 | 2470.58 | 2.6E+13 | 3.18 | -4.82 | -3.41 | -0.46 | -0.01 | 0.02 | -0.77 | 1.17 | -0.48 | 0.73 | -1.49 | -3.37 |
| 4 | -2.7E+10 | 2.5E+08 | 1.5E+10 | 9.5E+09 | 1610.51 | 2444.49 | 2.5E+13 | 1.72 | -2.61 | -2.19 | -0.39 | -0.02 | 0.02 | -0.97 | 1.47 | -0.60 | 0.91 | -2.06 | -0.59 |
| 3 | -1.1E+10 | 3.4E+08 | 1.7E+10 | 1.1E+10 | 1597.92 | 2427.08 | 2.5E+13 | 0.70 | -1.06 | -1.56 | -0.36 | -0.02 | 0.03 | -1.11 | 1.68 | -0.69 | 1.05 | -2.68 | 1.34 |
| 2 | -2.0E+09 | 4.3E+08 | 1.9E+10 | 1.2E+10 | 1591.63 | 2418.37 | 2.5E+13 | 0.13 | -0.19 | -1.02 | -0.24 | -0.03 | 0.04 | -1.19 | 1.81 | -0.74 | 1.12 | -2.85 | 2.54 |
| 1 | 0.0E+00 | 4.9E+08 | 1.9E+10 | 1.2E+10 | 1587.44 | 2412.56 | 2.5E+13 | 0 | 0 | -0.60 | -0.02 | -0.03 | 0.05 | -1.22 | 1.85 | -0.76 | 1.15 | -2.61 | 3.03 |
| 0 | 0.0E+00 | 5.0E+08 | 1.9E+10 | 1.2E+10 | 1587.44 | 2412.56 | 2.5E+13 | 0 | 0 | 0 | -0.03 | 0.05 | -1.22 | 1.85 | -0.76 | 1.15 | -2.00 | 3.05 | |

Tabel 4. 7 Tengangan tendon menerus (m1)

| segmen | Fo (N) | Fi = 0.85*Fo (N) | n | nxFi (N) | e (mm) | A (mm ²) | Tegangan (MPa) | | | | |
|--------|----------|------------------|---|----------|----------|----------------------|----------------|-----------|----------|--------|--------|
| | | | | | | | -F/A | -Fxexya/l | Fxexyb/l | atas | bawah |
| 1 | 2 | 3 | 4 | 5 | 6 | 7 | 8 | 9 | 10 | 11 | 12 |
| 0a | 14339000 | 10037300 | 2 | 20074600 | 0 | 12780000 | -1.571 | 0.000 | 0.000 | -1.571 | -1.571 |
| 1a | 14339000 | 10037300 | 2 | 20074600 | 52.55869 | 12780000 | -1.571 | -0.067 | 0.103 | -1.638 | -1.468 |
| 2a | 14339000 | 10037300 | 2 | 20074600 | 33.36773 | 12792000 | -1.569 | -0.043 | 0.065 | -1.612 | -1.504 |
| 3a | 14339000 | 10037300 | 2 | 20074600 | 42.07845 | 12810000 | -1.567 | -0.054 | 0.082 | -1.621 | -1.485 |
| 4a | 14339000 | 10037300 | 2 | 20074600 | 8.489724 | 12846000 | -1.563 | -0.011 | 0.016 | -1.574 | -1.546 |
| 5a | 14339000 | 10037300 | 2 | 20074600 | 867.5814 | 12900000 | -1.556 | -1.099 | 1.667 | -2.656 | 0.111 |
| 6a | 14339000 | 10037300 | 2 | 20074600 | 306.463 | 12960000 | -1.549 | -0.386 | 0.585 | -1.935 | -0.964 |
| 7a | 14339000 | 10037300 | 2 | 20074600 | 677.9862 | 13044000 | -1.539 | -0.847 | 1.281 | -2.386 | -0.258 |
| 8a | 14339000 | 10037300 | 2 | 20074600 | 974.8128 | 13140000 | -1.528 | -1.206 | 1.820 | -2.734 | 0.292 |
| 9a | 14339000 | 10037300 | 2 | 20074600 | 1295.852 | 13242000 | -1.516 | -1.586 | 2.389 | -3.102 | 0.873 |
| 10a | 14339000 | 10037300 | 2 | 20074600 | 1688.613 | 16000000 | -1.255 | -2.012 | 2.822 | -3.266 | 1.568 |
| 11 | 14339000 | 10037300 | 2 | 20074600 | 2030.038 | 23420000 | -0.857 | -2.011 | 2.546 | -2.868 | 1.689 |

| 1 | 2 | 3 | 4 | 5 | 6 | 7 | 8 | 9 | 10 | 11 | 12 |
|-------|----------|----------|---|----------|----------|----------|--------|--------|--------|--------|--------|
| 12 | 14339000 | 10037300 | 2 | 20074600 | 1850.038 | 23420000 | -0.857 | -1.833 | 2.320 | -2.690 | 1.463 |
| 11 | 14339000 | 10037300 | 2 | 20074600 | 1850.038 | 23420000 | -0.857 | -1.833 | 2.320 | -2.690 | 1.463 |
| 10 | 14339000 | 10037300 | 2 | 20074600 | 1688.613 | 16000000 | -1.255 | -2.012 | 2.822 | -3.266 | 1.568 |
| 9 | 14339000 | 10037300 | 2 | 20074600 | 1270.852 | 13242000 | -1.516 | -1.556 | 2.343 | -3.072 | 0.827 |
| 8 | 14339000 | 10037300 | 2 | 20074600 | 985.8128 | 13140000 | -1.528 | -1.220 | 1.841 | -2.748 | 0.313 |
| 7 | 14339000 | 10037300 | 2 | 20074600 | 677.9862 | 13044000 | -1.539 | -0.847 | 1.281 | -2.386 | -0.258 |
| 6 | 14339000 | 10037300 | 2 | 20074600 | 371.463 | 12960000 | -1.549 | -0.468 | 0.709 | -2.017 | -0.840 |
| 5 | 14339000 | 10037300 | 2 | 20074600 | 79.4186 | 12900000 | -1.556 | -0.101 | 0.153 | -1.657 | -1.404 |
| 4 | 14339000 | 10037300 | 2 | 20074600 | 141.4897 | 12846000 | -1.563 | 0.180 | -0.274 | -1.383 | -1.836 |
| 3 | 14339000 | 10037300 | 2 | 20074600 | 222.0785 | 12810000 | -1.567 | 0.284 | -0.431 | -1.283 | -1.998 |
| 2 | 14339000 | 10037300 | 2 | 20074600 | 223.3677 | 12792000 | -1.569 | 0.286 | -0.434 | -1.283 | -2.004 |
| 1 | 14339000 | 10037300 | 2 | 20074600 | 232.5587 | 12780000 | -1.571 | 0.299 | -0.454 | -1.272 | -2.025 |
| | 3650000 | 2555000 | 2 | 5110000 | 637.4413 | | -0.400 | -0.208 | 0.317 | -0.608 | -0.083 |
| Total | | | | | | | | | | -1.880 | -2.108 |
| 0 | 14339000 | 10037300 | 2 | 20074600 | 232.5587 | 12780000 | -1.571 | 0.299 | -0.454 | -1.272 | -2.025 |
| | 3650000 | 2555000 | 2 | 5110000 | 637.4413 | | -0.400 | -0.208 | 0.317 | -0.608 | -0.083 |
| Total | | | | | | | | | | -1.880 | -2.108 |

Tabel 4. 8 Kontrol tegangan saat menjadi balok statis tak tentu

| segmen | a | | b | | c | |
|--------|----------------|---------|--------|---------|--------|---------|
| | Tegangan (MPa) | | | | | |
| | Atas | bawah | atas | bawah | atas | bawah |
| 1 | 2 | 3 | 4 | 5 | 6 | 7 |
| 0a | -1.571 | -1.571 | -1.571 | -1.571 | -1.571 | -1.571 |
| 1a | -2.261 | -1.457 | -2.389 | -1.263 | -2.468 | -1.142 |
| 2a | -2.523 | -1.917 | -2.708 | -1.636 | -2.823 | -1.461 |
| 3a | -2.489 | -2.894 | -2.700 | -2.573 | -2.831 | -2.374 |
| 4a | -2.055 | -4.536 | -2.234 | -4.264 | -2.345 | -4.095 |
| 5a | -2.885 | -5.166 | -2.975 | -5.030 | -3.030 | -4.945 |
| 6a | -3.954 | -9.520 | -3.898 | -9.604 | -3.864 | -9.657 |
| 7a | -6.155 | -12.482 | -5.900 | -12.868 | -5.741 | -13.108 |
| 8a | -6.496 | -14.311 | -5.989 | -15.076 | -5.674 | -15.552 |
| 9a | -9.274 | -16.218 | -8.466 | -17.435 | -7.963 | -18.191 |
| 10a | -8.255 | -14.730 | -7.116 | -16.327 | -6.408 | -17.320 |
| 11 | -5.751 | -13.555 | -4.466 | -15.181 | -3.668 | -16.192 |
| 12 | -3.703 | -16.148 | -2.232 | -18.009 | -1.319 | -19.166 |
| 11 | -5.573 | -13.780 | -4.329 | -15.355 | -3.556 | -16.333 |
| 10 | -8.256 | -14.727 | -7.265 | -16.118 | -6.649 | -16.982 |
| 9 | -9.246 | -16.259 | -8.691 | -17.096 | -8.346 | -17.615 |
| 8 | -6.514 | -14.284 | -6.364 | -14.509 | -6.272 | -14.649 |
| 7 | -6.161 | -12.474 | -6.370 | -12.157 | -6.500 | -11.961 |
| 6 | -4.043 | -9.385 | -4.560 | -8.602 | -4.881 | -8.116 |
| 5 | -1.894 | -6.667 | -2.665 | -5.499 | -3.143 | -4.774 |
| 4 | -1.873 | -4.811 | -2.842 | -3.341 | -3.443 | -2.428 |
| 3 | -2.162 | -3.390 | -3.271 | -1.706 | -3.960 | -0.660 |
| 2 | -2.206 | -2.398 | -3.396 | -0.590 | -4.136 | 0.533 |
| 1 | -2.516 | -2.077 | -3.732 | -0.229 | -4.487 | 0.919 |
| 0 | -1.912 | -2.059 | -3.128 | -0.211 | -3.884 | 0.938 |

Keterangan :

- a) berat sendiri, tendon cantilever, balok closur dan tendon menerus (1)
- b) a dan beban aspal
- c) b dan beban parapet

Tegangan ijin

-tekan -32.49 MPa

-tarik 1.83 MPa

Tabel 4. 9 Kontrol tegangan saat beban lalu lintas sudah bekerja
Beban yang bekerja 1.6L

| segmen | Momen air hujan (Nm) | Beban lalu lintas (Nm) | | Tegangan | | | | | |
|--------|----------------------|------------------------|----------|----------|----------|----------|----------|------------|-----------|
| | | | | atas | bawah | atas | bawah | atas | bawah |
| 0a | 0 | 0 | 0 | 0 | 0 | 0 | 0 | 0 | 0 |
| 1a | 363840000 | 1.87E+10 | -8.1E+09 | -0.02328 | 0.035375 | -1.19384 | 1.814377 | 0.52030939 | -0.790755 |
| 2a | 528426667 | 3.03E+10 | -1.4E+10 | -0.03369 | 0.051187 | -1.93055 | 2.933333 | 0.90738436 | -1.378704 |
| 3a | 603459048 | 4.26E+10 | -2.2E+10 | -0.03841 | 0.05834 | -2.71204 | 4.119313 | 1.42357912 | -2.16227 |
| 4a | 513447619 | 5.13E+10 | -3E+10 | -0.03257 | 0.049441 | -3.25556 | 4.941407 | 1.93487198 | -2.936817 |
| 5a | 258392381 | 5.64E+10 | -3.9E+10 | -0.01631 | 0.02473 | -3.56038 | 5.398367 | 2.4385179 | -3.697366 |
| 6a | -1.62E+08 | 5.75E+10 | -4.7E+10 | 0.010148 | -0.01537 | -3.6064 | 5.461702 | 2.93498387 | -4.444875 |
| 7a | -7.47E+08 | 5.2E+10 | -5.5E+10 | 0.046485 | -0.07028 | -3.23837 | 4.896174 | 3.41699653 | -5.166244 |
| 8a | -1.5E+09 | 4.3E+10 | -6.3E+10 | 0.092268 | -0.13924 | -2.64875 | 3.997031 | 3.88500816 | -5.862576 |
| 9a | -2.41E+09 | 3.03E+10 | -7.1E+10 | 0.14709 | -0.22151 | -1.84762 | 2.782384 | 4.33942529 | -6.534857 |
| 10a | -3.49E+09 | 1.41E+10 | -7.9E+10 | 0.207269 | -0.29077 | -0.83513 | 1.71567 | 4.70614954 | -6.602033 |
| 11 | -4.74E+09 | -3.9E+09 | -1E+11 | 0.233831 | -0.29602 | 0.194437 | -0.24615 | 5.05890817 | -6.404411 |
| 12 | -5.42E+09 | -1.4E+10 | -1.2E+11 | 0.267617 | -0.33879 | 0.705903 | -0.89365 | 5.83903755 | -7.392029 |
| 11 | -4.59E+09 | -1.4E+10 | -1E+11 | 0.226379 | -0.28659 | 0.710613 | -0.89961 | 5.01650136 | -6.350725 |
| 10 | -3.04E+09 | -1.5E+10 | -7.1E+10 | 0.180389 | -0.25306 | 0.865819 | -1.21462 | 4.18563727 | -5.871831 |
| 9 | -1.66E+09 | -1.2E+10 | -4.2E+10 | 0.101058 | -0.15219 | 0.72866 | -1.09731 | 2.58358937 | -3.890696 |
| 8 | -4.4E+08 | 8.1E+09 | -1.8E+10 | 0.027128 | -0.04094 | -0.49929 | 0.753443 | 1.08449904 | -1.636537 |
| 7 | 611977143 | 2.57E+10 | -1.7E+10 | -0.03809 | 0.05759 | -1.59883 | 2.417317 | 1.08328463 | -1.637846 |
| 6 | 1.499E+09 | 4.15E+10 | -1.7E+10 | -0.09408 | 0.142481 | -2.60611 | 3.946806 | 1.0807127 | -1.636681 |
| 5 | 2.221E+09 | 5.61E+10 | -1.7E+10 | -0.1402 | 0.212576 | -3.54125 | 5.369359 | 1.08693794 | -1.648053 |
| 4 | 2.778E+09 | 6.77E+10 | -1.7E+10 | -0.17625 | 0.267512 | -4.29635 | 6.521149 | 1.09242915 | -1.658128 |
| 3 | 3.17E+09 | 7.64E+10 | -1.7E+10 | -0.20177 | 0.306475 | -4.86196 | 7.384811 | 1.096027 | -1.664752 |
| 2 | 3.397E+09 | 8.21E+10 | -1.7E+10 | -0.21657 | 0.329061 | -5.23371 | 7.952243 | 1.09780609 | -1.668035 |
| 1 | 3.459E+09 | 8.44E+10 | -1.7E+10 | -0.22128 | 0.336299 | -5.40165 | 8.209305 | 1.10162531 | -1.674226 |
| 0 | 3.46E+09 | 8.47E+10 | -1.7E+10 | -0.22136 | 0.336425 | -5.41626 | 8.23151 | 1.10162531 | -1.674226 |

| segmen | F _d (N) | F ₁ = 0.85 F ₀ (N) | n | txF _i | | A (mm ²) | F _{xeyy01} | | atas | bawah |
|--------|--------------------|--|---|------------------|----------|----------------------|---------------------|---------------------|--------|--------|
| | | | | (N) | (mm) | | -F/A | F _{xeyy01} | | |
| 0a | 14339000 | 10037300 | 2 | 20074600 | 0 | 12780000 | -1.571 | 0 | 0 | -1.571 |
| 1a | 14339000 | 10037300 | 2 | 20074600 | 412.559 | 12780000 | -1.571 | 0.53 | -0.805 | -1.041 |
| 2a | 14339000 | 10037300 | 2 | 20074600 | 513.688 | 12780000 | -1.569 | 0.657 | -0.988 | -0.912 |
| 3a | 14339000 | 10037300 | 2 | 20074600 | 384.078 | 12800000 | -1.567 | 0.604 | -0.765 | -1.063 |
| 4a | 14339000 | 10037300 | 2 | 20074600 | 369.49 | 12846000 | -1.563 | 0.471 | -0.714 | -1.092 |
| 5a | 14339000 | 10037300 | 2 | 20074600 | 272.581 | 12900000 | -1.556 | 0.345 | -0.524 | -1.121 |
| 6a | 14339000 | 10037300 | 2 | 20074600 | 306.463 | 12980000 | -1.549 | -0.398 | 0.585 | -1.935 |
| 7a | 14339000 | 10037300 | 2 | 20074600 | 489.986 | 13044000 | -1.539 | -0.612 | 0.926 | -2.151 |
| 8a | 14339000 | 10037300 | 2 | 20074600 | 680.313 | 13400000 | -1.528 | -0.842 | 1.271 | -2.37 |
| 9a | 14339000 | 10037300 | 2 | 20074600 | 870.852 | 13240000 | -1.516 | -1.066 | 1.605 | -2.582 |
| 10a | 14339000 | 10037300 | 2 | 20074600 | 1144.613 | 16000000 | -1.255 | -1.364 | 1.913 | -2.619 |
| 11 | 14339000 | 10037300 | 2 | 20074600 | 1306.038 | 23420000 | -0.857 | -1.294 | 1.638 | -2.151 |
| 12 | 14339000 | 10037300 | 2 | 20074600 | 1306.038 | 23420000 | -0.857 | -1.294 | 1.638 | -2.151 |
| 11 | 14339000 | 10037300 | 2 | 20074600 | 1306.038 | 23420000 | -0.857 | -1.294 | 1.638 | -2.151 |
| 10 | 14339000 | 10037300 | 2 | 20074600 | 1144.613 | 16000000 | -1.255 | -1.364 | 1.913 | -2.619 |
| 9 | 14339000 | 10037300 | 2 | 20074600 | 870.852 | 13240000 | -1.516 | -1.066 | 1.605 | -2.582 |
| 8 | 14339000 | 10037300 | 2 | 20074600 | 680.313 | 13400000 | -1.528 | -0.842 | 1.271 | -2.37 |
| 7 | 14339000 | 10037300 | 2 | 20074600 | 489.986 | 13044000 | -1.539 | -0.612 | 0.926 | -2.151 |
| 6 | 14339000 | 10037300 | 2 | 20074600 | 306.463 | 12800000 | -1.549 | -0.386 | 0.585 | -1.935 |
| 5 | 14339000 | 10037300 | 2 | 20074600 | 578.581 | 12900000 | -1.556 | 2 | -3.033 | 0.444 |
| 4 | 14339000 | 10037300 | 2 | 20074600 | 1799.49 | 12846000 | -1.563 | 2.232 | -3.478 | 0.739 |
| 3 | 14339000 | 10037300 | 2 | 20074600 | 2016.078 | 12810000 | -1.567 | 2.579 | -3.847 | 1.012 |
| 2 | 14339000 | 10037300 | 2 | 20074600 | 2228.368 | 12780000 | -1.569 | 2.852 | -4.333 | 1.283 |
| 1 | 14339000 | 10037300 | 2 | 20074600 | 2232.559 | 12780000 | -1.571 | 2.867 | -4.357 | 1.296 |
| 0 | 14339000 | 10037300 | 2 | 20074600 | 2232.559 | 12780000 | -1.571 | 2.867 | -4.357 | 1.296 |

Tabel 4. 11 Tegangan pada saat beban sudah bekerja semuanya

| segmen | a | | b | | c | | d | | e | | f | | g | |
|--------|----------------|---------|---------|---------|---------|---------|---------|---------|---------|---------|---------|---------|--------|---------|
| | Tegangan (MPa) | | | | | | | | | | | | | |
| | atas | bawah | atas | bawah | Atas | bawah | atas | bawah | atas | bawah | atas | bawah | atas | bawah |
| 1 | 2 | 3 | 4 | 5 | 6 | 7 | 8 | 9 | 10 | 11 | 12 | 13 | 14 | 15 |
| 0a | -1.571 | -1.571 | -1.571 | -1.571 | -1.571 | -1.571 | -3.142 | -3.142 | -3.142 | -3.142 | -3.142 | -3.142 | -3.142 | -3.142 |
| 1a | -2.258 | -1.461 | -2.368 | -1.295 | -2.436 | -1.191 | -3.477 | -3.567 | -3.500 | -3.532 | -4.694 | -1.717 | -2.980 | -4.322 |
| 2a | -2.539 | -1.893 | -2.698 | -1.652 | -2.796 | -1.502 | -3.708 | -4.069 | -3.742 | -4.018 | -5.672 | -1.084 | -2.834 | -5.397 |
| 3a | -2.587 | -2.745 | -2.768 | -2.47 | -2.88 | -2.299 | -3.943 | -4.631 | -3.981 | -4.573 | -6.693 | -0.453 | -2.558 | -6.735 |
| 4a | -2.299 | -4.164 | -2.453 | -3.932 | -2.548 | -3.787 | -3.640 | -6.064 | -3.673 | -6.015 | -6.928 | -1.073 | -1.738 | -8.951 |
| 5a | -3.339 | -4.477 | -3.416 | -4.361 | -3.464 | -4.288 | -4.675 | -6.368 | -4.691 | -6.343 | -8.252 | -0.945 | -2.253 | -10.041 |
| 6a | -4.68 | -8.421 | -4.632 | -8.493 | -4.602 | -8.538 | -6.537 | -9.502 | -6.527 | -9.517 | -10.133 | -4.056 | -3.592 | -13.962 |
| 7a | -7.211 | -10.886 | -6.992 | -11.217 | -6.856 | -11.422 | -9.007 | -12.035 | -8.961 | -12.105 | -12.199 | -7.209 | -5.544 | -17.272 |
| 8a | -7.938 | -12.134 | -7.504 | -12.79 | -7.234 | -13.197 | -9.604 | -13.454 | -9.512 | -13.593 | -12.160 | -9.596 | -5.627 | -19.456 |
| 9a | -11.158 | -13.381 | -10.465 | -14.424 | -10.035 | -15.072 | -12.617 | -14.983 | -12.470 | -15.205 | -14.318 | -12.422 | -8.130 | -21.739 |
| 10a | -10.596 | -11.446 | -9.62 | -12.815 | -9.013 | -13.666 | -11.632 | -13.008 | -11.425 | -13.299 | -12.260 | -12.127 | -6.719 | -19.901 |
| 11 | -8.177 | -10.483 | -7.076 | -11.877 | -6.391 | -12.744 | -8.542 | -11.963 | -8.308 | -12.259 | -8.114 | -12.505 | -3.249 | -18.663 |

Keterangan :

- a) berat sendiri, tendon cantilever,
balok closur dan tendon menerus (1)
- b) a dan beban aspal
- c) b dan beban parapet
- d) c dan tendon menerus (2)
- e) d dan beban air hujan
- f) e dan beban lalu lintas momen (+)
- g) e dan beban lalu lintas momen (-)

Tegangan ijin :

tekan = -25.65 MPa

tarik = 3.77 MPa

| 1 | 2 | 3 | 4 | 5 | 6 | 7 | 8 | 9 | 10 | 11 | 12 | 13 | 14 | 15 |
|----|---------|---------|---------|---------|---------|---------|---------|---------|---------|---------|---------|---------|---------|---------|
| 12 | -6.396 | -12.738 | -5.136 | -14.333 | -4.352 | -15.325 | -6.503 | -14.544 | -6.235 | -14.883 | -5.529 | -15.776 | -0.396 | -22.275 |
| 11 | -7.999 | -10.709 | -6.933 | -12.058 | -6.270 | -12.897 | -8.421 | -12.116 | -8.195 | -12.403 | -7.484 | -13.302 | -3.178 | -18.753 |
| 10 | -10.597 | -11.444 | -9.748 | -12.636 | -9.220 | -13.376 | -11.839 | -12.718 | -11.659 | -12.971 | -10.793 | -14.186 | -7.473 | -18.843 |
| 9 | -11.130 | -13.423 | -10.654 | -14.139 | -10.358 | -14.585 | -12.940 | -14.496 | -12.839 | -14.648 | -12.110 | -15.746 | -10.255 | -18.539 |
| 8 | -7.956 | -12.108 | -7.828 | -12.301 | -7.749 | -12.421 | -10.119 | -12.678 | -10.092 | -12.719 | -10.591 | -11.965 | -9.007 | -14.355 |
| 7 | -7.216 | -10.878 | -7.396 | -10.607 | -7.507 | -10.439 | -9.658 | -11.052 | -9.696 | -10.994 | -11.295 | -8.577 | -8.613 | -12.632 |
| 6 | -4.768 | -8.288 | -5.211 | -7.617 | -5.486 | -7.200 | -7.421 | -8.164 | -7.515 | -8.022 | -10.121 | -4.075 | -6.434 | -9.658 |
| 5 | -2.347 | -5.981 | -3.008 | -4.980 | -3.418 | -4.358 | -2.974 | -8.947 | -3.114 | -8.734 | -6.655 | -3.365 | -2.027 | -10.382 |
| 4 | -2.116 | -4.442 | -2.946 | -3.182 | -3.462 | -2.399 | -2.733 | -7.440 | -2.909 | -7.172 | -7.206 | -0.651 | -1.817 | -8.831 |
| 3 | -2.259 | -3.243 | -3.209 | -1.800 | -3.800 | -0.903 | -2.788 | -6.387 | -2.990 | -6.081 | -7.852 | 1.304 | -1.894 | -7.745 |
| 2 | -2.221 | -2.376 | -3.241 | -0.827 | -3.875 | 0.136 | -2.592 | -5.766 | -2.809 | -5.437 | -8.042 | 2.515 | -1.711 | -7.105 |
| 1 | -2.512 | -2.084 | -3.554 | -0.500 | -4.201 | 0.484 | -2.905 | -5.444 | -3.126 | -5.108 | -8.528 | 3.102 | -2.025 | -6.782 |
| 0 | -1.908 | -2.066 | -2.950 | -0.482 | -3.598 | 0.503 | -2.302 | -5.425 | -2.523 | -5.089 | -7.940 | 3.143 | -1.422 | -6.763 |

Tegangan ijin

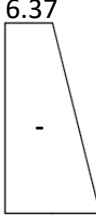
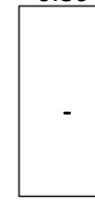
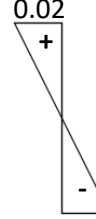
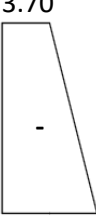
-tekan -25.65 MPa

-tarik 3.77 MPa

Keterangan :

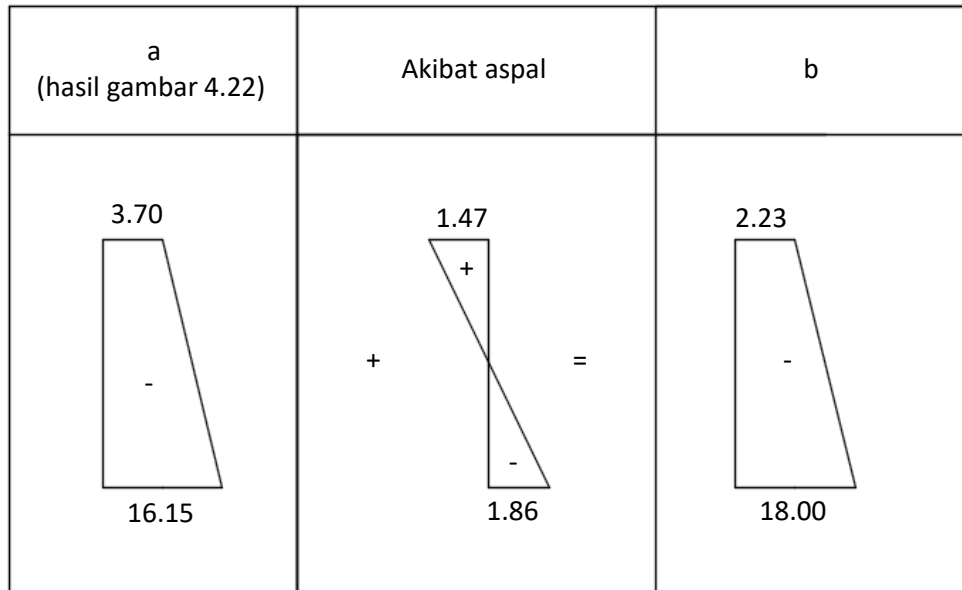
- a) berat sendiri, tendon cantilever,
balok closur dan tendon menerus (1)
- b) a dan beban aspal
- c) b dan beban parapet
- d) c dan tendon menerus (2)
- e) d dan beban air hujan
- f) e dan beban lalu lintas momen (+)
- g) e dan beban lalu lintas momen (-)

Tegangan Pada Titik 12 (Kondisi Balok Closur sudah dipasang)
Kombinasi 1.4D

| Akibat Cantilever (i) | Akibat Tendon m1 (ii) | Akibat Balok Closur (iii) | a (i+ii+iii) |
|--|---|---|---|
|  6.37 - + 14.72 |  0.86 - + 0.86 |  1.83 - + 2.32 |  0.02 + - 0.03 =  3.70 - + 16.15 |

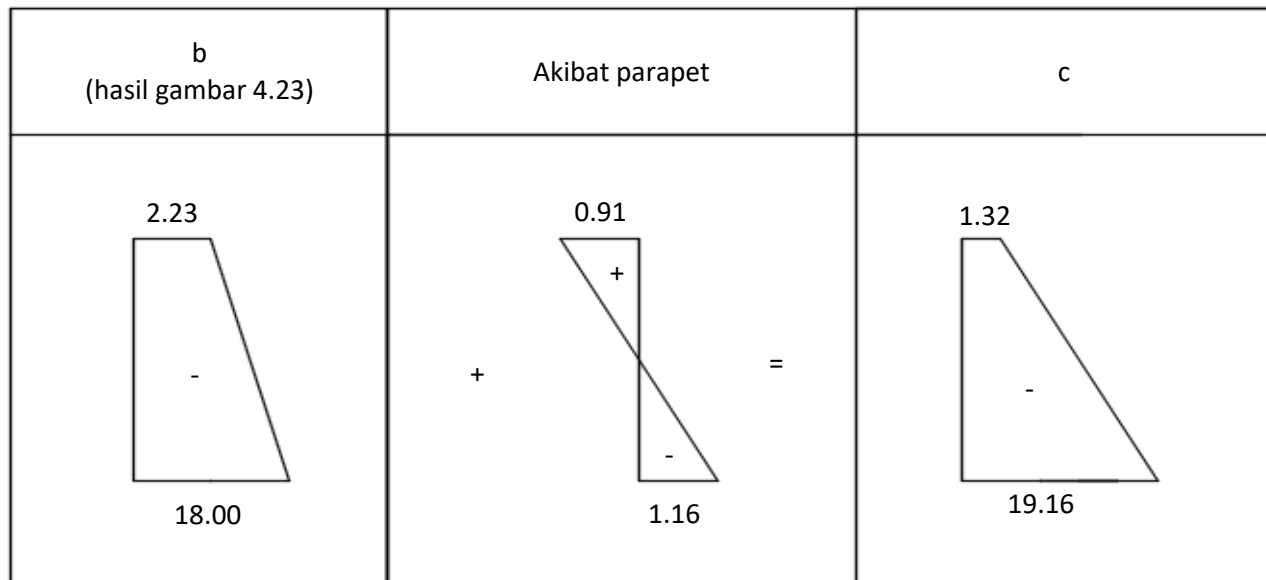
Gambar 4. 22 Diagram tegangan pada saat menjadi struktur penuh pada titik 12

Tegangan Pada Titik 12 (Kondisi beban aspal sudah bekerja)
Kombinasi 1.4D



Gambar 4. 23 Diagaram tegangan pada titik 12 pada saat beban aspal sudah bekerja

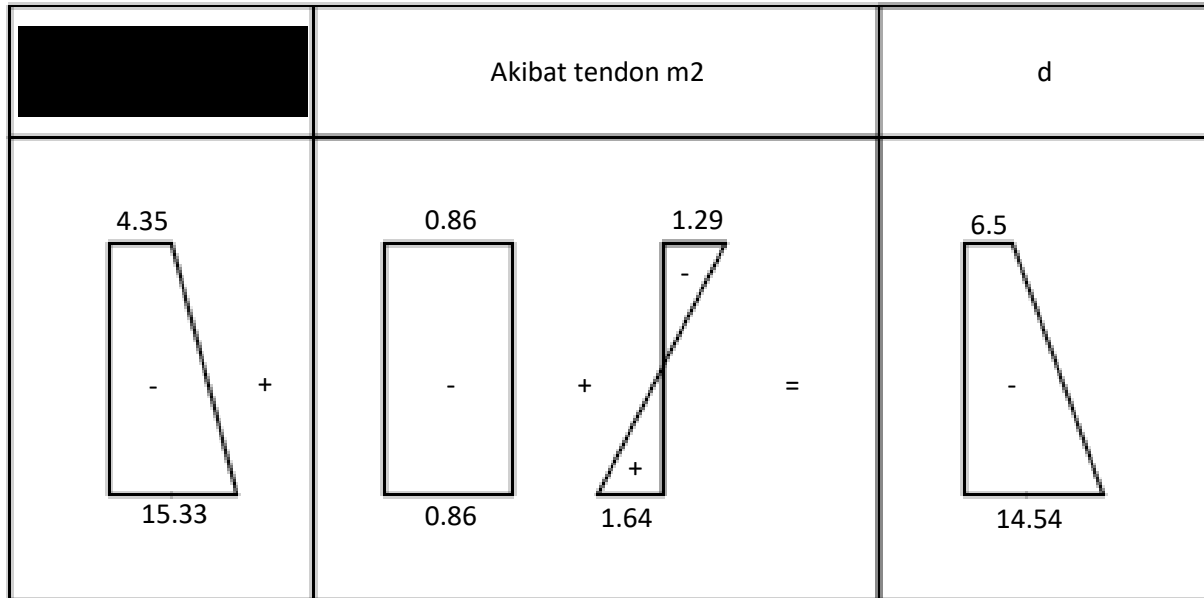
Tegangan Pada Titik 12 (Kondisi beban parapet sudah bekerja)
Kombinasi 1.4D



Gambar 4. 24 Diagaram tegangan pada titik 12 pada saat beban parapet sudah bekerja

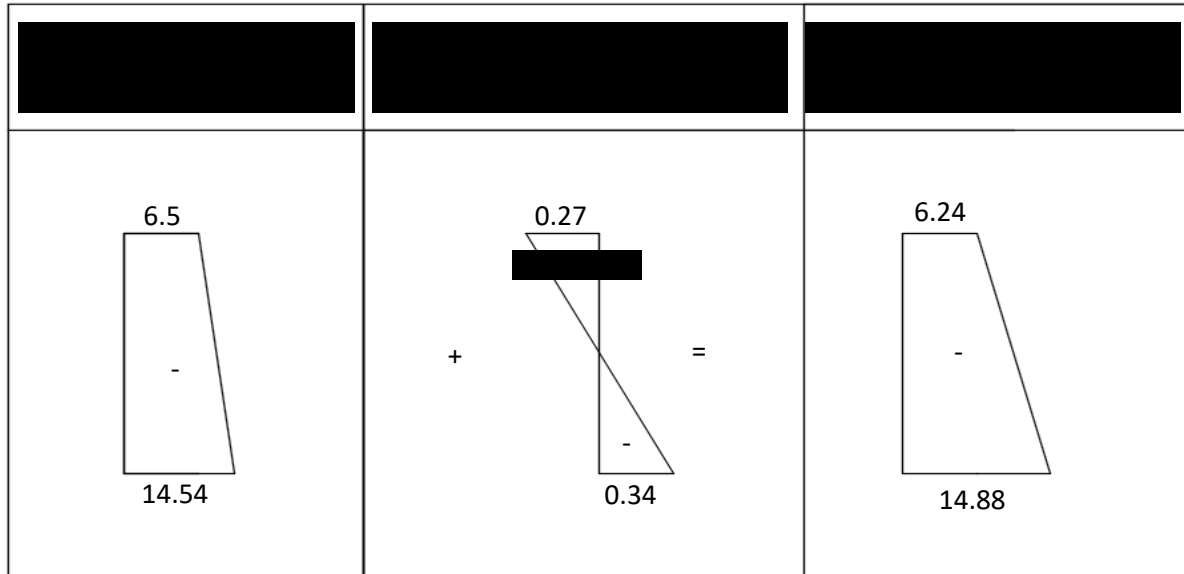
Kombinasi beban 1.2D

Tegangan saat tendon untuk beban lalu lintas dijacking



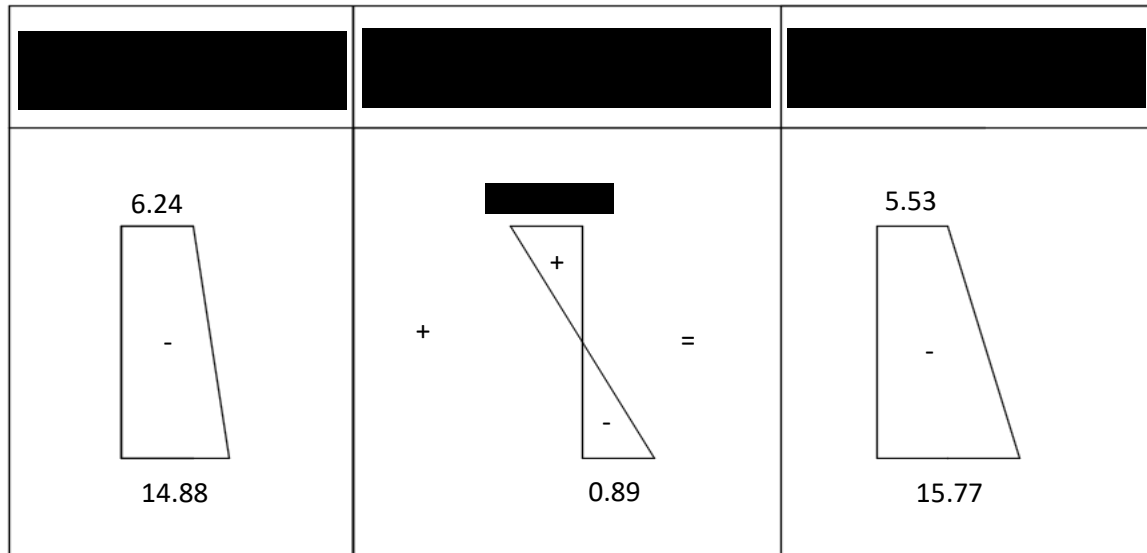
Gambar 4. 25 Diagram tegangan pada titik 12 sebelum beban hidup bekerja (penambahan tendon)

Kombinasi beban $1.2D+1.6L$
Tegangan saat beban air hujan sudah bekerja



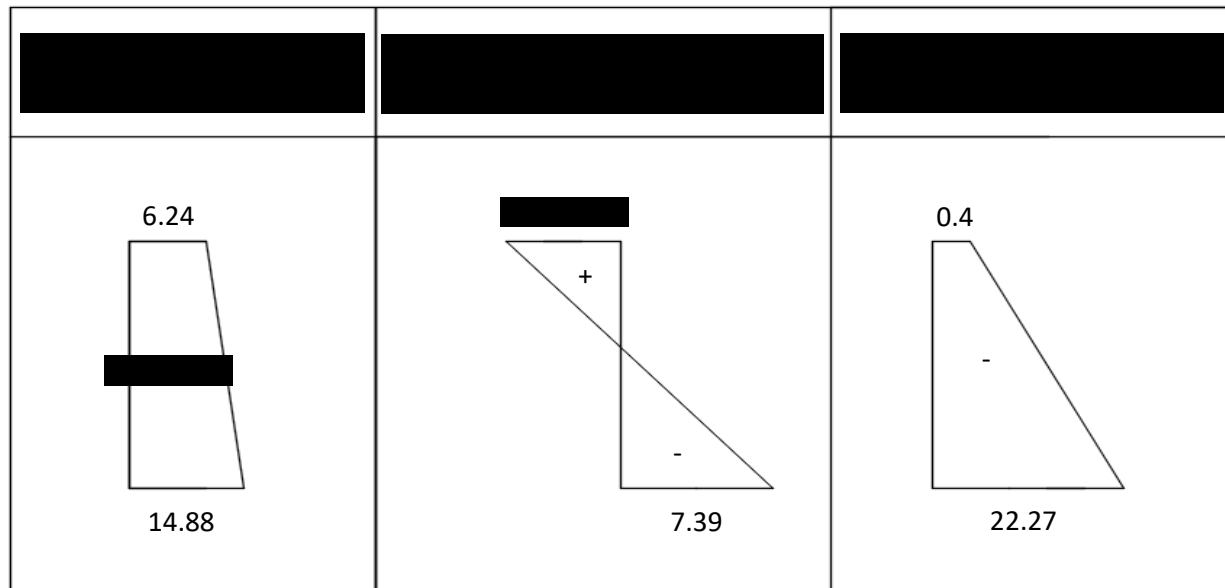
Gambar 4. 26 Diagram tegangan pada titik 12 saat beban air hujan bekerja

Tegangan saat beban lalu lintas (momen envelope +) bekerja



Gambar 4. 27 Tegangan pada titik 12 saat beban lalu sudah bekerja (momen +)

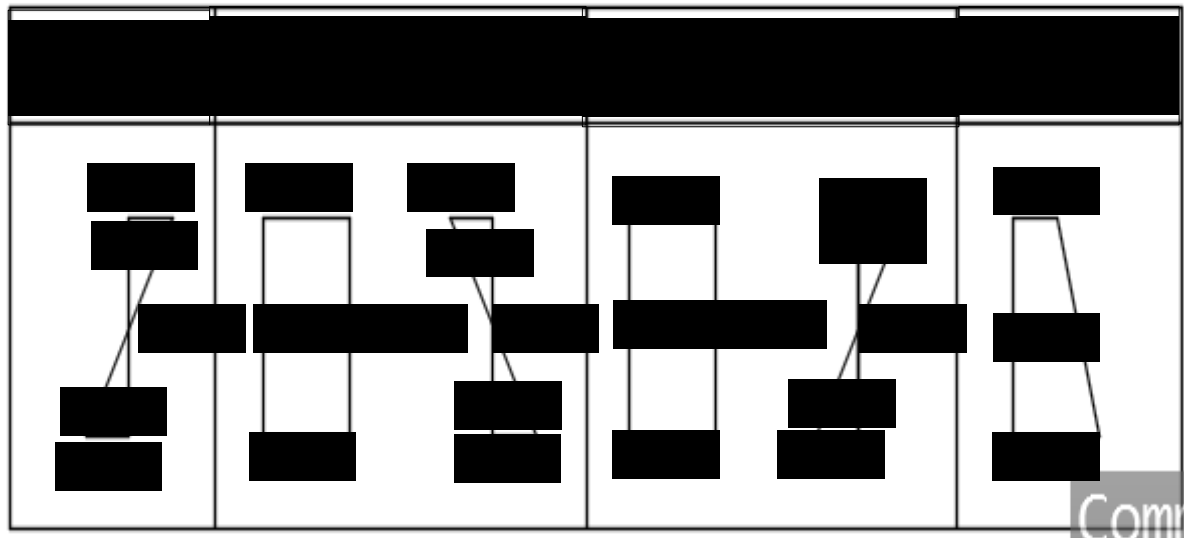
Tegangan saat beban lalu lintas (momen envelope -) bekerja



Gambar 4. 28 Tegangan pada titik 12 saat beban lalu sudah bekerja (momen -)

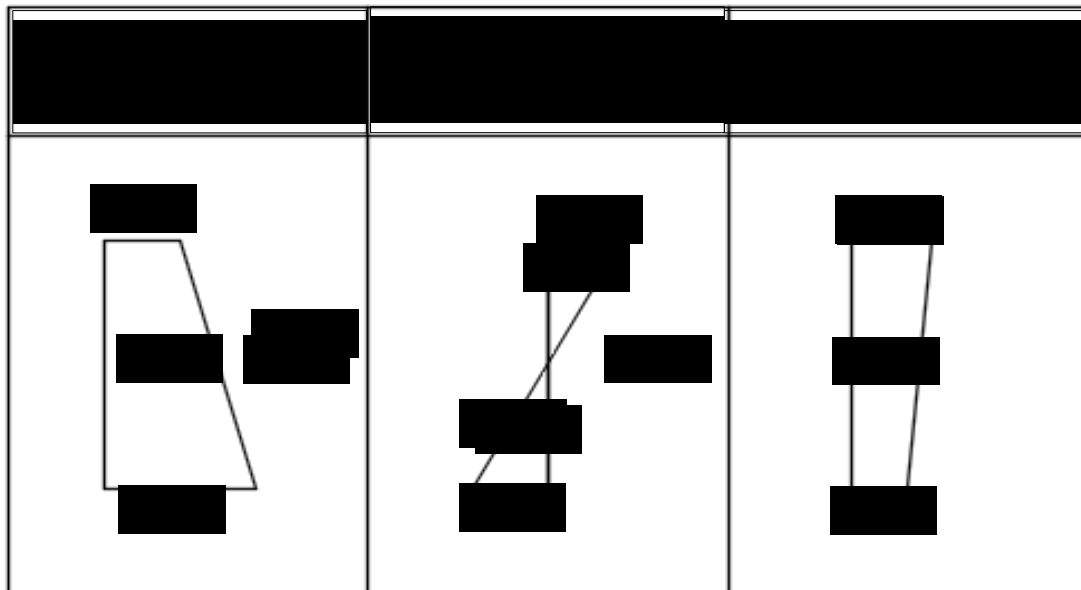
Tegangan pada tengah titik 0

Pada saat sudah menjadi statis tak tentu kombinasi beban 1.4D



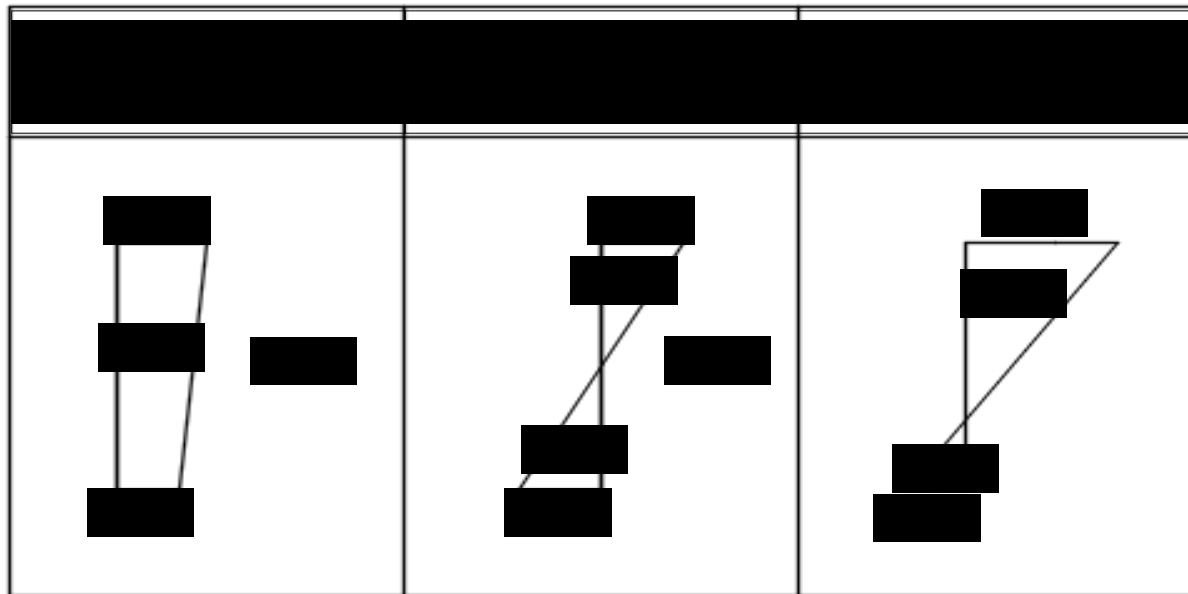
Gambar 4. 29 Tegangan beton pada titik 0 pada saat menjadi struktur statis tak tentu

Tegangan saat beban aspal sudah bekerja



Gambar 4. 30 Tegangan setelah beban aspal

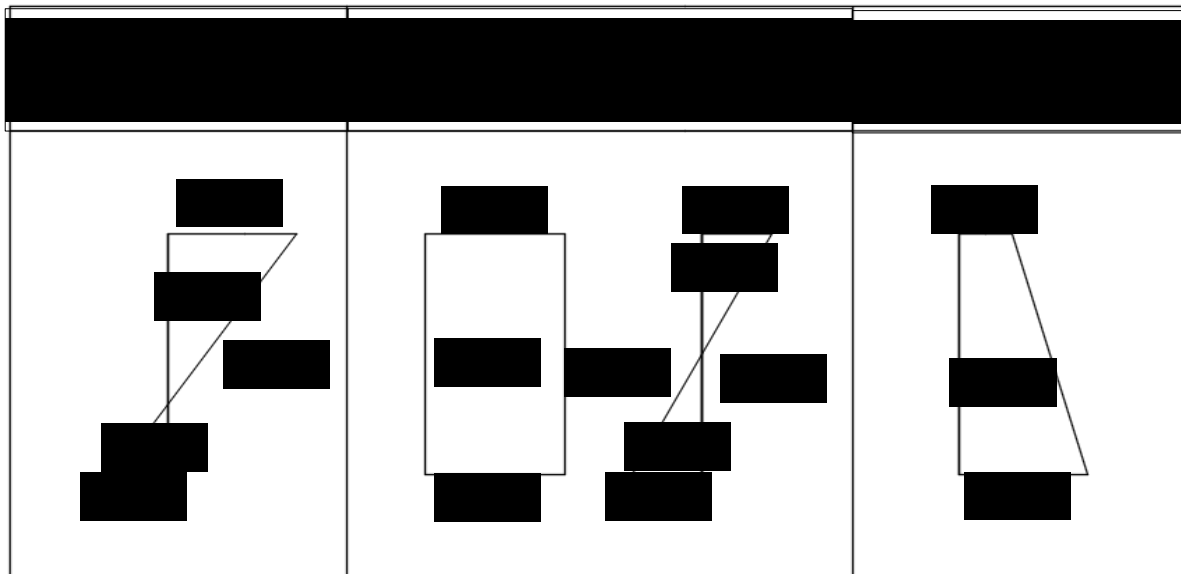
Tegangan saat beban parapet sudah bekerja



Gambar 4. 31 Tegangan setelah beban parapet

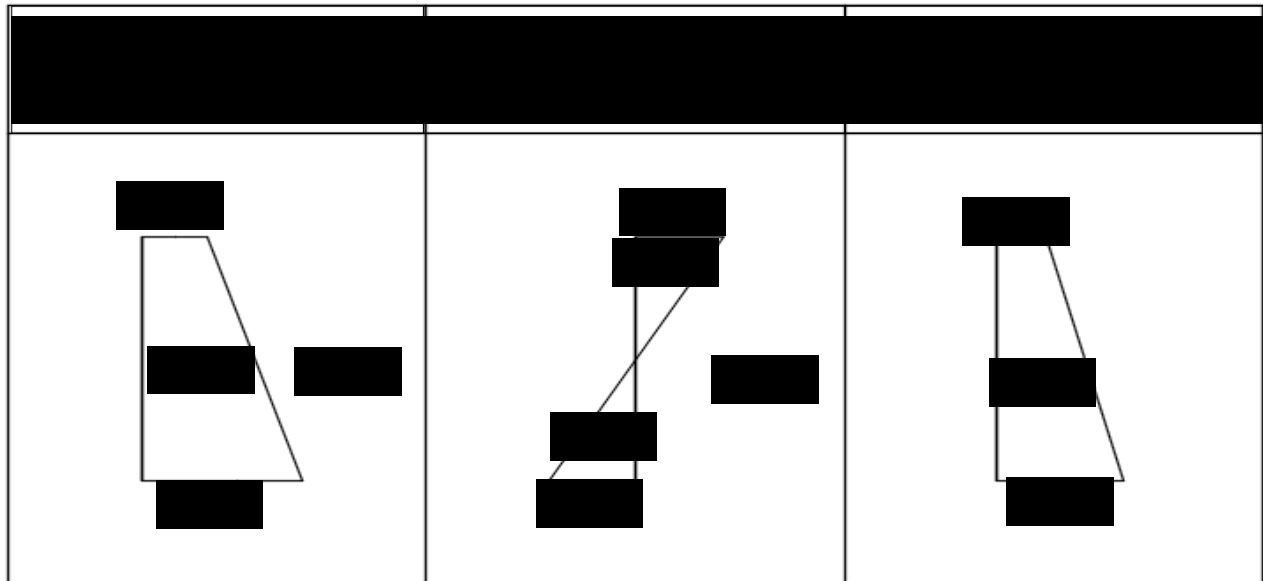
Kombinasi beban $1.2D + 1.6L$

Tegangan saat tendon (m^3) untuk beban hidup sudah bekerja



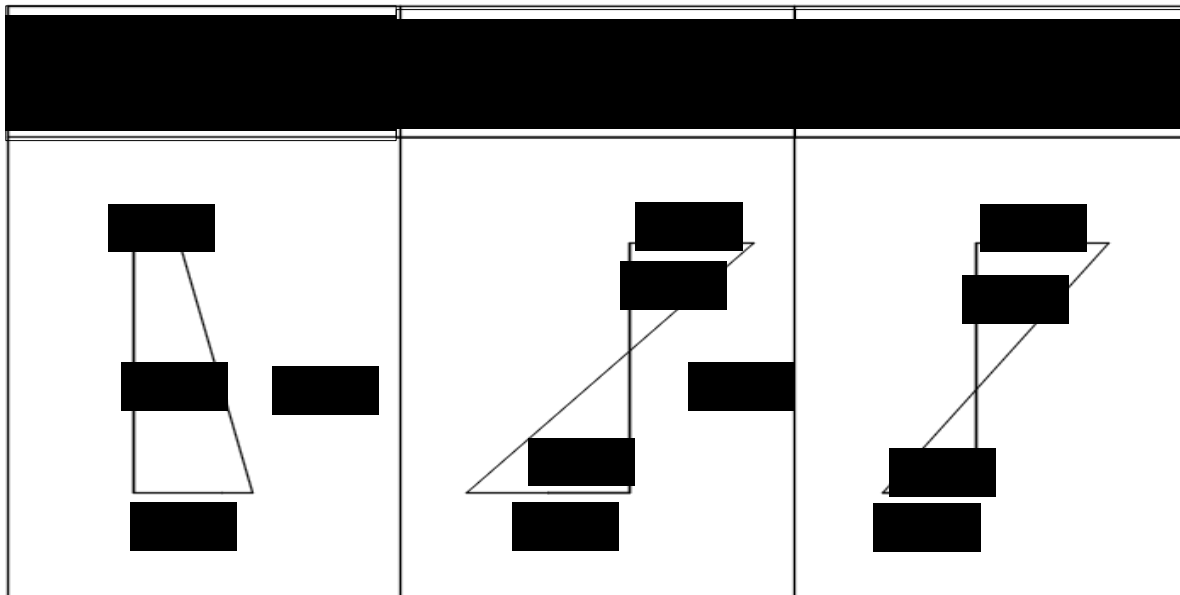
Gambar 4. 32 Tegangan beton setelah tendon m2 (untuk beban hidup)

Tegangan saat beban air hujan sudah bekerja



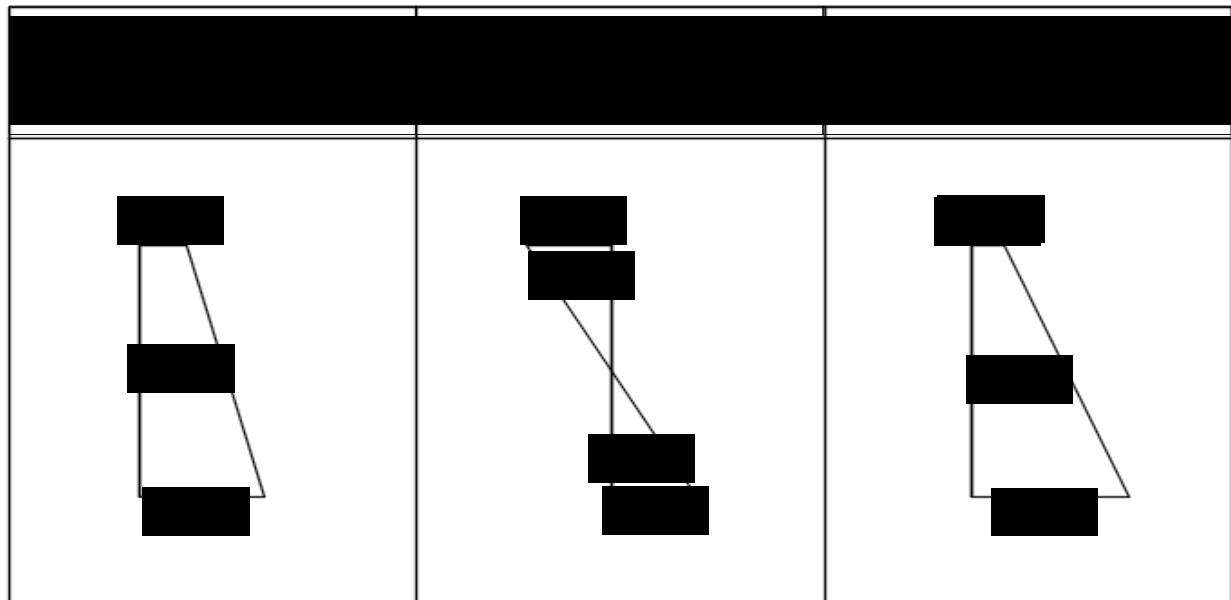
Gambar 4. 33 Tegangan beton setelah beban air hujan

Berikut adalah tegangan pada saat beban lalu lintas sudah bekerja (momen envelope +)



Gambar 4. 34 Tegangan beton setelah beban lalu lintas (m+)

Berikut adalah tegangan pada saat beban lalu lintas sudah bekerja (momen envelope -)

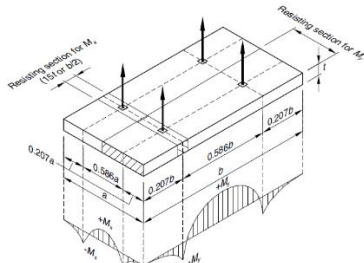


Gambar 4. 35 Tegangan beton setelah beban lalu lintas (m-)

4.5 Tulangan Angkat

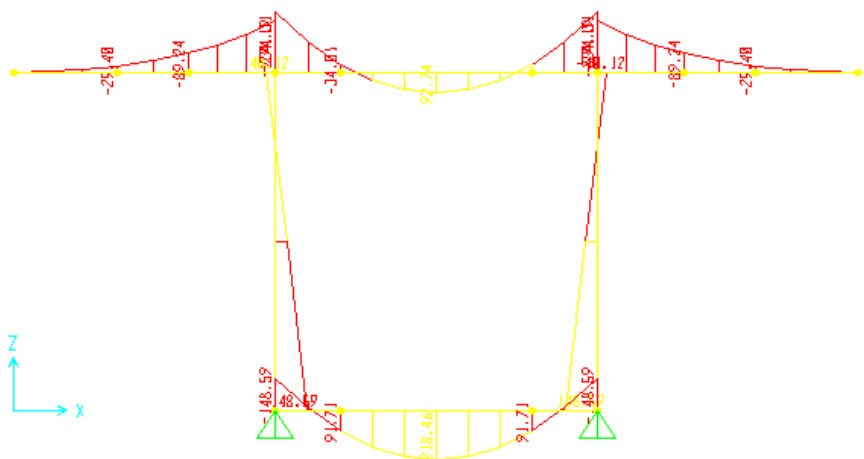
4.5.1 Perhitungan Tulangan Angkat

Dalam pemasangan box precast, box akan mengalami pengangkatan sehingga perlu direncanakan tulangan angkat untuk box. Pengangkatan box akan menggunakan empat titik pengangkatan.

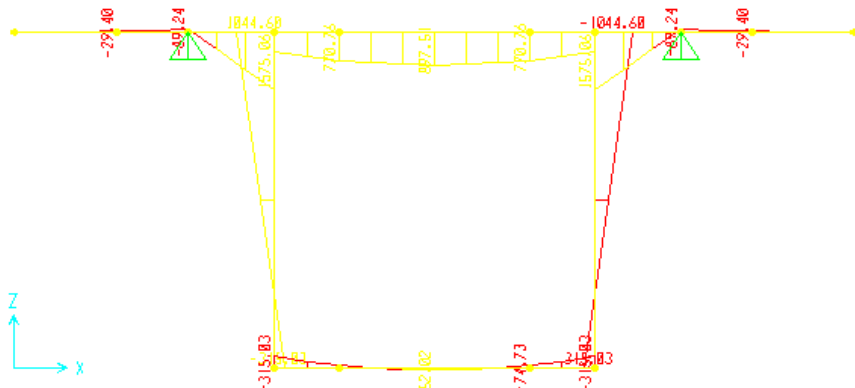


Gambar 4. 36 Posisi Titik Angkat Pelat (4 Buah Titik Angkat)

(Sumber: *PCI Design Handbook 7th Edition Precast and Prestressed Concrete*)



Gambar 4. 37 Momen Sebelum Pengangakatan segmen 1



Gambar 4. 38 Momen Waktu pengangkatan segmen 1

Nilai momen yang momen yang digunakan adalah momen maksimum dari setiap tahapan dan berikut tabel momen dari tahapan

Tabel 4. 12 Tabel Tulangan Melintang

| Pelat | | Momen Sebelum Pengangkatan (kNm) | Momen Saat Pengangkatan (kNm) | Momen yang diambil (kNm) |
|-------|-----|----------------------------------|-------------------------------|--------------------------|
| Atas | Max | 92.74 | 1575.06 | 1575.06 |
| | Min | -274.306 | -89.241 | -274.306 |
| Badan | Max | 40.12 | 1044.6 | 1044.6 |
| | Min | -148.59 | -315.03 | -315.03 |
| Bawah | Max | 218.46 | 52.02 | 218.46 |
| | Min | -148.59 | -315.03 | -315.03 |

Momen-momen yang bekerja:

/ pelat atas max = swywärx kNm

$$\text{EJ} \quad L \frac{5\ddot{\alpha}}{\dot{U}} L \frac{5\ddot{\alpha}}{844} L r \text{áruw}$$

$$I \quad L \frac{\dot{U}}{4\ddot{\alpha}9H\dot{U}} \quad \underline{\underline{\quad}}$$

$$4J \quad L \frac{\ddot{\alpha}}{\%Ox} L \frac{59;9 \ddot{\alpha}; \ddot{\alpha} 54^2}{4\ddot{\alpha}H5444 H<84.89} L 2.4473$$

$$\text{EANHQ} \quad L \frac{5}{a} 1 s F \frac{6\ddot{\alpha}}{\dot{U}} p L \frac{5}{<\ddot{\alpha}9} F s F \frac{6H<\ddot{\alpha}9: H6.88;7}{844} G$$

L r ärxux

ØLANHQ ØLANHQ >S H @

L r árxux H srrr H zvr ävw

L wuvvärw mm²

$$J L \frac{\ddot{\alpha}\ddot{\alpha}}{\%Ox 5= \frac{9789}{6<8}} L \frac{9789 \ddot{\alpha};}{L sz \ddot{\alpha} N s\{ buah}$$

$$5 L \frac{\ddot{\alpha}}{\frac{7\ddot{\alpha}5444}{5=5}} L \frac{7\ddot{\alpha}5444}{5=5} L sxx \ddot{\alpha}y mm N swr mm$$

Maka dipasang tulangan lentur arah D19-150 mm

/ pelat atas min = tyv ärx kNm

$$\text{EJ} \quad L \frac{5\ddot{\alpha}}{\dot{U}} L \frac{5\ddot{\alpha}}{844} L r \text{áruw}$$

$$I \quad L \frac{\dot{U}}{4\ddot{\alpha}9H\dot{U}} \quad \underline{\underline{\quad}}$$

$$4J \quad L \frac{\ddot{\alpha}}{\%Ox} L \frac{5488 \ddot{\alpha} \ddot{\alpha} 54^2}{4\ddot{\alpha}H5444 H<84.89} L 0.43144$$

$$\text{EANHQ} \quad L \frac{5}{a} 1 s F \frac{6\ddot{\alpha}}{\dot{U}} p L \frac{5}{<\ddot{\alpha}9} F s F \frac{6H<\ddot{\alpha}9: H5.887}{844} G$$

L r ärsrz

ØLANHQ ØLANHQ >S H @

L r ársrz H srrr H zvr ävw

L tfs ävw mm²

$$J L \frac{\ddot{\alpha}\ddot{\alpha}}{\%Ox 69} L \frac{6=85 \ddot{\alpha}<}{954} L wáx N x buah$$

$\Sigma L \frac{\Theta}{\alpha?5} L \frac{7\hat{H}444}{: ?5} L \text{ xrr mm N trr mm}$
 Maka dipasang tulangan lentur arah D25-200 mm

/ pelat badan max = srvv \propto kNm

$$\begin{aligned} \text{EJ} & \quad L \frac{5\alpha}{U} L \frac{5\alpha}{844} L r \text{ aruw} \\ I & \quad L \frac{U}{4\alpha 9H} \quad \underline{\underline{\quad}} \\ 4J & \quad L \frac{\alpha E}{\% O} L \frac{5488 \alpha \in 54^2}{4\alpha H5444 H984 89} L 3.973 \\ \text{LANHQ} & \quad L \frac{5}{\alpha} 1s F \frac{6E}{U} p L \frac{5}{<\alpha 9:} Fs F \frac{6H<\alpha 9: H5\alpha 87}{844} G \\ & \quad L r \text{ arsruz} \end{aligned}$$

\oplus LANHQ \ominus LANHQ $> S H @$
 $L r \text{ arsruz} \quad H \text{ srrr} \quad H \text{ wvr} \alpha w$
 $L \text{ wxrz} \alpha t \text{ mm}^2$

$$J L \frac{\alpha E}{\alpha/2 69} L \frac{9:4<\alpha 66}{954} L \text{ sr} \alpha N \text{ ss buah}$$

$$5 L \frac{\Theta}{\alpha?5} L \frac{7\hat{H}444}{55?5} L \text{ urr mm N trr mm}$$

Maka dipasang tulangan lentur arah D25-200 mm

/ pelat badan min = usw \ddot{a} u kNm

$$\begin{aligned} \text{EJ} & \quad L \frac{5\alpha}{U} L \frac{5\alpha}{844} L r \text{ aruw} \\ I & \quad L \frac{U}{4\alpha 9H} \quad \underline{\underline{\quad}} \\ 4J & \quad L \frac{\alpha E}{\% O} L \frac{759 \alpha 7 \in 54^2}{4\alpha H5444 H984 89} L 1.198 \\ \text{LANHQ} & \quad L \frac{5}{\alpha} 1s F \frac{6E}{U} p L \frac{5}{<\alpha 9:} Fs F \frac{6H<\alpha 9: H5\alpha = <}{844} G \\ & \quad L r \text{ aruru} \end{aligned}$$

EOPANHQ L PANHQ H 28 H 2

L r áruw H srrr H wvräw
L sz§ äwz mm²

J L $\frac{^{\textcircled{B} \textcircled{B}}}{\textcircled{1/2} 69}$ L $\frac{5<=5 \varnothing <}{954}$ L uäys N v buah

5 L $\frac{\tilde{\varnothing}}{\textcircled{a?5}}$ L $\frac{7\tilde{U}5444}{\textcircled{8?5}}$ L srrr mm N trr mm

Maka dipasang tulangan lentur arah D25-200 mm

¶ pelat bawah max = tsz ä/x kNm

EJ L $\frac{5\varnothing}{\tilde{U}}$ L $\frac{5\varnothing}{844}$ L r áruw
I L $\frac{\tilde{U}}{4\tilde{a}9H\tilde{U}}$ —

4J L $\frac{\textcircled{E}}{\% \tilde{O}x}$ L $\frac{65<\varnothing: \tilde{e} 54^2}{4\tilde{a}-H5444 H984 \varnothing 9}$ L 0.8309

EANHQ L $\frac{5}{\tilde{a}}$ 1 s F § s F $\frac{6\tilde{\varnothing}}{\tilde{U}}$ p L $\frac{5}{<\tilde{a}9:}$ Fs F § s F $\frac{6H<\tilde{a}9: H4\tilde{a}74=}{844}$ G
L r ärts

ØLANHQ L EANHQ > S H @

L r áruw H srrr H wvräw
L sz§ äwz mm²

J L $\frac{^{\textcircled{B} \textcircled{B}}}{\textcircled{1/2} 5=}$ L $\frac{5<=5 \varnothing <}{6<8}$ L xäxx N y buah

5 L $\frac{\tilde{\varnothing}}{\textcircled{a?5}}$ L $\frac{7\tilde{U}5444}{\textcircled{8?5}}$ L wrr mm N trr mm

Maka dipasang tulangan lentur arah D19-200 mm

¶ pelat bawah min = uswäu kNm

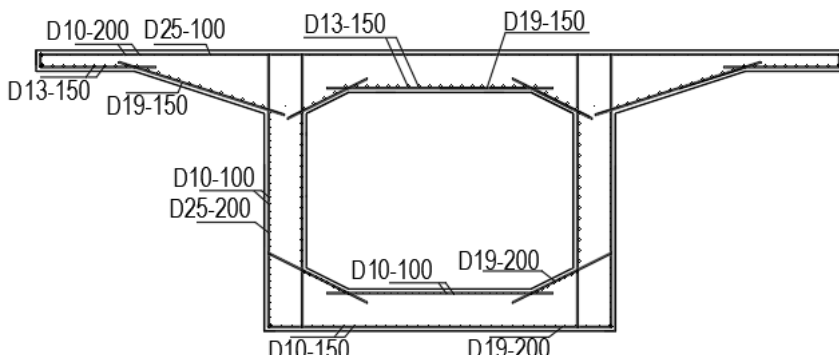
$$\begin{aligned}
 \text{EJ} & L \frac{5\pi}{U} L \frac{5\pi}{844} L r \text{ áruw} \\
 \text{I} & L \frac{U}{4\pi 9 H U} \quad \underline{\quad} \\
 \text{4J} & L \frac{\pi E}{\% \tilde{O}x} L \frac{759 \pi^2 54^2}{4\pi H 5444 H 984 \pi^2} L 0.4955
 \end{aligned}$$

$$\begin{aligned}
 \text{EANHQ} & L \frac{5}{\pi} 1 s F \frac{\pi}{s} F \frac{6\pi}{U} p L \frac{5}{\pi} F s F \frac{\pi}{s} F \frac{6H \times 99: H 48 = 99}{844} G \\
 & L r \text{ ärstw}
 \end{aligned}$$

⊕LANHQ ⊕LANHQ >S H @
 L r áruw H srrr H zvr äw
 L tfs äwz mm²

$$\begin{aligned}
 J L \frac{0.08}{\pi/2 69} L \frac{6=85 \pi^2}{6<8} L s r \text{ äiwx N ss buah} \\
 5 L \frac{0}{\pi/2 5} L \frac{7\pi 5444}{55/5} L u r r \text{ mm N trr mm}
 \end{aligned}$$

Maka dipasang tulangan lentur arah D19-200 mm



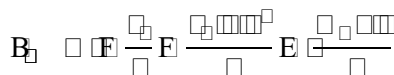
Gambar 4. 39 Tulangan Segmen 1

4.6 Kehilangan gaya prategang

4.6.1 Kehilangan akibat perpendekan elastis beton (ES)

Besarnya nilai kehilangan tegangan akibat gesekan adalah sebagai berikut:

$$'5 \quad L - \phi_a T' \quad a T \frac{B_d}{\sigma}$$



Dimana:

Kes = 1 untuk komponen struktur pratarik

= 0,5 untuk struktur pasca tarik bila kabel-kabel secara berturut-turut
ditarik dengan gaya yang sama

Eci = modulus elastisitas beton saat pengangkuran

Es = Modulus elastisitas baja prategang

fcir = tegangan beton di daerah c.g.s akibat beban tetap (*dead load*)

MG = Momen akibat berat sendiri beton

Titik tinjau untuk tendon cantilever terletak pada tumpuan (joint 12) dan tendon menerus pada tumpuan (joint 12) dan tengah bentang (titik 0)

Tabel 4. 13 Kehilangan gaya Prategang akibat ES tendon 11-1

Tabel 4. 14 Kehilangan gaya Prategang akibat ES tendon 10

Kemudian untuk tendon selanjutnya dilakukan perhitungan yang sama, untuk perhitungan yang mengalami tarik jika melampaui batas ijin tarik maka digunakan tengan ijin tarik maksimum dan jika kurang dari tegangan ijin maka menggunakan nilai yang diperoleh.

Berikut adalah nilai fcir, ES dan persentase kehilangan

Tabel 4. 15 Kehilangan gaya pretegang ES tendon kantilever

| Tendon | Fcir (MPa) | ES (MPa) | Persen (%) |
|--------|---------------|-------------|---------------|
| 11-1 | 9.403 | 27.187 | 1.462 |
| 11-2 | 8.135 | 23.521 | 1.265 |
| 10 | 6.550 | 18.940 | 1.018 |
| 9 | 5.423 | 15.680 | 0.843 |
| 8 | 8.093 | 23.398 | 1.258 |
| 7 | 5.729 | 16.565 | 0.891 |
| 6 | 2.920 | 8.442 | 0.454 |
| 5 | -1.830 | -5.291 | -0.284 |
| 4 | -1.830 | -5.291 | -0.284 |
| 3 | -1.830 | -5.291 | -0.284 |
| 2 | -1.830 | -5.291 | -0.284 |
| 1 | -1.830 | -5.291 | -0.284 |
| t1 | -1.830 | -5.291 | -0.284 |
| t2 | -1.830 | -5.291 | -0.284 |
| t3 | -1.830 | -5.291 | -0.284 |

Kehilangan prategang pada tendon cantilever

Tabel 4. 16 Kehilangan gaya prategang akibat ES tendon m1 pada tumpuan

| Tendon | Pengaruh tendon | F (N) | F digunakan | A (mm ²) | l (mm ⁴) | e (mm) | Mg (N.mm) | Tegangan (MPa) | | |
|--------|-----------------|----------|-------------|----------------------|----------------------|-------------|-----------|----------------|-----------|----------|
| | | | | | | | | -F/A | -F.e.ya/l | Resultan |
| m1 | | | | | 4.11314E+13 | 1850.038429 | 2.726E+11 | 0 | 12.25923 | 12.25923 |
| | m3 | 14339000 | 28678000 | 23420000 | 4.11314E+13 | 1850.038429 | 0 | -1.224509 | -2.38637 | -3.61088 |
| total | | | | | | | | | | |
| | | | | | | | | | | |
| | | | | | | | | | | |
| | | | | | | | | | | |
| | | | | | | | | | | |
| | | | | | | | | | | |
| | | | | | | | | | | |
| | | | | | | | | | | |
| | | | | | | | | | | |
| | | | | | | | | | | |
| | | | | | | | | | | |
| | | | | | | | | | | |
| | | | | | | | | | | |
| | | | | | | | | | | |
| | | | | | | | | | | |
| | | | | | | | | | | |
| | | | | | | | | | | |
| | | | | | | | | | | |
| | | | | | | | | | | |
| | | | | | | | | | | |
| | | | | | | | | | | |
| | | | | | | | | | | |
| | | | | | | | | | | |
| | | | | | | | | | | |
| | | | | | | | | | | |
| | | | | | | | | | | |
| | | | | | | | | | | |
| | | | | | | | | | | |
| | | | | | | | | | | |
| | | | | | | | | | | |
| | | | | | | | | | | |
| | | | | | | | | | | |
| | | | | | | | | | | |
| | | | | | | | | | | |
| | | | | | | | | | | |
| | | | | | | | | | | |
| | | | | | | | | | | |
| | | | | | | | | | | |
| | | | | | | | | | | |
| | | | | | | | | | | |
| | | | | | | | | | | |
| | | | | | | | | | | |
| | | | | | | | | | | |
| | | | | | | | | | | |
| | | | | | | | | | | |
| | | | | | | | | | | |
| | | | | | | | | | | |
| | | | | | | | | | | |
| | | | | | | | | | | |
| | | | | | | | | | | |
| | | | | | | | | | | |
| | | | | | | | | | | |
| | | | | | | | | | | |
| | | | | | | | | | | |
| | | | | | | | | | | |
| | | | | | | | | | | |
| | | | | | | | | | | |
| | | | | | | | | | | |
| | | | | | | | | | | |
| | | | | | | | | | | |
| | | | | | | | | | | |
| | | | | | | | | | | |
| | | | | | | | | | | |
| | | | | | | | | | | |
| | | | | | | | | | | |
| | | | | | | | | | | |
| | | | | | | | | | | |
| | | | | | | | | | | |
| | | | | | | | | | | |
| | | | | | | | | | | |
| | | | | | | | | | | |
| | | | | | | | | | | |
| | | | | | | | | | | |
| | | | | | | | | | | |
| | | | | | | | | | | |
| | | | | | | | | | | |
| | | | | | | | | | | |
| | | | | | | | | | | |
| | | | | | | | | | | |
| | | | | | | | | | | |
| | | | | | | | | | | |
| | | | | | | | | | | |
| | | | | | | | | | | |
| | | | | | | | | | | |
| | | | | | | | | | | |
| | | | | | | | | | | |
| | | | | | | | | | | |
| | | | | | | | | | | |
| | | | | | | | | | | |
| | | | | | | | | | | |
| | | | | | | | | | | |
| | | | | | | | | | | |
| | | | | | | | | | | |
| | | | | | | | | | | |
| | | | | | | | | | | |
| | | | | | | | | | | |
| | | | | | | | | | | |
| | | | | | | | | | | |
| | | | | | | | | | | |
| | | | | | | | | | | |
| | | | | | | | | | | |
| | | | | | | | | | | |
| | | | | | | | | | | |
| | | | | | | | | | | |
| | | | | | | | | | | |
| | | | | | | | | | | |
| | | | | | | | | | | |
| | | | | | | | | | | |
| | | | | | | | | | | |
| | | | | | | | | | | |
| | | | | | | | | | | |
| | | | | | | | | | | |
| | | | | | | | | | | |
| | | | | | | | | | | |
| | | | | | | | | | | |
| | | | | | | | | | | |
| | | | | | | | | | | |
| | | | | | | | | | | |
| | | | | | | | | | | |
| | | | | | | | | | | |
| | | | | | | | | | | |

Tabel 4.17 Kehilangan gaya prategang akibat ES Tengah bentang

Dari tabel di atas terdapat fcir yang melebihi batas ijin sehingga digunakan tegangan ijin tarik 3.77 MPa

Tabel 4. 18 Kehilangan akibat ES tendon menerus

| Tendon | fcir | ES | Persen (%) |
|---------------|--------|---------|------------|
| m1 (joint 12) | -3.770 | -10.624 | -0.571 |
| m1 (titik 0) | 2.302 | 6.489 | 0.349 |
| m2 (titik 0) | 5.416 | 15.264 | 0.821 |

4.6.2 Kehilangan prategang akibat gesekan (woodle effect)

Besar nilai kehilangan tegangan akibat gesekan sebagai berikut :

$$(\epsilon L) \left(\frac{4A}{\pi} \right)^2 > \bar{A}$$

Dimana:

F_2 = tegangan tarik satuan pada jarak L

F_1 = tegangan tarik satuan pada ujung pendongkrakan

K = Koefisien wobble

μ = koefisien kelengkungan

α = sudut kelengkungan 11

L = panjang sampai titik yang ditinjau

Tabel 4. 19 Kehilangan Gaya Akibat Gesekan Tendon Kantilever

| Tendon | K | L | KL | | A | u | uxa | KL+a | e^- (KL+a) | Persen(%) |
|--------|--------|--------|---------|---|----------|------|----------|-----------|---------------|-----------|
| 1 | 2 | 3 | 4 | 5 | 6 | 7 | 8 | 9 | 10 | 11 |
| 11-1 | 0.0007 | 2 | 0.00140 | 0 | 0 | 0.15 | 0 | 0.0014 | 0.9986 | 0.28% |
| 11-2 | 0.0007 | 2 | 0.00140 | 0 | 0 | 0.15 | 0 | 0.0014 | 0.9986 | 0.28% |
| 10 | 0.0007 | 1.669 | 0.00117 | 0 | 0 | 0.15 | 0 | 0.0011683 | 0.998832 | 2.27% |
| | 0.0007 | 1.394 | 0.00098 | 3 | 0.05236 | 0.15 | 0.007854 | 0.0088298 | 0.99117 | |
| | 0.0007 | 2 | 0.00140 | 0 | 0 | 0.15 | 0 | 0.0014 | 0.9986 | |
| 9 | 0.0007 | 3.836 | 0.00269 | 0 | 0 | 0.15 | 0 | 0.0026852 | 0.997315 | 1.92% |
| | 0.0007 | 0.005 | 0.00000 | 1 | 0.017453 | 0.15 | 0.002618 | 0.0026215 | 0.997379 | |
| | 0.0007 | 6.16 | 0.00431 | 0 | 0 | 0.15 | 0 | 0.004312 | 0.995688 | |
| 8 | 0.0007 | 8.023 | 0.00562 | 0 | 0 | 0.15 | 0 | 0.0056161 | 0.994384 | 5.60% |
| | 0.0007 | 0.166 | 0.00012 | 7 | 0.122173 | 0.15 | 0.018326 | 0.0184422 | 0.981558 | |
| | 0.0007 | 5.897 | 0.00413 | 0 | 0 | 0.15 | 0 | 0.0041279 | 0.995872 | |
| 7 | 0.0007 | 7.912 | 0.00554 | 0 | 0 | 0.15 | 0 | 0.0055384 | 0.994462 | 5.62% |
| | 0.0007 | 0.016 | 0.00001 | 6 | 0.10472 | 0.15 | 0.015708 | 0.0157192 | 0.984281 | |
| | 0.0007 | 10.14 | 0.00710 | 0 | 0 | 0.15 | 0 | 0.007098 | 0.992902 | |
| 6 | 0.0007 | 11.922 | 0.00835 | 0 | 0 | 0.15 | 0 | 0.0083454 | 0.991655 | 5.66% |
| | 0.0007 | 0.016 | 0.00001 | 5 | 0.087266 | 0.15 | 0.01309 | 0.0131012 | 0.986899 | |
| | 0.0007 | 10.14 | 0.00710 | 0 | 0 | 0.15 | 0 | 0.007098 | 0.992902 | |

| 1 | 2 | 3 | 4 | 5 | 6 | 7 | 8 | 9 | 10 | 11 |
|----|--------|--------|---------|---|----------|------|----------|-----------|----------|-------|
| 5 | 0.0007 | 15.887 | 0.01112 | 0 | 0 | 0.15 | 0 | 0.0111209 | 0.988879 | 5.17% |
| | 0.0007 | 0.016 | 0.00001 | 3 | 0.05236 | 0.15 | 0.007854 | 0.0078652 | 0.992135 | |
| | 0.0007 | 10.14 | 0.00710 | 0 | 0 | 0.15 | 0 | 0.007098 | 0.992902 | |
| 4 | 0.0007 | 11.764 | 0.00823 | 0 | 0 | 0.15 | 0 | 0.0082348 | 0.991765 | 5.20% |
| | 0.0007 | 0.002 | 0.00000 | 2 | 0.034907 | 0.15 | 0.005236 | 0.0052374 | 0.994763 | |
| | 0.0007 | 18.226 | 0.01276 | 0 | 0 | 0.15 | 0 | 0.0127582 | 0.987242 | |
| 3 | 0.0007 | 34 | 0.02380 | 0 | 0 | 0.15 | 0 | 0.0238 | 0.9762 | 4.76% |
| 2 | 0.0007 | 38 | 0.02660 | 0 | 0 | 0.15 | 0 | 0.0266 | 0.9734 | 5.32% |
| 1 | 0.0007 | 41 | 0.02870 | 0 | 0 | 0.15 | 0 | 0.0287 | 0.9713 | 5.74% |
| t1 | 0.0007 | 12 | 0.00840 | 0 | 0 | 0.15 | 0 | 0.0084 | 0.9916 | 5.62% |
| | 0.0007 | 0.005 | 0.00000 | 6 | 0.10472 | 0.15 | 0.015708 | 0.0157115 | 0.984289 | |
| | 0.0007 | 6.061 | 0.00424 | 0 | 0 | 0.15 | 0 | 0.0042427 | 0.995757 | |
| t2 | 0.0007 | 4.075 | 0.00285 | 0 | 0 | 0.15 | 0 | 0.0028525 | 0.997148 | 4.53% |
| | 0.0007 | 0.007 | 0.00000 | 6 | 0.10472 | 0.15 | 0.015708 | 0.0157129 | 0.984287 | |
| | 0.0007 | 6 | 0.00420 | 0 | 0 | 0.15 | 0 | 0.0042 | 0.9958 | |
| t3 | 0.0007 | 11.82 | 0.00827 | 0 | 0 | 0.15 | 0 | 0.008274 | 0.991726 | 5.11% |
| | 0.0007 | 0.016 | 0.00001 | 4 | 0.069813 | 0.15 | 0.010472 | 0.0104832 | 0.989517 | |
| | 0.0007 | 10.014 | 0.00701 | 0 | 0 | 0.15 | 0 | 0.0070098 | 0.99299 | |

Tabel 4. 20 Akibat Gesekan Tendon Menerus pada tumpuan

| Tendon | K | L | KL | | a | u | uxa | KL+a | e^- (KL+a) | Persen(%) |
|--------|--------|--------|-----------|---|----------|------|----------|-----------|---------------|-----------|
| m1 | 0.0007 | 14 | 0.0098 | 0 | 0 | 0.15 | 0 | 0.0070098 | 0.99299 | 5.87% |
| | 0.0007 | 0.034 | 0.0000238 | 4 | 0.069813 | 0.15 | 0.010472 | 0.0042259 | 0.995774 | |
| | 0.0007 | 6 | 0.0042 | 0 | 0 | 0.15 | 0 | 0.0183309 | 0.981669 | |
| m3 | 0.0007 | 18.004 | 0.0126028 | 0 | 0 | 0.15 | 0 | 0.0126028 | 0.987397 | 4.38% |
| | 0.0007 | 0.011 | 0.0000077 | 2 | 0.034907 | 0.15 | 0.005236 | 0.0052437 | 0.994756 | |
| | 0.0007 | 6 | 0.0042 | 0 | 0 | 0.15 | 0 | 0.0042 | 0.9958 | |

Tabel 4. 21 Akibat Gesekan Tendon Menerus Pada Tengah bentang

| | | | | | | | | | | |
|----|--------|--------|-----------|---|----------|------|----------|-----------|----------|-------|
| m1 | 0.0007 | 13.972 | 0.0097804 | 0 | 0 | 0.15 | 0 | 0.0097804 | 0.99022 | 4.51% |
| | 0.0007 | 0.028 | 0.0000196 | 4 | 0.069813 | 0.15 | 0.010472 | 0.0104916 | 0.989508 | |
| | 0.0007 | 3.5 | 0.00245 | 0 | 0 | 0.15 | 0 | 0.00245 | 0.99755 | |
| m2 | 0.0007 | 1.75 | 0.001225 | 0 | 0 | 0.15 | 0 | 0.001225 | 0.998775 | 0.25% |
| m3 | 0.0007 | 15.229 | 0.0106603 | 0 | 0 | 0.15 | 0 | 0.0106603 | 0.98934 | 3.69% |
| | 0.0007 | 0.02 | 0.000014 | 1 | 0.017453 | 0.15 | 0.002618 | 0.002632 | 0.997368 | |
| | 0.0007 | 7.5 | 0.00525 | 0 | 0 | 0.15 | 0 | 0.00525 | 0.99475 | |

4.6.3 Akibat rangkak

$$\frac{4}{3} \cdot L - N^{\frac{3/4}{3/4}} : B \cdot E \cdot F \cdot B \cdot ;$$

Dimana:

$K_{cr} = 1,6$ untuk struktur pasca tarik

f_{cir} = tegangan beton akibat gaya prategang efektif segera setelah diberi gaya prategang

f_{cds} = tegangan beton pada titik berat tendon akibat seluruh beban mati yang bekerja pada komponen struktur setelah diberi gaya prategang

Tabel 4.22 Kehilangan akibat rangkak tendon kantilever

| Tendon | Momen (Nm) | cgs (mm) | I (mm ⁴) | fcir | fcds | Kcr | Es | Ec | n | CR | loss (%) |
|--------|------------|----------|----------------------|-------|-------|-----|--------|-----------|-------|---------|----------|
| 11-1 | 3.481E+10 | 250 | 4.113E+13 | 9.403 | 0.212 | 1.6 | 200000 | 35484.222 | 5.636 | 82.888 | 4.46% |
| 11-2 | 3.481E+10 | 250 | 4.113E+13 | 8.135 | 0.212 | 1.6 | 200000 | 35484.222 | 5.636 | 71.453 | 3.84% |
| 10 | 3.481E+10 | 430.0384 | 4.113E+13 | 6.550 | 0.364 | 1.6 | 200000 | 35484.222 | 5.636 | 55.791 | 3.00% |
| 9 | 3.481E+10 | 530.0384 | 4.113E+13 | 5.423 | 0.449 | 1.6 | 200000 | 35484.222 | 5.636 | 44.861 | 2.41% |
| 8 | 3.481E+10 | 1850.038 | 4.113E+13 | 8.093 | 1.565 | 1.6 | 200000 | 35484.222 | 5.636 | 58.861 | 3.16% |
| 7 | 3.481E+10 | 1850.038 | 4.113E+13 | 5.729 | 1.565 | 1.6 | 200000 | 35484.222 | 5.636 | 37.549 | 2.02% |
| 6 | 3.481E+10 | 1650.038 | 4.113E+13 | 2.920 | 1.396 | 1.6 | 200000 | 35484.222 | 5.636 | 13.739 | 0.74% |
| 5 | 3.481E+10 | 1850.038 | 4.113E+13 | -1.83 | 1.565 | 1.6 | 200000 | 35484.222 | 5.636 | -21.249 | -1.14% |
| 4 | 3.481E+10 | 1643.038 | 4.113E+13 | -1.83 | 1.390 | 1.6 | 200000 | 35484.222 | 5.636 | -21.249 | -1.14% |
| 3 | 3.481E+10 | 957.0384 | 4.113E+13 | -1.83 | 0.810 | 1.6 | 200000 | 35484.222 | 5.636 | -21.249 | -1.14% |
| 2 | 3.481E+10 | 716.0384 | 4.113E+13 | -1.83 | 0.606 | 1.6 | 200000 | 35484.222 | 5.636 | -21.249 | -1.14% |
| 1 | 3.481E+10 | 1210.038 | 4.113E+13 | 0 | 1.024 | 1.6 | 200000 | 35484.222 | 5.636 | -9.234 | -0.50% |
| t1 | 3.481E+10 | 1643.038 | 4.113E+13 | -1.83 | 1.390 | 1.6 | 200000 | 35484.222 | 5.636 | -21.249 | -1.14% |
| t2 | 3.481E+10 | 1643.038 | 4.113E+13 | -1.83 | 1.390 | 1.6 | 200000 | 35484.222 | 5.636 | -21.249 | -1.14% |
| t3 | 3.481E+10 | 1850.038 | 4.113E+13 | -1.83 | 1.565 | 1.6 | 200000 | 35484.222 | 5.636 | -21.249 | -1.14% |

Tendon Menerus

Tabel 4. 23 Kehilangan akibat rangkak tendon kantilever Joint 12

| Tendon | Momen (Nmm) | cgs (mm) | I (mm ⁴) | fcir | fcds | Kcr | Es | Ec | n | CR | loss (%) |
|--------|----------------|----------|----------------------|-------|-------|-----|--------|-----------|-------|---------|----------|
| m1 | 4.104E+10 | 1850.038 | 4.113E+13 | -3.77 | 1.846 | 1.6 | 200000 | 35484.222 | 5.636 | -21.249 | -1.14% |
| m3 | 4.104E+10 | 1306.038 | 4.113E+13 | 0 | 1.303 | 1.6 | 200000 | 35484.222 | 5.636 | -11.752 | -0.63% |

Tabel 4. 24 Kehilangan akibat rangkak tendon kantilever titik 0

| Tendon | Momen (Nmm) | cgs (mm) | I (mm ⁴) | fcir | fcds | Kcr | Es | Ec | n | CR | loss (%) |
|--------|----------------|----------|----------------------|-------|-------|-----|--------|-----------|-------|---------|----------|
| m1 | 2.642E+10 | 232.559 | 2.481E+13 | 2.303 | 0.248 | 1.6 | 200000 | 35484.222 | 5.636 | 18.531 | 1.00% |
| m2 | 2.642E+10 | 637.441 | 2.481E+13 | 5.416 | 0.679 | 1.6 | 200000 | 35484.222 | 5.636 | 42.723 | 2.30% |
| m3 | 2.642E+10 | 2232.559 | 2.481E+13 | 0 | 2.377 | 1.6 | 200000 | 35484.222 | 5.636 | -21.249 | -1.14% |

4.6.4 Akibat Susut

$$SH = 8,2 \times 10^{-6} \cdot Ksh \cdot Es (1-0,06 v/s)(100-RH)$$

Dimana:

Ksh = koefisien susut

V = volume beton

S = luas selimut yang berhubungan dengan udara

RH = kelembaban udara

Tabel 4. 25 Kehilangan Gaya Prategang Akibat susut

| Joint | Panjang box (m) | H (m) | A (m ²) | V (m ³) | S (m ²) | ES | Ksh | RH | SH | Loss (%) |
|-------|-----------------|-------|---------------------|---------------------|---------------------|--------|-----|----|--------|----------|
| 12 | 4 | 4.6 | 23.42 | 93.68 | 207.888 | 200000 | 0.8 | 75 | 32.713 | 1.76% |
| 11 | 4 | 4.6 | 23.42 | 93.68 | 207.888 | 200000 | 0.8 | 75 | 32.713 | 1.76% |
| 10 | 4 | 4.49 | 16 | 64 | 191.888 | 200000 | 0.8 | 75 | 32.735 | 1.76% |
| 9 | 4 | 4.385 | 13.242 | 52.968 | 183.888 | 200000 | 0.8 | 75 | 32.744 | 1.76% |
| 8 | 4 | 4.3 | 13.14 | 52.56 | 175.888 | 200000 | 0.8 | 75 | 32.742 | 1.76% |
| 7 | 4 | 4.22 | 13.044 | 52.176 | 167.888 | 200000 | 0.8 | 75 | 32.740 | 1.76% |
| 6 | 4 | 4.15 | 12.96 | 51.84 | 159.888 | 200000 | 0.8 | 75 | 32.737 | 1.76% |
| 5 | 4 | 4.1 | 12.9 | 51.6 | 151.888 | 200000 | 0.8 | 75 | 32.734 | 1.76% |
| 4 | 4 | 4.055 | 12.846 | 51.384 | 143.888 | 200000 | 0.8 | 75 | 32.731 | 1.76% |
| 3 | 4 | 4.025 | 12.81 | 51.24 | 135.888 | 200000 | 0.8 | 75 | 32.727 | 1.76% |
| 2 | 4 | 4.01 | 12.792 | 51.168 | 127.888 | 200000 | 0.8 | 75 | 32.723 | 1.76% |
| 1 | 3 | 4 | 12.78 | 38.34 | 89.916 | 200000 | 0.8 | 75 | 32.690 | 1.76% |
| 0 | 0 | 4 | 12.78 | 38.34 | 0 | 200000 | 0.8 | 75 | 32.690 | 1.76% |

4.6.5 Akibat relaksasi

Akibat Relaksasi

$$RE = [Kre - J(SH + CR + ES)].C$$

Dimana:

Kre, J, dan C didapat dari SH, CR, dan ES = kehilangan-kehilangan gaya prategang akibat susut, rangkak, dan perpendekan elastisitas beton

Tabel 4. 26 Kehilangan Gaya Akibat Relaksasi Tendon Kantilever

| Tendon | Kre | J | C | SH | CR | Es | RE | loss (%) |
|--------|-----|------|---|----------|---------|--------|-----------|----------|
| 11-1 | 138 | 0.15 | 1 | 32.71279 | 82.888 | 27.187 | 116.58173 | 6.27% |
| 11-2 | 138 | 0.15 | 1 | 32.71279 | 71.453 | 23.521 | 118.84707 | 6.39% |
| 10 | 138 | 0.15 | 1 | 32.71279 | 55.791 | 18.940 | 121.88354 | 6.55% |
| 9 | 138 | 0.15 | 1 | 32.71279 | 44.861 | 15.680 | 124.01201 | 6.67% |
| 8 | 138 | 0.15 | 1 | 32.71279 | 58.861 | 23.398 | 120.7541 | 6.49% |
| 7 | 138 | 0.15 | 1 | 32.71279 | 37.549 | 16.565 | 124.97603 | 6.72% |
| 6 | 138 | 0.15 | 1 | 32.71279 | 13.739 | 8.442 | 129.76593 | 6.98% |
| 5 | 138 | 0.15 | 1 | 32.71279 | -21.249 | -5.291 | 137.07409 | 7.37% |
| 4 | 138 | 0.15 | 1 | 32.71279 | -21.249 | -5.291 | 137.07409 | 7.37% |
| 3 | 138 | 0.15 | 1 | 32.71279 | -21.249 | -5.291 | 137.07409 | 7.37% |
| 2 | 138 | 0.15 | 1 | 32.71279 | -21.249 | -5.291 | 137.07409 | 7.37% |
| 1 | 138 | 0.15 | 1 | 32.71279 | -9.234 | -5.291 | 135.27184 | 7.27% |
| t1 | 138 | 0.15 | 1 | 32.71279 | -21.249 | -5.291 | 137.07409 | 7.37% |
| t2 | 138 | 0.15 | 1 | 32.71279 | -21.249 | -5.291 | 137.07409 | 7.37% |
| t3 | 138 | 0.15 | 1 | 32.71279 | -21.249 | -5.291 | 137.07409 | 7.37% |

Tabel 4. 27 Kehilangan Gaya Akibat Relaksasi Tendon Kantilever Tendon menerus pada Tumpuan

| Tendon | Kre | J | C | SH | CR | Es | RE | loss (%) |
|--------|-----|------|---|--------|---------|---------|-----------|----------|
| m1 | 138 | 0.15 | 1 | 32.713 | -21.249 | -21.396 | 139.48983 | 7.50% |
| m3 | 138 | 0.15 | 1 | 32.713 | -21.249 | 0.000 | 136.28041 | 7.33% |

Tabel 4. 28 Kehilangan Gaya Akibat Relaksasi Tendon Kantilever Tendon menerus pada Tengah Bentang

| Tendon | Kre | J | C | SH | CR | Es | RE | loss (%) |
|--------|-----|------|---|--------|---------|--------|-----------|----------|
| m1 | 138 | 0.15 | 1 | 32.690 | 18.531 | 13.315 | 128.31969 | 6.90% |
| m2 | 138 | 0.15 | 1 | 32.690 | 42.723 | 31.320 | 121.99003 | 6.56% |
| m3 | 138 | 0.15 | 1 | 32.690 | -21.249 | 0.000 | 136.28384 | 7.33% |

4.6.6 Kehilangan gaya Prategang Total

Kehilangan gaya Prategang Total

$$TL = ES + WE + CR + SH + RE$$

Tabel 4. 29 Kehilangan Gaya prategang total

| Tendon | ES | WE | CR | SH | RE | Total |
|----------------|--------|-------|--------|-------|-------|--------|
| 11-1 | 1.46% | 0.28% | 4.46% | 1.76% | 6.27% | 14.22% |
| 11-2 | 1.26% | 0.28% | 3.84% | 1.76% | 6.39% | 13.53% |
| 10 | 1.02% | 0.54% | 3.00% | 1.76% | 6.55% | 12.87% |
| 9 | 0.84% | 1.06% | 2.41% | 1.76% | 6.67% | 12.74% |
| 8 | 1.26% | 5.60% | 3.16% | 1.76% | 6.49% | 18.27% |
| 7 | 0.89% | 5.62% | 2.02% | 1.76% | 6.72% | 17.01% |
| 6 | 0.45% | 5.66% | 0.74% | 1.76% | 6.98% | 15.59% |
| 5 | -0.28% | 5.17% | -1.14% | 1.76% | 7.37% | 12.88% |
| 4 | -0.28% | 5.20% | -1.14% | 1.76% | 7.37% | 12.91% |
| 3 | -0.28% | 4.76% | -1.14% | 1.76% | 7.37% | 12.46% |
| 2 | -0.28% | 5.38% | -1.14% | 1.76% | 7.37% | 13.08% |
| 1 | 0.00% | 5.74% | -0.50% | 1.76% | 7.27% | 14.27% |
| t1 | -0.28% | 5.62% | -1.14% | 1.76% | 7.37% | 13.32% |
| t2 | -0.28% | 4.53% | -1.14% | 0.00% | 7.37% | 10.47% |
| t3 | -0.28% | 5.11% | -1.14% | 0.00% | 7.37% | 11.05% |
| Tumpuan | | | | | | |
| m1 | -0.57% | 4.86% | -1.14% | 1.76% | 7.50% | 12.41% |
| m3 | 0.35% | 4.38% | -0.63% | 1.76% | 7.33% | 13.18% |
| Tengah Bentang | | | | | | |
| m1 | 0.35% | 4.51% | 1.00% | 1.76% | 6.90% | 14.52% |
| m2 | 0.82% | 0.25% | 2.30% | 1.76% | 6.56% | 11.68% |
| m3 | 0.00% | 3.69% | -1.14% | 1.76% | 7.33% | 11.63% |

4.7 Perencanaan Tulangan Geser

Tabel 4. 30 Gaya geser yang bekerja

| Joint | Vu max (N) |
|-------|-------------|
| 0a | 5838283.1 |
| 1a | 3651832.9 |
| 2a | 2011967.3 |
| 3a | -5949585.9 |
| 4a | -8378324.9 |
| 5a | -9671272.2 |
| 6a | -11757481.8 |
| 7a | -15149769.5 |
| 8a | -19457929.4 |
| 9a | -24166308.1 |
| 10a | -28941960.7 |
| 11 | -34264157.5 |
| 12 | -37371263.9 |
| 11 | 22711474.8 |
| 10 | 18013347.1 |
| 9 | 15365782.4 |
| 8 | 12787531.6 |
| 7 | 10611307.6 |
| 6 | -12789093.0 |
| 5 | -12260796.2 |
| 4 | -11665864.1 |
| 3 | -11052433.4 |
| 2 | -10436762.6 |
| 1 | -9973901.6 |
| 0 | -9961247.3 |

Kekuatan geser batas nominal V_n tidak boleh diambil lebih besar dari jumlah kekuatan geser yang disumbangkan oleh beton dan tulangan geser:

$$8s = \text{Beton} + \text{Tulangan}$$

Retak akibat geser pada balok prategang secara umum dibedakan menjadi 2, yaitu:

4.7.1 Retak geser pada bagian badan V_{cw}

$$8s = 8P + 8L \quad (\text{persamaan 6.8-14 SNI T-12-2004})$$

Kontrol pada joint 12

Menggunakan tendon 11-1 dan 11-2

$$F_{eff} = 34576669 \text{ N}$$

$$L = 2 \text{ m}$$

$$F = 0 \text{ m}$$

$$A_c = 23.42 \text{ m}^2$$

$$d = 4,42 \text{ m}$$

$$bw = 5 \text{ m}$$

$$\tan \alpha = 0$$

$$fpc = \frac{\sigma_b}{\sigma_i} L = \frac{58596;7.5}{tuvtmm} = 6.043013$$

$$S_1 = \frac{\sigma_b}{\sigma_i} E = \frac{58596;7.5}{tuvtmm} E$$

$$= r \cdot k^{3/4} w_y E \cdot x_{av} \cdot T_{wrrr} \cdot T_{vvtr}$$

$$= 183605986 \text{ N}$$

$$V_{p \text{ tot}} = F_i \tan \alpha$$

$$= 9718709.041 \text{ N}$$

$$8s = 8P + 8L$$

$$= 183605986 + 9718709.041$$

$$= 193324695 \text{ N}$$

4.7.2 Retak geser terlentur Vci

$$8\ddot{\sigma} = 1 \frac{\sqrt{U_{\text{f}}}}{64} T >_e T @ p E 8 \times E \frac{I_{\text{O}} \times E_{\text{Y}}}{A_{\text{O}} I} R \frac{\sqrt{U_{\text{f}}}}{64} T >_e T @$$

$$\text{Mcr} = \frac{\dot{A}}{1} 1 \frac{\sqrt{U_{\text{f}}}}{64} E B_{\text{d}} F B_{\text{x}} p$$

Ditinjau pada joint 12, dimana

$$V_d = 16469290 \text{ N}$$

$$V_l = 8129460 \text{ N}$$

$$V_u = 37371264 \text{ N}$$

$$M_u = 1.025 \times 10^{11} \text{ Nmm}$$

$$I_x = 4.113 \times 10^{13} \text{ mm}^4$$

$$Y_a = 2030.038 \text{ mm}$$

$$\text{fpe total} = \frac{\dot{A}_{\text{N}} : \dot{G}}{\dot{A}} E \frac{\dot{A}_{\text{N}} : \dot{G} \ddot{\sigma} \ddot{\theta} \ddot{\epsilon} \ddot{\lambda}}{\dot{A}}$$

Tendon 11-1

$$\text{fpe}_{(11-1)} = \frac{555:6=66}{\text{tuvtrrr}} E \frac{555:6=66 \ddot{\sigma} 694 \ddot{\epsilon} 6474 \ddot{\alpha} 7<}{8\ddot{\delta}57 \ddot{\nu} 5457 \ddot{\gamma} /} = 1.024587 \text{ MPa}$$

$$\text{fpe total} = 11.8804 \text{ MPa}$$

$$f_d = \frac{A_{\text{O}}}{D_{\text{I}}} = 5.839038 \text{ MPa}$$

$$\text{Mcr} = \frac{8\ddot{\delta}57 \ddot{\nu} 5457}{6474 \ddot{\alpha} 7<} \frac{\ddot{\beta}49;}{64} E \text{ ss } \ddot{\alpha} z F \text{ wäzu A}$$

$$\text{Mcr} = 1.54218E+11$$

$$\ddot{\sigma}_{\text{B}} = \frac{\ddot{\beta}49;}{64} T \text{ wrirr } T \text{ vvtr AE sxvxxt } E \frac{<56=8:4 \ddot{\sigma} 5\ddot{\theta}8 \ddot{\nu} 54 \ddot{\gamma} -}{5\ddot{\alpha}69 \ddot{\nu} 54 \ddot{\gamma} -} R$$

$$= \frac{\ddot{\beta}49;}{64} T \text{ wrirr } T \text{ vvtr}$$

$$= 44905695 \text{ N} > 7087111 \text{ N}$$

$$\ddot{\sigma}_{\text{B}} = 44905695 \text{ N}$$

Vc diambil nilai terkecil antara Vci dan Vcw pada perhitungan ini yang terkecil adalah Vci sehingga Vc senilai 44905695 N

4.7.3 Perhitungan Tulangan Geser

$$\begin{aligned}
 V_u &= 3034406.9 \text{ N} \\
 V_n &= \frac{\bar{I}_a}{\bar{I}} = \frac{747884}{4\bar{a}} \\
 &= 53387520 \text{ N} \\
 V_s &= V_n - V_c \\
 &= 8481825 \text{ N} \\
 V_s &= \frac{5}{7} T \sqrt{B''} \quad T >_e T @ \\
 &= 55617114 \text{ N} > 8481825 \text{ N} \\
 s_{\max} &= 600 \text{ mm} \\
 A_v &= 4 \text{ kaki} \hat{=} 25 \\
 A_v &= 4 \times \frac{8}{8} T \hat{=}^6 = 2025.802 \text{ mm}^2 \\
 S &= \frac{^o_a \times U_a \times}{I_p} \\
 &= \frac{6469 \times 46 \times 844 \times 8864}{<8<5<69} \\
 &= 422.26 \text{ mm}
 \end{aligned}$$

Direncanakan tulangan geser 4D25-200 mm

Tabel 4. 31 Penulangan Gaya Geser

4.8 Kontrol Kekuatan dan Stabilitas Struktur

Kontrol pada tumpuan

$$Mu = 8.614 \times sr^{55} Nmm$$

$$Aps = jumlah strand pada box girder \times Astrand$$

$$= 1226 \times 140 mm^2$$

$$= 171640 mm^2$$

$$bw = 5000 mm$$

$$b = 11500 mm$$

$$hf = 300 mm$$

$$dp = H-d'$$

$$= 4600-380$$

$$= 4420 mm$$

$$Q_a = \frac{\bar{a}}{\bar{U}} = \frac{5;5:84}{9444 \text{ è } 8894} = 0.0077$$

$$\hat{a} = \hat{a} \quad Fs \quad F \frac{\hat{U}_e}{\hat{U}_s} : O \frac{\hat{U}}{\hat{U}_o}; G$$

$$= szxr @ F \frac{r \ddot{a}v}{r \ddot{a}uv} : r \ddot{a}ryy T \frac{5<:4}{9}; A$$

$$= 1545.129 MPa$$

$$6 = \%$$

$$6 = \# LO \times BLO = 171640 \times 1545.129 = tzryzrf \quad \ddot{a} 0$$

$$\ddot{a} = 0.85 \times B' \times > \times =$$

$$= \frac{1}{4 \ddot{a}9 \text{ è } \ddot{U} \ddot{O} \ddot{e} \ddot{U}} = \frac{tzryzrf}{4 \ddot{a}9 \text{ è } 9; \text{ è } 9444} \ddot{a}$$

$$= 1134.563835 mm$$

$$Mn = 6: I @ F \frac{\ddot{a}}{t}; = tzryzrf \quad \ddot{a} T : vttr \quad F \frac{5578 \ddot{a}:7<79}{t};$$

$$Mn = 1.078 \ddot{a} sr^{56} Nmm$$

$$\ddot{a} / J = 0.8Mn = 8.627 \ddot{a} sr^{55} > Mu = 1.2 D + 1.6 L = 8.614 \times sr^{55}$$

Dengan cara yang sama menghitung pada saat pelaksanaan

$$Mu = 3.82 \times sr^{55} Nmm$$

$$Aps = jumlah strand pada box girder \times Astrand$$

$$= 968 \times 140 mm^2$$

$$= 135520 mm^2$$

$$Mn = 9.46 \times sr^{55}$$

$$\text{Momen Retak} = 0.8M_n = 7.57 \text{ } \times \text{ sr}^{55} \text{ Nmm} > M_u = 3.82 \times \text{ sr}^{55} \text{ Nmm}$$

Pada saat beban lalu lintas belum bekerja

$$M_u = 4.303 \times \text{ sr}^{55} \text{ Nmm}$$

$$A_{ps} = \text{jumlah strand pada box girder} \times \text{Astrand}$$

$$= 1078 \times 140 \text{ mm}^2$$

$$= 150920 \text{ mm}^2$$

$$M_n = 1.014 \times \text{ sr}^{56} \text{ Nmm}$$

$$i / J = 0.8M_n = 8.12 \times \text{ sr}^{55} \text{ Nmm} > M_u = 1.4D = 4.303 \times \text{ sr}^{55} \text{ Nmm}$$

Tengah Bentang

$$M_u = 1.418 \times \text{ sr}^{55} \text{ Nmm} (1.2D + 1.6L)$$

$$A_{ps} = \text{jumlah strand pada box girder} \times \text{Astrand}$$

$$= 248 \times 140 \text{ mm}^2$$

$$= 34720 \text{ mm}^2$$

$$M_n = 2.295 \times \text{ sr}^{55} \text{ Nmm}$$

$$i / J = 0.8M_n = 1.836 \times \text{ sr}^{55} \text{ Nmm} > M_u = 1.418 \times \text{ sr}^{55}$$

4.9 Momen Retak

$$M_{cr} = F.e \cdot \frac{F.Wb}{A} - fr.Wb = F(e - kt) - fr.Wb$$

sehingga

$$/ 5 = F(e+kt) \text{ dan}$$

$$/ 6 = fr.W$$

Tabel 4. 32 Momen Crack Tumpuan pada joint 12

| Tendon | Feef | e | Kb | e+Kb | M1 | fr | Wt | M2 |
|--------|------------|----------|---------|----------|-------------------|-------------|-------------|-------------|
| 12 | 0 | 0.000 | 865.131 | 865.1311 | 865.1310827 | 5.284884105 | 20261369958 | 1.07079E+11 |
| 11 | 34576669.4 | 250.000 | 865.131 | 1115.131 | 34577784.52 | | | |
| 10 | 13581806.1 | 430.038 | 865.131 | 1295.17 | 13583101.28 | | | |
| 9 | 11745024.7 | 530.038 | 865.131 | 1395.17 | 11746419.84 | | | |
| 8 | 11162922.3 | 1850.038 | 865.131 | 2715.17 | 11165637.51 | | | |
| 7 | 11221840.9 | 1850.038 | 865.131 | 2715.17 | 11224556.06 | | | |
| 6 | 9356051.48 | 1650.038 | 865.131 | 2515.17 | 9358566.647 | | | |
| 5 | 8466319.15 | 1850.038 | 865.131 | 2715.17 | 8469034.316 | | | |
| 4 | 4388553.12 | 1643.038 | 865.131 | 2508.17 | 4391061.289 | | | |
| 3 | 4095768.9 | 957.038 | 865.131 | 1822.17 | 4097591.069 | | | |
| 2 | 3753188.54 | 716.038 | 865.131 | 1581.17 | 3754769.711 | | | |
| 1 | 4049271.82 | 1210.038 | 865.131 | 2075.17 | 4051346.989 | | | |
| t1 | 17155906 | 1643.038 | 865.131 | 2508.17 | 17158414.21 | | | |
| t2 | 17375831 | 1643.038 | 865.131 | 2508.17 | 17378339.21 | | | |
| t3 | 17502780 | 1850.038 | 865.131 | 2715.17 | 17505495.2 | | | |
| m1 | 12530524.3 | 1850.038 | 865.131 | 2715.17 | 12533239.47 | | | |
| m2 | 12599419.8 | 1730.038 | 865.131 | 2595.17 | 12602014.98 | | | |
| M1 | | | | | = 193598237.4 Nmm | | | |
| M1+M2 | | | | | = 1.07273E+11 Nmm | | | |

$$Mcr = 1.2 (M1+M2) = 1.287 \times 10^{11} < 0.7Mn = 6.470 \times 10^{11} \text{ Nmm}$$

Tabel 4. 33 Momen Crack Tumpuan Tengah Bentang

| Tendon | Feef | e | K | e+K | M1 | fr | Wb | M2 |
|------------------------------|------------|----------|------|---------|-------------|--------|----------------|-------------|
| m1 | 12530524.3 | 232.5587 | 0.80 | 233.36 | 12530757.67 | 5.2849 | 10285235538.80 | 54356277812 |
| m2 | 3190008.15 | 637.4413 | 1.22 | 638.66 | 3190646.82 | | | |
| m3 | 12599419.8 | 2232.556 | 0.80 | 2233.36 | 12601653.17 | | | |
| M1 = 28323057.65 Nmm | | | | | | | | |
| M1 + M2 = 54384600869.64 Nmm | | | | | | | | |

$$M_{cr} = 1.2(M_1 + M_2) = 6.53 \times 10^{10} < 0.7M_n = 1.377 \times 10^{11} \text{ Nmm}$$

4.10 Kontrol Torsi

4.10.1 Penyebab beban torsi

Berikut adalah penyebab terjadinya torsi :

- Akibat beban BTR

$$\begin{aligned}
 q &= \{ T @ \text{awE} \frac{59}{A} A \\
 q &= \{ T : r \text{ awE} \frac{59}{<7}; = 6.127 G0 I^6 \\
 M_{BTR} &= \frac{5}{6} T 7\& T.A >= NF = HQNT \frac{<7}{6} \\
 &= \frac{5}{6} T x \text{atty} T u \ddot{a} \{^6 T \frac{z}{6} \\
 &= 1549.282672 \text{ kNm}
 \end{aligned}$$

- Akibat beban garis

$$\begin{aligned}
 P_{BGT} &= 49 x (1+FBD) = 49x(1+0.3) = 63.7 \text{ kN/m} \\
 M_{BGT} &= \frac{5}{6} T x u \ddot{a} T u \ddot{a} \{^6 = 388.159 \text{ kNm}
 \end{aligned}$$

- Akibat beban angin pada truk

$$\begin{aligned}
 T_{ew-2} &= 0.0012 x C_w x V_w^2 \\
 \text{dimana } C_w &= 1.2 \\
 V_w &= 30 \text{ m/s} \\
 T_{ew-2} &= 0.0012 x 1.2 x 30^2 \\
 T_{ew-2} &= 1.296 \text{ kN/m} \\
 P &= T_{ew-2} x 9, \text{ panjang truck} = 9 \text{ m} \\
 P &= 11.664 \text{ kN} \\
 MT_{ew-2} &= PT_{ew-2} x (2+y_a) \\
 &= 11.664 x (2+1.59) \\
 &= 41.84 \text{ kN.m}
 \end{aligned}$$

Beban angin yang bekerja pada sisi samping box girder sebesar T_{ew} . Adapun perhitungannya sebagai berikut :

$$\begin{aligned}
 a.b &= \text{luas bagian samping yang terkena angin} \\
 &= 4.6 x 9 = 41.5 \text{ m}^2 \\
 T_{ew-1} &= 0.0006 x C_w x V_w^2 x a.b \\
 &= 0.0006 x 1.34 x 30^2 x 41.5 \\
 &= 29.901 \text{ N}
 \end{aligned}$$

$$\begin{aligned}
 M T_{ew-1} &= T_{ew} \times \left(y_b - \frac{5}{6} \right) * > KT \\
 &= 29.901 \times \left(2.41 - \frac{5}{6} v \right) \\
 &= 12.336 \text{ kN.m}
 \end{aligned}$$

Jadi Mtotal yang menimbulkan torsi :

$$\begin{aligned}
 Tu &= 1.8 (M_{BTR} + M_{BGT}) + 1.3(M T_{ew-1} + M T_{ew-2}) \\
 Tu &= 1.8 (1549.283 + 388.159) + 1.3 (12.336 + 41.84) \\
 &= 3557.828027 \text{ kN.m} = 3557828027 \text{ Nmm}
 \end{aligned}$$

4.10.2 Perhitungan torsi ijin

a. Perhitungan konstanta torsi

- Pelat atas

$$\beta_A = \frac{4\sqrt{9}}{B^4 A^9} > \frac{E}{E_c}$$

dimana :

x_1 = tebal pelat atas 400 mm

y_1 = lebar pelat atas 11500 mm

maka $\beta_A = 0.451$

x_1 = tebal pelat badan 600 mm

y_1 = lebar pelat badan 4000 mm

maka $\beta_A = 0.389$

x_1 = tebal pelat bawah 600 mm

y_1 = lebar pelat bawah 5000 mm

maka $\beta_A = 0.402$

Konstanta torsi :

$$\begin{aligned}
 \tilde{A} \beta_5 \alpha T_5^6 \Delta U_5 &= 0.451 \times 400^2 \times 11500 = 466764705.9 \\
 &= 0.389 \times 600^2 \times 4000 = 560000000 \\
 &= 0.402 \times 600^2 \times 5000 = \underline{\underline{724137931 + 1750902637}}
 \end{aligned}$$

$$T_{cr} = x T \sqrt{B^4 A^9} T'' s E \frac{54 \times \tilde{A} \beta_5 \alpha T_5^6 \Delta U_5}{\tilde{U}_0}$$

$$T_{cr} = x T^{\frac{3}{4}} w_y T'' s E \frac{54 \text{ e } @.34...}{9; A} T 1750902637$$

$$T_{cr} = 1.767 \times 10^{14} \text{ Nmm}$$

$$T_{u \text{ ijin}} = \sigma T_6 \bar{t} T 0.25$$

$$= 0.6 \times 1.767 \times 10^{14} \times 0.25$$

$$= 2.652 \times 10^{13} \text{ Nmm} > 3.558 \times 10^9$$

Tu ijin > Tu maka tidak memerlukan tulangan torsi

4.11 Kontrol Lendutan

Lendutan yang terjadi pada kombinasi jembatan tidak boleh lebih dari $y = L/800 = 103,75 \text{ mm}$ dimana L adalah panjang bentang yang ditinjau. Dari hasil analisa SAP didapatkan lendutan yang terjadi akibat beban servis 1D+1L+1P adalah 59,43 mm.

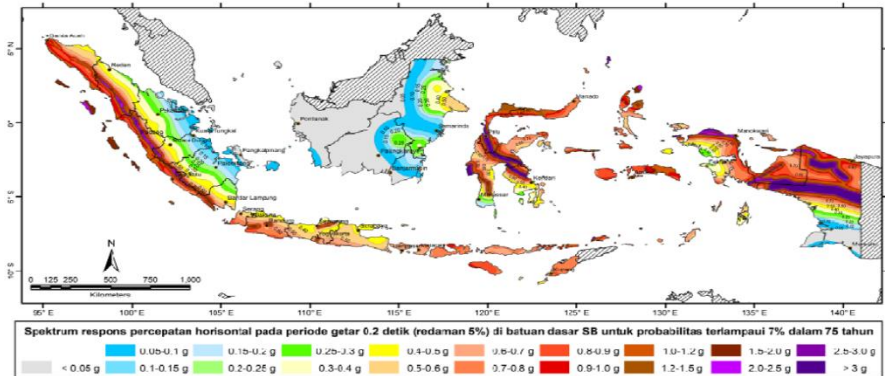
4.12 Analisa Beban Gempa

Perencanaan struktur bangunan bawah meliputi perencanaan perencanaan kolom dan perencanaan pondasi. Untuk menganalisa bangunan bawah terlebih dahulu dilakukan analisa beban gempa dengan bantuan program MIDAS

Analisa beban gempa dilakukan dengan cara menganalisa respon spectrum. Berikut data perencanaan gempa

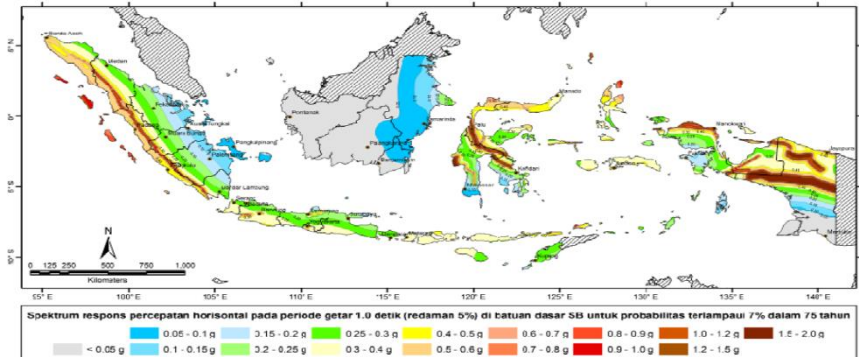
Jenis : Bangunan Jembatan

Kategoriresiko : IV



Gambar 4. 40 Peta percepatan puncak di batuan dasar (PGA) untuk probabilitas terlampaui 7% dalam 75 tahun.

Sesuai peta di atas, wilayah Surabaya didapatkan nilai amplifikasi pada periode $5_a = 0.5$ g.



Gambar 4. 41 Peta respon spectra percepatan 0,2 detik di batuan dasar untuk probabilitas terlampaui 7% dalam 75 tahun

Jika meninjau peta di atas maka Surabaya didapatkan nilai $5_s = 0.225$ g

Jenis tanah yang terdapat pada jembatan layang Surabaya Barat jenis tanah lunak sehingga untuk klarifikasi situs dapat ditentukan dalam kelas situs Se (Tanah Lunak)

Penentuan Nilai Fa dan Fv dapat ditentukan sebagai berikut :

Tabel 4. 34 Tabel Koefisien Fa

| Kelas situs | PGA ≤ 0,1 $S_s \leq 0,25$ | PGA = 0,2 $S_s = 0,5$ | PGA = 0,3 $S_s = 0,75$ | PGA = 0,4 $S_s = 1,0$ | PGA > 0,5 $S_s \geq 1,25$ |
|--------------------|------------------------------|--------------------------|---------------------------|--------------------------|------------------------------|
| Batuhan Keras (SA) | 0,8 | 0,8 | 0,8 | 0,8 | 0,8 |
| Batuhan (SB) | 1,0 | 1,0 | 1,0 | 1,0 | 1,0 |
| Tanah Keras (SC) | 1,2 | 1,2 | 1,1 | 1,0 | 1,0 |
| Tanah Sedang (SD) | 1,6 | 1,4 | 1,2 | 1,1 | 1,0 |
| Tanah Lunak (SE) | 2,5 | 1,7 | 1,2 | 0,9 | 0,9 |
| Tanah Khusus (SF) | SS | SS | SS | SS | SS |

Tabel 4. 35 Tabel Koefisien situ Fv

| Kelas situs | $S_s \leq 0,1$ | $S_s = 0,2$ | $S_s = 0,3$ | $S_s = 0,4$ | $S_s \geq 0,5$ |
|--------------------|----------------|-------------|-------------|-------------|----------------|
| Batuhan Keras (SA) | 0,8 | 0,8 | 0,8 | 0,8 | 0,8 |
| Batuhan (SB) | 1,0 | 1,0 | 1,0 | 1,0 | 1,0 |
| Tanah Keras (SC) | 1,7 | 1,6 | 1,5 | 1,4 | 1,3 |
| Tanah Sedang (SD) | 2,4 | 2,0 | 1,8 | 1,6 | 1,5 |
| Tanah Lunak (SE) | 3,5 | 3,2 | 2,8 | 2,4 | 2,4 |
| Tanah Khusus (SF) | SS | SS | SS | SS | SS |

Dari table di atas dapat diperoleh nilai Fv dengan cara interpolasi

$$\frac{(R_F u_a) - L}{(R_F u_a) - (R_F u_a)} = \frac{t_a - F_v}{(R_F u_a) - (R_F u_a)}$$

$$F_v = 3,1$$

$$F_a = 1,7$$

Dari Fa dan Fv maka akan diperoleh nilai :

$$5_{1/2e} = F_a \times 5_a$$

$$5_{1/2e} = 1,7 \times 0,5$$

$$= 0,85$$

$$5_{1/25} = F_v \times 5_5$$

$$5_{1/25} = 3,1 \times 0,225$$

$$= 0,698$$

Dari nilai $5_{1/25}$, didapat zona gempa sebagai berikut :

Tabel 4. 36 Tabel zona gempa

| Koefisien percepatan (S_{D1}) | Zona gempa |
|-----------------------------------|------------|
| $S_{D1} \leq 0,15$ | 1 |
| $0,15 < S_{D1} \leq 0,30$ | 2 |
| $0,30 < S_{D1} \leq 0,50$ | 3 |
| $S_{D1} > 0,50$ | 4 |

Didapatkan zona gempa 4

Respons spectrum didapatkan nilai :

$$T_o = r \ddot{\alpha} T \frac{\frac{1}{\mu} -}{\frac{1}{\mu}}$$

$$T_o = r \ddot{\alpha} T \frac{4\ddot{\alpha} = <}{4\ddot{\alpha} \cdot 9}$$

$$T_o = 0.162$$

$$T_s = \frac{\frac{1}{\mu} -}{\frac{1}{\mu}}$$

$$T_s = \frac{4\ddot{\alpha} = <}{4\ddot{\alpha} \cdot 9}$$

$$T_s = 0.81$$

Syarat :

- Untuk periode yang lebih kecil dari T_o , koefisien respons gempa elastic (C_{sm}) didapatkan dari persamaan

$$\%_x L : 5_{1/2} F \#_x ; \frac{6}{6_4} E \#_x$$

- Untuk periode lebih besar dari atau sama dengan T_o dan lebih kecil atau sama dengan T_s , respons spectrum percepatan, C_{sm} samadengan $5_{1/2}$.
- Untuk periode lebih besar dari T_s , koefisien respons gempa elastic C_{sm} didapatkan dari persamaan :

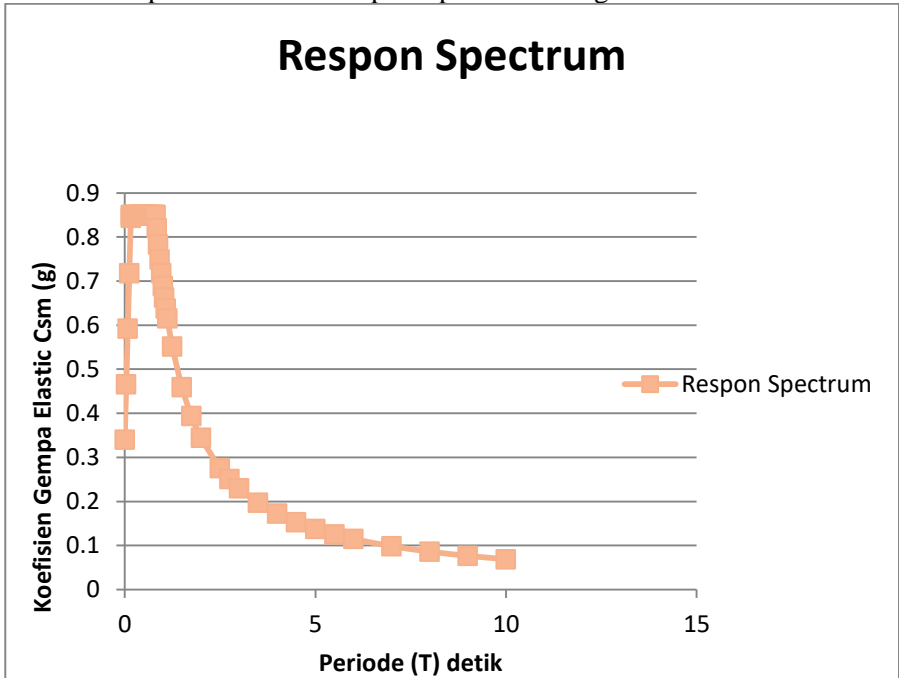
$$\%_x L \frac{5_{1/25}}{6_4}$$

Dari ketentuan respons spectrum di atas maka didapat t tabel hubungan antara C_{sm} dan T : Tabel Respons Spectrum

Tabel 4. 37 Tabel respons spectrum

| T (detik) | Csm (g) | T (detik) | Csm (g) |
|-----------|----------|-----------|----------|
| 0 | 0.34 | 1 | 0.689 |
| 0.04 | 0.465926 | 1.04 | 0.6625 |
| 0.08 | 0.591852 | 1.08 | 0.637963 |
| 0.12 | 0.717778 | 1.12 | 0.615179 |
| 0.16 | 0.843704 | 1.25 | 0.5512 |
| 0.162 | 0.85 | 1.5 | 0.459333 |
| 0.2 | 0.85 | 1.75 | 0.393714 |
| 0.24 | 0.85 | 2 | 0.3445 |
| 0.28 | 0.85 | 2.5 | 0.2756 |
| 0.32 | 0.85 | 2.75 | 0.250545 |
| 0.36 | 0.85 | 3 | 0.229667 |
| 0.4 | 0.85 | 3.5 | 0.196857 |
| 0.44 | 0.85 | 4 | 0.17225 |
| 0.48 | 0.85 | 4.5 | 0.153111 |
| 0.52 | 0.85 | 5 | 0.1378 |
| 0.56 | 0.85 | 5.5 | 0.125273 |
| 0.6 | 0.85 | 6 | 0.114833 |
| 0.64 | 0.85 | 7 | 0.098429 |
| 0.68 | 0.85 | 8 | 0.086125 |
| 0.72 | 0.85 | 9 | 0.076556 |
| 0.76 | 0.85 | 10 | 0.0689 |
| 0.8 | 0.85 | | |
| 0.81 | 0.85 | | |
| 0.84 | 0.820238 | | |
| 0.88 | 0.782955 | | |
| 0.92 | 0.748913 | | |
| 0.96 | 0.717708 | | |

Dari tabel diperoleh Grafik Respon Spectrum sebagai berikut



Grafik 4. 4 Respons spectrum

4.13 Pembebatan horizontal akibat gempa

Pembebatan horizontal akibat gempa mengacu pada RSNI 1725-2004 dengan koefisien –koefisien sesuai dengan SNI 2833-2013. Gaya horizontal statis dicari berdasarkan rumus sebagai berikut :



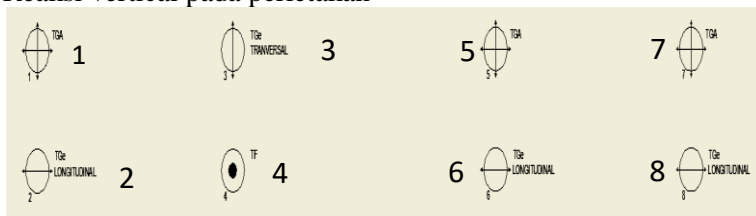
Keterangan :

- ' E adalah gaya gempa horizontal statis
- % e adalah koefisien respons gempa elastic
- 4 x adalah faktor modifikasi respons
- 9 c adalah berat total struktur

Mencari nilai Wt

Nilai Wt didapatkan dari program bantu analisa struktur MIDAS Civil dengan kombinasi pembebanan beban hidup dan beban mati sesuai dengan kombinasi envelope ultimate

Reaksi vertical pada perletakan



Gambar 4. 42 Penamaan Titik Perletakan

Tabel 4. 38 Reaksi vertical pada perletakan

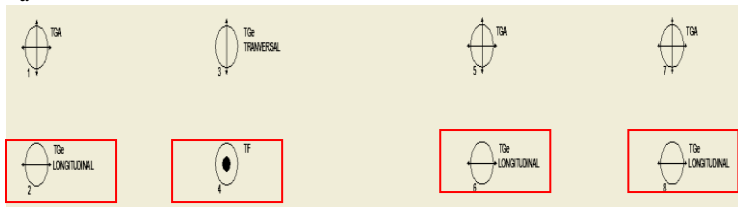
| Titik | Kombinasi | Gaya Vertikal (kN) |
|-------|--------------------|--------------------|
| 1 | mati+mati tambahan | 1306.2 |
| 2 | mati+mati tambahan | 1306.2 |
| 3 | mati+mati tambahan | 23419.06 |
| 4 | mati+mati tambahan | 23419.06 |
| 5 | mati+mati tambahan | 23419.06 |
| 6 | mati+mati tambahan | 23419.06 |
| 7 | mati+mati tambahan | 1306.2 |
| 8 | mati+mati tambahan | 1306.2 |
| Total | | 98901.04 |

Gaya pada pot bearing

Gaya horizontal arah-y (melintang)

Gaya horizontal arah-y diterima oleh 4 buah POT bearing

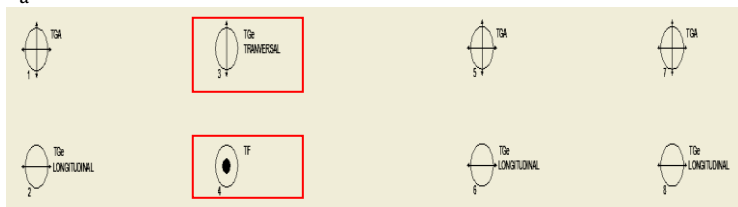
$$\begin{aligned} & \ddot{a} L \frac{\frac{\%}{\alpha}}{4} T 9 \varsigma \\ & \ddot{a} L \frac{r \ddot{z} w}{t} T \frac{\ddot{z} s}{v} \ddot{a} v \\ & \ddot{a} = 10508.24 \text{ kN} \end{aligned}$$



Gambar 4. 43 Pot Bearing Penahan Gaya Horizontal (arah-y)

Gaya horizontal arah-x (memanjang)

$$\begin{aligned} & \ddot{a} L \frac{\frac{\%}{\alpha}}{4} T 9 \varsigma \\ & \ddot{a} L \frac{r \ddot{z} w}{t} T \frac{\ddot{z} s}{t} \ddot{a} v \\ & \ddot{a} = 21016.47 \text{ kN} \end{aligned}$$



Gambar 4. 44 Pot Bearing Penahan Gaya Horizontal (arah-x)

Gaya Horizontal Arah-x (Memanjang)

Pembebatan vertical menggunakan kombinasi Envelope Ultimate sesuai dengan code AREMA. Untuk menghitung gaya vertical yang terjadi pada perletakan digunakan program bantu Midas Civil. Gaya vertikal yang terjadi sebagai berikut.

Tabel 4. 39 Beban Gaya Vertikal

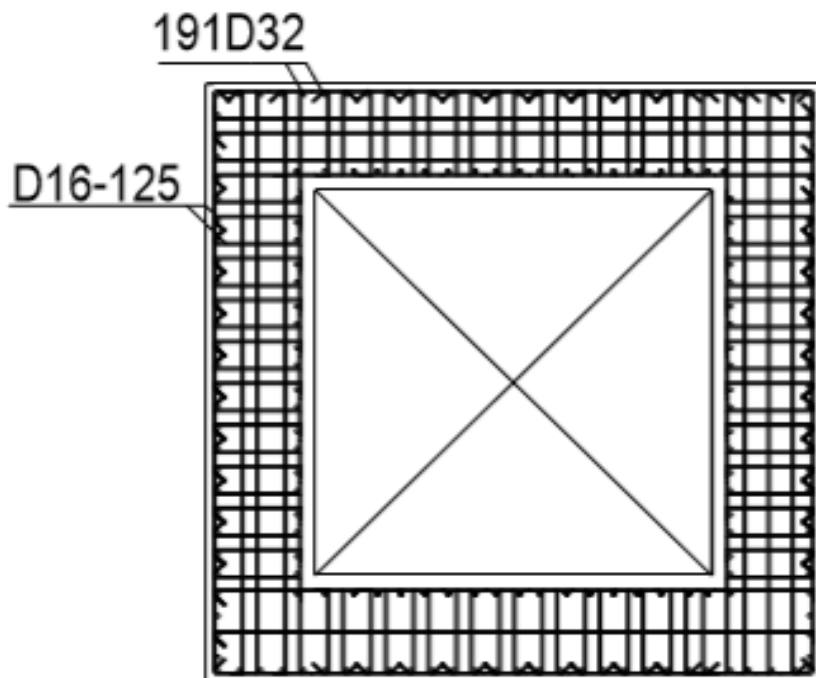
| Titik | Kombinasi | Gaya Vertikal (kN) |
|-------|--------------------|--------------------|
| 1 | beban envelope max | 4906.8 |
| 2 | beban envelope max | 4906.8 |
| 3 | beban envelope max | 31550.28 |
| 4 | beban envelope max | 31550.28 |
| 5 | beban envelope max | 31550.28 |
| 6 | beban envelope max | 31550.28 |
| 7 | beban envelope max | 4906.8 |
| 8 | beban envelope max | 4906.8 |
| Total | | 145828.32 |

Pemilihan POT bearing

Pemilihan POT Bearing sesuai dengan brosur VSL yang dengan AASHTO. Terdapat pada lampiran.

Tabel 4. 40 Spesifikasi Pot Bearing yang digunakan

| Nomor | Beban Aktuan (kN) | | | Jenis | Spec PB (kN) | | Tipe P.B |
|-------|-------------------|----------|----------|--------------|--------------|------------|-----------------|
| | Fx | Fy | Fz | | Vertikal | Horizontal | |
| 1 | | | 4906.8 | Free | 5580 | 167 | PL 560/400 AA |
| 2 | | 10508.24 | 4906.8 | Longitudinal | | | PU tipe khusus |
| 3 | 21016.47 | | 31550.28 | Transversal | | | PU tipe khusus |
| 4 | 21016.47 | 10508.24 | 31550.28 | Fixed | | | PF tipe khusus |
| 5 | | | 31550.28 | Free | 33480 | 1004 | PL 3350/2400 AA |
| 6 | | 10508.24 | 31550.28 | Longitudinal | | | PU tipe khusus |
| 7 | | | 4906.8 | Free | 5580 | 167 | PL 560/400 AA |
| 8 | | 10508.24 | 4906.8 | Longitudinal | | | PU tipe khusus |

4.14 Perencanaan Kolom**Gambar 4. 45 Dimensi Kolom**

Direncanakan dimensi kolom yang digunakan adalah $b=4.5$ m dan $h= 4.5$ m

Sebelum menghitung kolom dilakukan pengontrolan terhadap gaya gempa V_{dinamik} yang diperoleh dari midas dibanding dengan V_{statik} secara manual. Nilai yang memenuhi syarat $V_{\text{dinamik}} \geq 0.85V_{\text{statik}}$

$$V_{\text{statik}} = L \frac{\rho_a}{4} H 9 \varsigma$$

$$\text{Wtotal (hidup dan mati)} = 160780.4 \text{ kN}$$

$$C_{\text{sm}} = 0.85$$

$$R = 2$$

$$= L \frac{r \ddot{z} w}{t} H s x r y z r \ddot{a} v$$

$$= L x z u u s \ddot{a} \{ \text{ kN}$$

$$V_{\text{dinamik}}$$

$$\text{Pilar P-D} = 10490 \text{ kN}$$

$$\text{P-E} = 32480 \text{ kN}$$

$$\text{P-F} = 32480 \text{ kN}$$

$$\underline{\text{P-G} = 10490 \text{ kN +}}$$

$$\text{Total} = 85490 \text{ kN}$$

$$\text{Kontrol } 0.85V_{\text{statik}} \leq V_{\text{dinamik}}$$

$$0.85 \times x z u u s \ddot{a} \{ \leq 85490$$

$$58081.94 \leq 85490 \text{ OK}$$

4.14.1 Perencanaan Kolom PE

Data perencanaan kolom PE adalah sebagai berikut :

$$\begin{aligned}
 k &= 1.2 \\
 f'_c &= 40 \text{ MPa} \\
 E_c &= 29725.41 \\
 U_1 &= 0.76 \\
 f_y &= 400 \text{ MPa} \\
 E_s &= 200000 \text{ MPa} \\
 b &= 4.5 \text{ m} \\
 h &= 4.5 \text{ m} \\
 l &= 6.05 \text{ m} \\
 A &= 11.84 \text{ m}^2 \\
 I_x &= 23.83 \text{ m}^4 \\
 I_y &= 23.83 \text{ m}^4 \\
 r &= 1.44 \text{ m}
 \end{aligned}$$

Cek kelangsungan struktur bergoyang

$$\frac{P_a}{A} < 22, \quad \frac{5.042 \cdot 4.5}{5.88} = 5.042 < 22$$

Maka termasuk kategori kolom pendek sehingga pengaruh kelangsungan struktur diabaikan.

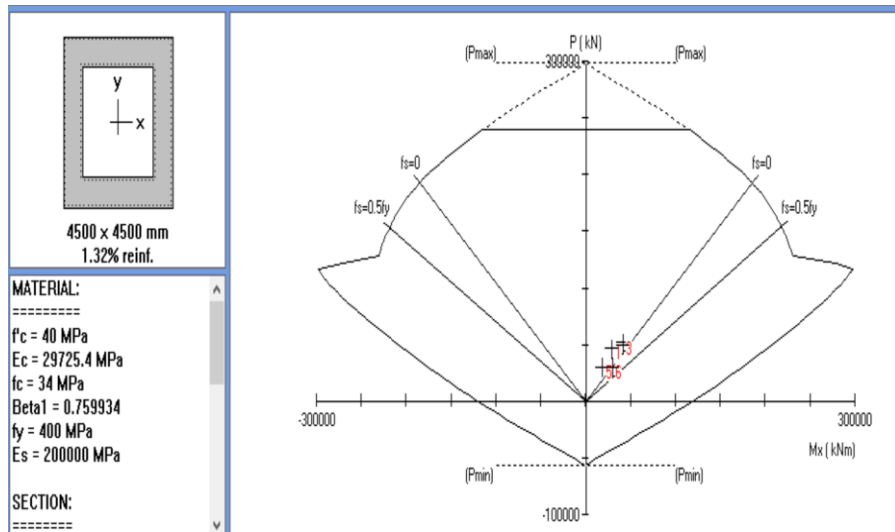
Beban yang bekerja pada kolom

Tabel 4. 41 Tabel kombinasi beban

| Kombinasi | Pu (kN) | Vx (kN) | Mx (kN.m) |
|-------------|----------|---------|-----------|
| 1.4 D | 46838.07 | 7459.2 | 30143.4 |
| 1.2D + 1.6L | 63100.56 | 7953.6 | 33968 |
| 1.2D + L +E | 54492.96 | 39848.6 | 158807.2 |
| 0.9D + W | 30120.43 | 4795.2 | 19377.9 |
| 0.9D - W | 30099.94 | 4795.2 | 19377.9 |
| 0.9D+E | 30110.19 | 37650.2 | 143617.9 |

4.14.2 Tulangan Lentur

Sesuai RSNI T-12-2004 Pasal 5.7.8.1 bahwa rasio dari tulangan memanjang kolom harus kurang dari 0,01 Ag dan tidak melebihi 0,8 Ag. Dengan program SPColumn direncanakan tulangan dengan rasio 1,32% sehingga didapatkan tulangan 191, D32 dengan $As = 156505 \text{ mm}^2$



Gambar 4. 46 Hasil PC Acol

4.14.3 Tulangan geser

Rekapitulasi gaya yang bekerja pada kolom

$$V_{ux} = 39848.6 \text{ kN}$$

$$P_u = 63100.56 + 7562.5 = 70663.06 \text{ kN}$$

$$M_{ux} = 158807.2 \text{ kN.m}$$

$$f'_c = 40 \text{ MPa}$$

$$f_y = 400 \text{ MPa}$$

$$h = 4500 \text{ mm}$$

$$b = 4500 \text{ mm}$$

$$D_{tul} = 16 \text{ mm}$$

$$A_{st} = 199 \text{ mm}^2$$

- Kontrol Kapasitas geser

$$Vc = 1 s E \frac{C_a}{58^\circ} p \frac{\sqrt{U^o}}{\alpha} >_e @$$

$$Vc = 26040527.34 \text{ N} = 26041 \text{ kN}$$

$$\hat{I} Vc = 18228 \text{ kN}$$

$$Vu_{\max} = 39848.6 \text{ kN}$$

$\hat{I} Vc < Vu$ maka dibutuhkan tulangan geser

$$Vu < \hat{I} Vn, Vn = Vc + Vs$$

$$Vs_{\min} = \frac{\alpha \cdot Q_o}{A_f}, s = 125 \text{ mm}$$

$$Av_{\min} = r \cdot \pi \cdot \frac{Q_o}{A_f}, f_y = 420 \text{ MPa} \geq r \cdot \sigma_w @$$

$$Av_{\min} = \underline{1050.32794 \text{ mm}^2} \geq 984.375 \text{ mm}^2$$

$$Vs_{\min} = 14929781.4 \text{ N} = 1.49 \times 10^4 \text{ kN}$$

$$V_{\max} = r \cdot \pi \cdot \frac{Q_o}{A_f} T > S \cdot T @$$

$$= 41719107 \text{ N} = 4.17 \times 10^4 \text{ kN}$$

Nilai As tidak boleh melebihi

$$A_{sh} = r \cdot \pi \cdot \frac{Q_o}{A_f} \cdot B \cdot s \cdot C$$

$$= 77860556.6 \text{ mm}^2$$

$$A_{sh} = r \cdot \pi \cdot \frac{Q_o}{A_f} \cdot m$$

$$= \underline{4821.42857 \text{ mm}^2}$$

$$Vs = \frac{\alpha \cdot Q_o}{A_f}$$

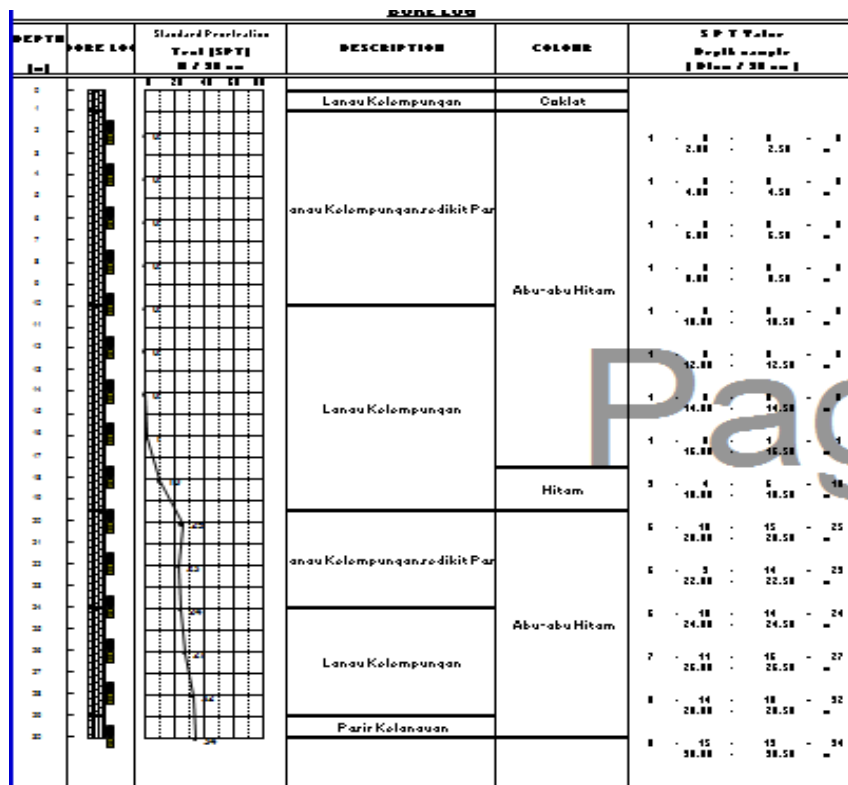
$$Vs = 34266857.1 \text{ N} = 3.43 \times 10^4 \text{ kN}$$

$$Vn = Vc + Vs = 60307.86 \text{ kN}$$

$$\hat{I} Vn = 42215.5 \text{ kN}$$

4.15 Perencanaan Kebutuhan Pondasi

Analisa Data Tanah dan Daya Dukung Pondasi Data tanah asli di lokasi jembatan berupa hasil Standard Peretration Test (SPT) di titik BM-1, yang dilakukan sedalam 30 m. Perhitungan kebutuhan daya dukung pondasi meliputi kapasitas aksial dari kekuatan daya dukung tanah yang ada dengan menggunakan Metode Luciano Decourt. Tiang pancang yang digunakan adalah Tiang Pancang ICP Spun Pile dengan diameter 1200 mm kelas C



Gambar 4. 47 Hasil tes SPT

4.15.1 Daya dukung tiang pondasi berdasarkan hasil SPT dengan metode Luciano Decourt (1996)

Harga N koreksi

Harga N di bawahmuka airtanahharusdikoreksimengjadi N' berdasarkanperumusansebagaiberikut: (TERZAGHI & PECK)

$$N' = 15 - 0.5(N - 15)$$

Dimana:

N = Jumlahpukulkenyataan di lapanganuntuk di bawahmuka air tanah

N' = Harga N terkoreksikarena N dibawahmuka air tanah

Metode Luciano Decourt (1996):

$$Q_L \quad Q_P \quad Q_S$$

Dimana :

Q_L = Daya dukung tanah maksimum pada pondasi

Q_P = Daya dukung pada dasar pondasi

Q_S = Daya dukung akibat lekatan lateral

$$Q_P = q_P A_P = N_p K A_p$$

Dimana:

$\check{N}_p = \frac{\sum_{i=1}^n N_i}{n}$ = Harga rata-rata SPT disekitar 4B di atas hingga 4B di bawah dasar tiang pondasi (B = diameter pondasi) =

K = Koefisien karakteristik tanah:
 12 t/m², untuk lempung
 20 t/m², untuk lanau berlempung
 25 t/m², untuk lanau berpasir
 40 t/m², untuk pasir

A_p = Luas penampang dasar tiang

q_p = Tegangan diujung tiang

= Base coefficient = 1,00 untuk driven pile (tiang pancang)

$$Q_s = q_s A_s = N_s / 3 - 1 A_s$$

Dimana :

q_s = Tegangan akibat lekatan lateral dalam t/m^2

N_s = Harga rata-rata sepanjang tiang yang tertanam, dengan batasan :
 $3 \leq N \leq 50$

A_p = Keliling x panjang tiang yang terbenam (luas selimut tiang)

= Shaft coefficient = 1,00 untuk driven pile

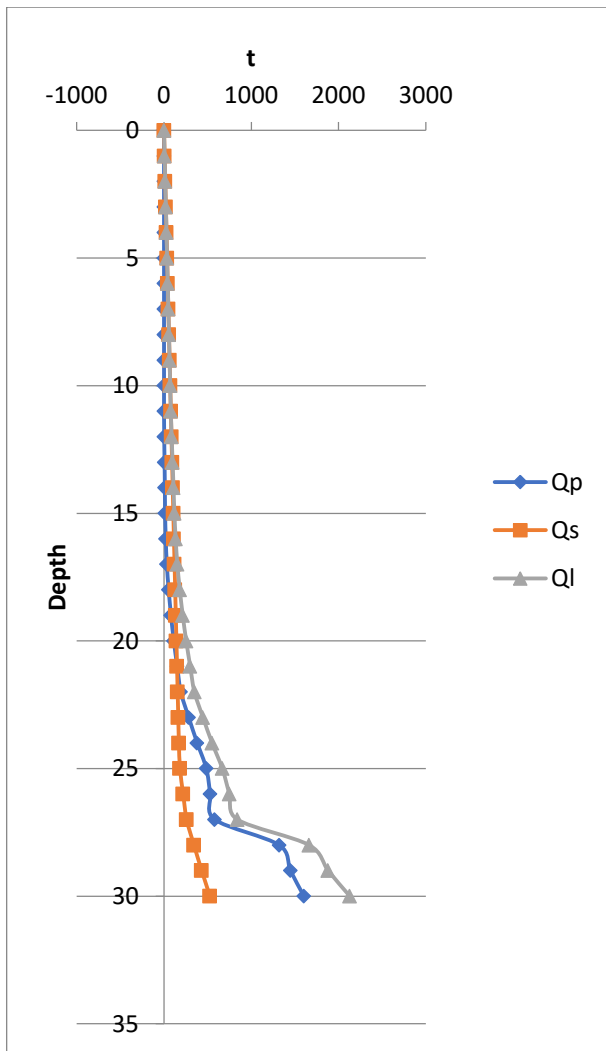
Tabel 4. 42 Nilai α dan β untuk tiang pondasi

| Pile/Soil | Clay | | Intermediate Soil | | Sands | |
|-----------------|-----------|-----------|----------------------|-----------|-----------|-----------|
| | \bar{U} | \bar{U} | \bar{U} | \bar{U} | \bar{U} | \bar{U} |
| 1 Driven Pile | 1 | 1 | 1 | 1 | 1 | |
| 2 Bored Pile | 0.85 | 0.8 | 0.6 | 0.65 | 0.5 | 0.5 |
| 3 Injected Pile | 1 | 3 | 1 | 3 | 1 | 3 |

(Sumber: Decourt & Quaresma, 1978 & Decout et al, 1996)

Tabel 4.43 Hasil kekuatan data tanah

| Depth (m) | Jenis tanah | NSPT | N' | Np | K | qp | Qp (ton) | Ns | Ns yg ambil | qs | As | Qs | Qtot | Qu (t) | Qultimate |
|-----------|-----------------|------|-------|--------|----|----------|----------|--------|-------------|-------|---------|---------|----------|----------|-----------|
| 0 | Lanau | 0 | 0 | 0 | 12 | 0 | 0 | 0 | 3 | 2 | 0 | 0 | 0 | 0 | #DIV/0! |
| 1 | Lanau | 0 | 0 | 0 | 12 | 0 | 0 | 0 | 3 | 2 | 3.549 | 7.099 | 7.099 | 3.549 | 1682.047 |
| 2 | Lanau | 0 | 0 | 0 | 12 | 0 | 0 | 0 | 3 | 2 | 7.099 | 14.198 | 14.198 | 7.099 | 841.023 |
| 3 | Lanau | 0 | 0 | 0 | 12 | 0 | 0 | 0 | 3 | 2 | 10.648 | 21.297 | 21.297 | 10.648 | 560.682 |
| 4 | Lanau | 0 | 0 | 0 | 12 | 0 | 0 | 0 | 3 | 2 | 14.198 | 28.396 | 28.396 | 14.198 | 420.512 |
| 5 | Lanau | 0 | 0 | 0 | 12 | 0 | 0 | 0 | 3 | 2 | 17.747 | 35.495 | 35.495 | 17.747 | 336.409 |
| 6 | Lanau | 0 | 0 | 0 | 12 | 0 | 0 | 0 | 3 | 2 | 21.297 | 42.593 | 42.593 | 21.297 | 280.341 |
| 7 | Lanau | 0 | 0 | 0 | 12 | 0 | 0 | 0 | 3 | 2 | 24.846 | 49.692 | 49.692 | 24.846 | 240.292 |
| 8 | Lanau | 0 | 0 | 0 | 12 | 0 | 0 | 0 | 3 | 2 | 28.396 | 56.791 | 56.791 | 28.396 | 210.256 |
| 9 | Lanau | 0 | 0 | 0 | 12 | 0 | 0 | 0 | 3 | 2 | 31.945 | 63.890 | 63.890 | 31.945 | 186.894 |
| 10 | Lanau | 0 | 0 | 0 | 12 | 0 | 0 | 0 | 3 | 2 | 35.495 | 70.989 | 70.989 | 35.495 | 168.205 |
| 11 | Lanau | 0 | 0 | 0 | 12 | 0 | 0 | 0 | 3 | 2 | 39.044 | 78.088 | 78.088 | 39.044 | 152.913 |
| 12 | Lanau | 0 | 0 | 0.15 | 12 | 1.8 | 2.03472 | 0 | 3 | 2 | 42.593 | 85.187 | 87.222 | 43.611 | 136.901 |
| 13 | Lanau | 0 | 0 | 0.45 | 12 | 5.4 | 6.10416 | 0 | 3 | 2 | 46.143 | 92.286 | 98.390 | 49.195 | 121.361 |
| 14 | Lanau | 0 | 0 | 0.7 | 12 | 8.4 | 9.49536 | 0 | 3 | 2 | 49.692 | 99.385 | 108.880 | 54.440 | 109.668 |
| 15 | Lanau | 0 | 0 | 0.9 | 12 | 10.800 | 12.208 | 0 | 3 | 2 | 53.242 | 106.484 | 118.692 | 59.346 | 100.602 |
| 16 | Lanau | 0 | 0 | 1.45 | 12 | 17.400 | 19.669 | 0 | 3 | 2 | 56.791 | 113.583 | 133.252 | 66.626 | 89.610 |
| 17 | Lanau | 1.5 | 1.5 | 2.35 | 12 | 28.200 | 31.877 | 0.083 | 3 | 2 | 60.341 | 120.682 | 152.559 | 76.279 | 78.270 |
| 18 | Lanau | 3 | 3 | 3.925 | 12 | 47.100 | 53.242 | 0.237 | 3 | 2 | 63.890 | 127.780 | 181.022 | 90.511 | 65.963 |
| 19 | Lanau | 2.5 | 2.5 | 5.875 | 12 | 70.500 | 79.693 | 0.350 | 3 | 2 | 67.440 | 134.879 | 214.573 | 107.286 | 55.649 |
| 20 | Lanau | 2 | 2 | 8.275 | 12 | 99.300 | 112.249 | 0.429 | 3 | 2 | 70.989 | 141.978 | 254.227 | 127.113 | 46.969 |
| 21 | Lanau | 5.5 | 5.5 | 11.125 | 12 | 133.500 | 150.908 | 0.659 | 3 | 2 | 74.539 | 149.077 | 299.986 | 149.993 | 39.804 |
| 22 | Lanau | 9 | 9 | 14.175 | 12 | 170.100 | 192.281 | 1.022 | 3 | 2 | 78.088 | 156.176 | 348.457 | 174.229 | 34.267 |
| 23 | Lanau | 16.5 | 15.75 | 20.875 | 12 | 250.500 | 283.165 | 1.635 | 3 | 2 | 81.637 | 163.275 | 446.440 | 223.220 | 26.746 |
| 24 | Lanau | 24 | 19.5 | 28.063 | 12 | 336.750 | 380.662 | 2.350 | 3 | 2 | 85.187 | 170.374 | 551.036 | 275.518 | 21.670 |
| 25 | Lanau | 33 | 24 | 35.738 | 12 | 428.850 | 484.772 | 3.183 | 3.183 | 2.061 | 88.736 | 182.877 | 667.649 | 333.824 | 17.885 |
| 26 | Lanau | 42 | 28.5 | 39.097 | 12 | 469.167 | 530.346 | 4.120 | 4.120 | 2.373 | 92.286 | 219.036 | 749.382 | 374.691 | 15.934 |
| 27 | Lanau | 49 | 32 | 42.859 | 12 | 514.313 | 581.379 | 5.116 | 5.116 | 2.705 | 95.835 | 259.269 | 840.648 | 420.324 | 14.204 |
| 28 | Pasir Kelanauan | 56 | 70 | 46.732 | 25 | 1168.304 | 1320.650 | 7.353 | 7.353 | 3.451 | 99.385 | 342.992 | 1663.642 | 831.821 | 7.177 |
| 29 | Pasir Kelanauan | 59.5 | 74.38 | 51.271 | 25 | 1281.771 | 1448.914 | 9.588 | 9.588 | 4.196 | 102.934 | 431.895 | 1880.809 | 940.404 | 6.349 |
| 30 | Pasir Kelanauan | 63 | 78.75 | 56.725 | 25 | 1418.125 | 1603.049 | 11.819 | 11.819 | 4.940 | 106.484 | 525.978 | 2129.026 | 1064.513 | 5.609 |



Grafik 4. 5 Grafik kekuatan tanah

4.15.2 Daya Dukung Pondasi Tunggal

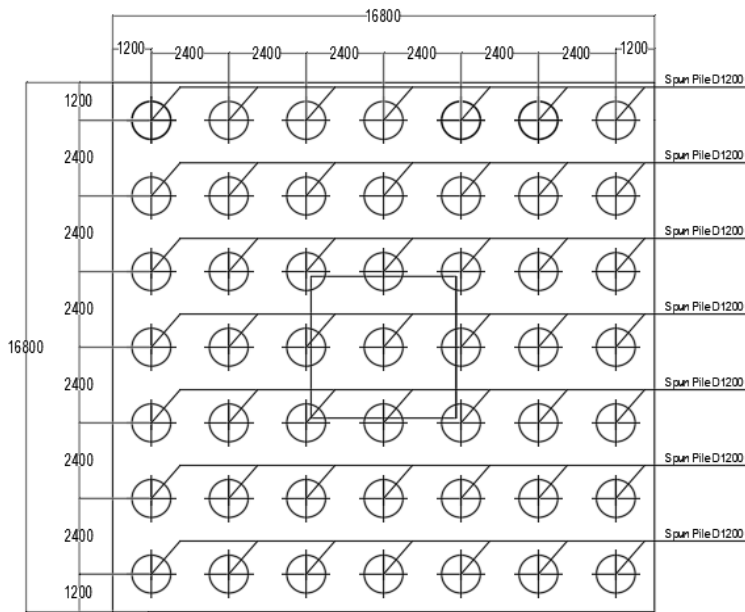
Untuk pondasi pilar jembatan layang lingkar barat Surabaya direncanakan menggunakan pondasi tiang pancang produk ICP Spun Pile beton. Spesifikasi tiang pancang yang akan digunakan adalah sebagai berikut:

| | |
|------------------------|-----------------|
| Diameter | = 1200 mm |
| Tebal | = 150 mm |
| Type | = A3 |
| Allowable axial | = 898 ton |
| Bending momen crack | = 158.310 ton.m |
| Bending momen ultimate | = 333.13 ton.m |

Dari hasil perhitungan daya dukung pondasi didapatkan bahwa untuk kedalaman 20 m daya dukung tiang pondasi friction end bearing adalah 898 ton (diameter 1200 mm), sehingga Qijin = $898/3 = 299$ ton > 254.227 ton (allowable axial). Karena daya dukung ijin tanah terhadap pondasi lebih kecil daripada beban aksial ijin tiang pancang, maka digunakan beban aksial ijin 1 tiang = 254.227 ton.

4.15.3 Daya Dukung Pondasi Kelompok

Direncanakan menggunakan 49 tiang pancang dengan konfigurasi sebagai berikut:



Gambar 4. 48 Desain tiang pancang

Daya dukung tiang pancang tunggal

Jarak antar tiang pancang

$$2D < S < 3D$$

$$2400 \leq S \leq 3600$$

$$S = 2400 \text{ mm}$$

Jarak tiang pancang ke tepi

$$D \leq S \leq 2D$$

$$1200 \leq S_1 \leq 2400$$

$$S_1 = 1200 \text{ mm}$$

4.15.4 Efisiensi tiang pancang kelompok

Untuk daya dukung pondasi kelompok harus dikoreksi terlebih dahulu dengan apa yang disebut koefisien efisiensi (β). Daya dukung pondasi kelompok menurut Converse Labarre.

Efisiensi:

$$\beta = \frac{L \cdot s \cdot F_{\text{parl}}}{=4} \quad - \quad -$$

Dimana :

D = diameter tiang pancang

S = jarak antar tiang pancang

m = jumlah baris tiang pancang dalam grup = 7

n = jumlah kolom tiang pancang dalam grup = 7

$$\beta = \frac{L \cdot s \cdot F_{\text{parl}}}{=4} \quad - \quad -$$

L 0.994

Sehingga :

$$3 \times 4 \times L \beta H = 3 \times 0.994 \times 11.833 \times 10^3 = 35.80 \times 10^3 \text{ t (OK)}$$

Perhitungan Beban Aksial Maksimum Pondasi Kelompok
Momen yang bekerja pada poer akibat adanya gaya horizontal:

$$2I = T = L \frac{\Delta I}{a} E \frac{\frac{y_{\max}^2 + x_{\max}^2}{2}}{\Delta U} E \frac{\frac{y_{\max}^2 + x_{\max}^2}{2}}{\Delta U}$$

Dimana :

P_i = Total beban yang bekerja pada tiang yang ditinjau

y_{\max} = jarak maksimum tiang yang ditinjau dalam arah y

x_{\max} = jarak maksimum tiang yang ditinjau dalam arah x

Σx_i^2 = jumlah kuadrat jarak tiang pancang terhadap as poer arah x

Σy_i^2 = jumlah kuadrat jarak tiang pancang terhadap as poer arah y

| | | |
|----------------------|---|---------------------------------|
| P_IP | $L_{sv} : y_{trr}^6 ; L 725760000 \text{ mm}^2$ | $L_{ytw} \ddot{a}x \text{ m}^2$ |
| A_{UE} | $L_{sv} : y_{trr}^6 ; L 725760000 \text{ mm}^2$ | $L_{ytw} \ddot{a}x \text{ m}^2$ |
| A_{TE} | $L_{sv} : v_{zrr}^6 ; L 322560000 \text{ mm}^2$ | $L_{utt} \ddot{a}x \text{ m}^2$ |
| A_{UE} | $L_{sv} : v_{zrr}^6 ; L 322560000 \text{ mm}^2$ | $L_{utt} \ddot{a}x \text{ m}^2$ |
| A_{TE} | $L_{sv} : t_{vrr}^6 ; L 80640000 \text{ mm}^2$ | $L_{zr} \ddot{a}v \text{ m}^2$ |
| A_{UE} | $L_{sv} : t_{vrr}^6 ; L 80640000 \text{ mm}^2$ | $L_{zr} \ddot{a}v \text{ m}^2$ |

Momen yang bekerja:

$$/T \quad L / QT \quad E : *U HP, L 3119.24 E : s \ddot{a}v Tt \ddot{a}w,$$

$$L 3121.9108 \text{ tm}$$

$$/U \quad L / QU \quad E : *T HP, L r E : 478.785 Ht \ddot{a}w,$$

$$L 1196.96343 \text{ tm}$$

$$Pu = 4780 \text{ t}$$

$$\text{Pilecap} = \underline{984.312t+}$$

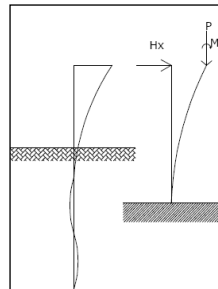
$$Vu = 5764.312 \text{ t}$$

Sehingga didapatkan:

$$2I=T \quad L \frac{9:8 \sqrt{56}}{8=} E \frac{7565 \ddot{a}=55 \ddot{e}; \ddot{a}6}{;69 \ddot{a}; >766 \ddot{d}; ><4 \ddot{a}8} E \frac{55= \ddot{a}= \ddot{e}; \ddot{a}6}{556=}$$

$$= svw \ddot{a}s Q twv \ddot{a}ty t (\text{OK})$$

4.15.5 Kontrol Kekuatan Tiang Terhadap Gaya Lateral Interior



Gambar 4. 49 Diagram Gaya Lateral Tiang Pondasi

Panjang jepitan kritis tanah terhadap tiang pondasi menurut metode Foray dan Puech dimana kedalaman minimal tanah terhadap tiang pondasi didapat dari harga terbesar dari gaya-gaya berikut :

$$. A \quad L \frac{3}{4} H \text{ tw } H : s E \frac{\ddot{a}}{54};$$

L 125.268 cm

L s äw m

$$/U \quad L . A H * U L s äw H s äiv L s äy tm$$

$$/U : s PE=JCL=J?=JC; L \frac{\ddot{a}E}{\dot{a}} L \frac{5 \ddot{a}87}{\dot{a}} L r äu \{ tm$$

$$/>AJEJC?N=?G \quad L swzäis tm$$

$$/U : s PE=JCL=J?=JC; Q />AJEJC?N=?G (OK)$$

$$/T \quad L . A H * T L s äw H vyz äy \{ L w \{ äxu tm$$

$$/T : s PE=JCL=J?=JC; L \frac{\ddot{a}E}{\dot{a}} L \frac{9 \ddot{a}87}{\dot{a}} L zwäkz tm$$

$$/>AJEJC?N=?G \quad L swzäis tm$$

$$/T : s PE=JCL=J?=JC ; Q />AJEJC?N=?G (OK)$$

4.16 Perencanaan Poer

Pada penulangan lentur poer dianalisa sebagai balok kantilever dengan perletakan jepit pada kolom. Beban yang bekerja adalah beban terpusat dari tiang sebesar P dan berat sendiri poer sebesar q . perhitungan gaya dalam pada poer diperoleh dengan mekanika statis tertentu.

Data-data perencanaan :

$$\text{Dimensi poer (B x L)} = 16800 \times 16800 \text{ mm}$$

$$\text{Tebal poer (t)} = 2500 \text{ mm}$$

$$f'c = 40 \text{ MPa}$$

$$\text{Berat volume beton} = 2.4 \text{ t/m}^3$$

$$\text{Diameter tulangan utama} = 29 \text{ mm}$$

$$\text{Dimensi kolom} = 4500 \times 4500 \text{ mm}$$

$$\text{Tebal selimut beton} = 75 \text{ mm}$$

$$\text{Tinggi efektif balok poer}$$

$$\begin{aligned} \text{Arah x (d}_x\text{)} &= 2500 - 75 - \frac{1}{2} \cdot 28.7 & = 2410.5 \text{ mm} \\ \text{Arah y (d}_y\text{)} &= 2500 - 75 - 29 - \frac{1}{2} \cdot 28.7 & = 2381.5 \text{ mm} \end{aligned}$$

4.16. 1 Penulangan Poer

Untuk penulangan lentur, poer dianalisis sebagai balok kantilever dengan perletakan jepit pada kolom. Sedangkan beban yang bekerja adalah beban terpusat di tiang kolom yang menyebabkan reaksi pada tanah dan berat sendiri poer. Perhitungan gaya dalam pada poer didapat dengan teori mekanika statis tertentu.

Penulangan Arah X

$$\begin{array}{ll} \text{AN} = P \text{ LKANMQ} & L = 1246.372 \text{ t} \\ \text{2Q L } \text{2EGD} & L = 1.2 * 145.187 \text{ L } 174.224 \text{ t} \end{array}$$

Penulangan Arah X

Penulangan lentur:

$$\begin{array}{ll} 2Q & L = 174.224 \text{ t} \\ MQ & L \text{ ut } \ddot{a}wx \text{ t/m layer } 0.8 \text{ m, } 68.544 \text{ t/m layer } 1.7 \text{ m} \end{array}$$

Momen – momen yang bekerja:

$$\begin{array}{ll} / & L : 2P H T; F \underset{6}{\overset{5}{\text{MH}}} H A \\ & L : y H \text{ syv } \ddot{a}tv : v \ddot{a}w E t \ddot{a}ww E r \ddot{a}w; F \text{ svys } \ddot{a}tw \\ & L 7858.7 \text{ tm} \\ & L 78586994939 \text{ Nmm} \\ \text{EJ} & L \frac{58}{U} L \frac{58}{844} L r \ddot{a}ruw \\ I & L \frac{U}{4 \ddot{a}9 H U} \\ 4J & L \frac{\ddot{a}E}{\% O \times} L \frac{; < : = 8 = 7 =}{4 \ddot{a}H 5444 H 6854 \ddot{a}g} L sw \ddot{a}u \\ \text{LANHQ} & \frac{5}{a} 1 s F \ddot{a} s F \frac{6 \ddot{a}}{U} p L \frac{5}{55 \ddot{a}: 9} F s F \ddot{a} s F \frac{6 H 55 \ddot{a}: 9 H 59 \ddot{a}7}{844} G \\ & L r \ddot{a}wx s \end{array}$$

ØPANHQ PANEHQ H ES H

L r áwx s H srrr H2410.5

L 135104.1688 mm²

J L $\frac{^{\circ}38}{^{\circ}2} \frac{6}{6=}$ L $\frac{579548}{.89} \frac{5::<<}{.89}$ L tr{ äxu N tsr buah

5 L $\frac{\tilde{6}}{5} \frac{5::44}{654} \frac{5}{5}$ L zr äz mm

Maka dipasang tulangan lentur arah X D29-75 mm

Penulangan Arah Y

N=P LKANHQ L 246.372 t

Q L ZEGD L 1.2*145.187 L 174.224 t

Penulangan Arah Y

Penulangan lentur:

2Q L 174.224 t

MQ L ut äwx t/m layer 0.8 m, 68.544 t/m layer 1.7 m

Momen – momen yang bekerja:

/ L : 2P H T; F $\frac{5}{6}$ MH HA

L : y H syv ätv : vñv E t äwwE r äw; F svys ätw

L 7858.7 tm

L 78586994939 Nmm

EJ L $\frac{58}{U} \frac{58}{844}$ L r áruw

I L $\frac{U}{4\pi^2 H^2}$ —————

4J L $\frac{AE}{\%Ox} \frac{;9::=8=7=}{4\pi H 5444 H 67 < 5 g} L 15.39$

LANHQL $\frac{5}{a} 1s F \frac{6E}{U} p L \frac{5}{55a:9} Fs F \frac{6H55a:9}{844} \frac{e59g}{844} G$

L 0.06

ELANHQL ELANHQH > S H @

L r áx H srrr H tuzs äw

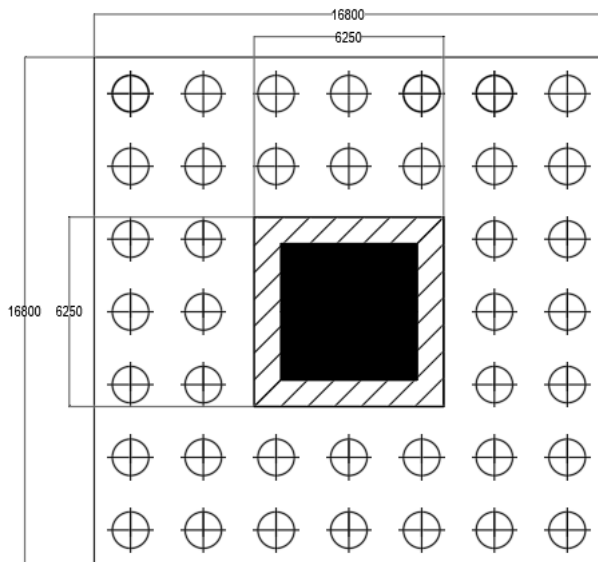
L 140247.3796 mm²

$$\begin{aligned}
 & P = L \frac{\phi B}{\alpha_s^2} = L \frac{58468; \text{ at } :89}{5:44} = L 217.44 \text{ N tsz buah} \\
 & 5 = L \frac{\phi}{\alpha_s} = L \frac{5:44}{65:5} = L \text{ yy at mm}
 \end{aligned}$$

Maka dipasang tulangan lentur arah Y D29-75 mm

4.16. 2 Punching Shear

Bagian geser adalah pada d/2 dari muka kolom, seperti pada gambar dibawah.



Gambar 4. 50 Critical Punching Surface

$$a_1 = 6.25 \text{ m}$$

$$b_1 = 6.25 \text{ m}$$

$$U = 2(a_1 + b_1) = 25 \text{ m}$$

Pada SNI tidak memberikan prosedur eksplisit untuk memperhitungkan *punching load* pada pile cap. Sehingga punching load dapat diasumsikan sama dengan beban kolom dikurang berat dari bagian pile yang terletak pada $d/2$ ($1200/2=600\text{mm}$). Punching Load bisa diperhitungkan sebagai berikut:

$$\lambda = 0,375$$

$$\beta = 1$$

$$\begin{aligned} P_{u,\text{punch}} &= P_u + W_u - P_{\text{pile}}(\text{dalam } d/2) \\ &= P_u + W_u - (n \cdot \lambda \cdot P_{u,\text{pile}}) \\ &= 47800 + 1181.1744 - (49 \times 0,375 \times 1216,6) \\ &= 26626,1494 \text{ kN} \end{aligned}$$

Tegangan geser pada Punching area:

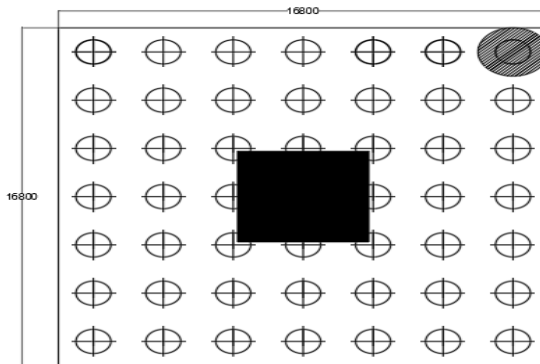
$$\begin{aligned} \tau_u &= P_{u,\text{punch}} / (U.d) \\ &= 26626,1494 / (25000 \times 2500) = 0,004 \text{ MPa} \end{aligned}$$

$$\begin{aligned} \sigma_o &= \frac{5}{7} T \sqrt{B} \quad T \text{ dan } T @ \\ &= \frac{5}{7} T \sqrt[3]{4\pi r} \quad T_{\text{twrrr}} \quad T_{\text{twrr}} \\ &= 131761569 \text{ N} \end{aligned}$$

Kapasitas geser beton:

$$\begin{aligned} V_c &= 1,318 \times 10^8 \text{ N} > P_{u,\text{puch}} = 2,663 \times 10^7 \text{ N} \text{ (OK)} \\ \tau_c &= 0,33 \lambda (f'_c)^{0,5} \\ &= 0,33 \times 1 \times (40)^{0,5} \\ &= 2,087 \text{ MPa} > \tau_u = 0,004 \text{ MPa} \text{ (OK)} \end{aligned}$$

Sehingga ketebalan pile cap memenuhi persyaratan untuk punching shear.



Gambar 4. 51 Kritical Punching Pile

$$P_{u,pile} = 1216.6 \text{ kN}$$

$$U = 7.54 \text{ m}$$

Tegangan geser ultimate:

$$\tau_u = P_{u,pile}/U.d = 2433200 / 7540 \times 1500 = 0,215 \text{ MPa}$$

$$\tau_u = 0,215 \text{ MPa} < \tau_c = 2.087 \text{ MPa (OK)}$$

4.17 Metode Pelaksanaan

4.17.1 Umum

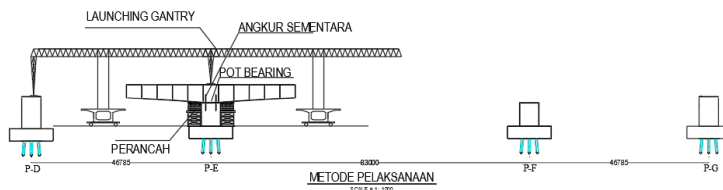
Salah satu metode alternatif pelaksanaan pembangunan jembatan adalah digunakan untuk kontruksi kantilever seimbang salah satunya dengan menggunakan launching gantry.

Dalam tugas akhir ini akan digunakan metode pelaksanaan kontruksi kantilever seimbang dengan menggunakan Form Traveler, dengan mendesain ulang dengan bentang sepanjang 171 m yang dibagi menjadi 3 bentang. Bentang yang terbesar 83 m dan dua bentang lainnya 45 m.

Tahap Persiapan Kontruksi Jembatan

Kontruksi jembatan pada bagian atas jalan raya secara balance cantilever baru akan dimulai setelah pilar PD-PG telah ada. Jembatan selain bentang tersebut menggunakan tipe I girder.

Metode pelaksanaan secara segmental yang akan diterapkan pada jembatan ini. Dalam hal ini alat bantu yang digunakan adalah launching gantry dengan prinsip segmental Balance Cantilever. Tiap segmen balok akan diangkat dan dipasang secara bertahap sampai tercapai bentang jembatan keseluruhan. Pelaksanaan dilakukan diawali dari segmen di bawah oleh truk dan diposisikan dibawah bentang yang akan terpasang. Segmen box pracetak diangkut dengan alat launching gantry untuk kemudian diangkat dengan satu persatu. Setelah terangkat kemudian box dipindahkan dan diturunkan menuju lokasi maupun elevasi yang sesuai, lalu dapat segera dilakukan stressing setiap sepasang segmen box girder telah diturunkan. Pelaksanaan ini dilakukan dengan metode balance cantilever. Untuk menahan momen lentur yang dihasilkan oleh konstruksi kantilever, maka perlu dipasang penyambung sementara (temporary connection) yang terletak pada tumpuan dan menghubungkan antara pilar dengan box girder. Temporary connection adalah berupa angkur sementara, yakni antara deck dan pilar. Sistem penarikan tendon (jacking) dilakukan sesuai dengan system balance cantilever yaitu dengan melakukan stressing berturut-turut.



Gambar 4. 52 Metode Balance Cantilever (Launching Gantry)

4.17.2 Prinsip Tahap Stressing Tendon

Selama tahap stressing tendon menggunakan internal prestressing dilakukan dalam tiga tahap utama, yaitu :

Tahap 1 : Pemasangan tendon dilakukan setelah posisi box girder telah dilakukan tepat pada posisi yang diinginkan. Pemasangannya dimulai dari atas pilar kemudian dilanjutkan dengan pemasangan box selanjutnya di samping kiri dan kanannya secara konstan dan seimbang. Tendon yang digunakan pada proses ini disebut tendon kantilever.

Tahap 2 : Pada tahap ini pemasangan tendon menerus dilakukan segera setelah beton penyambung pada tengah bentang selesai dicor sehingga jembatan telah menjadi balok menerus.

Tahap Pelaksanaan Post Tension

Penempatan posisi box girder

-Box girder pracetak diangkat dari bawah bentang jembatan kemudian diangkat dengan launching gantry kemudian diangkur menuju posisi yang diinginkan.

- Saat box girder diturunkan sesuai dengan elevasi yang diinginkan kemudian box girder dilakukan pemasangan tendon kantilever. Kemudian dilakukan proses jacking pada tendon kantilever. Fungsi tendon kantilever disini yaitu untuk menahan beban mati akibat berat sendiri.
- Setelah dilakukan jacking tendon kantilever sendiri akan dilakukan pemasangan kabel prategang

4.17.3 Pemasangan kabel prategang

- Strand/kabel prategang dimasukkan kedalam duct secara manual pada saat posisi/ elevasi box girder telah sesuai.

4.17.4 Penarikan kabel prategang

- Stressing dapat secara dilaksanakan setelah pemasangan strand/kabel prategang
- Stressing (penarikan) dilakukan sesuai dengan perhitungan sebelumnya dari gaya F yang diperlukan pada masing-masing joint.

4.17.5 Tahap Stressing Continuity Tendon

Pekerjaan tendon menerus dilakukan setelah pemasangan segmen dilakukan secara menyeluruh. Hal yang dilakukan pertama yaitu instalasi strand untuk continuity tendon yang telah bisa diinstalasi, kemudian dilakukan proses jacking dengan F rencana.

BAB V

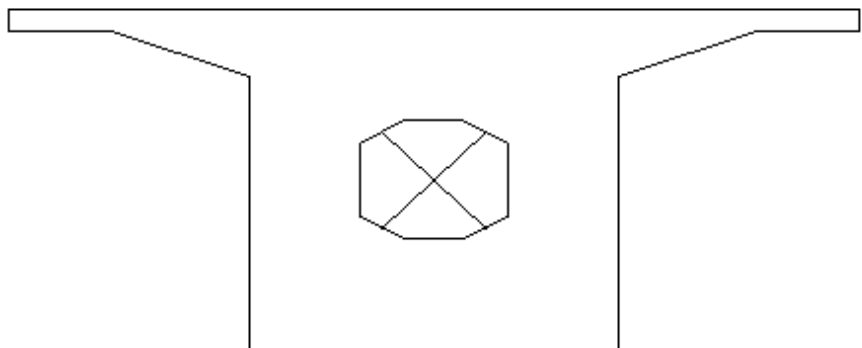
KESIMPULAN DAN SARAN

5.1 Kesimpulan

Berdasarkan keseluruhan hasil analisa yang telah dilakukan dalam modifikasi perencanaan Fly Over Lingkar dalam barat Surabaya dengan Struktur Box Girder Pratekan dapat ditarik kesimpulan, yaitu:

- Fly Over Lingkar dalam barat Surabaya direncanakan sepanjang 173 m dengan bentang terpanjang 83 m pada bagian PD-PG menggunakan penampang box girder beton dengan mutu 57 MPa dengan tinggi box 4 m s/d 4,6 m, lebar jembatan 11.5 m dengan data penampang sebagai berikut:

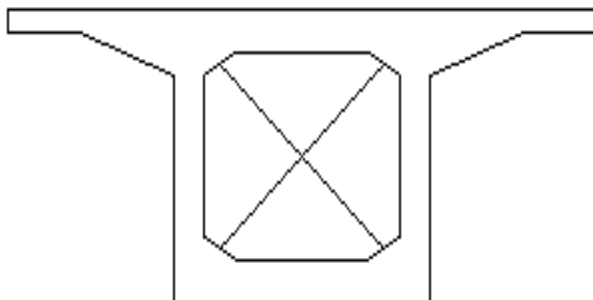
Penampang tumpuan



Gambar 5. 1 Desain Penampang Tumpuan

| | | |
|----------------------|-------------------------|---------------------------|
| $T = 4.6 \text{ m}$ | $A = 23.42 \text{ m}^2$ | $I_x = 41.13 \text{ m}^4$ |
| $B = 11.5 \text{ m}$ | $Y_a = 2.03 \text{ m}$ | |
| $B_w = 5 \text{ m}$ | $Y_b = 2.57 \text{ m}$ | |

Penampang Lapangan



Gambar 5. 2 Desain Penampang Lapangan

Desain Penampang Tumpuan

| | | |
|----------------------|--------------------------|---------------------------------------|
| T = 4 m | A = 23.42 m ² | I _x = 24.81 m ⁴ |
| B = 11.5 m | Y _a = 1.59 m | |
| B _w = 5 m | Y _b = 2.41 m | |

- Tendon yang direncanakan adalah baja prategang dengan tegangan putus 1860 MPa unit 6-55 sebanyak 14 buah, 6-43 sebanyak 2, 6-37 sebanyak 12 buah, 6-15 sebanyak 10 buah dan 6-12 sebanyak 2 buah ($F_o = 244327 \text{ kN}$) dengan angkur hidup tipe 6-55 di kedua ujungnya dan telah memenuhi kriteria tegangan ijin.
- Tulangan geser 4D25-200 mm, tulangan plat atas D25-200, dan tulangan plat bawah D19-200
- Menggunakan tumpuan jenis pot bearing dengan tipe PL 560/400 AA dan PU tipe khusus pada pilar D, PU tipe khusus dan PF tipe khusus pada pilar E, PL 3350/2400 AA dan PU tipe khusus pada pilar F, PL 560/400 AA dan PU tipe khusus pada pilar G

- Kolom pilar direncanakan dengan dimensi $4.5 \times 4.5 \times 6.05 \text{ m}^3$ dengan mutu beton 40 MPa dan menggunakan tulangan lentur sebanyak 191D32 dengan $As = 156505 \text{ mm}^2$ rasio tulangan 1,32% serta tulangan geser D16-125
- Pondasi yang digunakan adalah pondasi tiang pancang tipe A3 dengan diameter 1200 mm dan direncanakan sejumlah 49 tiang per pilar.
- Pile Cap menggunakan mutu beton 40 MPa dengan ketebalan 2.5 m dan menggunakan tulangan utama D29-75

5.2. Saran

- Dibutuhkan referensi atau peraturan di Indonesia untuk merencanakan jembatan terutama untuk struktur pratekan.

Halaman ini sengaja dikosongkan

DAFTAR PUSTAKA

- Badan Standarisasi Nasional. 2004. *Perencanaan Struktur Beton untuk Jembatan (RSNI T 12-2004)*.
- Badan Standarisasi Nasional. 2005. *Standar Pembebaan untuk Jembatan (RSNI T-02-2005)*.
- Badan Standarisasi Nasional. 2013. *Perencanaan Jembatan Terhadap Beban Gempa (RSNI 2833-2013)*.
- Badan Standarisasi Nasional. 2013. *Persyaratan Beton Struktural Untuk Bangunan Gedung (SNI 2847-2013)*.
- Hadipratomo, Winarno. 1988. *Struktur Beton Prategang - Teori dan Prinsip Desain*. Bandung: Nova.
- Lin, T. Y. 2000. *Desain Struktur Beton Prategang Jilid 1 (Terjemahan)*. Jakarta: Binarupa Aksara Jakarta.
- Meyer, C. 1970. *Analysis and Design of Curved Box Girder Bridges*. Berkeley: University of California.
- Maroliya, M K. 2012. *Comparative Study Of Flexural Behavior Of Reinforced Concrete Beam And Prestressed Concrete Beam*. International Journal Of Engineering Research And Applications (IJERA), Volume 2, Issue 6, November-Desember 2012, pp.230-233.
- Nawy, Edward G. 2001. *Beton Prategang - Suatu Pendekatan Mendasar Jilid I*. Jakarta: Erlangga.
- Nutt, Redfield, and Valentine. *Development of Design Specifications and Commentary for Horizontally Curved*

Concrete Box Girder Bridges. Washington, D. C.: Transportation Research Board, 2008.

PCI Design Book.2010.*Precast And Prestressed Concrete Concrete 7th Edition (ISBN 978-0-937040-87-4).*

Podalny Jr., Walter and Jean M. Muller.1982. *Contruction and Design of Prestressed Concrete Segmental Brigdes.* New York: John Wiley & Sons,Inc.

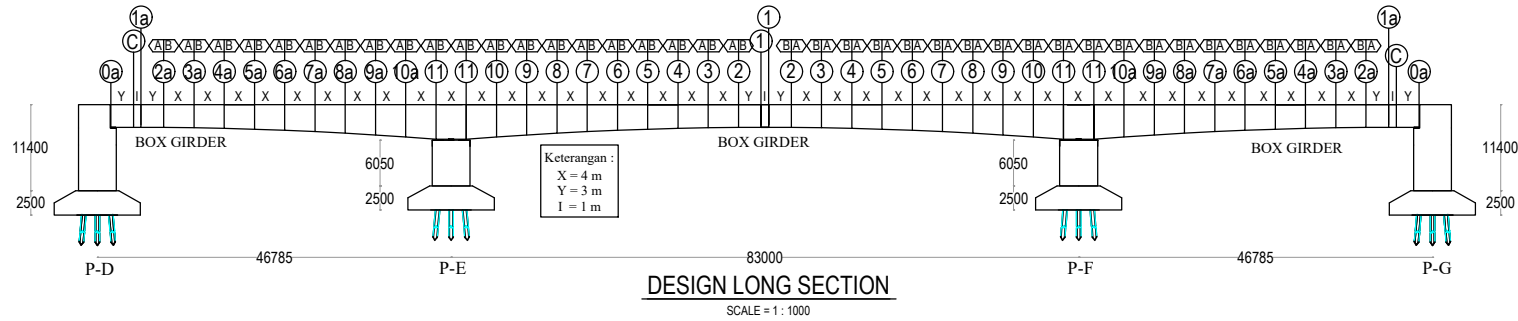
Post-Tensioned Box Girder Design Manual. Federal Highway Administration - U.S. Department of Transportation, 2015.

Rombach, G. 2002. *Precast segmental box girder bridges with external prestressing - design and construction -.*INSA Rennes. Februari 2002.pp.4

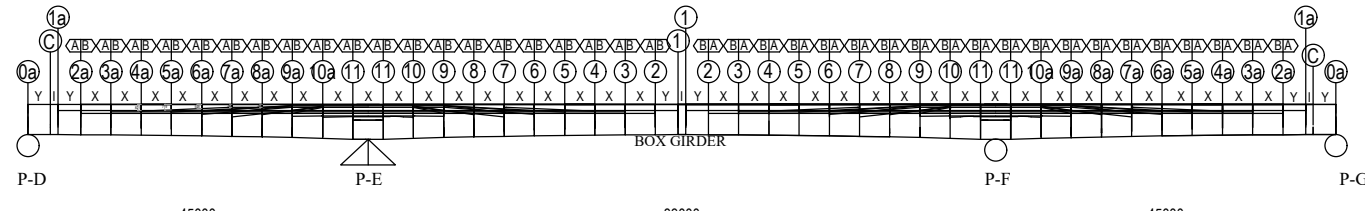
Sudarmono. 2002. *Struktur Beton Prategang Edisi 3.* Semarang: Jurusan Teknik Sipil Politeknik Negeri Semarang.

Wahjudi, Herman. 1999. *Daya Dukung Pondasi Dalam.* Surabaya: Jurusan Teknik Sipil Fakultas Teknik Sipil dan Perencanaan Institut Teknologi Sepuluh Nopember.

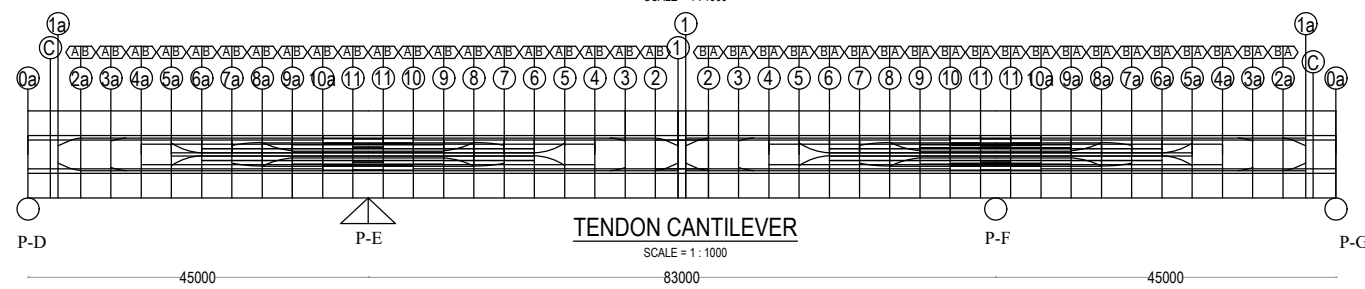
LAMPIRAN



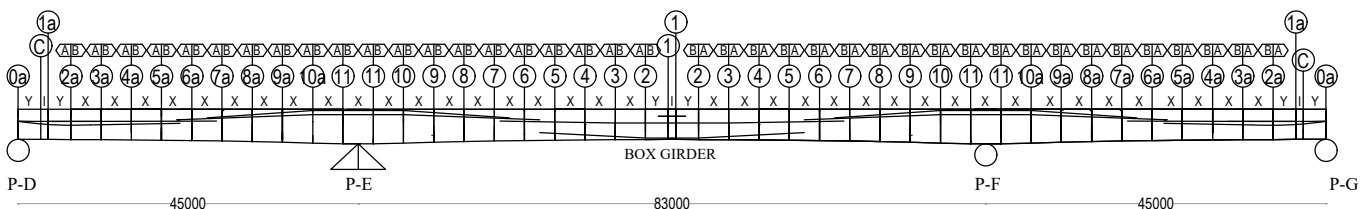
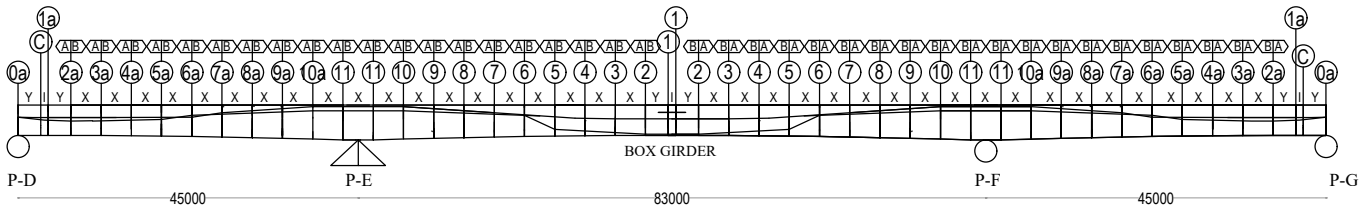
| DEPARTEMEN TEKNIK SIPIL | JUDUL TUGAS AKHIR | MAHASISWA | DOSSEN KONSULTASI | SKALA | NOMOR GAMBAR | CATATAN |
|---|--|--------------------------------------|---|--------|---------------|---------|
| FAKULTAS TEKNIK SIPIL, LINGKUNGAN DAN KEBUMIAN INSTITUT TEKNOLOGI SEPULUH NOPEMBER SURABAYA | MODIFIKASI PERENCANAAN FLY OVER LINGKAR DALAM BARAT SURABAYA DENGAN MENGGUNAKAN BALOK BOX GIRDER PRATEKAN | IRVAN PRATAMA PASAK 0311124000066 | Prof. Dr. Ir. I GUSTI PUTU RAKA DATA IRANATA, ST. MT. PhD | 1:1000 | 01 | |
| | | | | | JUMLAH GAMBAR | |
| | | | | | 35 | |



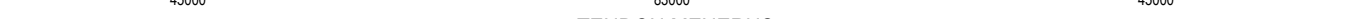
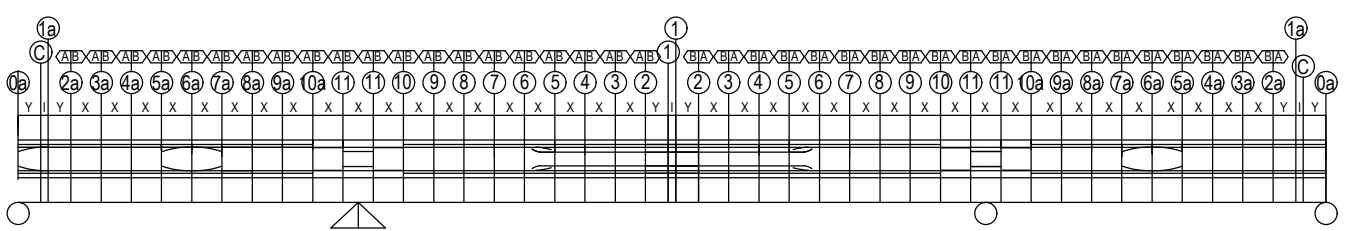
Keterangan :
 X = 4 m
 Y = 3 m
 I = 1 m



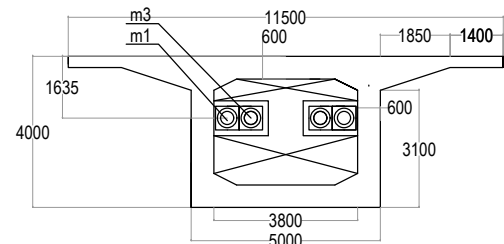
| DEPARTEMEN TEKNIK SIPIL | JUDUL TUGAS AKHIR | MAHASISWA | DOSSEN KONSULTASI | SKALA | NOMOR GAMBAR | CATATAN |
|---|--|--------------------------------------|---|--------|---------------------------|---------|
| FAKULTAS TEKNIK SIPIL, LINGKUNGAN DAN KEBUMIAN INSTITUT TEKNOLOGI SEPULUH NOPEMBER SURABAYA | MODIFIKASI PERENCANAAN FLY OVER LINGKAR DALAM BARAT SURABAYA DENGAN MENGGUNAKAN BALOK BOX GIRDER PRATEKAN | IRVAN PRATAMA PASAK 0311124000066 | Prof. Dr. Ir. I GUSTI PUTU RAKA DATA IRANATA, ST. MT. PhD | 1:1000 | 02 JUMLAH GAMBAR 35 | |



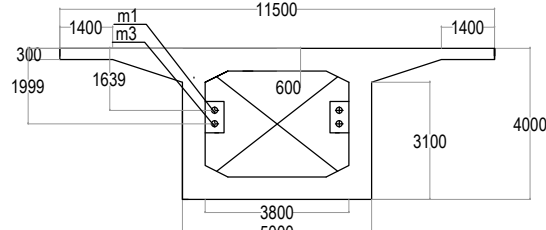
Keterangan :
 X = 4 m
 Y = 3 m
 I = 1 m



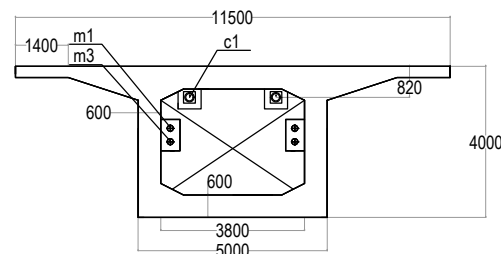
| DEPARTEMEN TEKNIK SIPIL | JUDUL TUGAS AKHIR | MAHASISWA | DOSSEN KONSULTASI | SKALA | NOMOR GAMBAR | CATATAN |
|--|---|--------------------------------------|---|--------|---------------------------|---------|
| FAKULTAS TEKNIK SIPIL, LINGKUANGAN DAN KEBUMIAN INSTITUT TEKNOLOGI SEPULUH NOPEMBER SURABAYA | MODIFIKASI PERENCANAAN FLY OVER LINGKAR DALAM BARAT SURABAYA DENGAN MENGUNAKAN BALOK BOX GIRDER PRATEKAN | IRVAN PRATAMA PASAK 0311124000066 | Prof. Dr. Ir. I GUSTI PUTU RAKA DATA IRANATA, ST. MT. PhD | 1:1000 | 03 JUMLAH GAMBAR 35 | |

A

BOX GIRDER DESIGN JOINT 0a
SCALE 1 : 200

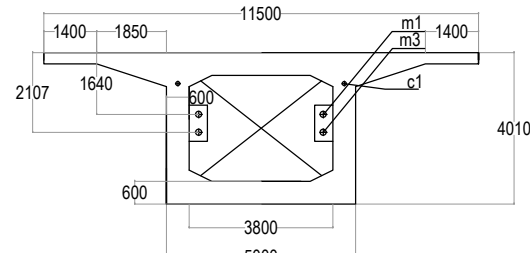


BOX GIRDER DESIGN JOINT 1a
SCALE 1 : 200

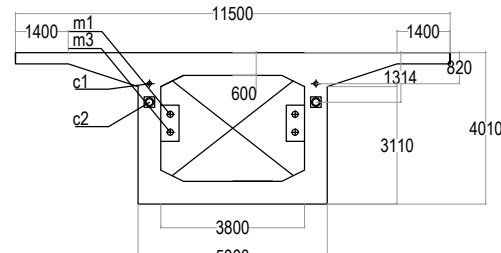


BOX GIRDER DESIGN JOINT 1a
SCALE 1 : 200

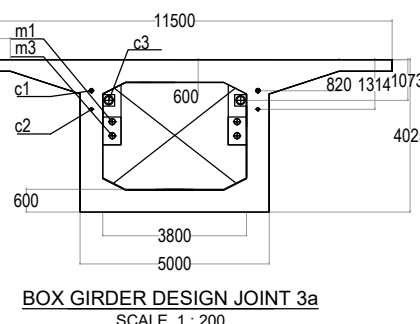
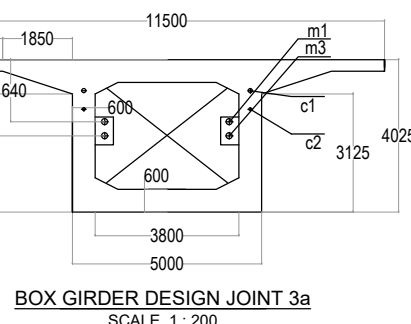
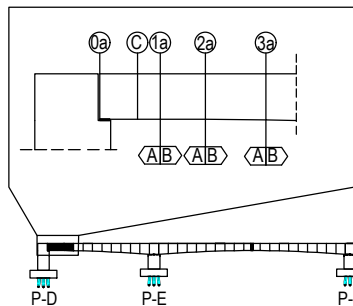
| TENDON | KETERANGAN |
|--------|---------------------|
| m1 | TENDON MENERUS 1 |
| m3 | TENDON MENERUS 3 |
| C1 | TENDON KANTILEVER 1 |
| C2 | TENDON KANTILEVER 2 |
| C3 | TENDON KANTILEVER 3 |



BOX GIRDER DESIGN JOINT 2a
SCALE 1 : 200



BOX GIRDER DESIGN JOINT 2a
SCALE 1 : 200



BOX GIRDER DESIGN JOINT 3a
SCALE 1 : 200



DEPARTEMEN TEKNIK SIPIL

FAKULTAS TEKNIK SIPIL, LINGKUNGAN DAN KEBUMIAN
INSTITUT TEKNOLOGI SEPULUH NOPEMBER
SURABAYA

JUDUL TUGAS AKHIR

MODIFIKASI PERENCANAAN
FLY OVER
LINGKAR DALAM BARAT
SURABAYA DENGAN
MENGGUNAKAN BALOK
BOX GIRDER PRATEKAN

MAHASISWA

IRVAN PRATAMA PASAK
031124000066

DOSEN KONSULTASI

Prof. Dr. Ir. I GUSTI
PUTU RAKA
DATA IRANATA, ST, MT, PhD

SKALA

1:200

NOMOR GAMBAR

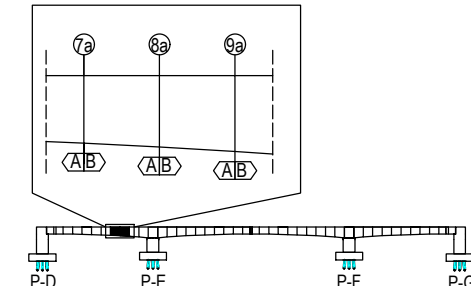
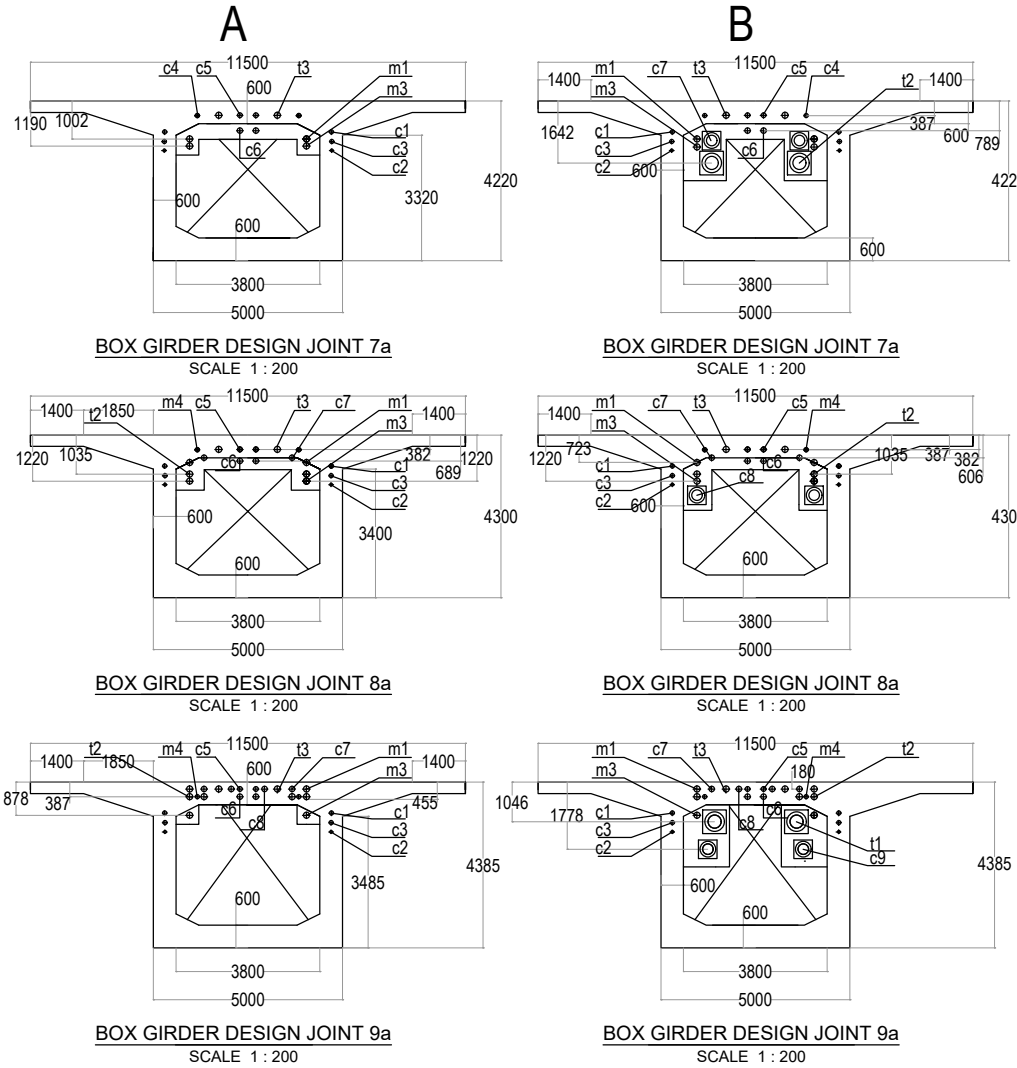
04

JUMLAH GAMBAR

35

CATATAN

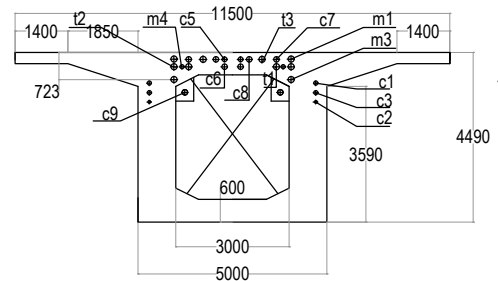
| TENDON | KETERANGAN |
|--------|---------------------|
| m1 | TENDON MENERUS 1 |
| m3 | TENDON MENERUS 3 |
| C1 | TENDON KANTILEVER 1 |
| C2 | TENDON KANTILEVER 2 |
| C3 | TENDON KANTILEVER 3 |
| C4 | TENDON KANTILEVER 4 |
| C5 | TENDON KANTILEVER 5 |
| C6 | TENDON KANTILEVER 6 |
| C7 | TENDON KANTILEVER 7 |
| C8 | TENDON KANTILEVER 8 |
| C9 | TENDON KANTILEVER 9 |
| t3 | TENDON TAMBAHAN 3 |
| t2 | TENDON TAMBAHAN 2 |
| t1 | TENDON TAMBAHAN 1 |



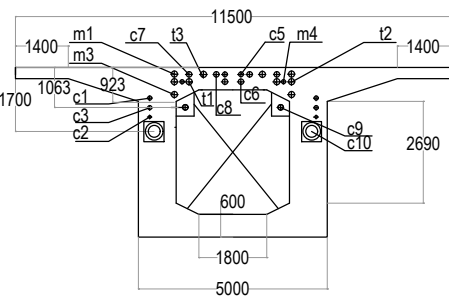
| DEPARTEMEN TEKNIK SIPIL FAKULTAS TEKNIK SIPIL, LINGKUNGAN DAN KEBUMIAN INSTITUT TEKNOLOGI SEPULUH NOPEMBER SURABAYA | JUDUL TUGAS AKHIR MODIFIKASI PERENCANAAN FLY OVER LINGKAR DALAM BARAT SURABAYA DENGAN MENGGUNAKAN BALOK BOX GIRDER PRATEKAN | MAHASISWA IRVAN PRATAMA PASAK 0311124000066 | DOSSEN KONSULTASI Prof. Dr. Ir. I GUSTI PUTU RAKA DATA IRANATA, ST. MT. PhD | SKALA 1:200 | NOMOR GAMBAR 05 JUMLAH GAMBAR 36 | CATATAN |
|--|---|---|--|----------------|---|---------|
|--|---|---|--|----------------|---|---------|

| TENDON | KETERANGAN |
|--------|----------------------|
| m1 | TENDON MENERUS 1 |
| m3 | TENDON MENERUS 3 |
| C1 | TENDON KANTILEVER 1 |
| C2 | TENDON KANTILEVER 2 |
| C3 | TENDON KANTILEVER 3 |
| C4 | TENDON KANTILEVER 4 |
| C5 | TENDON KANTILEVER 5 |
| C6 | TENDON KANTILEVER 6 |
| C7 | TENDON KANTILEVER 7 |
| C8 | TENDON KANTILEVER 8 |
| C9 | TENDON KANTILEVER 9 |
| C10 | TENDON KANTILEVER 10 |
| C11 | TENDON KANTILEVER 11 |
| t3 | TENDON TAMBAHAN 3 |
| t2 | TENDON TAMBAHAN 2 |
| t1 | TENDON TAMBAHAN 1 |

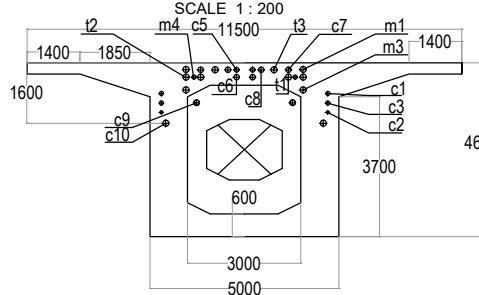
A



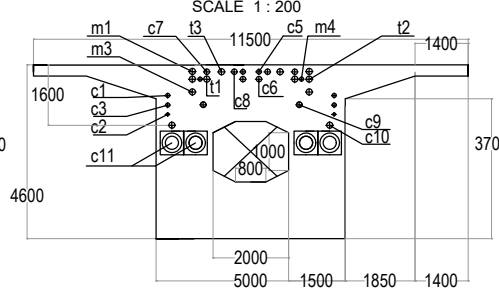
B



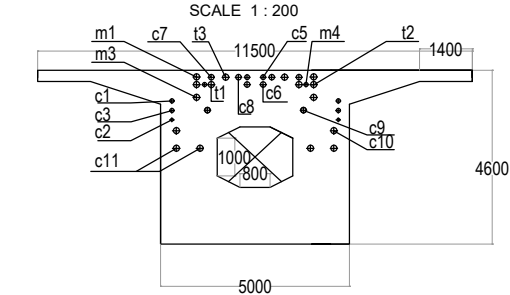
BOX GIRDER DESIGN JOINT 10a



BOX GIRDER DESIGN JOINT 10a



BOX GIRDER DESIGN JOINT 11

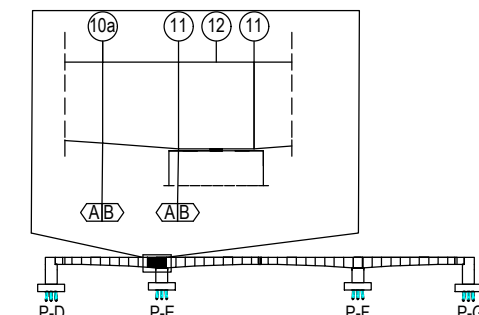


BOX GIRDER DESIGN JOINT 11

SCALE 1 : 200

BOX GIRDER DESIGN TITIK 12

SCALE 1 : 200



DEPARTEMEN TEKNIK SIPIL

FAKULTAS TEKNIK SIPIL, LINGKUNGAN DAN KEBUMIAN

INSTITUT TEKNOLOGI SEPULUH NOPEMBER

SURABAYA

JUDUL TUGAS AKHIR

MODIFIKASI PERENCANAAN
FLY OVER
LINGKAR DALAM BARAT
SURABAYA DENGAN
MENGUNAKAN BALOK
BOX GIRDER PRATEKAN

MAHASISWA

IRVAN PRATAMA PASAK
0311124000066

DOSEN KONSULTASI

Prof. Dr. Ir. I GUSTI
PUTU RAKA
DATA IRANATA, ST. MT. PhD

SKALA

1:200

NOMOR GAMBAR

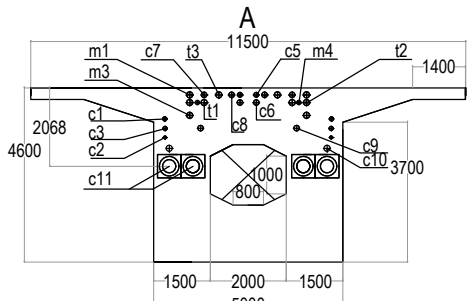
06

JUMLAH GAMBAR

35

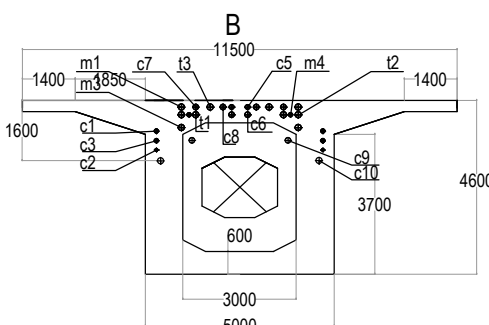
CATATAN

| TENDON | KETERANGAN |
|--------|----------------------|
| m1 | TENDON MENERUS 1 |
| m3 | TENDON MENERUS 3 |
| C1 | TENDON KANTILEVER 1 |
| C2 | TENDON KANTILEVER 2 |
| C3 | TENDON KANTILEVER 3 |
| C4 | TENDON KANTILEVER 4 |
| C5 | TENDON KANTILEVER 5 |
| C6 | TENDON KANTILEVER 6 |
| C7 | TENDON KANTILEVER 7 |
| C8 | TENDON KANTILEVER 8 |
| C9 | TENDON KANTILEVER 9 |
| C10 | TENDON KANTILEVER 10 |
| C11 | TENDON KANTILEVER 11 |
| t3 | TENDON TAMBAHAN 3 |
| t2 | TENDON TAMBAHAN 2 |
| t1 | TENDON TAMBAHAN 1 |



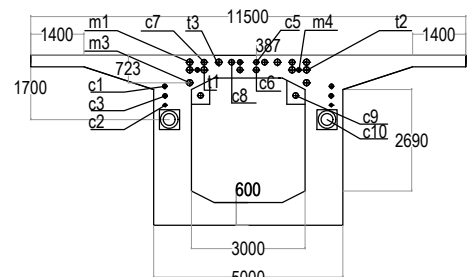
BOX GIRDER DESIGN JOINT 11

SCALE 1 : 200



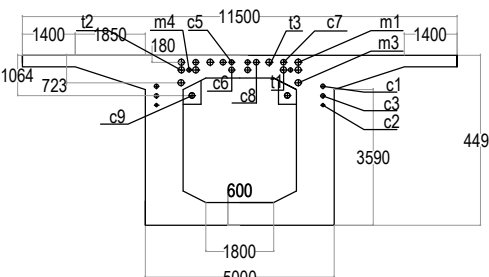
BOX GIRDER DESIGN JOINT 11

SCALE 1 : 200



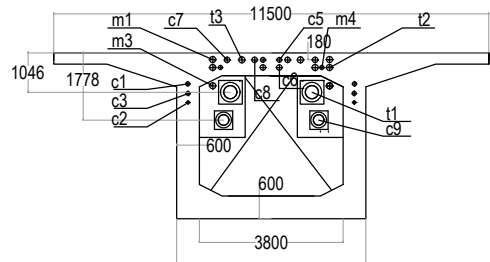
BOX GIRDER DESIGN JOINT 10

SCALE 1 : 200



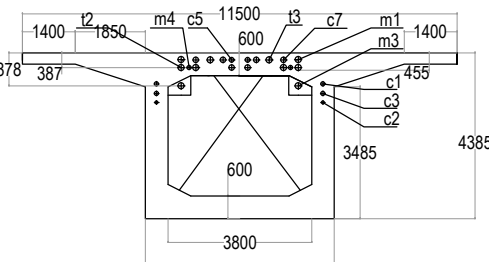
BOX GIRDERS DESIGN JOINT 10

SCALE 1 : 200



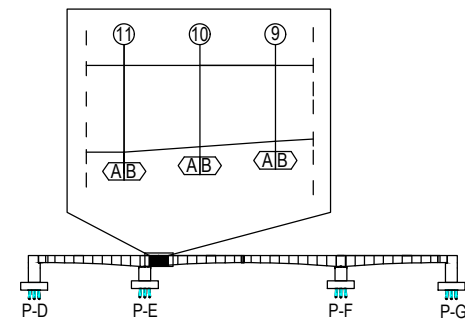
BOX GIRDERS DESIGN - JOINT 9

SCAL E 1 : 20



3000
BOX CIRCLIP DESIGN, JOINT 2

ORDER DESIGN



DEPARTEMEN TEKNIK SIPIL

FAKULTAS TEKNIK SIPIL, LINGKUNGAN DAN KEBUMIAN
INSTITUT TEKNOLOGI SEPULUH NOPEMBER
SURABAYA

JUDUL TUGAS AKHIR

MODIFIKASI PERENCANAAN
FLY OVER
LINGKAR DALAM BARAT
SURABAYA DENGAN
MENGGUNAKAN BALOK
BOX GIRDER PRATEKAN

MAHASISWA

K Prof. Dr. Ir. I GUSTI
PUTU RAKA
DATA IRANATA ST. MT. PhD

SKALA

NOMOR GAMBAR
07
JUMLAH GAMBAR

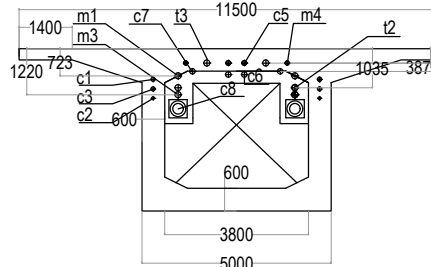
07

JUMLAH GAMBAR

35

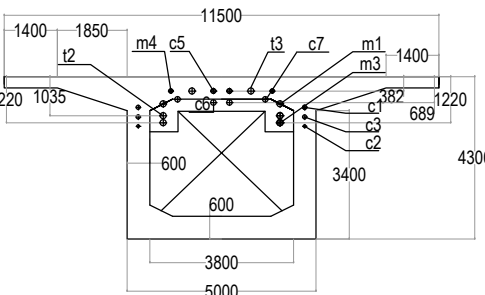
| TENDON | KETERANGAN |
|--------|---------------------|
| m1 | TENDON MENERUS 1 |
| m3 | TENDON MENERUS 3 |
| C1 | TENDON KANTILEVER 1 |
| C2 | TENDON KANTILEVER 2 |
| C3 | TENDON KANTILEVER 3 |
| C4 | TENDON KANTILEVER 4 |
| C5 | TENDON KANTILEVER 5 |
| C6 | TENDON KANTILEVER 6 |
| C7 | TENDON KANTILEVER 7 |
| C8 | TENDON KANTILEVER 8 |
| C9 | TENDON KANTILEVER 9 |
| t3 | TENDON TAMBAHAN 3 |
| t2 | TENDON TAMBAHAN 2 |
| t1 | TENDON TAMBAHAN 1 |

A

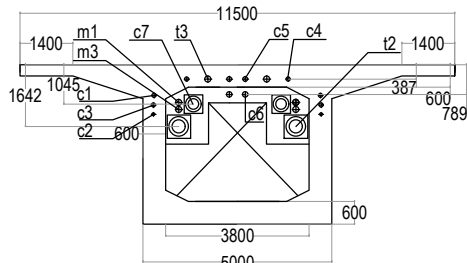


BOX GIRDER DESIGN JOINT 8
SCALE 1 : 200

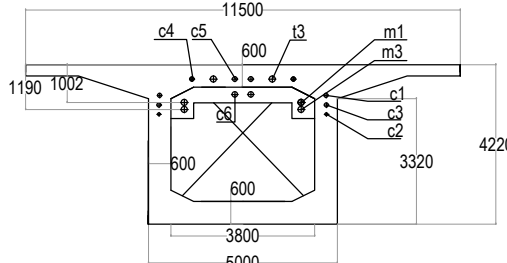
B



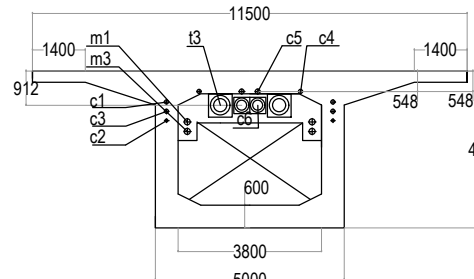
BOX GIRDER DESIGN JOINT 8
SCALE 1 : 200



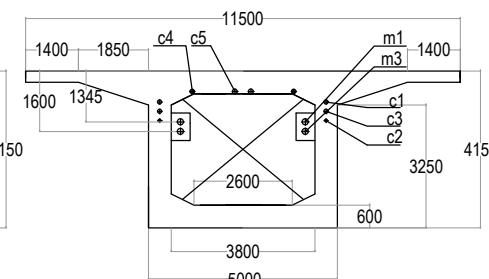
BOX GIRDER DESIGN JOINT 7
SCALE 1 : 200



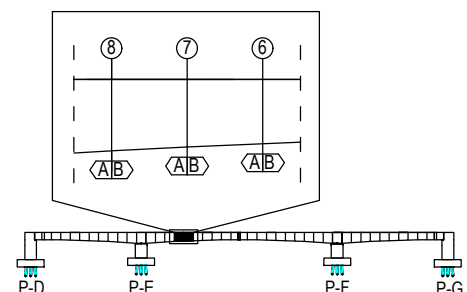
BOX GIRDER DESIGN JOINT 7
SCALE 1 : 200



BOX GIRDER DESIGN JOINT 6
SCALE 1 : 200



BOX GIRDER DESIGN JOINT 6
SCALE 1 : 200



DEPARTEMEN TEKNIK SIPIL

FAKULTAS TEKNIK SIPIL, LINGKUNGAN DAN KEBUMIAN
INSTITUT TEKNOLOGI SEPULUH NOPEMBER
SURABAYA

JUDUL TUGAS AKHIR

MODIFIKASI PERENCANAAN
FLY OVER
LINGKAR DALAM BARAT
SURABAYA DENGAN
MENGGUNAKAN BALOK
BOX GIRDER PRATEKAN

MAHASISWA

IRVAN PRATAMA PASAK
031124000066

DOSEN KONSULTASI

Prof. Dr. Ir. I GUSTI
PUTU RAKA
DATA IRANATA, ST, MT, PhD

SKALA

1:200

NOMOR GAMBAR

08

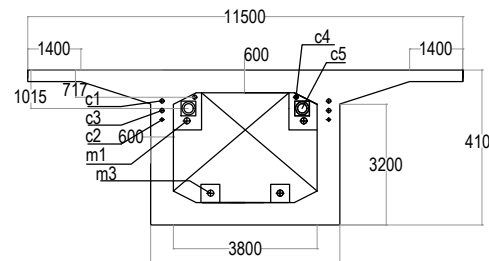
JUMLAH GAMBAR

35

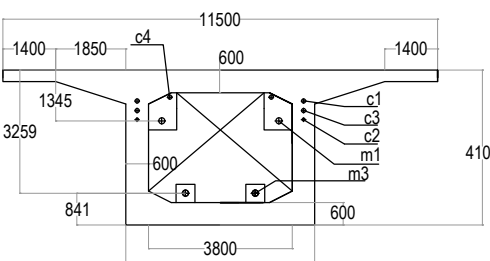
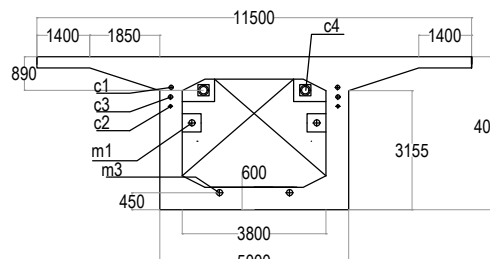
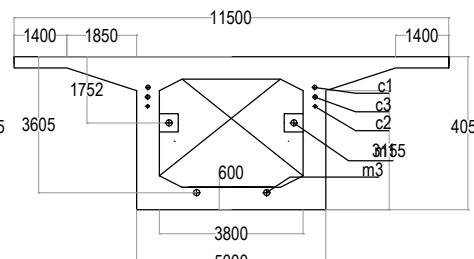
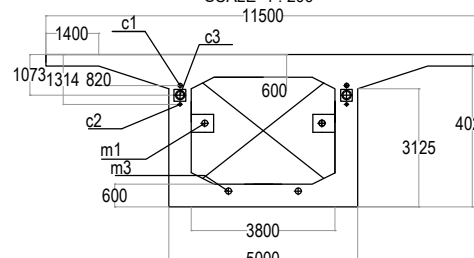
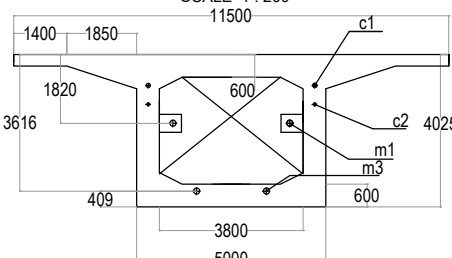
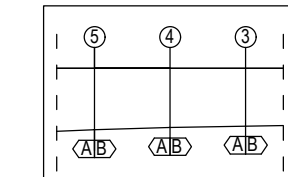
CATATAN

| TENDON | KETERANGAN |
|--------|---------------------|
| m1 | TENDON MENERUS 1 |
| m3 | TENDON MENERUS 3 |
| C1 | TENDON KANTILEVER 1 |
| C2 | TENDON KANTILEVER 2 |
| C3 | TENDON KANTILEVER 3 |
| C4 | TENDON KANTILEVER 4 |
| C5 | TENDON KANTILEVER 5 |

A

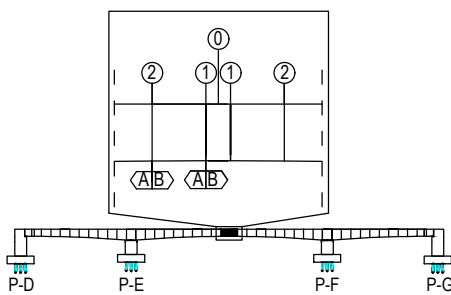
BOX GIRDER DESIGN JOINT 5
SCALE 1 : 200

B

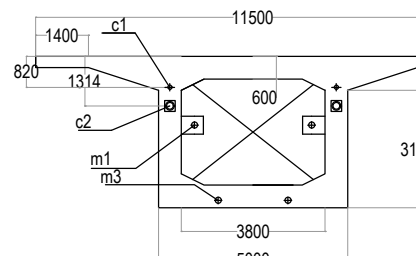
BOX GIRDER DESIGN JOINT 5
SCALE 1 : 200BOX GIRDER DESIGN JOINT 4
SCALE 1 : 200BOX GIRDER DESIGN JOINT 4
SCALE 1 : 200BOX GIRDER DESIGN JOINT 3
SCALE 1 : 200BOX GIRDER DESIGN JOINT 3
SCALE 1 : 200

| DEPARTEMEN TEKNIK SIPIL | JUDUL TUGAS AKHIR | MAHASISWA | DOSEN KONSULTASI | SKALA | NOMOR GAMBAR | CATATAN |
|--|---|--------------------------------------|---|-------|---------------------------|---------|
| FAKULTAS TEKNIK SIPIL, LINGKUANGAN DAN KEBUMIAN INSTITUT TEKNOLOGI SEPULUH NOPEMBER SURABAYA | MODIFIKASI PERENCANAAN FLY OVER LINGKAR DALAM BARAT SURABAYA DENGAN MENGUNAKAN BALOK BOX GIRDER PRATEKAN | IRVAN PRATAMA PASAK 0311124000066 | Prof. Dr. Ir. I GUSTI PUTU RAKA DATA IRANATA, ST. MT. PhD | 1:200 | 09 JUMLAH GAMBAR 35 | |

| TENDON | KETERANGAN |
|--------|---------------------|
| m1 | TENDON MENERUS 1 |
| m3 | TENDON MENERUS 3 |
| m2 | TENDON MENERUS 2 |
| c1 | TENDON KANTILEVER 1 |

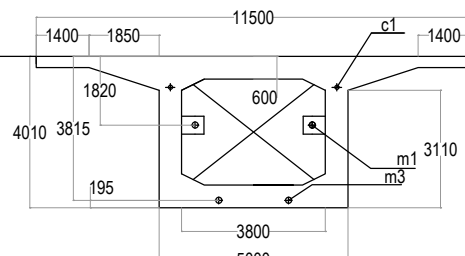


A

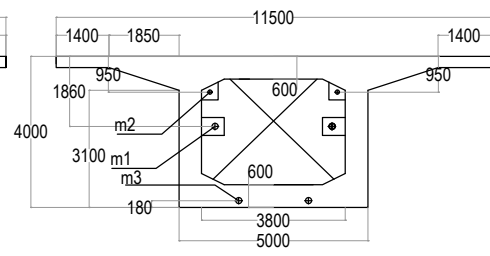


BOX GIRDER DESIGN JOINT 2
SCALE 1 : 200

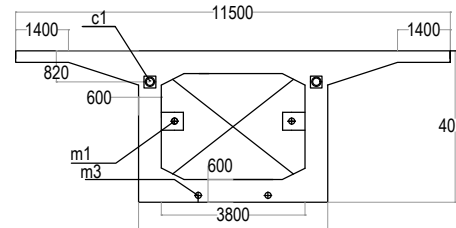
B



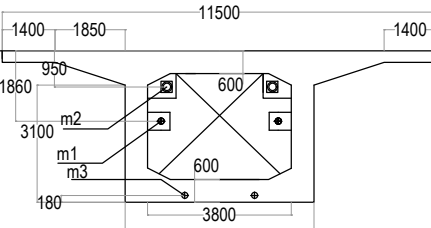
BOX GIRDER DESIGN JOINT 2
SCALE 1 : 200



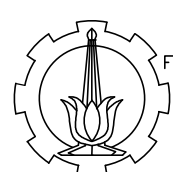
BOX GIRDER DESIGN TITIK 0
SCALE 1 : 200



BOX GIRDER DESIGN JOINT 1
SCALE 1 : 200



BOX GIRDER DESIGN JOINT 1
SCALE 1 : 200



DEPARTEMEN TEKNIK SIPIL

FAKULTAS TEKNIK SIPIL, LINGKUNGAN DAN KEBUMIAN

INSTITUT TEKNOLOGI SEPULUH NOPEMBER

SURABAYA

JUDUL TUGAS AKHIR

MODIFIKASI PERENCANAAN
FLY OVER
LINGKAR DALAM BARAT
SURABAYA DENGAN
MENGGUNAKAN BALOK
BOX GIRDER PRATEKAN

MAHASISWA

IRVAN PRATAMA PASAK
0311124000066

DOSEN KONSULTASI

Prof. Dr. Ir. I GUSTI
PUTU RAKA
DATA IRANATA, ST. MT. PhD

SKALA

1:200

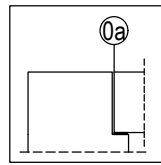
NOMOR GAMBAR

10

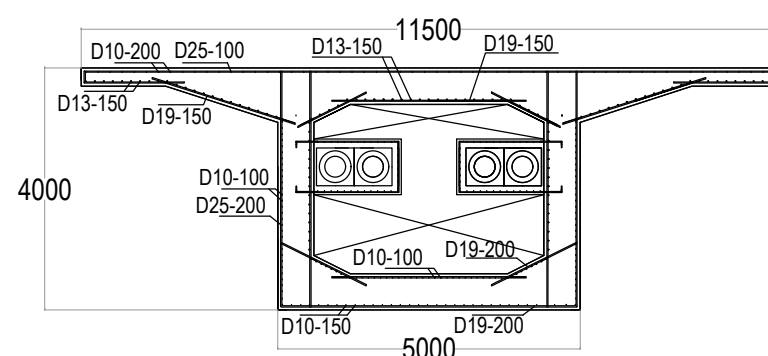
JUMLAH GAMBAR

35

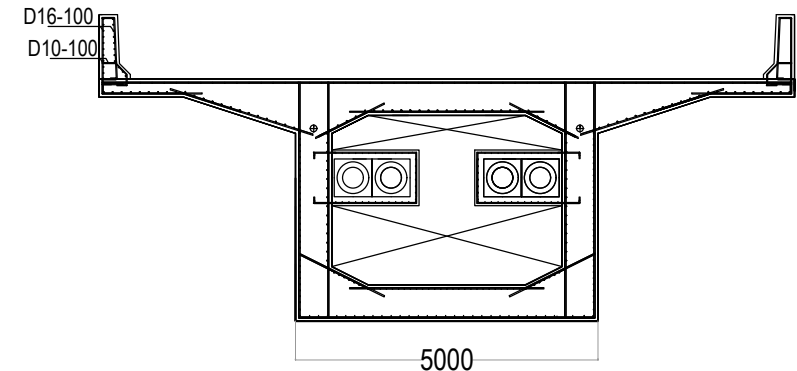
CATATAN



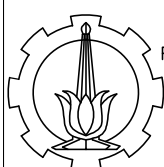
P-D P-E
P-F P-G



BOX GIRDER DESIGN JOINT 0a
SCALE 1 : 125



TULANGANG PARAPET
SCALE 1 : 125



DEPARTEMEN TEKNIK SIPIL

FAKULTAS TEKNIK SIPIL, LINGKUAN DAN KEBUMIAN
INSTITUT TEKNOLOGI SEPULUH NOPEMBER
SURABAYA

JUDUL TUGAS AKHIR

MODIFIKASI PERENCANAAN
FLY OVER
LINGKAR DALAM BARAT
SURABAYA DENGAN
MENGGUNAKAN BALOK
BOX GIRDER PRATEKAN

MAHASISWA

IRVAN PRATAMA PASAK
031124000066

DOSEN KONSULTASI

Prof. Dr. Ir. I GUSTI
PUTU RAKA
DATA IRANATA, ST, MT, PhD

SKALA

1:125

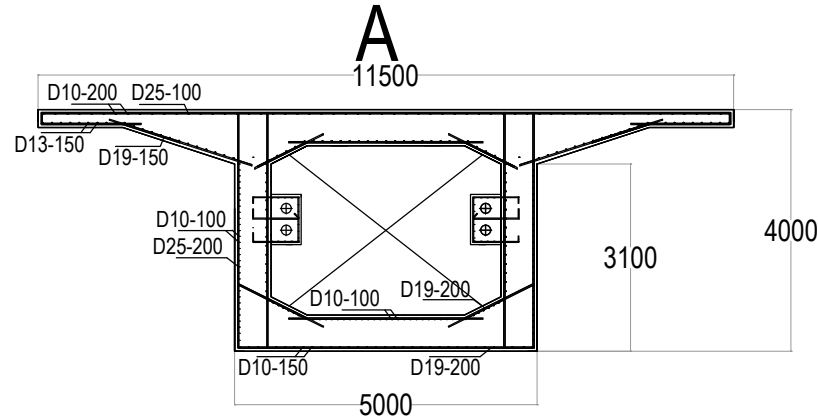
NOMOR GAMBAR

11

JUMLAH GAMBAR

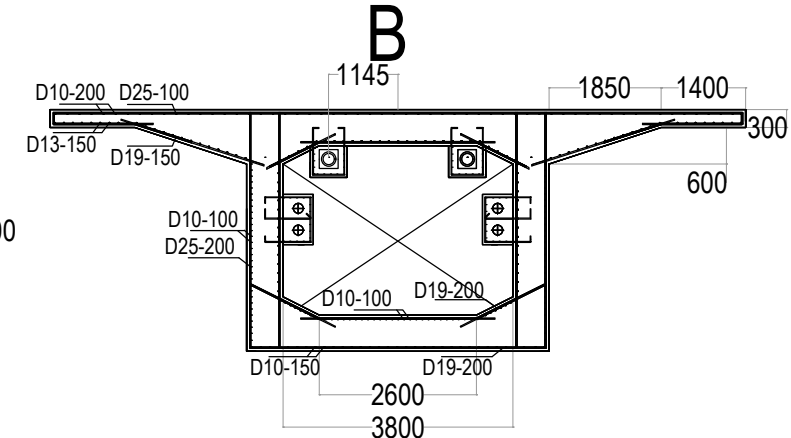
35

CATATAN



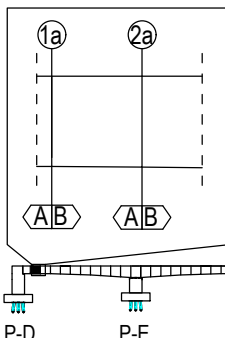
BOX GIRDER DESIGN JOINT 1a

SCALE 1:125



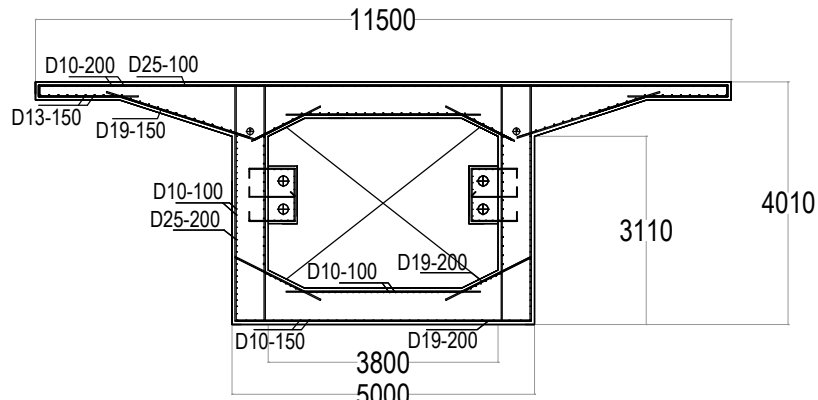
BOX GIRDER DESIGN JOINT 1a

SCALE 1:125



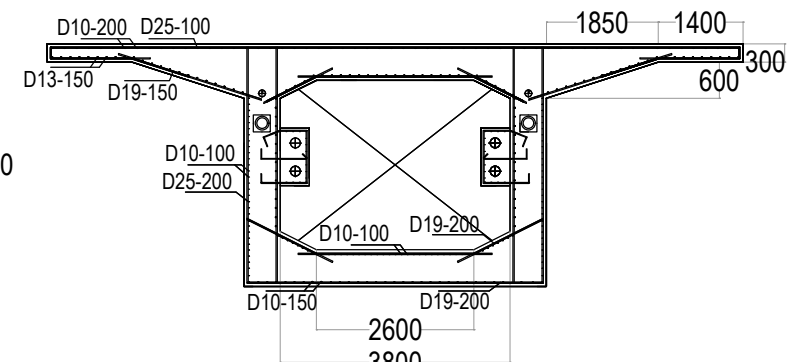
BOX GIRDERS DESIGN JOINT 2a

SCALE 1 : 125



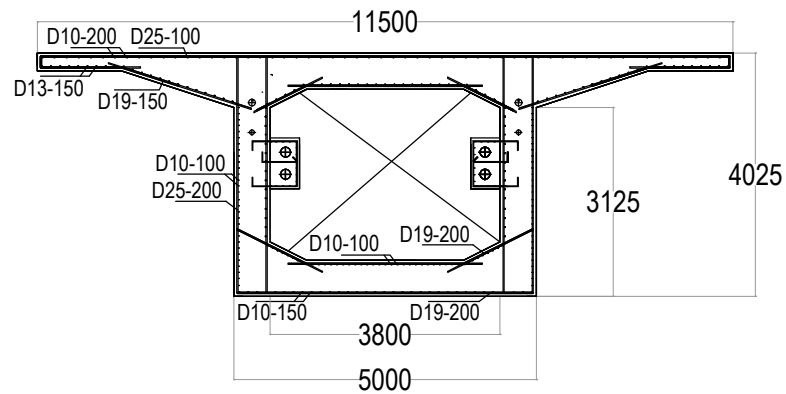
BOX GIRDERS DESIGN - JOINT 2a

SCALE 1:125

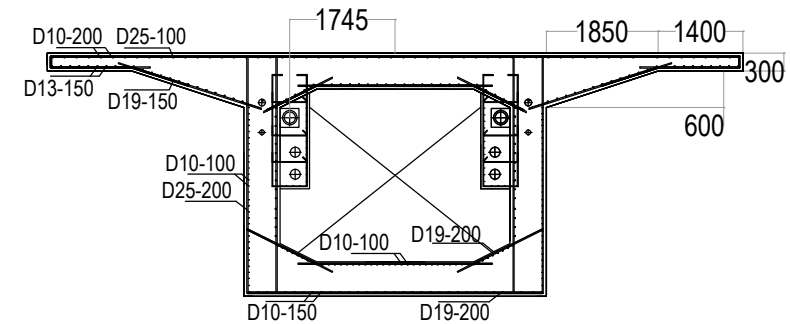


BOX GIRDERS DESIGN JOINT 2a

SCALE 1:125

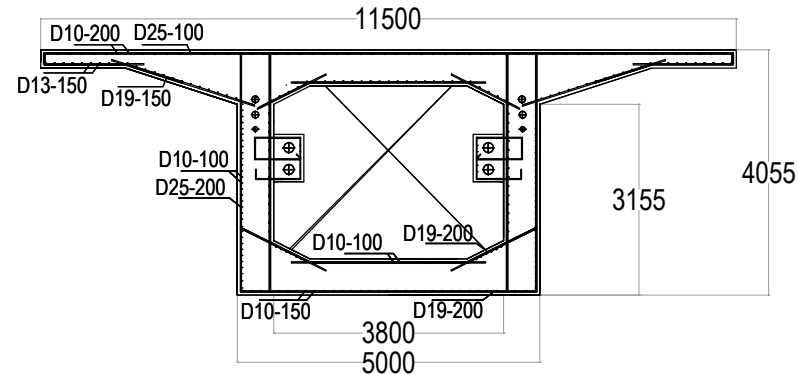
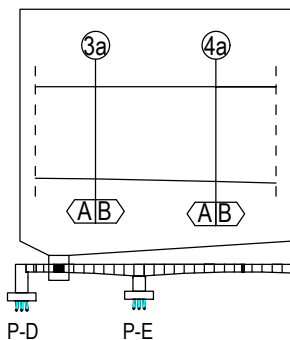
A

BOX GIRDER DESIGN JOINT 3a

B

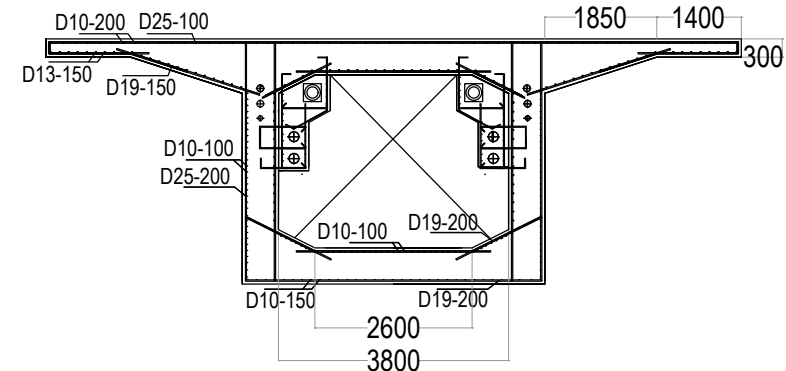
BOX GIRDER DESIGN JOINT 3a

SCALE 1 : 125



BOX GIRDER DESIGN JOINT 4a

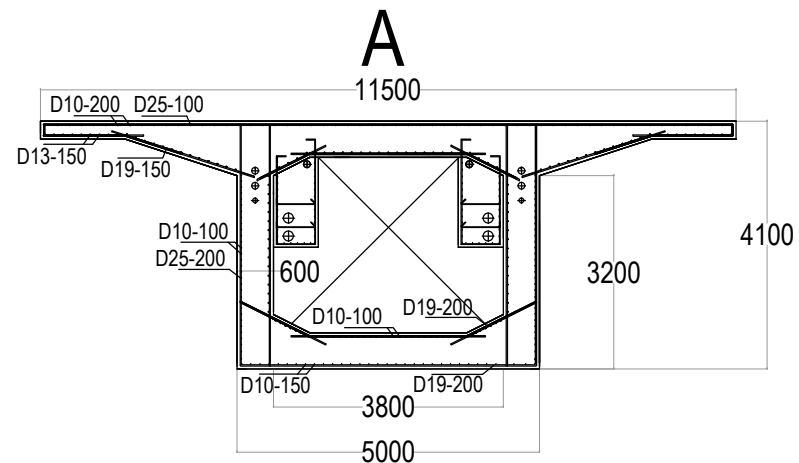
SCALE 1 : 125



BOX GIRDER DESIGN JOINT 4a

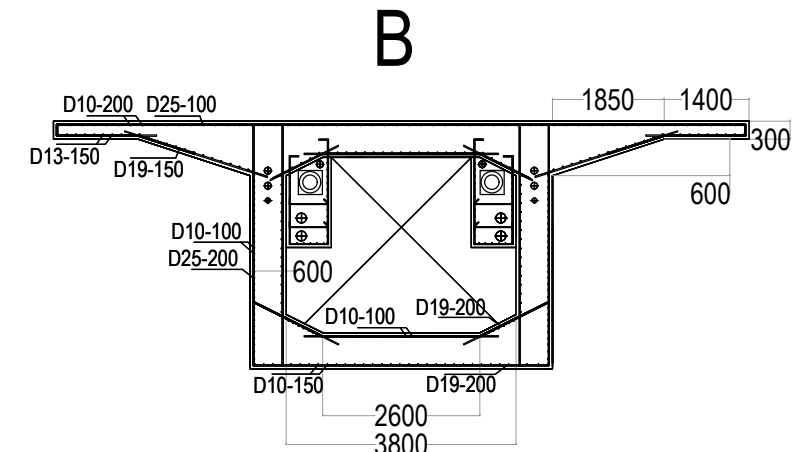
SCALE 1 : 125

| DEPARTEMEN TEKNIK SIPIL | JUDUL TUGAS AKHIR | MAHASISWA | DOSSEN KONSULTASI | SKALA | NOMOR GAMBAR | CATATAN |
|---|--|--------------------------------------|---|-------|---------------------------|---------|
| FAKULTAS TEKNIK SIPIL, LINGKUNGAN DAN KEBUMIAN INSTITUT TEKNOLOGI SEPULUH NOPEMBER SURABAYA | MODIFIKASI PERENCANAAN FLY OVER LINGKAR DALAM BARAT SURABAYA DENGAN MENGGUNAKAN BALOK BOX GIRDER PRATEKAN | IRVAN PRATAMA PASAK 0311124000066 | Prof. Dr. Ir. I GUSTI PUTU RAKA DATA IRANATA, ST. MT. PhD | 1:125 | 13 JUMLAH GAMBAR 35 | |



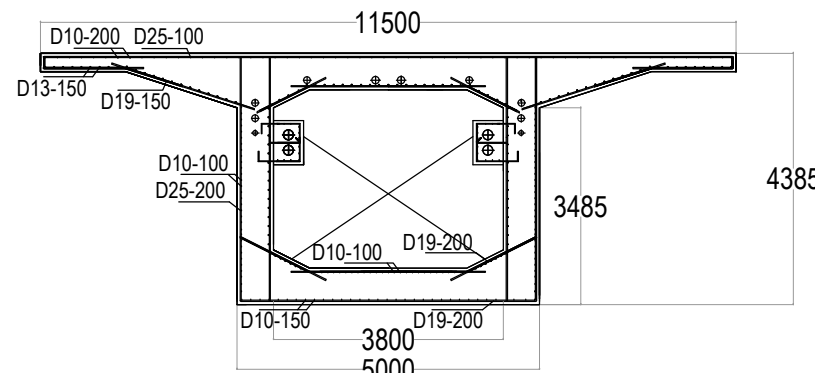
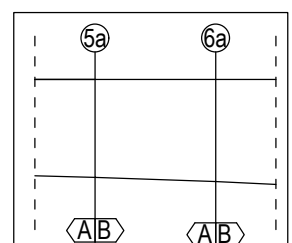
BOX GIRDER DESIGN JOINT 5a

SCALE 1 : 125



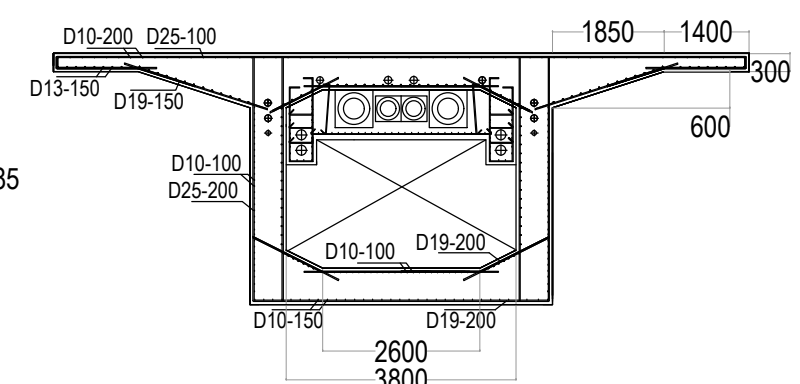
BOX GIRDER DESIGN JOINT 5a

SCALE 1 : 125



BOX GIRDER DESIGN JOINT 6a

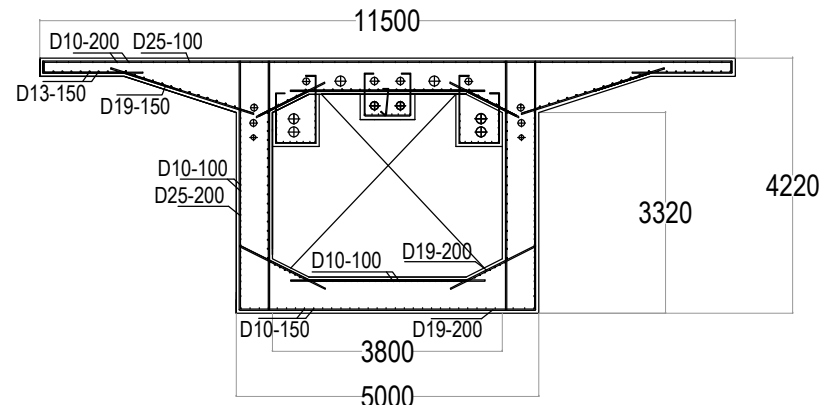
SCALE 1 : 125



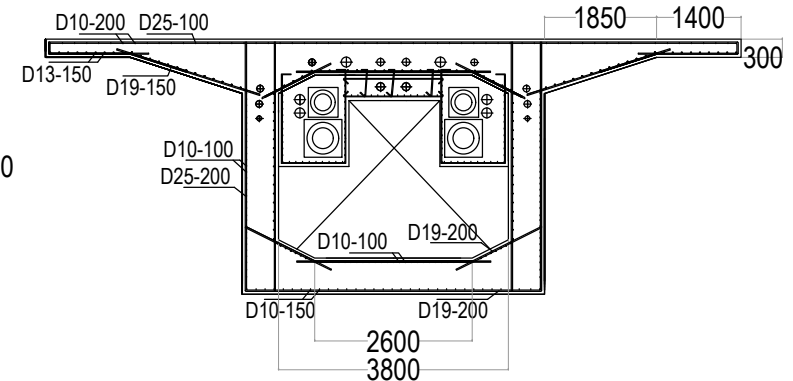
BOX GIRDER DESIGN JOINT 6a

SCALE 1 : 125

| DEPARTEMEN TEKNIK SIPIL | JUDUL TUGAS AKHIR | MAHASISWA | DOSSEN KONSULTASI | SKALA | NOMOR GAMBAR | CATATAN |
|---|--|-------------------------------------|---|-------|---------------------------|---------|
| FAKULTAS TEKNIK SIPIL, LINGKUNGAN DAN KEBUMIAN INSTITUT TEKNOLOGI SEPULUH NOPEMBER SURABAYA | MODIFIKASI PERENCANAAN FLY OVER LINGKAR DALAM BARAT SURABAYA DENGAN MENGGUNAKAN BALOK BOX GIRDER PRATEKAN | IRVAN PRATAMA PASAK 013124000066 | Prof. Dr. Ir. I GUSTI PUTU RAKA DATA IRANATA, ST, MT, PhD | 1:125 | 14 JUMLAH GAMBAR 35 | |

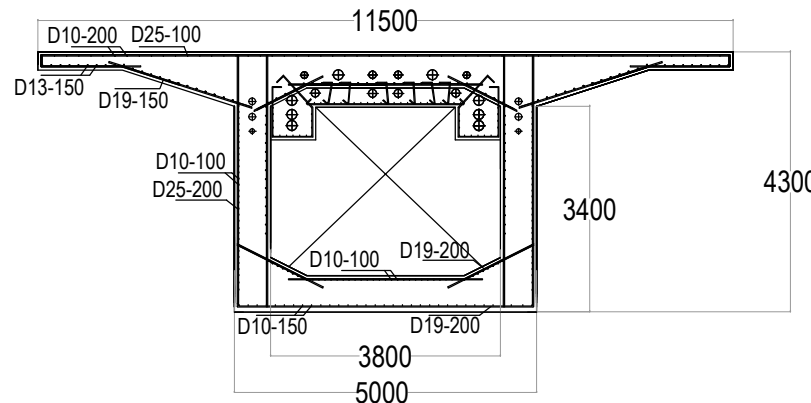
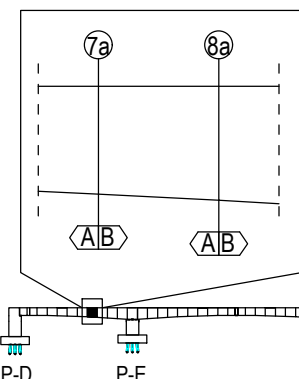
A

BOX GIRDER DESIGN JOINT 7a

B

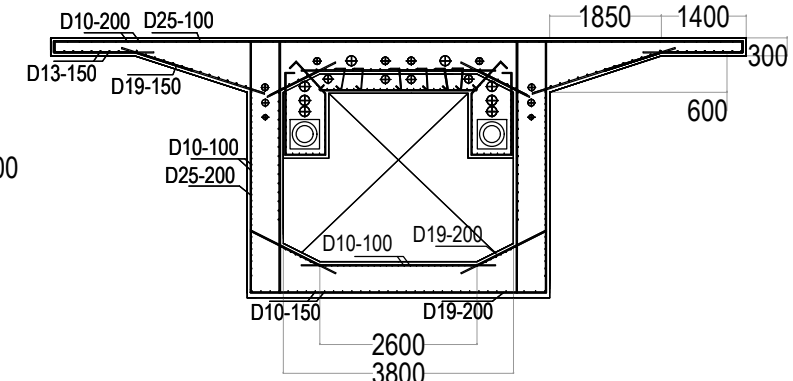
BOX GIRDER DESIGN JOINT 7a

SCALE 1 : 125



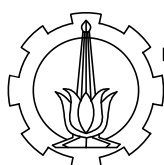
BOX GIRDER DESIGN JOINT 8a

SCALE 1 : 125



BOX GIRDER DESIGN JOINT 8a

SCALE 1 : 125



DEPARTEMEN TEKNIK SIPIL

FAKULTAS TEKNIK SIPIL, LINGKUNGAN DAN KEBUMIAN
INSTITUT TEKNOLOGI SEPULUH NOPEMBER
SURABAYA

JUDUL TUGAS AKHIR

MODIFIKASI PERENCANAAN
FLY OVER
LINGKAR DALAM BARAT
SURABAYA DENGAN
MENGGUNAKAN BALOK
BOX GIRDER PRATEKAN

MAHASISWA

IRVAN PRATAMA PASAK
031124000066

DOSEN KONSULTASI

Prof. Dr. Ir. I GUSTI
PUTU RAKA
DATA IRANATA, ST, MT, PhD

SKALA

1:125

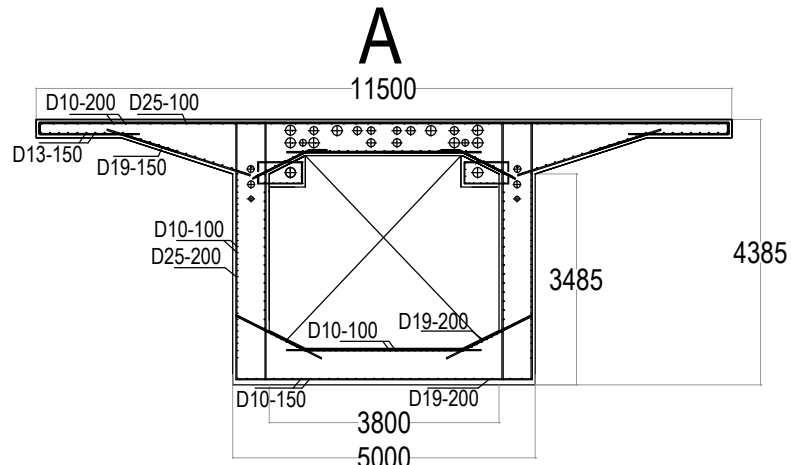
NOMOR GAMBAR

15

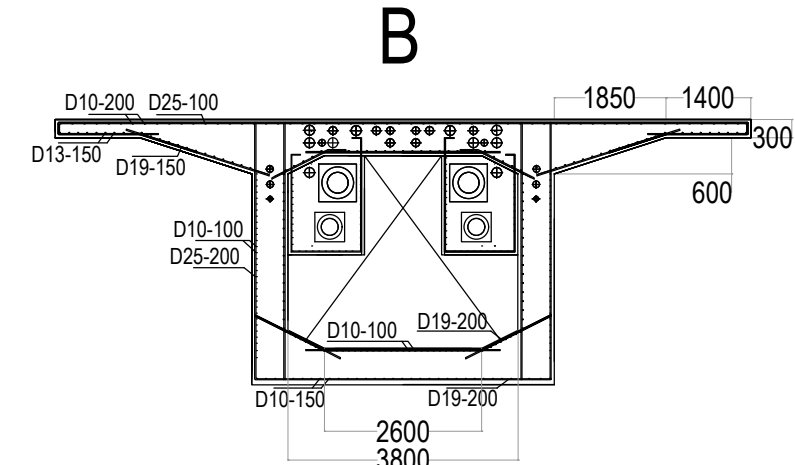
JUMLAH GAMBAR

35

CATATAN

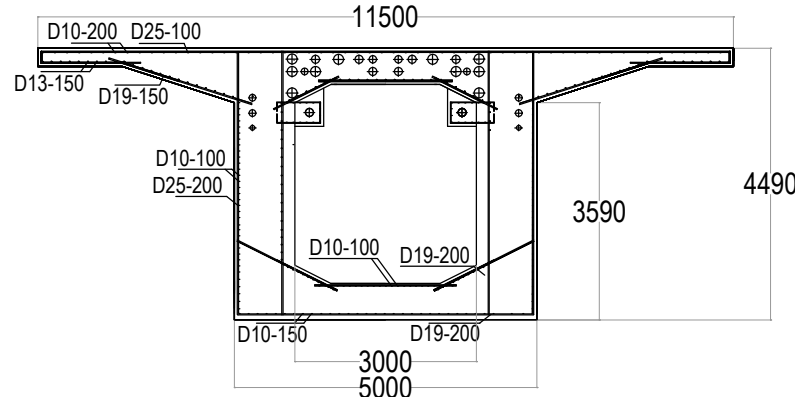
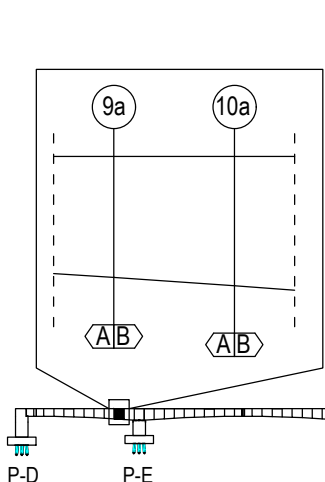


BOX GIRDER DESIGN JOINT 9a



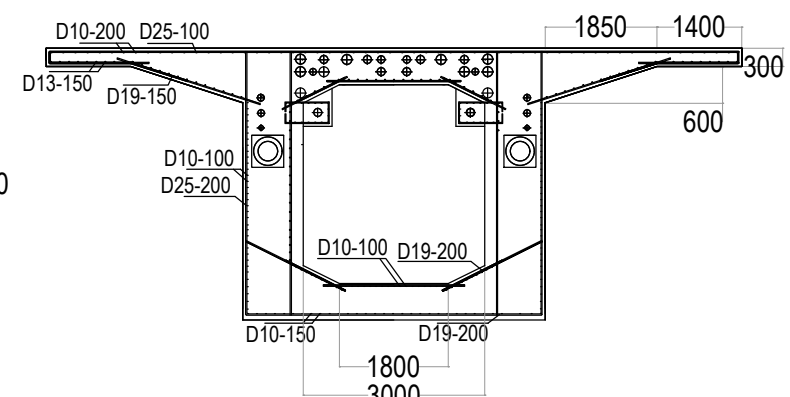
BOX GIRDER DESIGN JOINT 9a

SCALE 1 : 125



BOX GIRDER DESIGN JOINT 10a

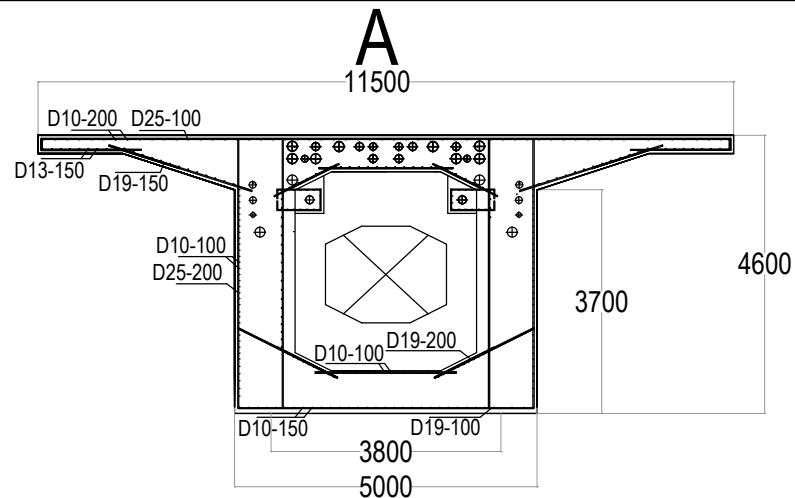
SCALE 1 : 125



BOX GIRDER DESIGN JOINT 10a

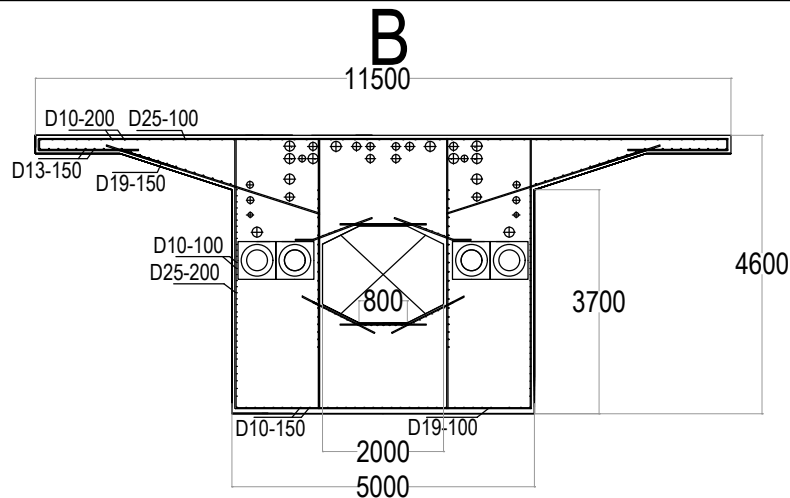
SCALE 1 : 125

| DEPARTEMEN TEKNIK SIPIL | JUDUL TUGAS AKHIR | MAHASISWA | DOSSEN KONSULTASI | SKALA | NOMOR GAMBAR | CATATAN |
|--|--|--------------------------------------|---|-------|---------------------------|---------|
| DEPARTEMEN TEKNIK SIPIL FAKULTAS TEKNIK SIPIL, LINGKUNGAN DAN KEBUMIAN INSTITUT TEKNOLOGI SEPULUH NOPEMBER SURABAYA | MODIFIKASI PERENCANAAN FLY OVER LINGKAR DALAM BARAT SURABAYA DENGAN MENGGUNAKAN BALOK BOX GIRDER PRATEKAN | IRVAN PRATAMA PASAK 0311124000066 | Prof. Dr. Ir. I GUSTI PUTU RAKA DATA IRANATA, ST. MT. PhD | 1:125 | 16 JUMLAH GAMBAR 35 | |



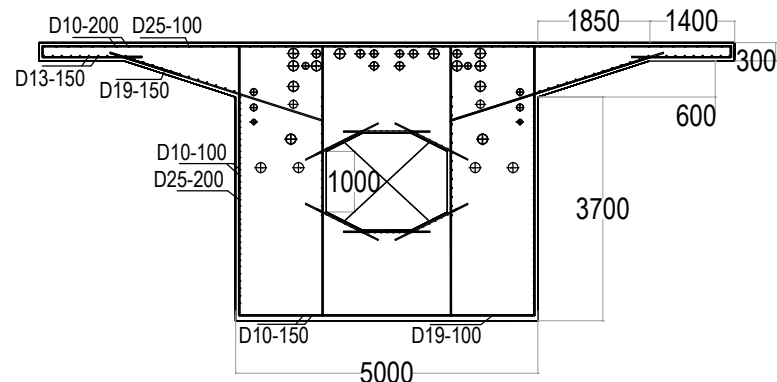
BOX GIRDER DESIGN JOINT 11a

SCALE 1 : 125



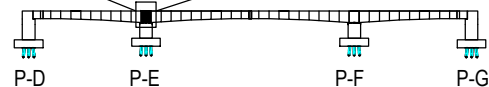
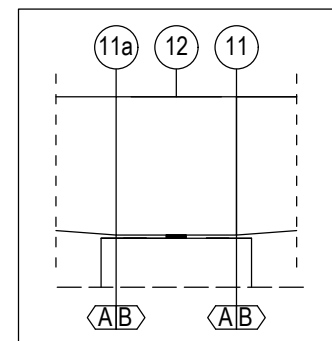
BOX GIRDER DESIGN JOINT 11

SCALE 1 : 125

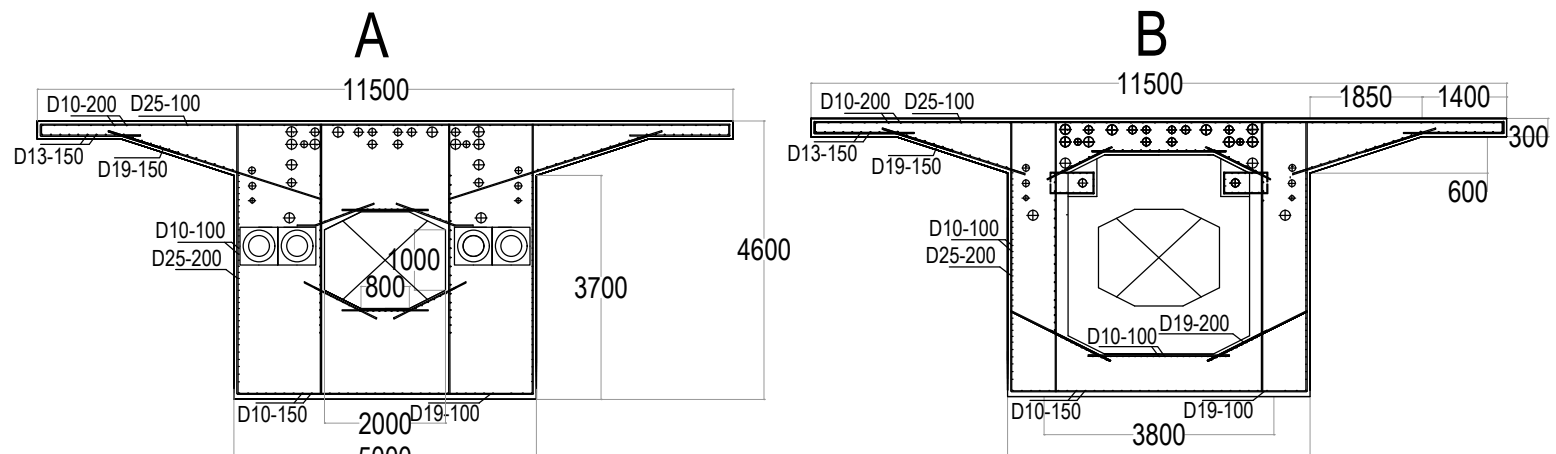


BOX GIRDER DESIGN TITIK 12

SCALE 1 : 125

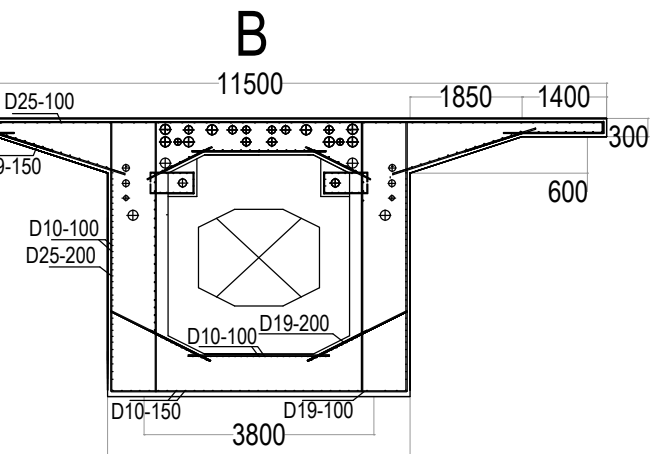


| DEPARTEMEN TEKNIK SIPIL | JUDUL TUGAS AKHIR | MAHASISWA | DOSSEN KONSULTASI | SKALA | NOMOR GAMBAR | CATATAN |
|--|--|--------------------------------------|---|-------|---------------------------|---------|
| FAKULTAS TEKNIK SIPIL, LINGKUANGAN DAN KEBUMIAN INSTITUT TEKNOLOGI SEPULUH NOPEMBER SURABAYA | MODIFIKASI PERENCANAAN FLY OVER LINGKAR DALAM BARAT SURABAYA DENGAN MENGGUNAKAN BALOK BOX GIRDER PRATEKAN | IRVAN PRATAMA PASAK 0311124000066 | Prof. Dr. Ir. I GUSTI PUTU RAKA DATA IRANATA, ST. MT. PhD | 1:125 | 17 JUMLAH GAMBAR 35 | |



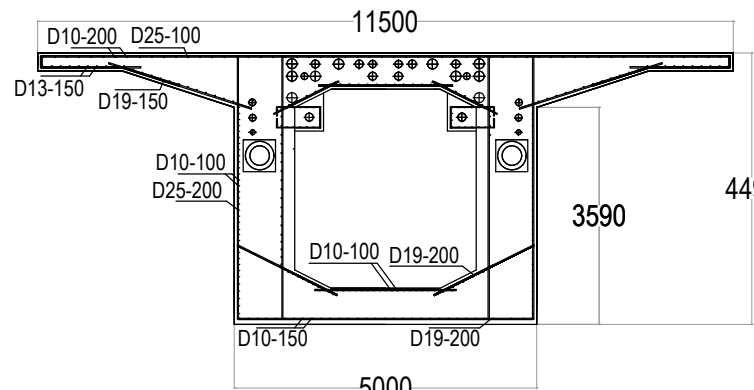
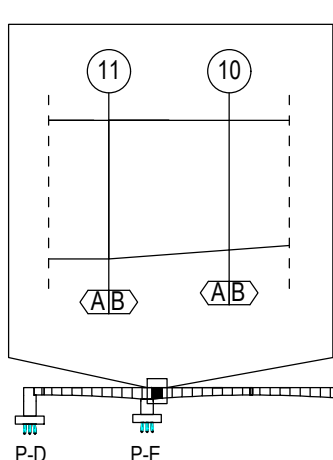
BOX GIRDER DESIGN JOINT 11

SCALE 1 : 125



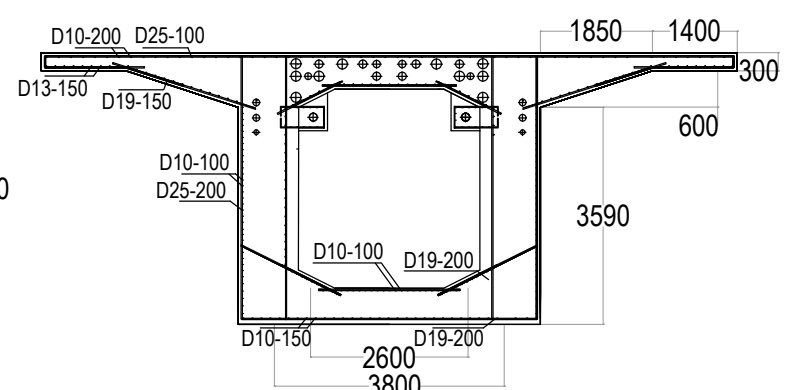
BOX GIRDER DESIGN JOINT 11

SCALE 1 : 125



BOX GIRDER DESIGN JOINT 10

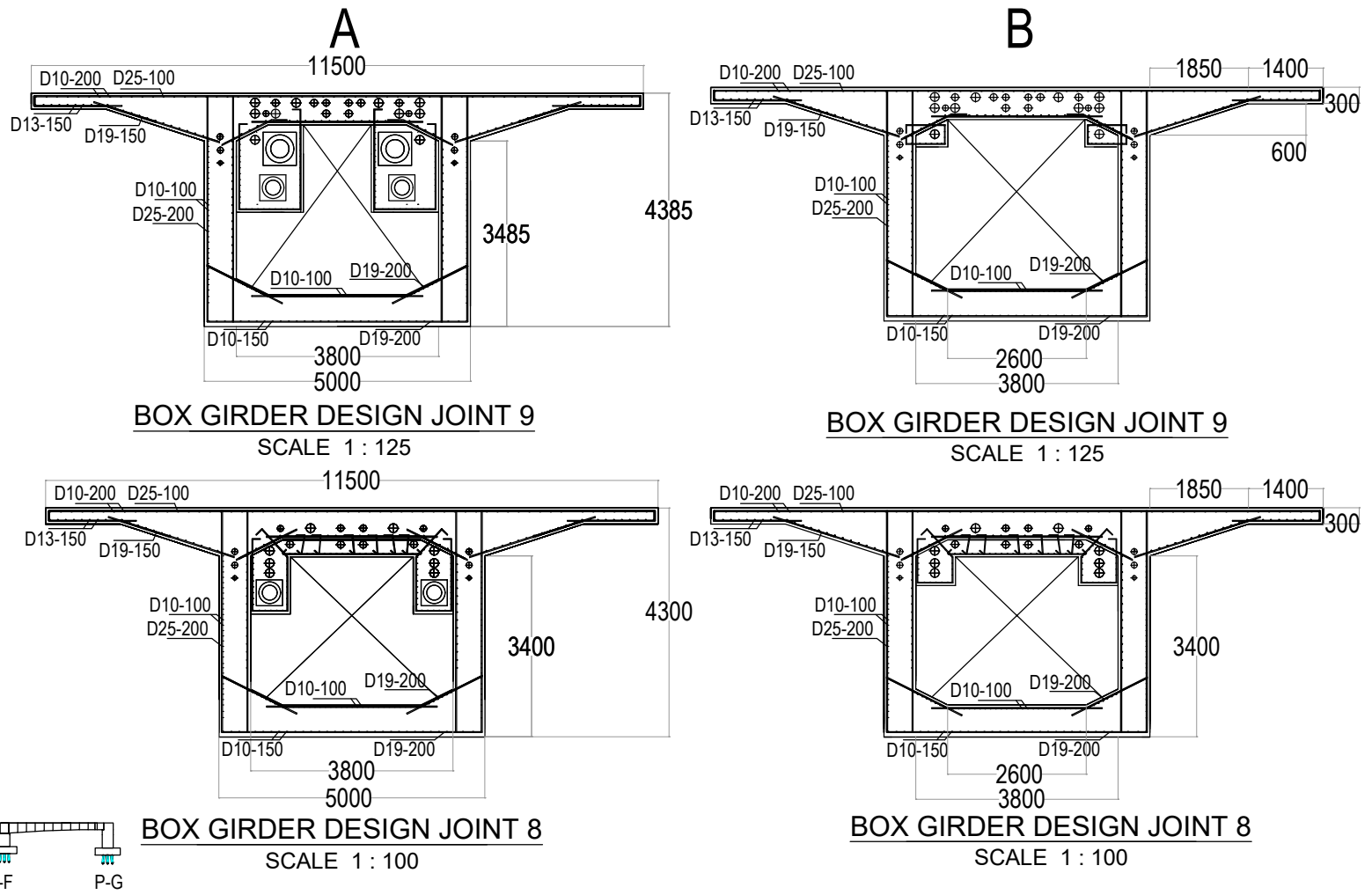
SCALE 1 : 125



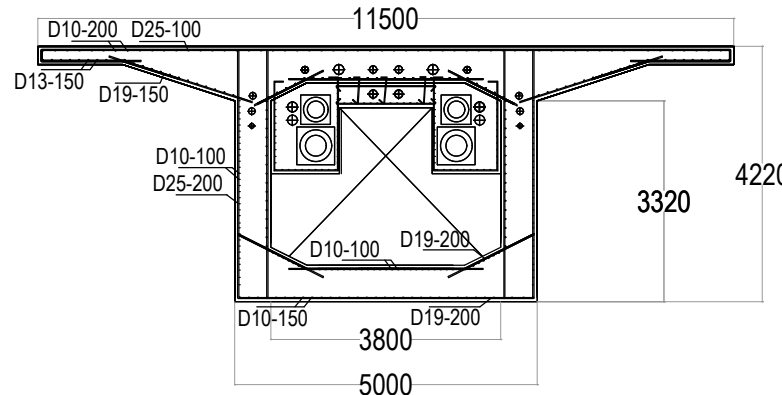
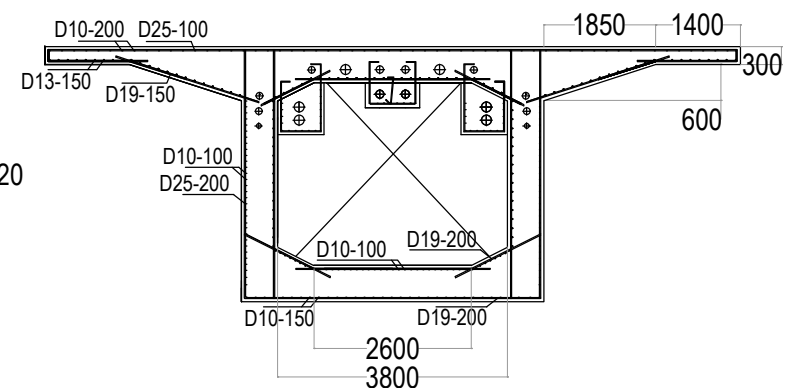
BOX GIRDER DESIGN JOINT 10

SCALE 1 : 125

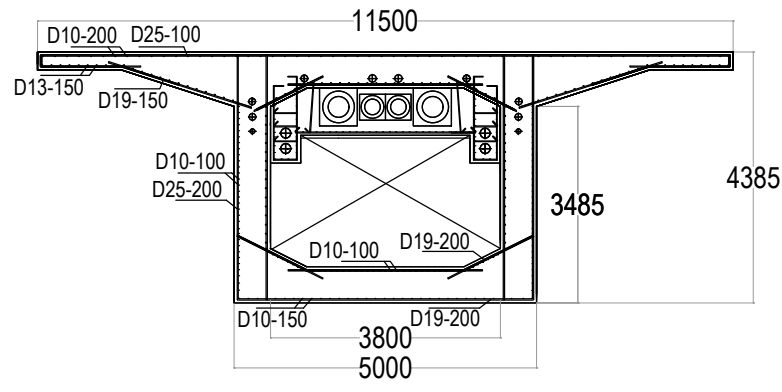
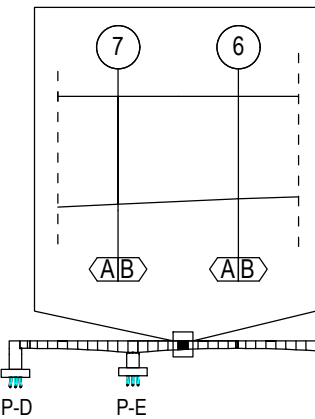
| DEPARTEMEN TEKNIK SIPIL | JUDUL TUGAS AKHIR | MAHASISWA | DOSSEN KONSULTASI | SKALA | NOMOR GAMBAR | CATATAN |
|--|--|--------------------------------------|---|-------|---------------------------|---------|
| DEPARTEMEN TEKNIK SIPIL FAKULTAS TEKNIK SIPIL, LINGKUNGAN DAN KEBUMIAN INSTITUT TEKNOLOGI SEPULUH NOPEMBER SURABAYA | MODIFIKASI PERENCANAAN FLY OVER LINGKAR DALAM BARAT SURABAYA DENGAN MENGGUNAKAN BALOK BOX GIRDER PRATEKAN | IRVAN PRATAMA PASAK 0311124000066 | Prof. Dr. Ir. I GUSTI PUTU RAKA DATA IRANATA, ST. MT. PhD | 1:125 | 18 JUMLAH GAMBAR 35 | |



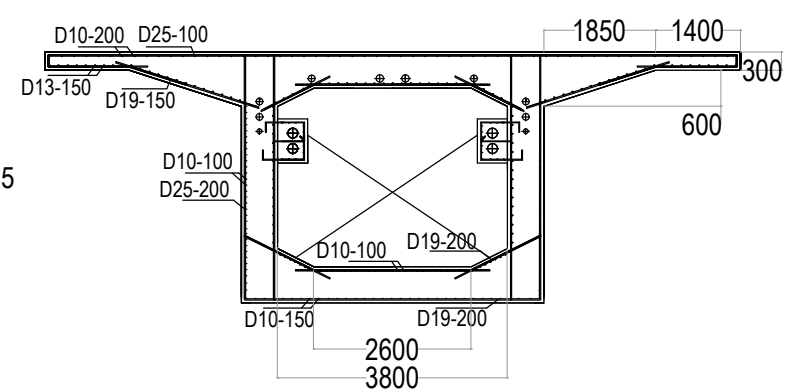
| DEPARTEMEN TEKNIK SIPIL | JUDUL TUGAS AKHIR | MAHASISWA | DOSSEN KONSULTASI | SKALA | NOMOR GAMBAR | CATATAN |
|---|--|--------------------------------------|---|-------|---------------------------|---------|
| DEPARTEMEN TEKNIK SIPIL FAKULTAS TEKNIK SIPIL, LINGKUANGAN DAN KEBUMIAN INSTITUT TEKNOLOGI SEPULUH NOPEMBER SURABAYA | MODIFIKASI PERENCANAAN FLY OVER LINGKAR DALAM BARAT SURABAYA DENGAN MENGGUNAKAN BALOK BOX GIRDER PRATEKAN | IRVAN PRATAMA PASAK 0311124000066 | Prof. Dr. Ir. I GUSTI PUTU RAKA DATA IRANATA, ST. MT. PhD | 1:125 | 19 JUMLAH GAMBAR 35 | |

A**BOX GIRDER DESIGN JOINT 7****B****BOX GIRDER DESIGN JOINT 7**

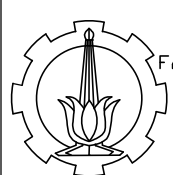
SCALE 1 : 125

**BOX GIRDER DESIGN JOINT 6**

SCALE 1 : 125

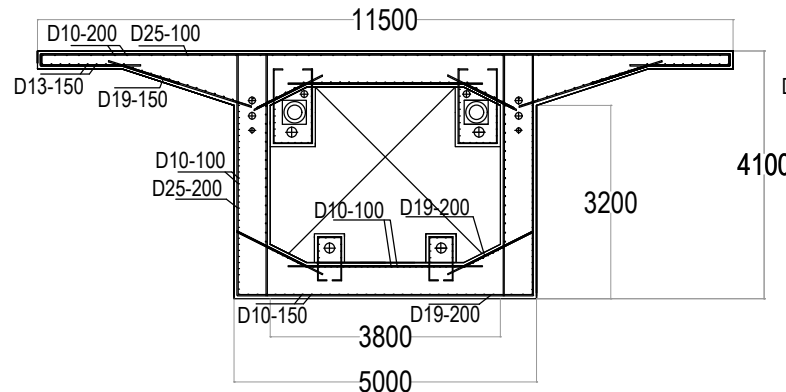
**BOX GIRDER DESIGN JOINT 6**

SCALE 1 : 125



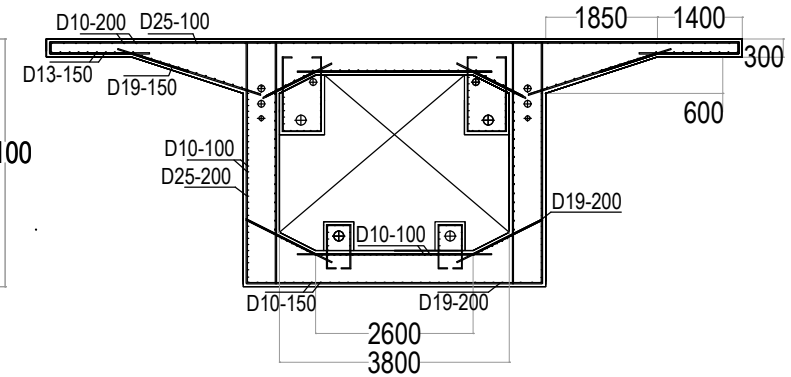
DEPARTEMEN TEKNIK SIPIL
FAKULTAS TEKNIK SIPIL, LINGKUANGAN DAN KEBUMIAN
INSTITUT TEKNOLOGI SEPULUH NOPEMBER
SURABAYA

| JUDUL TUGAS AKHIR | MAHASISWA | DOSEN KONSULTASI | SKALA | NOMOR GAMBAR | CATATAN |
|---|--------------------------------------|--|-------|---------------|---------|
| MODIFIKASI PERENCANAAN FLY OVER LINGKAR DALAM BARAT SURABAYA DENGAN MENGGUNAKAN BALOK BOX GIRDER PRATEKAN | IRVAN PRATAMA PASAK 0311124000066 | Prof. Dr. Ir. I GUSTI PUTU RAKA DATA IRANATA, ST. MT. PhD | 1:125 | 20 | |
| | | | | JUMLAH GAMBAR | |
| | | | | 35 | |

A

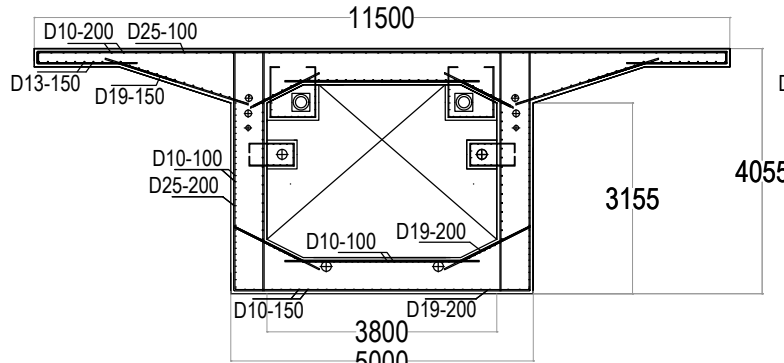
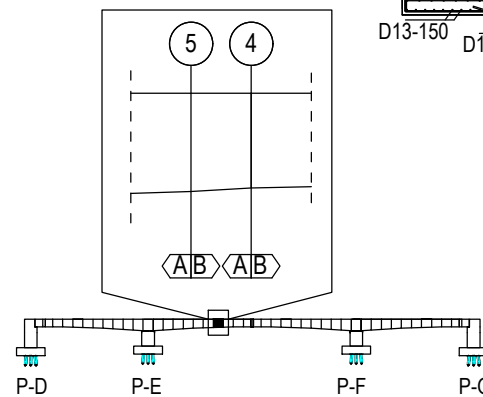
BOX GIRDER DESIGN JOINT 5

SCALE 1 : 125

B

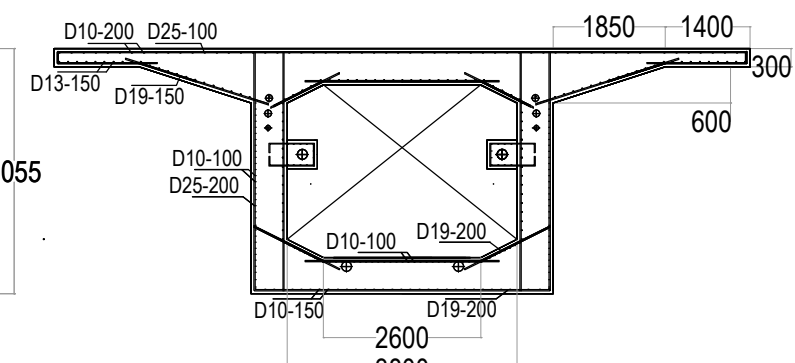
BOX GIRDER DESIGN JOINT 5

SCALE 1 : 125



BOX GIRDER DESIGN JOINT 4

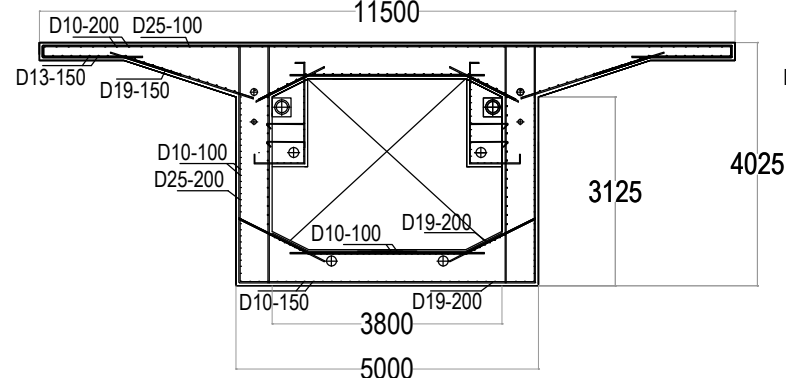
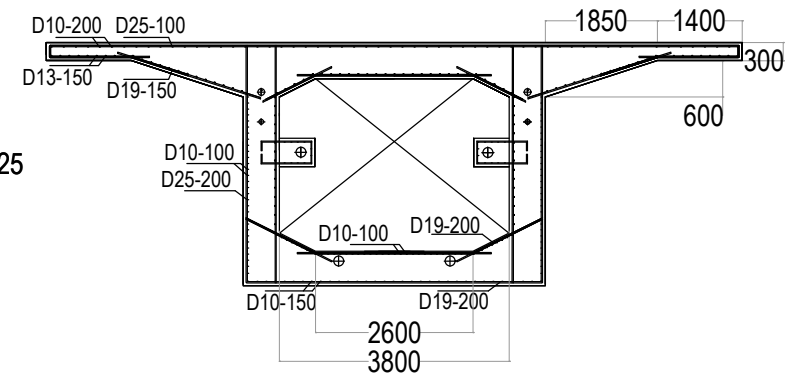
SCALE 1 : 125



BOX GIRDER DESIGN JOINT 4

SCALE 1 : 125

| DEPARTEMEN TEKNIK SIPIL | JUDUL TUGAS AKHIR | MAHASISWA | DOSSEN KONSULTASI | SKALA | NOMOR GAMBAR | CATATAN |
|---|--|--------------------------------------|---|-------|---------------------------|---------|
| FAKULTAS TEKNIK SIPIL, LINGKUNGAN DAN KEBUMIAN INSTITUT TEKNOLOGI SEPULUH NOPEMBER SURABAYA | MODIFIKASI PERENCANAAN FLY OVER LINGKAR DALAM BARAT SURABAYA DENGAN MENGGUNAKAN BALOK BOX GIRDER PRATEKAN | IRVAN PRATAMA PASAK 0311124000066 | Prof. Dr. Ir. I GUSTI PUTU RAKA DATA IRANATA, ST. MT. PhD | 1:125 | 21 JUMLAH GAMBAR 35 | |

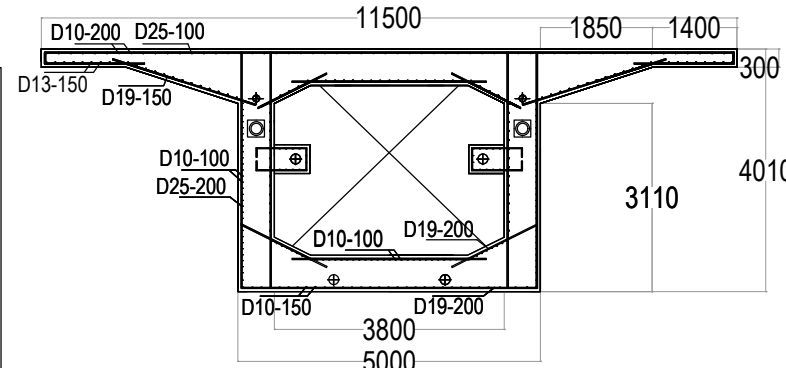
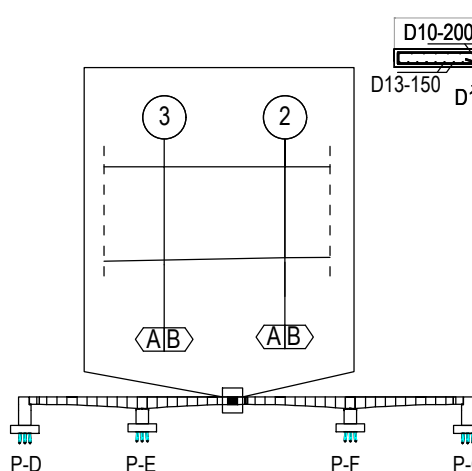
A**B**

BOX GIRDER DESIGN JOINT 3

SCALE 1 : 125

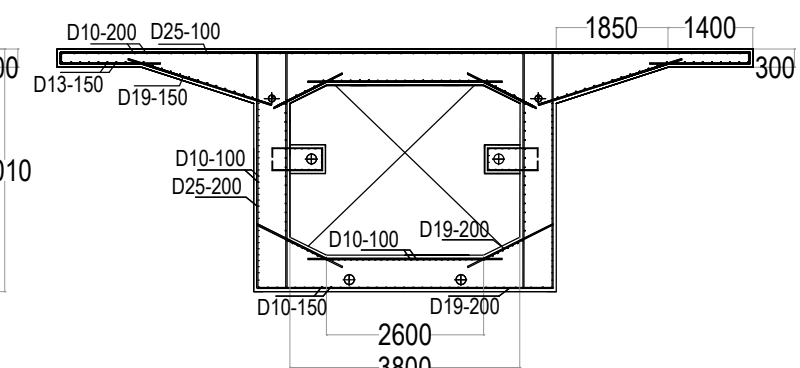
BOX GIRDER DESIGN JOINT 3

SCALE 1 : 125



BOX GIRDER DESIGN JOINT 2

SCALE 1 : 125



BOX GIRDER DESIGN JOINT 2

SCALE 1 : 125



DEPARTEMEN TEKNIK SIPIL

FAKULTAS TEKNIK SIPIL, LINGKUNGAN DAN KEBUMIAN

INSTITUT TEKNOLOGI SEPULUH NOPEMBER

SURABAYA

JUDUL TUGAS AKHIR

MODIFIKASI PERENCANAAN
FLY OVER
LINGKAR DALAM BARAT
SURABAYA DENGAN
MENGGUNAKAN BALOK
BOX GIRDER PRATEKAN

MAHASISWA

IRVAN PRATAMA PASAK
0311124000066

DOSEN KONSULTASI

Prof. Dr. Ir. I GUSTI
PUTU RAKA
DATA IRANATA, ST. MT. PhD

SKALA

1:125

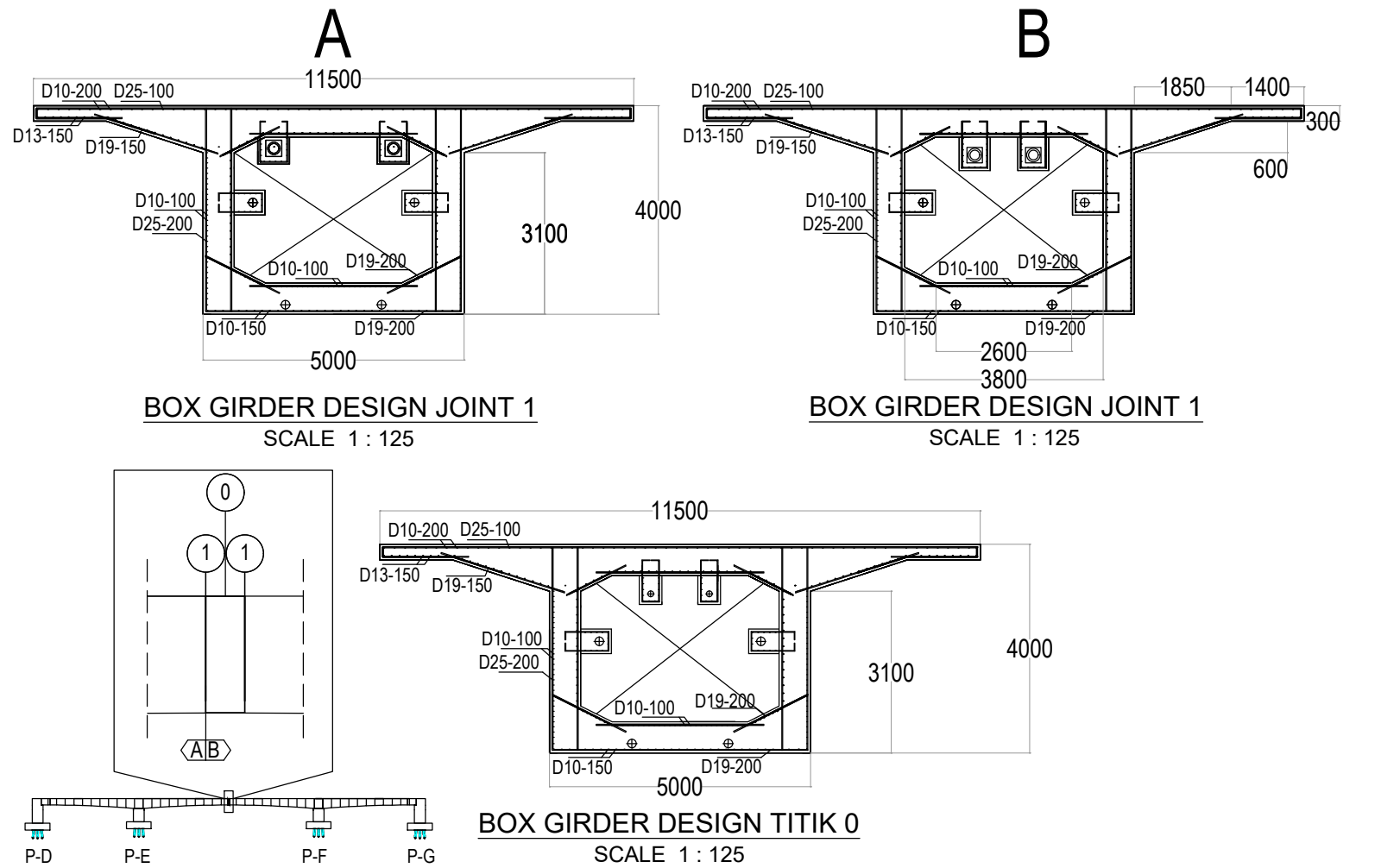
NOMOR GAMBAR

22

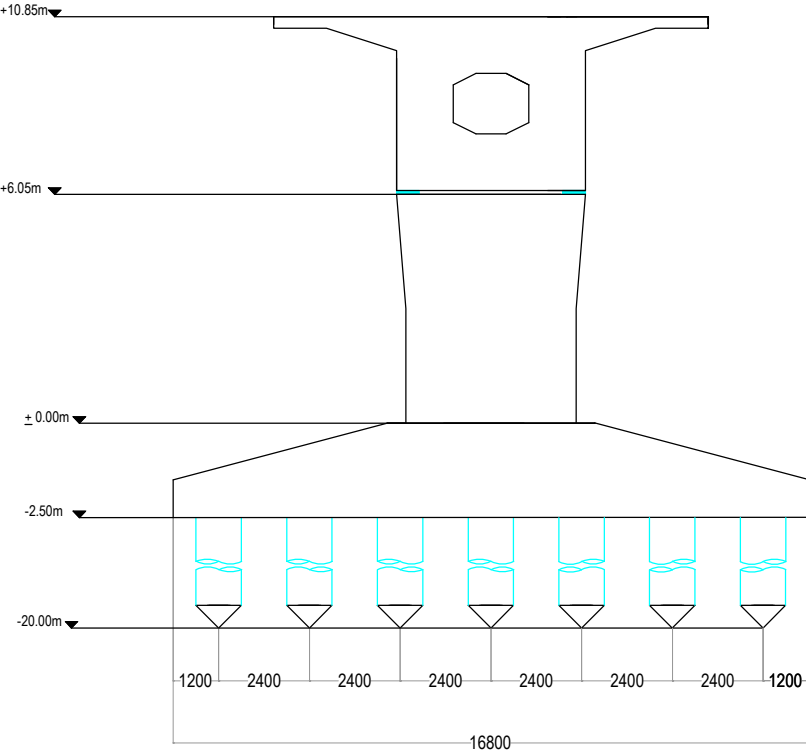
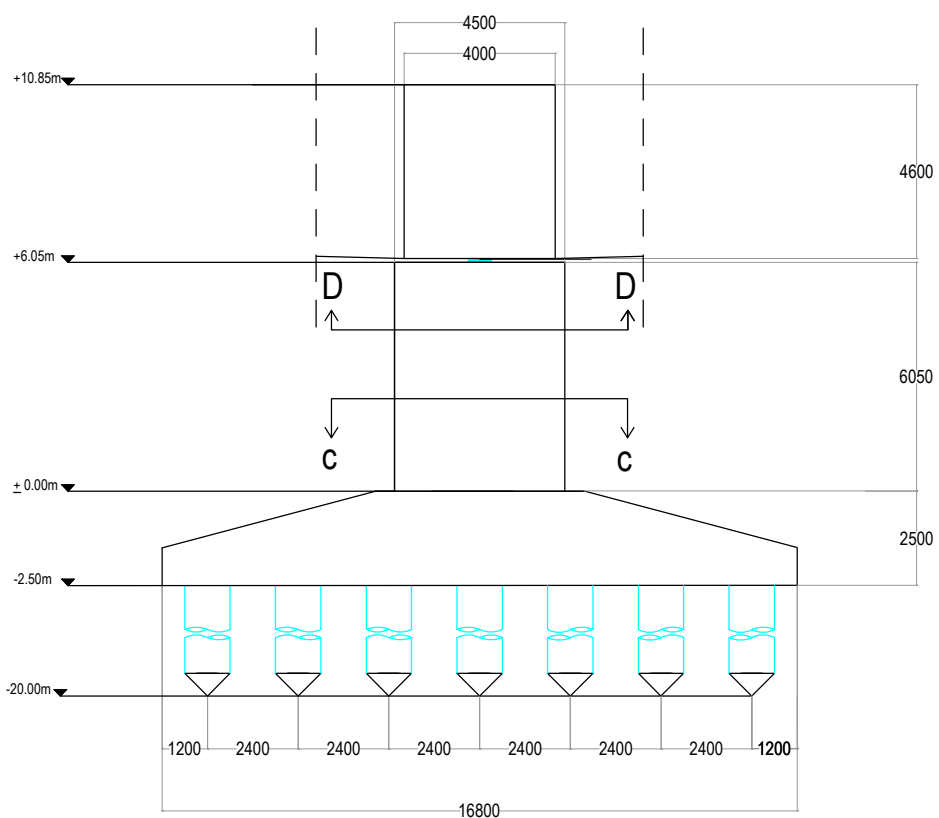
JUMLAH GAMBAR

35

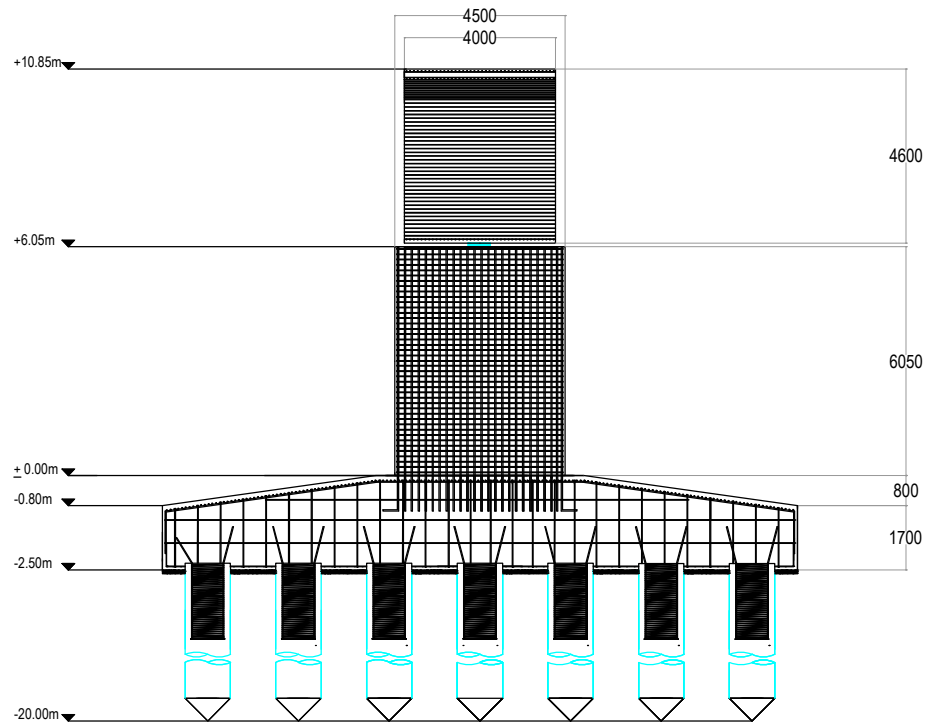
CATATAN



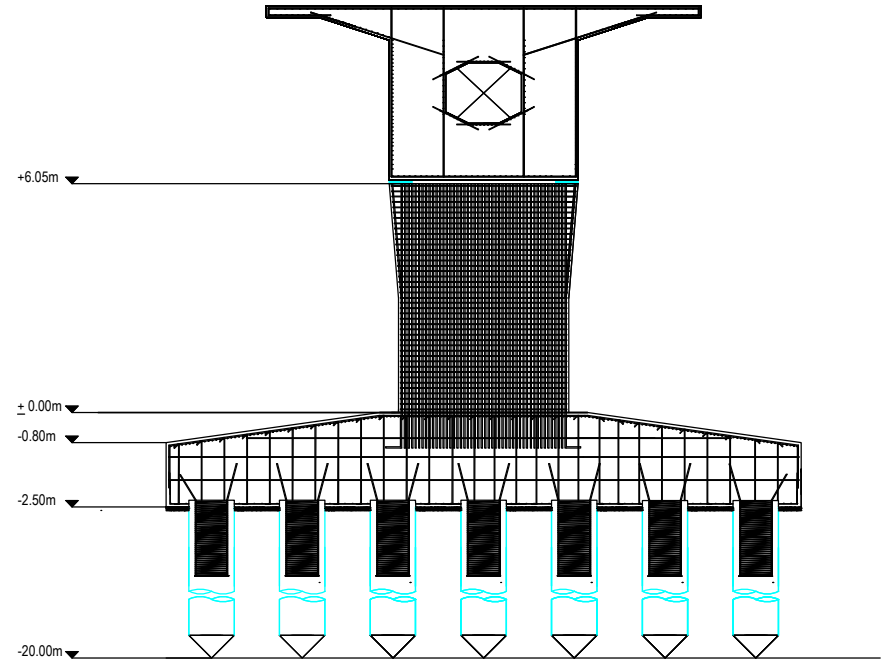
| DEPARTEMEN TEKNIK SIPIL | JUDUL TUGAS AKHIR | MAHASISWA | DOSEN KONSULTASI | SKALA | NOMOR GAMBAR | CATATAN |
|--|--|--------------------------------------|---|-------|---------------------------|---------|
| DEPARTEMEN TEKNIK SIPIL FAKULTAS TEKNIK SIPIL, LINGKUNGAN DAN KEBUMIAN INSTITUT TEKNOLOGI SEPULUH NOPEMBER SURABAYA | MODIFIKASI PERENCANAAN FLY OVER LINGKAR DALAM BARAT SURABAYA DENGAN MENGGUNAKAN BALOK BOX GIRDER PRATEKAN | IRVAN PRATAMA PASAK 0311124000066 | Prof. Dr. Ir. I GUSTI PUTU RAKA DATA IRANATA, ST. MT. PhD | 1:125 | 23 JUMLAH GAMBAR 35 | |



| DEPARTEMEN TEKNIK SIPIL FAKULTAS TEKNIK SIPIL, LINGKUNGAN DAN KEBUMIAN INSTITUT TEKNOLOGI SEPULUH NOPEMBER SURABAYA | JUDUL TUGAS AKHIR MODIFIKASI PERENCANAAN FLY OVER LINGKAR DALAM BARAT SURABAYA DENGAN MENGGUNAKAN BALOK BOX GIRDER PRATEKAN | MAHASISWA IRVAN PRATAMA PASAK 0311124000066 | DOSSEN KONSULTASI Prof. Dr. Ir. I GUSTI PUTU RAKA DATA IRANATA, ST. MT. PhD | SKALA 1:200 | NOMOR GAMBAR 24 JUMLAH GAMBAR 35 | CATATAN |
|--|---|---|--|----------------|---|---------|
|--|---|---|--|----------------|---|---------|

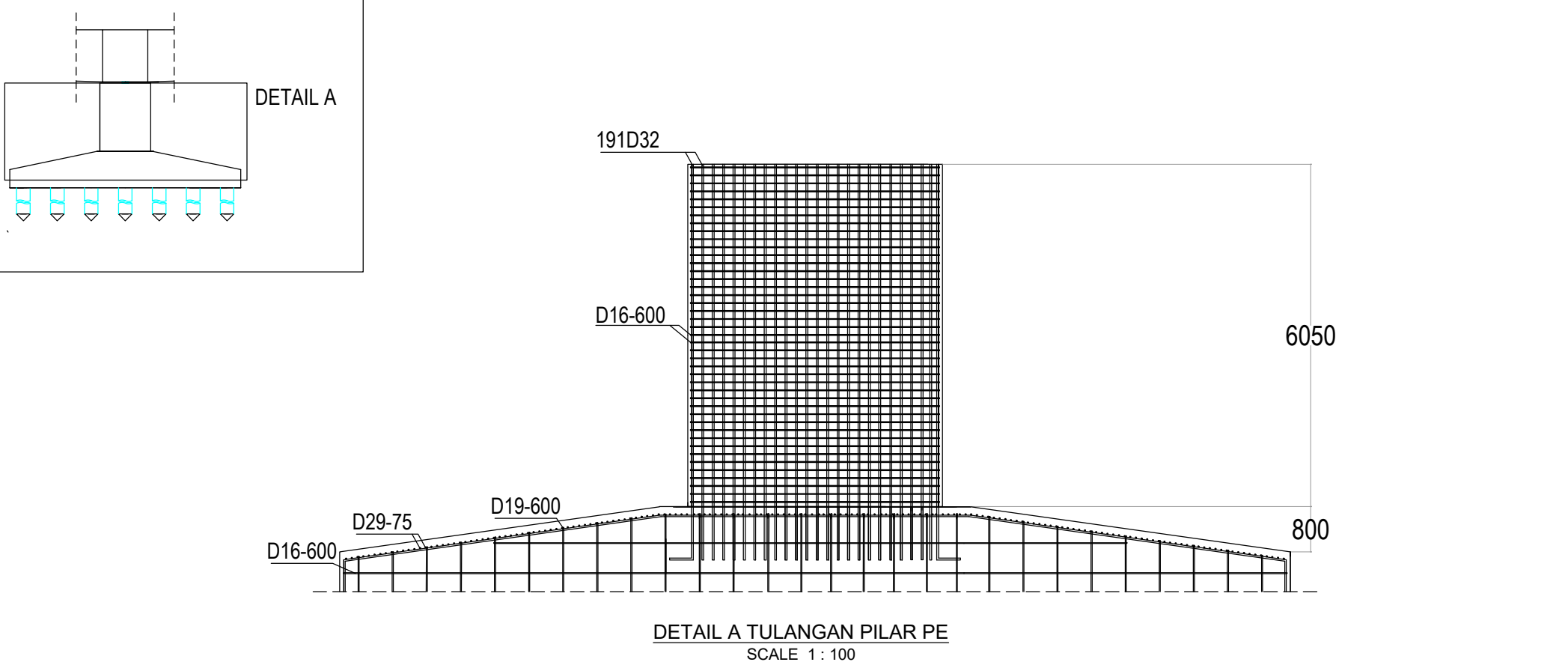


CROSS SECTION PILAR PE PENULUNGAN
SCALE 1 : 125

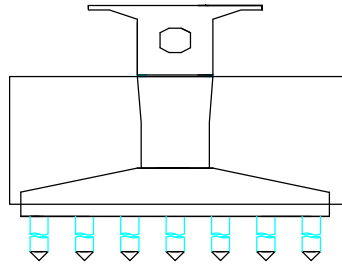


LONG SECTION PILAR PE PENULUNGAN
SCALE 1 : 125

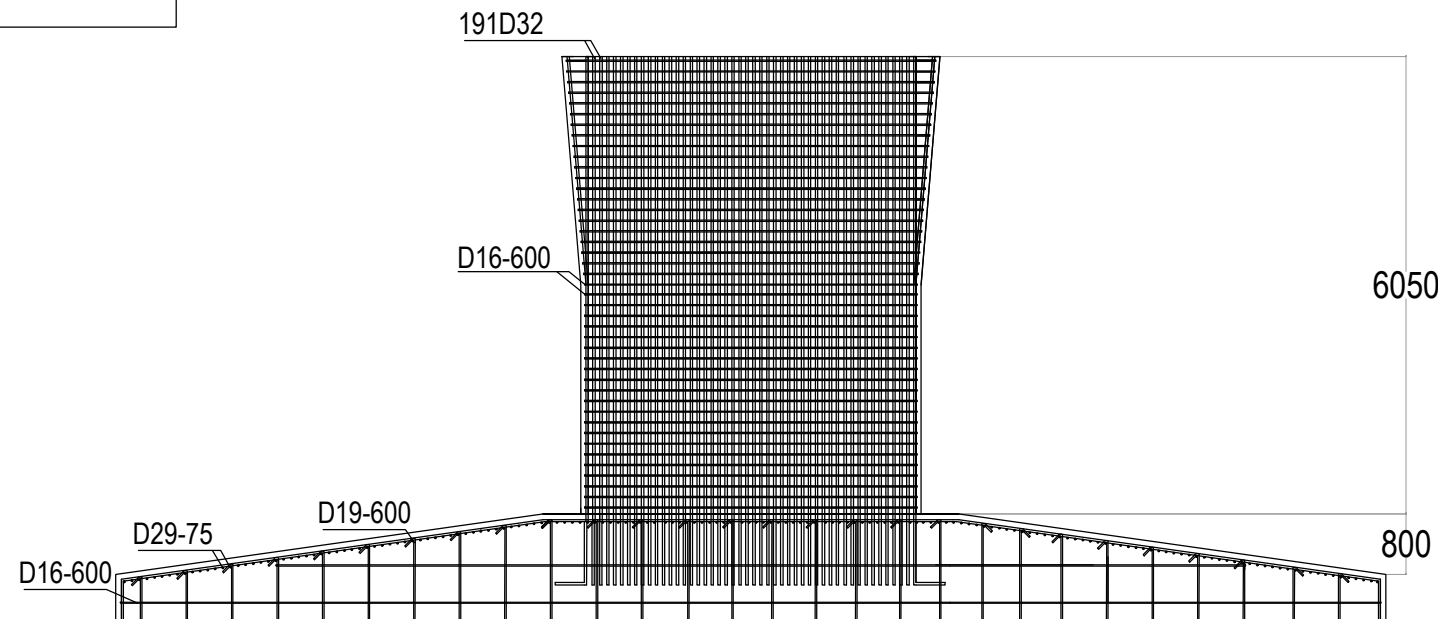
| DEPARTEMEN TEKNIK SIPIL | JUDUL TUGAS AKHIR | MAHASISWA | DOSEN KONSULTASI | SKALA | NOMOR GAMBAR | CATATAN |
|---|--|-------------------------------------|---|-------|-----------------------------------|---------|
| FAKULTAS TEKNIK SIPIL, LINGKUNGAN DAN KEBUMIAN INSTITUT TEKNOLOGI SEPULUH NOPEMBER SURABAYA | MODIFIKASI PERENCANAAN FLY OVER LINGKAR DALAM BARAT SURABAYA DENGAN MENGGUNAKAN BALOK BOX GIRDER PRATEKAN | IRVAN PRATAMA PASAK 031124000066 | Prof. Dr. Ir. I GUSTI PUTU RAKA DATA IRANATA, ST. MT. PhD | 1:125 | 25 JUMLAH GAMBAR 35 | |



| DEPARTEMEN TEKNIK SIPIL | JUDUL TUGAS AKHIR | MAHASISWA | DOSEN KONSULTASI | SKALA | NOMOR GAMBAR | CATATAN |
|---|--|--------------------------------------|---|-------|---------------|---------|
| FAKULTAS TEKNIK SIPIL, LINGKUNGAN DAN KEBUMIAN INSTITUT TEKNOLOGI SEPULUH NOPEMBER SURABAYA | MODIFIKASI PERENCANAAN FLY OVER LINGKAR DALAM BARAT SURABAYA DENGAN MENGGUNAKAN BALOK BOX GIRDER PRATEKAN | IRVAN PRATAMA PASAK 0311124000066 | Prof. Dr. Ir. I GUSTI PUTU RAKA DATA IRANATA, ST. MT. PhD | 1:100 | 26 | |
| | | | | | JUMLAH GAMBAR | |
| | | | | | 35 | |

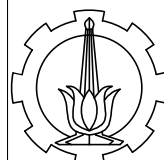


DETAIL B



DETAIL B TULANGAN PILAR PE

SCALE 1 : 100



DEPARTEMEN TEKNIK SIPIL

FAKULTAS TEKNIK SIPIL, LINGKUNGAN DAN KEBUMIAN
INSTITUT TEKNOLOGI SEPULUH NOPEMBER
SURABAYA

JUDUL TUGAS AKHIR

MODIFIKASI PERENCANAAN
FLY OVER
LINGKAR DALAM BARAT
SURABAYA DENGAN
MENGGUNAKAN BALOK
BOX GIRDER PRATEKAN

MAHASISWA

IRVAN PRATAMA PASAK
031124000066

DOSSEN KONSULTASI

Prof. Dr. Ir. I GUSTI
PUTU RAKA
DATA IRANATA, ST, MT, PhD

SKALA

1:100

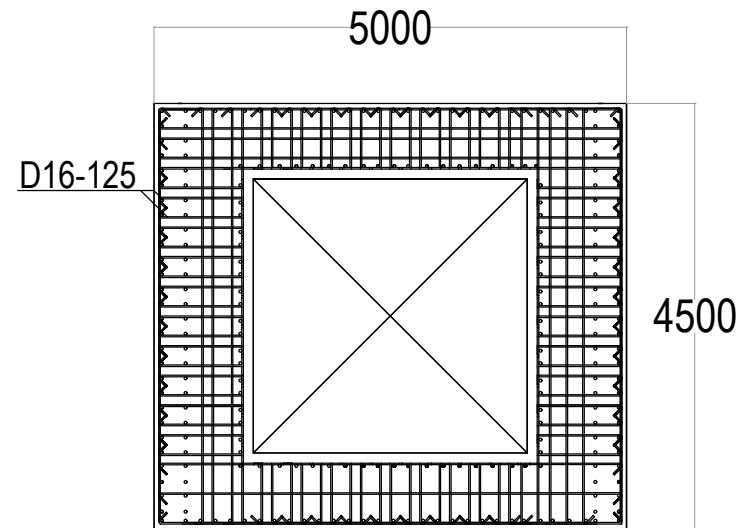
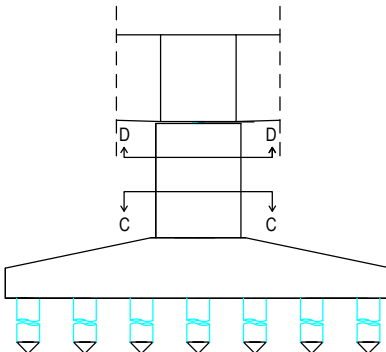
NOMOR GAMBAR

27

JUMLAH GAMBAR

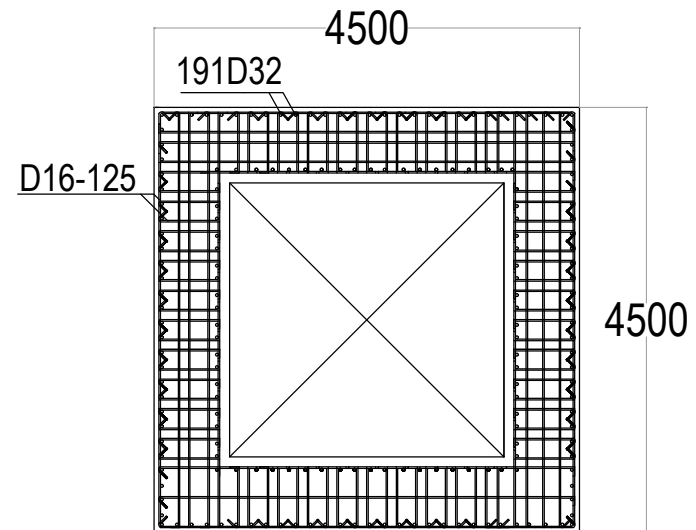
35

CATATAN



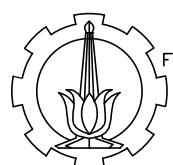
DETAIL TULANGN PILAR PE POT D-D

SCALE 1 : 100



DETAIL TULANGN PILAR PE POT C-C

SCALE 1 : 100



DEPARTEMEN TEKNIK SIPIL
FAKULTAS TEKNIK SIPIL, LINGKUNGAN DAN KEBUMIAN
INSTITUT TEKNOLOGI SEPULUH NOPEMBER
SURABAYA

DEPARTEMEN TEKNIK SIPIL

FAKULTAS TEKNIK SIPIL, LINGKUNGAN DAN KEBUMIAN

INSTITUT TEKNOLOGI SEPULUH NOPEMBER

SURABAYA

JUDUL TUGAS AKHIR

MODIFIKASI PERENCANAAN
FLY OVER
LINGKAR DALAM BARAT
SURABAYA DENGAN
MENGGUNAKAN BALOK
BOX GIRDER PRATEKAN

MAHASISWA

IRVAN PRATAMA PASAK
0311124000066

DOSSEN KONSULTASI

Prof. Dr. Ir. I GUSTI
PUTU RAKA
DATA IRANATA, ST. MT. PhD

SKALA

1:100

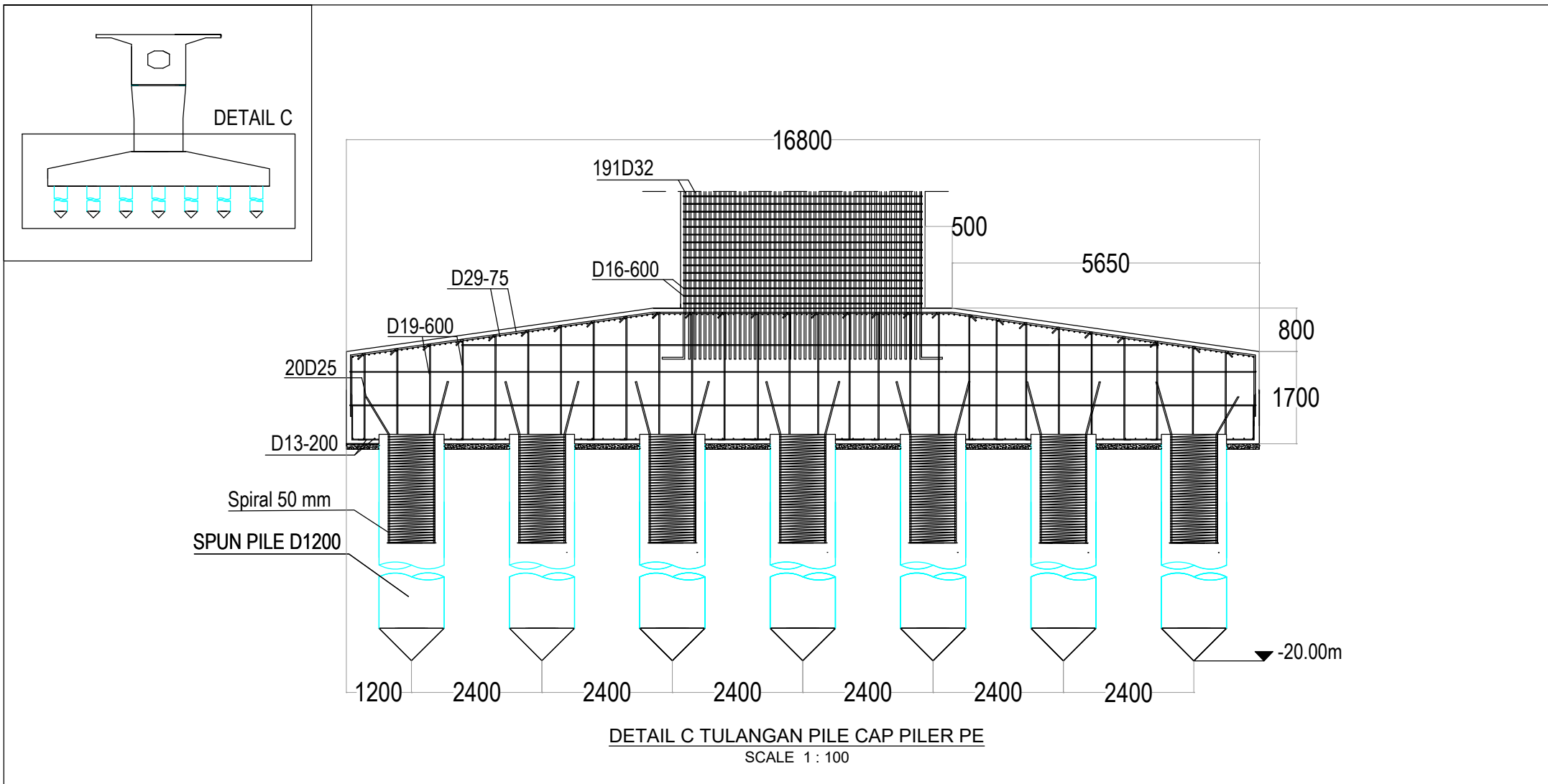
NOMOR GAMBAR

28

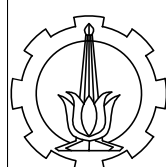
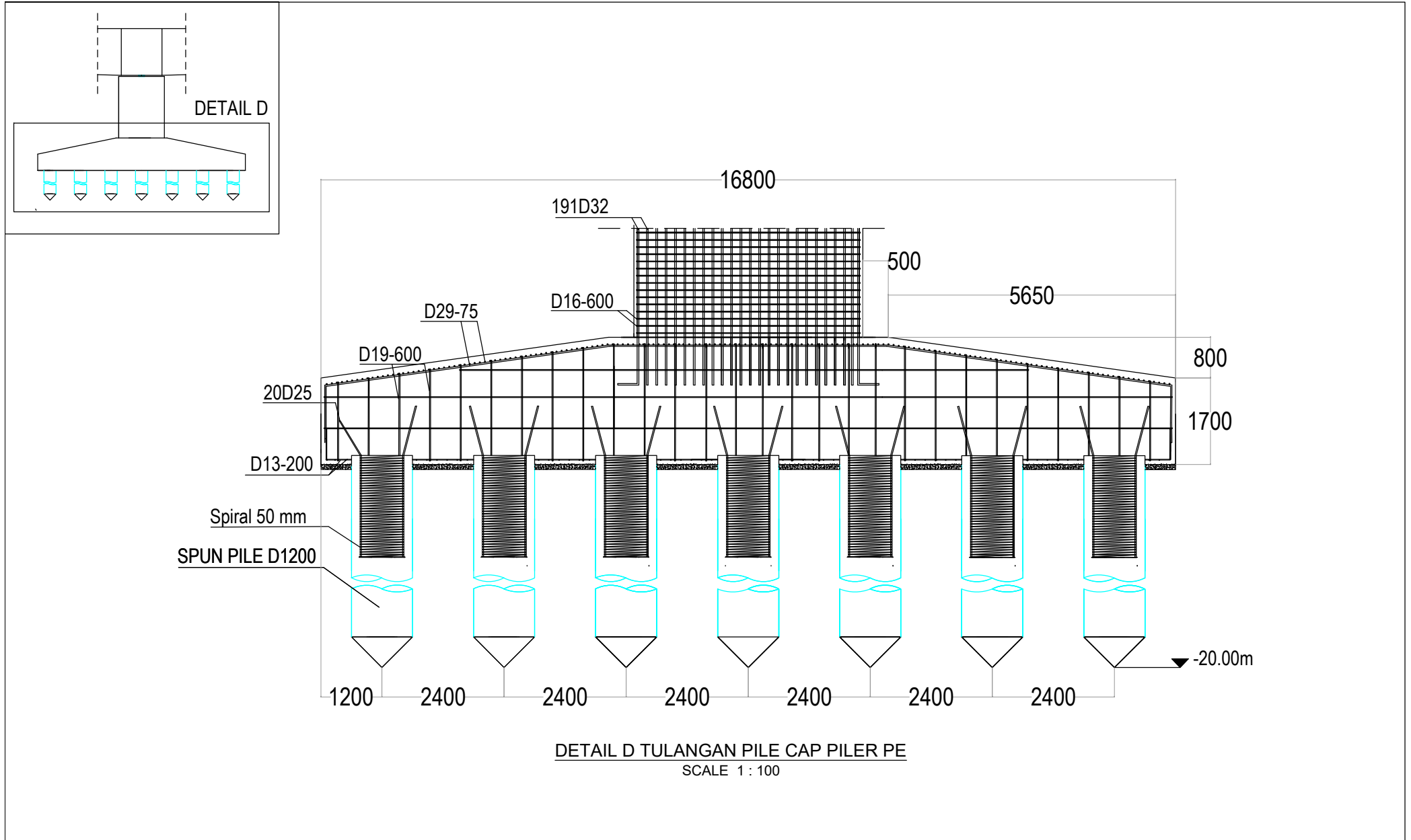
JUMLAH GAMBAR

35

CATATAN



| DEPARTEMEN TEKNIK SIPIL | JUDUL TUGAS AKHIR | MAHASISWA | DOSEN KONSULTASI | SKALA | NOMOR GAMBAR | CATATAN |
|--|--|-------------------------------------|---|-------|---------------------------|---------|
| DEPARTEMEN TEKNIK SIPIL FAKULTAS TEKNIK SIPIL, LINGKUNGAN DAN KEBUMIAN INSTITUT TEKNOLOGI SEPULUH NOPEMBER SURABAYA | MODIFIKASI PERENCANAAN FLY OVER LINGKAR DALAM BARAT SURABAYA DENGAN MENGGUNAKAN BALOK BOX GIRDER PRATEKAN | IRVAN PRATAMA PASAK 031112400066 | Prof. Dr. Ir. I GUSTI PUTU RAKA DATA IRANATA, ST. MT. PhD | 1:100 | 29 JUMLAH GAMBAR 35 | |



DEPARTEMEN TEKNIK SIPIL
FAKULTAS TEKNIK SIPIL, LINGKUNGAN DAN KEBUMIAN
INSTITUT TEKNOLOGI SEPULUH NOPEMBER
SURABAYA

JUDUL TUGAS AKHIR
MODIFIKASI PERENCANAAN
FLY OVER
LINGKAR DALAM BARAT
SURABAYA DENGAN
MENGGUNAKAN BALOK
BOX GIRDER PRATEKAN

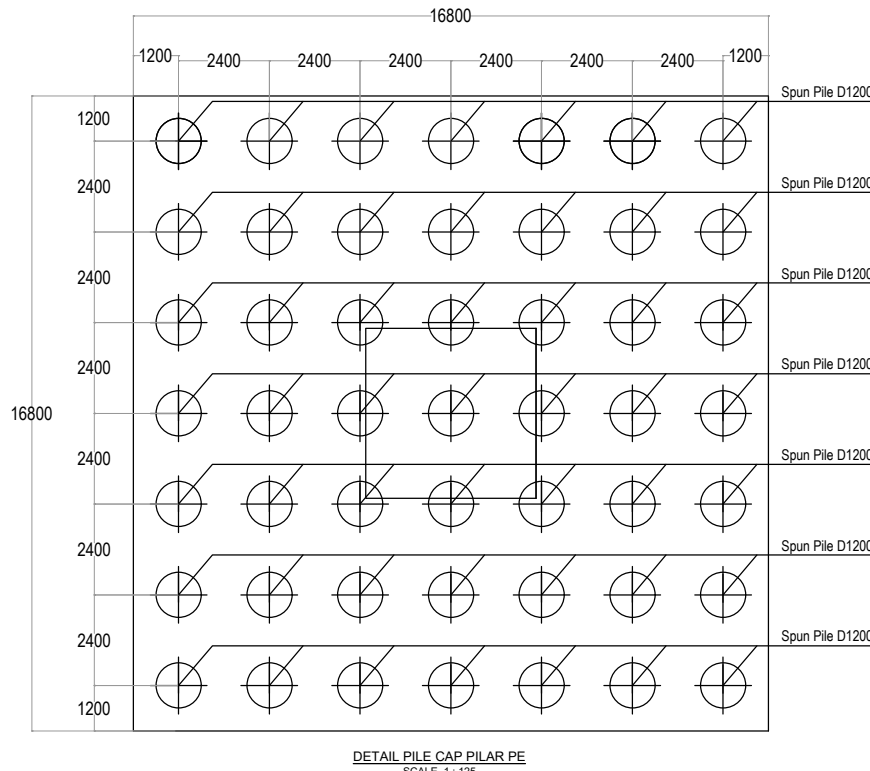
MAHASISWA
IRVAN PRATAMA PASAK
031124000066

DOSEN KONSULTASI
Prof. Dr. Ir. I GUSTI
PUTU RAKA
DATA IRANATA, ST, MT, PhD

SKALA
1:100

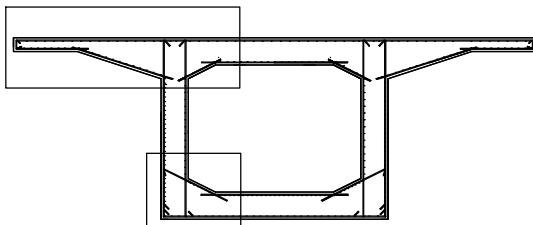
NOMOR GAMBAR
30
JUMLAH GAMBAR
35

CATATAN

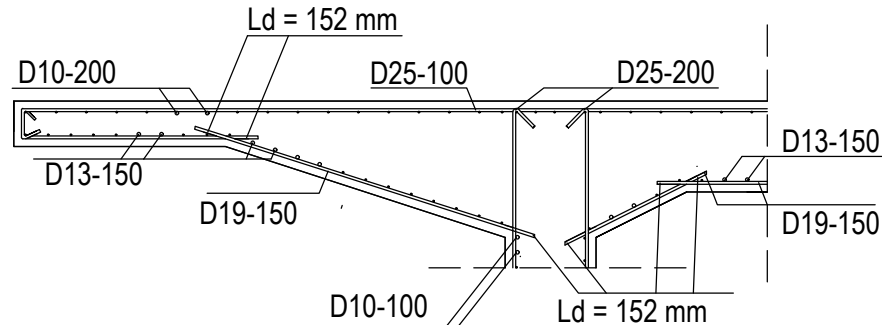


| DEPARTEMEN TEKNIK SIPIL | JUDUL TUGAS AKHIR | MAHASISWA | DOSSEN KONSULTASI | SKALA | NOMOR GAMBAR | CATATAN |
|---|--|--------------------------------------|---|-------|---------------------------|---------|
| FAKULTAS TEKNIK SIPIL, LINGKUNGAN DAN KEBUMIAN INSTITUT TEKNOLOGI SEPULUH NOPEMBER SURABAYA | MODIFIKASI PERENCANAAN FLY OVER LINGKAR DALAM BARAT SURABAYA DENGAN MENGGUNAKAN BALOK BOX GIRDER PRATEKAN | IRVAN PRATAMA PASAK 0311124000066 | Prof. Dr. Ir. I GUSTI PUTU RAKA DATA IRANATA, ST. MT. PhD | 1:200 | 31 JUMLAH GAMBAR 35 | |

DETAIL E

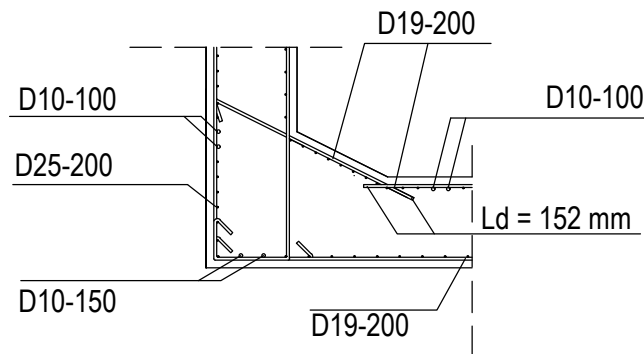


DETAIL F



DETAIL E TULANGAN BOX GIRDER

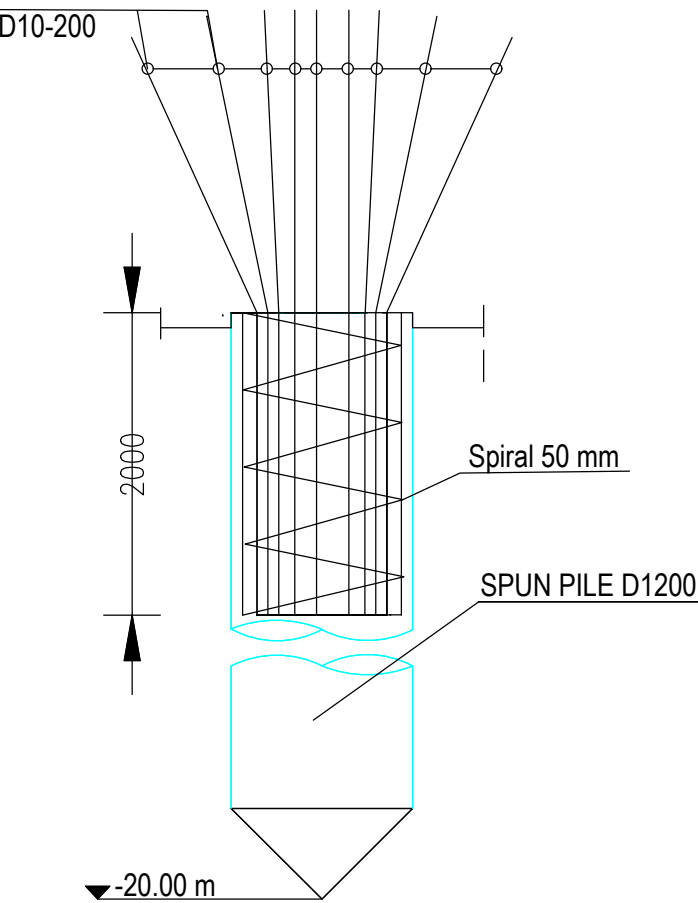
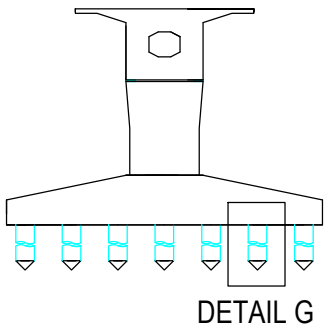
SCALE 1 : 50



DETAIL F TULANGAN BOX GIRDER

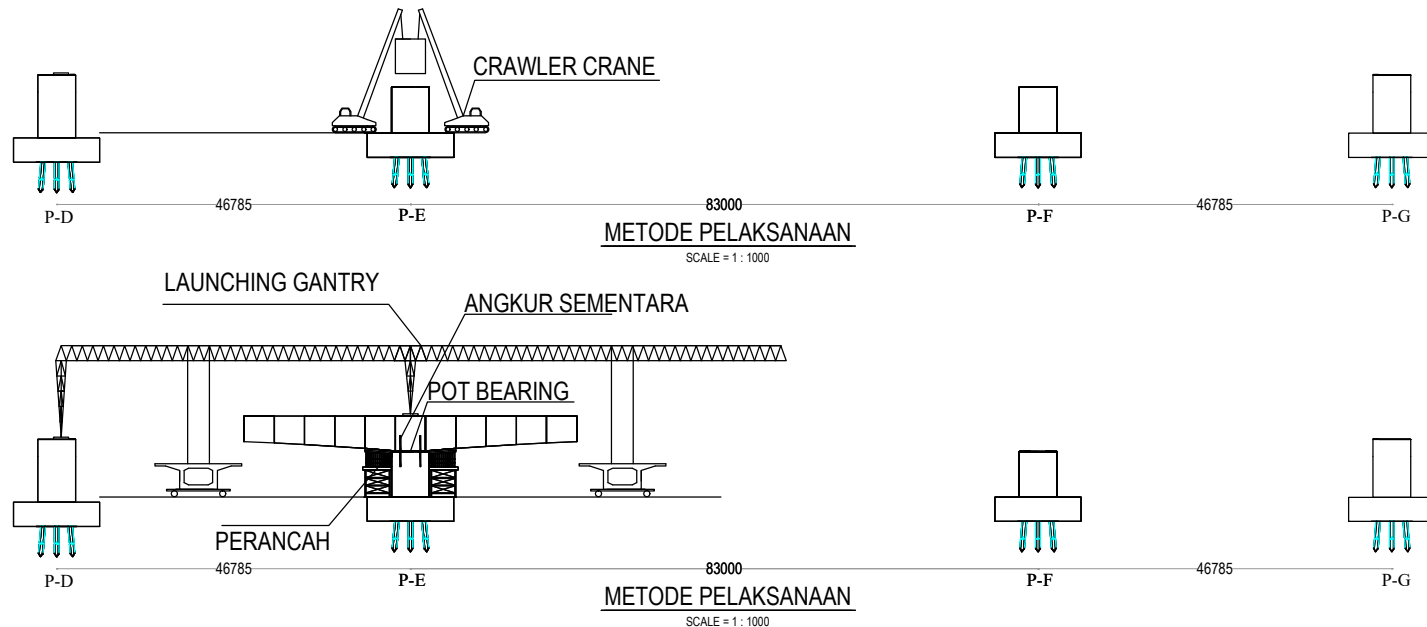
SCALE 1 : 50

| DEPARTEMEN TEKNIK SIPIL | JUDUL TUGAS AKHIR | MAHASISWA | DOSSEN KONSULTASI | SKALA | NOMOR GAMBAR | CATATAN |
|---|--|--------------------------------------|---|-------|---------------|---------|
| FAKULTAS TEKNIK SIPIL, LINGKUNGAN DAN KEBUMIAN INSTITUT TEKNOLOGI SEPULUH NOPEMBER SURABAYA | MODIFIKASI PERENCANAAN FLY OVER LINGKAR DALAM BARAT SURABAYA DENGAN MENGGUNAKAN BALOK BOX GIRDER PRATEKAN | IRVAN PRATAMA PASAK 0311124000066 | Prof. Dr. Ir. I GUSTI PUTU RAKA DATA IRANATA, ST. MT. PhD | 1:50 | 32 | |
| | | | | | JUMLAH GAMBAR | |
| | | | | | 35 | |

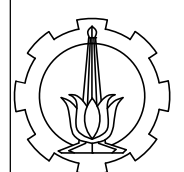
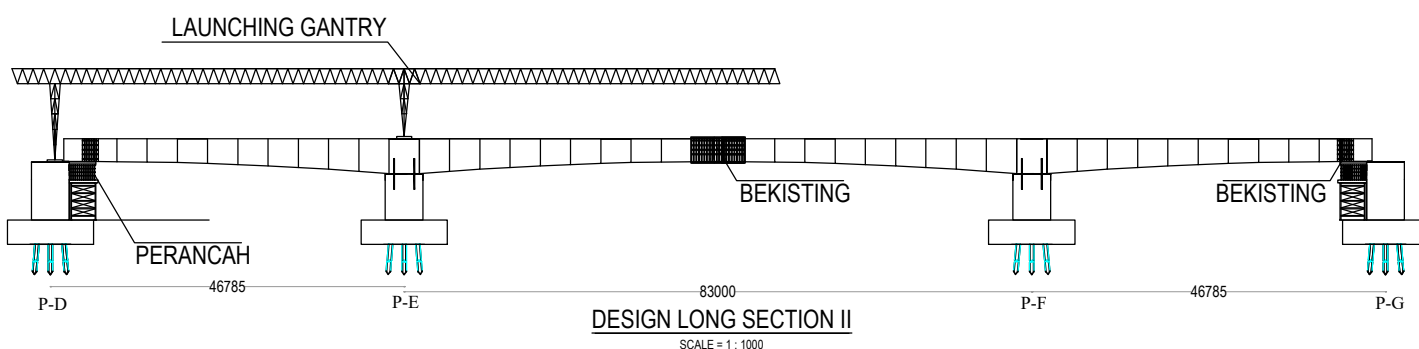
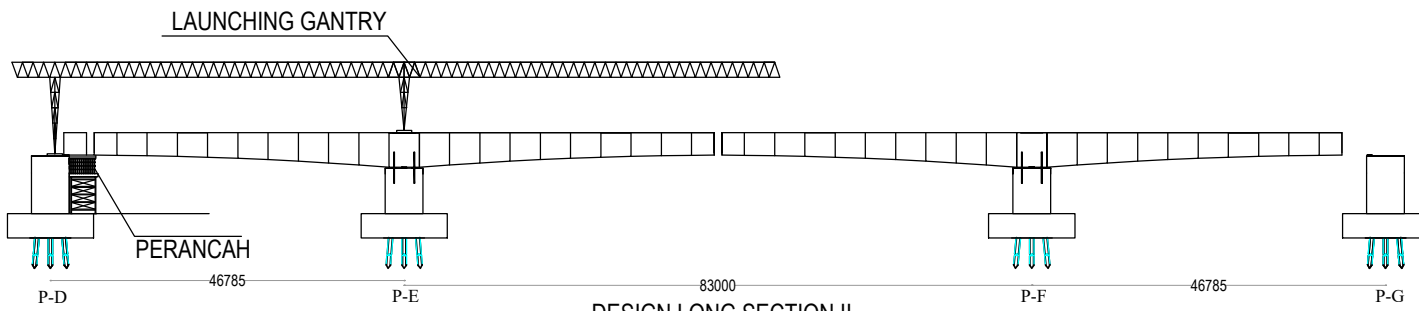


DETAIL G TIANG PANCANG
SCALE 1 : 50

| DEPARTEMEN TEKNIK SIPIL FAKULTAS TEKNIK SIPIL, LINGKUNGAN DAN KEBUMIAN INSTITUT TEKNOLOGI SEPULUH NOPEMBER SURABAYA | JUDUL TUGAS AKHIR MODIFIKASI PERENCANAAN FLY OVER LINGKAR DALAM BARAT SURABAYA DENGAN MENGGUNAKAN BALOK BOX GIRDER PRATEKAN | MAHASISWA IRVAN PRATAMA PASAK 0311124000066 | DOSEN KONSULTASI Prof. Dr. Ir. I GUSTI PUTU RAKA DATA IRANATA, ST. MT. PhD | SKALA 1:100 | NOMOR GAMBAR 33 JUMLAH GAMBAR 35 | CATATAN |
|--|---|---|---|----------------|---|---------|
|--|---|---|---|----------------|---|---------|



| DEPARTEMEN TEKNIK SIPIL FAKULTAS TEKNIK SIPIL, LINGKUNGAN DAN KEBUMIAN INSTITUT TEKNOLOGI SEPULUH NOPEMBER SURABAYA | JUDUL TUGAS AKHIR MODIFIKASI PERENCANAAN FLY OVER LINGKAR DALAM BARAT SURABAYA DENGAN MENGGUNAKAN BALOK BOX GIRDER PRATEKAN | MAHASISWA IRVAN PRATAMA PASAK 0311124000066 | DOSSEN KONSULTASI Prof. Dr. Ir. I GUSTI PUTU RAKA DATA IRANATA, ST. MT. PhD | SKALA 1:1000 | NOMOR GAMBAR 34 JUMLAH GAMBAR 35 | CATATAN |
|--|---|---|--|-----------------|---|---------|
|--|---|---|--|-----------------|---|---------|



DEPARTEMEN TEKNIK SIPIL
FAKULTAS TEKNIK SIPIL, LINGKUNGAN DAN KEBUMIAN
INSTITUT TEKNOLOGI SEPULUH NOPEMBER
SURABAYA

| JUDUL TUGAS AKHIR | MAHASISWA | DOSSEN KONSULTASI | SKALA | NOMOR GAMBAR | CATATAN |
|---|--------------------------------------|--|--------|---------------|---------|
| MODIFIKASI PERENCANAAN FLY OVER LINGKAR DALAM BARAT SURABAYA DENGAN MENGGUNAKAN BALOK BOX GIRDER PRATEKAN | IRVAN PRATAMA PASAK 0311124000066 | Prof. Dr. Ir. I GUSTI PUTU RAKA DATA IRANATA, ST. MT. PhD | 1:1000 | 35 | |
| | | | | JUMLAH GAMBAR | |
| | | | | 35 | |

Tabel koordinat tendon

| Tendon | t1 | | t2 | | t3 | | m1 | | m2 | | m3 | |
|--------|--------|--------|--------|--------|--------|--------|--------|--------|----------|--------|--------|--------|
| Strand | 6-55 | | 6-55 | | 6-55 | | 6-55 | | 6-15(14) | | 6-55 | |
| Joint | z (mm) | y (mm) | z (mm) | y (mm) | z (mm) | y (mm) |
| 0a | | | | | | | 1635 | 1547 | | | 1635 | 923 |
| 1a | | | | | | | 1639 | 1647 | | | 1999 | 1647 |
| 2a | | | | | | | 1640 | 1647 | | | 2107 | 1647 |
| 3a | | | | | | | 1640 | 1647 | | | 2009 | 1647 |
| 4a | | | | | | | 1619 | 1647 | | | 1980 | 1647 |
| 5a | | | | | | | 1603 | 1647 | | | 1902 | 1647 |
| 6a | | | | | 912 | 778 | 1345 | 1647 | | | 1600 | 1647 |
| 7a | | | 1642 | 1162 | 789 | 778 | 1002 | 1647 | | | 1220 | 1647 |
| 8a | | | 735 | 1647 | 382 | 778 | 723 | 1647 | | | 1220 | 1647 |
| 9a | 1046 | 1047 | 382 | 1647 | 180 | 778 | 180 | 1647 | | | 878 | 1647 |
| 10a | 382 | 1162 | 382 | 1647 | 180 | 778 | 180 | 1647 | | | 723 | 1647 |
| 11a | 382 | 1162 | 382 | 1647 | 180 | 778 | 180 | 1647 | | | 723 | 1647 |
| 12 | 382 | 1162 | 382 | 1647 | 180 | 778 | 180 | 1647 | | | 723 | 1647 |
| 11 | 382 | 1162 | 382 | 1647 | 180 | 778 | 180 | 1647 | | | 723 | 1647 |
| 10 | 382 | 1162 | 382 | 1647 | 180 | 778 | 180 | 1647 | | | 723 | 1647 |
| 9 | 1046 | 1047 | 382 | 1647 | 180 | 778 | 180 | 1647 | | | 878 | 1647 |
| 8 | | | 735 | 1647 | 382 | 778 | 723 | 1647 | | | 1220 | 1647 |
| 7 | | | 1642 | 1162 | 789 | 778 | 1002 | 1647 | | | 1220 | 1647 |
| 6 | | | | | 912 | 778 | 1345 | 1647 | | | 3259 | 921 |
| 5 | | | | | | | 1752 | 1647 | | | 3650 | 921 |
| 4 | | | | | | | 1820 | 1647 | | | 3616 | 921 |
| 3 | | | | | | | 1820 | 1647 | | | 3815 | 921 |
| 2 | | | | | | | 1820 | 1647 | | | 3815 | 921 |
| 1 | | | | | | | 1820 | 1647 | 910 | 1398 | 3815 | 921 |
| 0 | | | | | | | 1820 | 1647 | 910 | 1398 | 3815 | 921 |

Table 3.1 : Bor and SPT titik B - 1

Bore Nr : B - 1
 Project : LINGKAR BARAT OSOWILANGON
 Location: SURABAYA

Coordinates of GPS (UTM) X = 0681950
 Y = 9201691
 Diameter of Bore : 73 mm
 Diameter of Casing : 89 mm

| DEPTH (m) | BORE LOG | BORE LOG | | | | | | | | Mechanical Properties | | | | | | | | | | | | | | | |
|--------------|----------|--|----|---------------------------------|--------------|--|------------|----------|----------|-------------------------|-------------------|---------------------------|---------------------|---------------------|--------------|---------------------------|----------|-------------------|-------|------|------|----|-------------|-------|-------|
| | | Standard Penetration Test (SPT) N / 30 cm | | DESCRIPTION | COLOUR | S P T Value Depth sample (Blow / 30 cm) | | | | Grain Size Analysis (%) | | | | Physical Properties | | | | Direct Shear Test | | | | | | | |
| | | 0 | 20 | 40 | 60 | 80 | Gravel (%) | Sand (%) | Silt (%) | Clay (%) | Water Content (%) | Dry Density (γd) (gr/cm³) | Specific Gravity GS | Porosity n | Void Ratio e | Unconfined Test qu kg/cm² | c kg/cm² | φ ° | LL % | PL % | IP % | | | | |
| 0 | | | | | | | | | | | | | | | | | | | | | | | | | |
| 1 | | | | Tanah Timbunan | Coklat Hitam | | | | | | | | | | | | | | | | | | | | |
| 2 | | | | Lanau Kelempungan sedikit Pasir | Coklat | | | | | | | | | | | | | | | | | | | | |
| 3 | | | | | | | | | | 1 + 0.0 + 0.250 = 0 m | 21.14 | 23.46 | 32.59 | 22.80 | 35.16 | 1.368 | 2.664 | 0.484 | 0.937 | 0.43 | 0.25 | 18 | 65.44 | 30.45 | 34.99 |
| 4 | | | | | | | | | | 1 + 4.00 + 4.50 = 0 m | 4.75 | 2.52 | 51.93 | 40.80 | 85.83 | 0.680 | 2.659 | 0.695 | 2.282 | 0.24 | 0.27 | 16 | 72.89 | 36.08 | 36.81 |
| 5 | | | | | | | | | | 1 + 6.00 + 6.50 = 0 m | 0.13 | 3.21 | 52.82 | 43.85 | 83.28 | 0.772 | 2.627 | 0.686 | 2.188 | 0.29 | 0.33 | 12 | 74.40 | 34.32 | 40.09 |
| 6 | | | | | | | | | | 1 + 8.00 + 8.50 = 0 m | 0.14 | 0.83 | 55.26 | 43.77 | 82.05 | 0.744 | 2.596 | 0.681 | 2.130 | 0.28 | 0.36 | 9 | 76.79 | 33.39 | 43.40 |
| 7 | | | | | | | | | | 1 + 10.00 + 10.50 = 0 m | 0.00 | 0.93 | 55.05 | 44.02 | 81.08 | 0.767 | 2.582 | 0.677 | 2.094 | 0.30 | 0.38 | 7 | 78.49 | 33.20 | 45.29 |
| 8 | | | | | | | | | | 1 + 12.00 + 12.50 = 0 m | 0.00 | 0.58 | 60.27 | 39.15 | 85.38 | 0.684 | 2.575 | 0.687 | 2.198 | 0.26 | 0.41 | 5 | 82.16 | 35.14 | 47.03 |
| 9 | | | | | | | | | | 1 + 14.00 + 14.50 = 0 m | 0.00 | 0.62 | 57.60 | 41.78 | 86.78 | 0.629 | 2.578 | 0.691 | 2.237 | 0.21 | 0.39 | 6 | 83.85 | 37.22 | 46.62 |
| 10 | | | | | | | | | | | 0.00 | 1.38 | 55.02 | 43.60 | 88.07 | 0.660 | 2.603 | 0.696 | 2.293 | 0.22 | 0.35 | 10 | 79.61 | 37.48 | 42.13 |
| 11 | | | | | | | | | | | 0.00 | 1.54 | 51.66 | 46.80 | 86.10 | 0.655 | 2.611 | 0.692 | 2.248 | 0.21 | 0.34 | 11 | 77.33 | 36.18 | 41.15 |
| 12 | | | | | | | | | | | 0.00 | 0.96 | 54.35 | 44.69 | 84.82 | 0.682 | 2.593 | 0.687 | 2.199 | 0.25 | 0.37 | 8 | 79.20 | 35.08 | 44.12 |
| 13 | | | | | | | | | | | 0.14 | 4.77 | 51.49 | 43.60 | 81.53 | 0.762 | 2.633 | 0.682 | 2.147 | 0.28 | 0.32 | 13 | 73.42 | 34.16 | 39.26 |
| 14 | | | | | | | | | | | 0.39 | 6.03 | 52.30 | 41.28 | 43.68 | 1.239 | 2.652 | 0.537 | 1.159 | 0.31 | 0.28 | 15 | 69.39 | 32.30 | 37.09 |
| 15 | | | | | | | | | | | 0.10 | 4.89 | 61.14 | 33.88 | 40.45 | 1.284 | 2.642 | 0.517 | 1.069 | 0.33 | 0.30 | 14 | 67.71 | 31.60 | 36.11 |
| 16 | | | | | | | | | | | 57.04 | 26.74 | 16.21 | 0.00 | 16.71 | 1.832 | 2.686 | 0.310 | 0.449 | | 0.23 | 21 | NON PLASTIS | | |
| 17 | | | | | | | | | | | 14.05 | 54.13 | 31.82 | 0.00 | 29.39 | 1.550 | 2.673 | 0.440 | 0.786 | | 0.24 | 19 | NON PLASTIS | | |
| 18 | | | | | | | | | | | | | | | | | | | | | | | | | |
| 19 | | | | | | | | | | | | | | | | | | | | | | | | | |
| 20 | | | | | | | | | | | | | | | | | | | | | | | | | |
| 21 | | | | | | | | | | | | | | | | | | | | | | | | | |
| 22 | | | | | | | | | | | | | | | | | | | | | | | | | |
| 23 | | | | | | | | | | | | | | | | | | | | | | | | | |
| 24 | | | | | | | | | | | | | | | | | | | | | | | | | |
| 25 | | | | | | | | | | | | | | | | | | | | | | | | | |
| 26 | | | | | | | | | | | | | | | | | | | | | | | | | |
| 27 | | | | | | | | | | | | | | | | | | | | | | | | | |
| 28 | | | | | | | | | | | | | | | | | | | | | | | | | |
| 29 | | | | | | | | | | | | | | | | | | | | | | | | | |
| 30 | | | | | | | | | | | | | | | | | | | | | | | | | |

Manajer Teknis

Table 3.2 : Bor and SPT titik B - 2

Bore Nr: B - 2
 Project : LINGKAR BARAT OSOWILANGON
 Location: SURABAYA

Coordinates of GPS (UTM) X = 0681906
 Y = 9201590
 Diameter of Bore : 73 mm
 Diameter of Casing : 89 mm

BORE LOG

| DEPTH (m) | BORE LOG | Standard Penetration Test (SPT) N / 30 cm | DESCRIPTION | COLOUR | S P T Value | | | | Grain Size Analysis (%) | | | | Physical Properties | | | | | Mechanical Properties | | | | | |
|--------------|----------|--|----------------|--------------|----------------------------------|--|--|--|-------------------------|-------------|-------------|-------------|----------------------|--|---------------------|------------|--------------|---------------------------------------|--|--------------------------|-------------|--------|-------|
| | | | | | Depth sample (Blow / 30 cm) | | | | Gravel (%) | Sand (%) | Silt (%) | Clay (%) | Water Content (%) | Dry Density (yd) (gr/cm ³) | Specific Gravity GS | Porosity n | Void Ratio e | Unconfined Test qu kg/cm ² | Direct Shear Test c kg/cm ² | Atterberg Test LL (%) | PL (%) | IP (%) | |
| | | | | | | | | | | | | | | | | | | | | | | | |
| 0 | | 0 20 40 60 80 | | | | | | | | | | | | | | | | | | | | | |
| 1 | | | Tanah Timbunan | Coklat Hitam | | | | | | | | | | | | | | | | | | | |
| 2 | | | | | | | | | 4.85 | 8.54 | 47.49 | 39.12 | 83.15 | 0.793 | 2.654 | 0.688 | 2.207 | 0.32 | 0.27 | 16 | 71.57 | 36.10 | 35.47 |
| 3 | | | | | | | | | 0.18 | 3.06 | 53.89 | 42.88 | 84.49 | 0.753 | 2.623 | 0.689 | 2.216 | 0.30 | 0.33 | 12 | 75.34 | 37.14 | 38.20 |
| 4 | | | | | | | | | 0.00 | 1.26 | 56.06 | 42.68 | 82.18 | 0.730 | 2.597 | 0.681 | 2.134 | 0.26 | 0.36 | 9 | 78.68 | 35.27 | 43.40 |
| 5 | | | | | | | | | 0.00 | 0.72 | 53.15 | 46.13 | 80.69 | 0.747 | 2.590 | 0.676 | 2.089 | 0.29 | 0.40 | 6 | 79.56 | 34.21 | 45.35 |
| 6 | | | | | | | | | 0.13 | 1.05 | 57.03 | 41.78 | 81.30 | 0.724 | 2.592 | 0.678 | 2.107 | 0.28 | 0.37 | 8 | 77.39 | 35.29 | 42.11 |
| 7 | | | | | | | | | 0.00 | 0.64 | 56.91 | 42.45 | 82.71 | 0.665 | 2.585 | 0.681 | 2.138 | 0.24 | 0.42 | 5 | 81.33 | 35.06 | 46.27 |
| 8 | | | | | | | | | 1.71 | 7.53 | 59.48 | 31.28 | 82.47 | 0.686 | 2.641 | 0.685 | 2.179 | 0.25 | 0.28 | 15 | 72.24 | 36.12 | 36.12 |
| 9 | | | | | | | | | 0.14 | 1.67 | 55.18 | 43.01 | 84.14 | 0.636 | 2.607 | 0.687 | 2.194 | 0.22 | 0.35 | 10 | 78.55 | 37.37 | 41.18 |
| 10 | | | | | | | | | 0.13 | 2.34 | 51.64 | 45.89 | 85.66 | 0.666 | 2.615 | 0.691 | 2.240 | 0.23 | 0.34 | 11 | 77.81 | 37.11 | 40.70 |
| 11 | | | | | | | | | 0.16 | 4.88 | 54.81 | 40.15 | 83.94 | 0.732 | 2.633 | 0.689 | 2.210 | 0.27 | 0.29 | 14 | 73.38 | 36.22 | 37.16 |
| 12 | | | | | | | | | 0.47 | 2.80 | 58.22 | 38.50 | 79.17 | 0.747 | 2.628 | 0.675 | 2.081 | 0.29 | 0.32 | 13 | 73.82 | 34.25 | 39.58 |
| 13 | | | | | | | | | 0.12 | 17.53 | 47.17 | 35.18 | 34.25 | 1.390 | 2.675 | 0.478 | 0.916 | 0.45 | 0.24 | 18 | 64.56 | 30.41 | 34.15 |
| 14 | | | | | | | | | 0.28 | 0.90 | 53.15 | 45.67 | 53.98 | 1.100 | 2.601 | 0.584 | 1.404 | 0.33 | 0.39 | 7 | 76.36 | 32.08 | 44.29 |
| 15 | | | | | | | | | 0.25 | 17.82 | 48.26 | 33.67 | 41.90 | 1.250 | 2.662 | 0.527 | 1.115 | 0.38 | 0.26 | 17 | 66.46 | 31.33 | 35.13 |
| 16 | | | | | | | | | 0.26 | 66.38 | 33.36 | 0.00 | 27.76 | 1.523 | 2.683 | 0.427 | 0.745 | | 0.23 | 20 | NON PLASTIS | | |
| 17 | | | | | | | | | | | | | | | | | | | | | | | |
| 18 | | | | | | | | | | | | | | | | | | | | | | | |
| 19 | | | | | | | | | | | | | | | | | | | | | | | |
| 20 | | | | | | | | | | | | | | | | | | | | | | | |
| 21 | | | | | | | | | | | | | | | | | | | | | | | |
| 22 | | | | | | | | | | | | | | | | | | | | | | | |
| 23 | | | | | | | | | | | | | | | | | | | | | | | |
| 24 | | | | | | | | | | | | | | | | | | | | | | | |
| 25 | | | | | | | | | | | | | | | | | | | | | | | |
| 26 | | | | | | | | | | | | | | | | | | | | | | | |
| 27 | | | | | | | | | | | | | | | | | | | | | | | |
| 28 | | | | | | | | | | | | | | | | | | | | | | | |
| 29 | | | | | | | | | | | | | | | | | | | | | | | |
| 30 | | | | | | | | | | | | | | | | | | | | | | | |

Manajer Teknis

Table 3.3 : Bor and SPT titik B - 3

Bore No: B - 3
 Project: LINGKAR BARAT OSOWILANGON
 Location: SURABAYA

Coordinates of GPS (UTM) X = 0682108
 Y = 9201948
 Diameter of Bore : 73 mm
 Diameter of Casing : 89 mm

BORE LOG

| DEPTH (m) | BORE LOG | Standard Penetration Test (SPT) N / 30 cm | | DESCRIPTION | COLOUR | S P T Value | | Grain Size Analysis (%) | | | | Physical Properties | | | | | Mechanical Properties | | | | |
|--------------|----------|--|----|-------------------|--------|----------------------------------|---------------|-------------------------|-------------|-------------|----------------------|--|---------------------|------------|--------------|---------------------------------------|-----------------------|-----|----------------|------|------|
| | | | | | | Depth sample (Blow / 30 cm) | Gravel (%) | Sand (%) | Silt (%) | Clay (%) | Water Content (%) | Dry Density (yd ³) (gr/cm ³) | Specific Gravity GS | Porosity n | Void Ratio e | Unconfined Test qu kg/cm ² | Direct Shear Test | | Atterberg Test | | |
| | | 0 | 20 | 40 | 60 | 80 | | | | | | | | | | | c kg/cm ² | φ ° | LL % | PL % | IP % |
| 0 | | | | Lanau Kelempungan | Coklat | | | | | | | | | | | | | | | | |
| 1 | | | | | | | | | | | | | | | | | | | | | |
| 2 | | | | | | | | | | | | | | | | | | | | | |
| 3 | | | | | | | | | | | | | | | | | | | | | |
| 4 | | | | | | | | | | | | | | | | | | | | | |
| 5 | | | | | | | | | | | | | | | | | | | | | |
| 6 | | | | | | | | | | | | | | | | | | | | | |
| 7 | | | | | | | | | | | | | | | | | | | | | |
| 8 | | | | | | | | | | | | | | | | | | | | | |
| 9 | | | | | | | | | | | | | | | | | | | | | |
| 10 | | | | | | | | | | | | | | | | | | | | | |
| 11 | | | | | | | | | | | | | | | | | | | | | |
| 12 | | | | | | | | | | | | | | | | | | | | | |
| 13 | | | | | | | | | | | | | | | | | | | | | |
| 14 | | | | | | | | | | | | | | | | | | | | | |
| 15 | | | | | | | | | | | | | | | | | | | | | |
| 16 | | | | | | | | | | | | | | | | | | | | | |
| 17 | | | | | | | | | | | | | | | | | | | | | |
| 18 | | | | | | | | | | | | | | | | | | | | | |
| 19 | | | | | | | | | | | | | | | | | | | | | |
| 20 | | | | | | | | | | | | | | | | | | | | | |
| 21 | | | | | | | | | | | | | | | | | | | | | |
| 22 | | | | | | | | | | | | | | | | | | | | | |
| 23 | | | | | | | | | | | | | | | | | | | | | |
| 24 | | | | | | | | | | | | | | | | | | | | | |
| 25 | | | | | | | | | | | | | | | | | | | | | |
| 26 | | | | | | | | | | | | | | | | | | | | | |
| 27 | | | | | | | | | | | | | | | | | | | | | |
| 28 | | | | | | | | | | | | | | | | | | | | | |
| 29 | | | | | | | | | | | | | | | | | | | | | |
| 30 | | | | | | | | | | | | | | | | | | | | | |

Manajer Teknis

PROPERTIES OF ICP PILES

GRADE 90 PILES

CLASS A (EFFECTIVE PRESTRESS $\geq 4.0 \text{ N/mm}^2$)

| Nominal Diameter | Nominal Thickness | Length | Nominal Weight | Prestressing Bar | | | Area of Concrete | Section Modulus | Bending Moment | | Recommended Max Structural Axial Working Load (For a short strut) | Effective Prestress |
|------------------|-------------------|--------|----------------|------------------|-------|--------|------------------|-----------------|----------------|----------|---|---------------------|
| | | | | 7.1mm | 9.0mm | 10.7mm | | | Cracking | Ultimate | | |
| | | | | no. | no. | no. | | | kNm | kNm | | |
| 300 | 60 | 6-12 | 118 | 6 | - | - | 45,239 | 2,373 | 21.9 | 34.8 | 98 | 4.9 |
| 350 | 60 | 6-12 | 142 | 8 | - | - | 54,664 | 3,533 | 33.8 | 54.1 | 118 | 5.3 |
| 400 | 65 | 6-12 | 178 | 8 | - | - | 68,408 | 5,106 | 43.9 | 61.8 | 149 | 4.3 |
| 450 | 70 | 6-12 | 217 | 10 | - | - | 83,566 | 7,113 | 62.2 | 86.9 | 182 | 4.5 |
| 500 | 80 | 6-12 | 274 | 12 | - | - | 105,558 | 9,888 | 84.8 | 115.9 | 231 | 4.3 |
| 600 | 90 | 6-12 | 375 | - | 12 | - | 144,199 | 16,586 | 152.9 | 222.5 | 313 | 5.0 |
| 250 | 55 | 6-12 | 88 | 6 | - | - | 33,694 | 1,435 | 15.3 | 29.0 | 72 | 6.4 |
| 300 | 60 | 6-12 | 118 | 7 | - | - | 45,239 | 2,383 | 23.5 | 40.6 | 97 | 5.6 |
| 350 | 70 | 6-12 | 160 | 9 | - | - | 61,575 | 3,778 | 36.5 | 60.8 | 133 | 5.4 |
| 400 | 80 | 6-15 | 209 | 12 | - | - | 80,425 | 5,643 | 55.0 | 92.7 | 173 | 5.5 |
| 450 | 80 | 6-15 | 242 | - | 8 | - | 92,991 | 7,624 | 71.9 | 111.2 | 201 | 5.2 |
| 500 | 90 | 6-15 | 301 | - | 10 | - | 115,925 | 10,518 | 98.5 | 154.5 | 251 | 5.1 |
| 600 | 100 | 6-15 | 408 | - | 14 | - | 157,080 | 17,546 | 167.3 | 259.6 | 339 | 5.3 |
| 700 | 110 | 6-18 | 530 | - | 20 | - | 203,889 | 27,131 | 265.1 | 432.6 | 386 | 5.8 |
| 800 | 120 | 6-18 | 667 | - | 24 | - | 256,354 | 39,455 | 376.8 | 593.3 | 487 | 5.5 |
| 900 | 130 | 6-18 | 818 | - | 28 | - | 314,473 | 54,942 | 510.3 | 778.7 | 599 | 5.3 |
| 1000 | 140 | 6-18 | 983 | - | - | 24 | 378,248 | 74,056 | 688.9 | 1042.8 | 720 | 5.3 |
| 1200 | 150 | 6-18 | 1286 | - | - | 36 | 494,801 | 120,188 | 1198.5 | 1877.1 | 934 | 6.0 |



CLASS A (EFFECTIVE PRESTRESS $\geq 4.0 \text{ N/mm}^2$)

| Nominal Diameter | Nominal Thickness | Length | Nominal Weight | Prestressing Bar | | | Area of Concrete | Section Modulus | Bending Moment | | Recommended Max Structural Axial Working Load (For a short strut) | Effective Prestress |
|------------------|-------------------|--------|----------------|------------------|-------|--------|------------------|-----------------|----------------|----------|---|---------------------|
| | | | | 7.1mm | 9.0mm | 10.7mm | | | Cracking | Ultimate | | |
| | | | | no. | no. | no. | | | kNm | kNm | | |
| 300 | 60 | 6-12 | 118 | 6 | - | - | 45,239 | 2,373 | 21.3 | 34.8 | 87 | 4.9 |
| 350 | 60 | 6-12 | 142 | 8 | - | - | 54,664 | 3,533 | 32.9 | 54.1 | 104 | 5.3 |
| 400 | 65 | 6-12 | 178 | 8 | - | - | 68,408 | 5,106 | 42.7 | 61.8 | 132 | 4.3 |
| 450 | 70 | 6-12 | 217 | 10 | - | - | 83,566 | 7,113 | 60.4 | 86.9 | 161 | 4.5 |
| 500 | 80 | 6-12 | 274 | 12 | - | - | 105,558 | 9,888 | 82.3 | 115.9 | 204 | 4.3 |
| 600 | 90 | 6-12 | 375 | - | 12 | - | 144,199 | 16,586 | 148.8 | 222.5 | 276 | 5.0 |

CLASS B (EFFECTIVE PRESTRESS $\geq 5.0 \text{ N/mm}^2$)

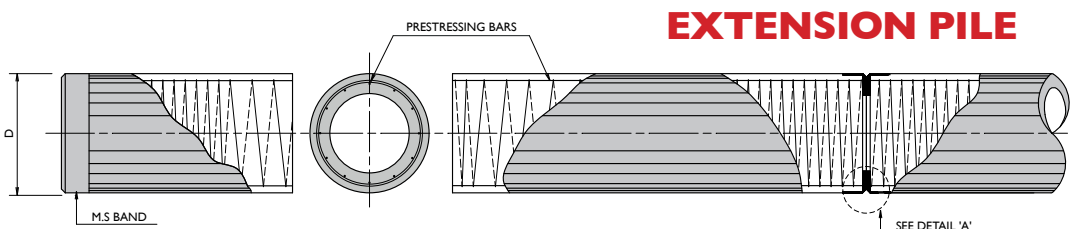
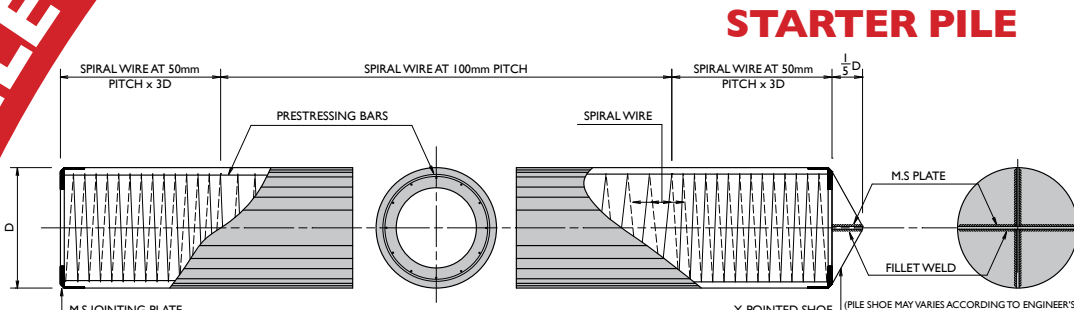
| Nominal Diameter | Nominal Thickness | Length | Nominal Weight | Prestressing Bar | | | Area of Concrete | Section Modulus | Bending Moment | | Recommended Max Structural Axial Working Load (For a short strut) | Effective Prestress |
|------------------|-------------------|--------|----------------|------------------|-------|--------|------------------|-----------------|----------------|----------|---|---------------------|
| | | | | 7.1mm | 9.0mm | 10.7mm | | | Cracking | Ultimate | | |
| | | | | no. | no. | no. | | | kNm | kNm | | |
| 250 | 55 | 6-12 | 88 | 6 | - | - | 33,694 | 1,435 | 14.9 | 29.0 | 63 | 6.4 |
| 300 | 60 | 6-12 | 118 | 7 | - | - | 45,239 | 2,383 | 22.9 | 40.6 | 86 | 5.6 |
| 350 | 70 | 6-12 | 160 | 9 | - | - | 61,575 | 3,778 | 35.6 | 60.8 | 117 | 5.4 |
| 400 | 80 | 6-15 | 209 | 12 | - | - | 80,425 | 5,643 | 53.7 | 92.7 | 153 | 5.5 |
| 450 | 80 | 6-15 | 242 | - | 8 | - | 92,991 | 7,624 | 70.0 | 111.2 | 177 | 5.2 |
| 500 | 90 | 6-15 | 301 | - | 10 | - | 115,925 | 10,518 | 95.9 | 154.5 | 221 | 5.1 |
| 600 | 100 | 6-15 | 408 | - | 14 | - | 157,080 | 17,546 | 163.1 | 259.6 | 299 | 5.3 |
| 700 | 110 | 6-18 | 530 | - | 20 | - | 203,889 | 27,131 | 265.1 | 432.6 | 386 | 5.8 |
| 800 | 120 | 6-18 | 667 | - | 24 | - | 256,354 | 39,455 | 376.8 | 593.3 | 487 | 5.5 |
| 900 | 130 | 6-18 | 818 | - | 28 | - | 314,473 | 54,942 | 510.3 | 778.7 | 599 | 5.3 |
| 1000 | 140 | 6-18 | 983 | - | - | 36 | 378,248 | 75,188 | 864.5 | 1564.3 | 699 | 7.5 |
| 1200 | 150 | 6-18 | 1286 | - | - | 46 | 494,801 | 121,361 | 1378.6 | 2398.6 | 916 | 7.3 |

CLASS C (EFFECTIVE PRESTRESS $\geq 7.0 \text{ N/mm}^2$)

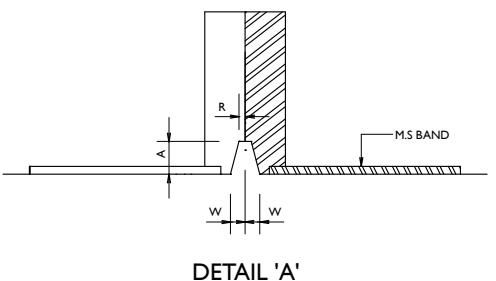
| Nominal Diameter | Nominal Thickness | Length | Nominal Weight | Prestressing Bar | | | Area of Concrete | Section Modulus | Bending Moment | | Recommended Max Structural Axial Working Load (For a short strut) | Effective Prestress |
|------------------|-------------------|--------|----------------|------------------|-------|--------|------------------|-----------------|----------------|----------|---|---------------------|
| | | | | 7.1mm | 9.0mm | 10.7mm | | | Cracking | Ultimate | | |
| | | | | | | | | | | | | |

SECTIONAL DETAILS & BONDING INTO PILE CAP

SECTIONAL DETAILS OF ICP PILES



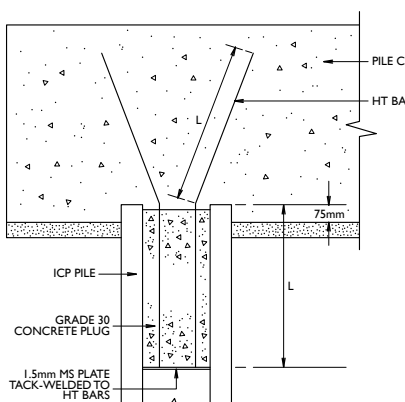
JOINT WELDING DETAILS



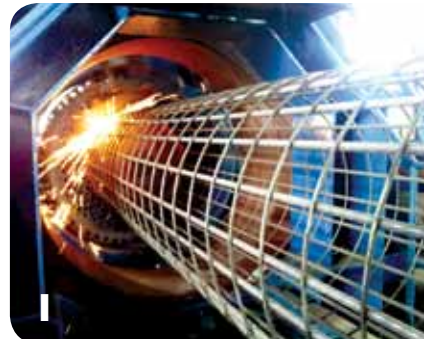
| Dia Of Pile D mm | Throat Thickness A mm | W mm | R mm |
|-------------------------------|---------------------------------------|----------------|----------------|
| 250 | 8.5 | 4.0 | 2.0 |
| 300 | 8.5 | 4.0 | 2.0 |
| 350 | 8.5 | 4.0 | 2.0 |
| 400 | 10 | 4.5 | 2.0 |
| 450 | 10 | 4.5 | 2.0 |
| 500 | 12 | 5.0 | 2.0 |
| 600 | 12 | 5.0 | 2.0 |
| 700 | 14 | 6.0 | 2.0 |
| 800 | 14 | 6.0 | 2.0 |
| 900 | 14 | 6.0 | 2.0 |
| 1000 | 14 | 6.0 | 2.0 |
| 1200 | 14 | 6.0 | 2.0 |

BONDING ICP PILES INTO PILE CAP

| Dia Of Pile D mm | HT Bars | | |
|-------------------------------|----------|------|------|
| | Quantity | Dia. | L |
| 250 | 4 | 12 | 500 |
| 300 | 4 | 12 | 500 |
| 350 | 5 | 12 | 550 |
| 400 | 5 | 12 | 700 |
| 450 | 5 | 16 | 800 |
| 500 | 6 | 16 | 900 |
| 600 | 8 | 16 | 1000 |
| 700 | 8 | 20 | 1200 |
| 800 | 8 | 20 | 1400 |
| 900 | 10 | 25 | 1500 |
| 1000 | 12 | 25 | 1500 |
| 1200 | 20 | 25 | 2000 |



As the PC bars are bonded with concrete, ICP Piles may be cut off at any point. The piles need not be stripped down to expose the bars and can be bonded to the pile cap as shown in the above sketch. If the piles are not subjected to tensile loads, the recommended H.T. bars are considered adequate.



CAGE MAKING/ MOULD SETTING

PC bars in coil form are straightened and cut to correct lengths. The ends are warm-headed to form button heads. The bars are passed through the cage forming machine where spiral wire is automatically spot-welded at the correct spacings. End plates are fitted to the cage. The whole cage is then placed onto the bottom half mould.



CONCRETE FEEDING

Concrete from the computerised batching plant is discharged into a feeding hopper. Concrete is then fed into the bottom half mould. The top half mould is then bolted to the bottom half.



STRESSING

The PC bars are stressed against the mould through a central shaft and stressing plate. The stressing is being carried out in a single operation. This ensures uniformity of stress in all the PC bars and hence straightness of the pile.



PILE SPINNING

The pile is then compacted by the centrifugal spinning machine. Spinning process squeezes out excess water, thus increases the concrete strength.



STEAM CURING

The pile is sent to the steam tank for rapid curing process in order to achieve the required transfer strength for early demoulding.



DEMOULDING

After demoulding, final QC inspection is carried out according to the specification.

MANUFACTURING PROCESS

1.3 - STRAND PROPERTIES 15mm (0.6")

| Strand type | | prEN 10138 – 3 (2006) Y1860S7 | | ASTM A 416-06 Grade 270 |
|--|-----------------------------------|----------------------------------|-------------------|----------------------------|
| Nominal diameter | d (mm) | 15.3 | 15.7 | 15.24 |
| Nominal cross section | A _p (mm ²) | 140 | 150 | 140 |
| Nominal mass | M (kg/m) | 1.093 | 1.172 | 1.102 |
| Nominal yield strength | f _{p0,1k} (MPa) | 1636 ¹ | 1640 ¹ | 1676 ² |
| Nominal tensile strength | f _{pk} (MPa) | 1860 | 1860 | 1860 |
| Specif./min. breaking load | F _{pk} (kN) | 260 | 279 | 260.7 |
| Young's modulus | (GPa) | | approx. 195 | |
| Relaxation ³ after 1000 h at 20°C and 0.7 x F _{pk} | (%) | | max. 2.5 | |

1) Characteristic value measured at 0.1% permanent extension

2) Minimum load at 1% extension for low-relaxation strand

3) Valid for relaxation class acc. to prEN 10138-3 or low-relaxation grade acc. to ASTM A 416-06

1.4 - TENDON PROPERTIES 15mm (0.6")

| Unit | Strands numbers | Steel area | | Breaking load | | Corrugated steel duct ³ (recommended) | Corrugated plastic duct VSL PT-PLUS® | Steel pipes | | |
|------|-----------------|--|--|---|--|---|---|--------------------|----|---------------------|
| | | A _p acc. to prEN | ASTM | Y1860S7 (prEN) | Grade 270 (ASTM) | | | | | |
| | | d=15.3 mm A _p =140 mm ² | d=15.7 mm A _p =150 mm ² | d=15.24 mm A _p =140 mm ² | d=15.3 mm A _p =140 mm ² | d=15.7 mm A _p =150 mm ² | d=15.24 mm A _p =140 mm ² | Ø ext. x t | | |
| | | [mm ²] | [mm ²] | [mm ²] | [kN] | [kN] | [mm] | [mm] | | |
| 6-1 | 1 | 140 | 150 | 140 | 260 | 279 | 25/30 | 22/25 | 4 | 25.0 x 2.0 |
| 6-2 | 2 | 280 | 300 | 280 | 520 | 558 | 40/45 | 76/25 ⁴ | - | 42.4 x 2.0/2.5/3.0 |
| 6-3 | 3 | 420 | 450 | 420 | 780 | 837 | 40/45 | 76/25 ⁴ | - | 42.4 x 2.0/2.5/3.0 |
| 6-4 | 4 | 560 | 600 | 560 | 1040 | 1116 | 45/50 ⁴ | 76/25 ⁴ | - | 48.3 x 2.0/2.5/3.0 |
| 6-7 | 5 | 700 | 750 | 700 | 1300 | 1395 | 50/57 | 58/63 | 13 | 76.1 x 2.0/2.5/3.0 |
| 6-12 | 6 | 840 | 900 | 840 | 1560 | 1674 | 55/62 | 58/63 | 11 | |
| 6-7 | 7 | 980 | 1050 | 980 | 1820 | 1953 | 55/62 | 58/63 | 9 | 76.1 x 2.0/2.5/3.0 |
| 6-12 | 8 | 1120 | 1200 | 1120 | 2080 | 2232 | 65/72 | 76/81 | 18 | 80.0 x 2.0/2.5 |
| 6-15 | 9 | 1260 | 1350 | 1260 | 2340 | 2511 | 65/72 | 76/81 | 16 | |
| 6-12 | 10 | 1400 | 1500 | 1400 | 2600 | 2790 | 70/77 | 76/81 | 15 | |
| 6-12 | 11 | 1540 | 1650 | 1540 | 2860 | 3069 | 70/77 | 76/81 | 13 | |
| 6-12 | 12 | 1680 | 1800 | 1680 | 3120 | 3348 | 75/82 | 76/81 | 12 | 80.0 x 2.0/2.5 |
| 6-15 | 13 | 1820 | 1950 | 1820 | 3380 | 3627 | 80/87 | 100/106 | 25 | 101.6 x 3.0/4.0/5.0 |
| 6-15 | 14 | 1960 | 2100 | 1960 | 3640 | 3906 | 80/87 | 100/106 | 24 | |
| 6-15 | 15 | 2100 | 2250 | 2100 | 3900 | 4185 | 80/87 | 100/106 | 23 | 101.6 x 3.0/4.0/5.0 |
| 6-19 | 16 | 2240 | 2400 | 2240 | 4160 | 4464 | 4171 | 85/92 | 22 | 101.6 x 3.0/4.0/5.0 |
| 6-19 | 17 | 2380 | 2550 | 2380 | 4420 | 4743 | 4432 | 85/92 | 20 | |
| 6-19 | 18 | 2520 | 2700 | 2520 | 4680 | 5022 | 4693 | 90/97 | 19 | |
| 6-19 | 19 | 2660 | 2850 | 2660 | 4940 | 5301 | 4953 | 90/97 | 18 | 101.6 x 3.0/4.0/5.0 |
| 6-22 | 20 | 2800 | 3000 | 2800 | 5200 | 5580 | 5214 | 100/107 | 17 | 114.3 x 3.0/4.0/5.0 |
| 6-22 | 21 | 2940 | 3150 | 2940 | 5460 | 5859 | 5475 | 100/107 | 16 | |
| 6-22 | 22 | 3080 | 3300 | 3080 | 5720 | 6138 | 5735 | 100/107 | 15 | 114.3 x 3.0/4.0/5.0 |
| 6-27 | 23 | 3220 | 3450 | 3220 | 5980 | 6417 | 5996 | 100/107 | 14 | 115/121 |
| 6-27 | 24 | 3360 | 3600 | 3360 | 6240 | 6696 | 6257 | 100/107 | 13 | 115/121 |
| 6-27 | 25 | 3500 | 3750 | 3500 | 6500 | 6975 | 6518 | 110/117 | 18 | 115/121 |
| 6-27 | 26 | 3640 | 3900 | 3640 | 6760 | 7254 | 6778 | 110/117 | 17 | 115/121 |
| 6-27 | 27 | 3780 | 4050 | 3780 | 7020 | 7533 | 7039 | 110/117 | 16 | 115/121 |
| 6-31 | 28 | 3920 | 4200 | 3920 | 7280 | 7812 | 7300 | 110/117 | 15 | 130/136 |
| 6-31 | 29 | 4060 | 4350 | 4060 | 7540 | 8091 | 7560 | 120/127 | 21 | 130/136 |
| 6-31 | 30 | 4200 | 4500 | 4200 | 7800 | 8370 | 7821 | 120/127 | 20 | 130/136 |
| 6-37 | 31 | 4340 | 4650 | 4340 | 8060 | 8649 | 8082 | 120/127 | 19 | 130/136 |
| 6-37 | 32 | 4480 | 4800 | 4480 | 8320 | 8928 | 8342 | 120/127 | 18 | 130/136 |
| 6-37 | 33 | 4620 | 4950 | 4620 | 8580 | 9207 | 8603 | 120/127 | 17 | 130/136 |
| 6-37 | 34 | 4760 | 5100 | 4760 | 8840 | 9486 | 8864 | 120/127 | 16 | 130/136 |
| 6-37 | 35 | 4900 | 5250 | 4900 | 9100 | 9765 | 9125 | 130/137 | 22 | 130/136 |
| 6-37 | 36 | 5040 | 5400 | 5040 | 9360 | 10044 | 9385 | 130/137 | 21 | 130/136 |
| 6-37 | 37 | 5180 | 5550 | 5180 | 9620 | 10323 | 9646 | 130/137 | 20 | 130/136 |
| 6-43 | 43 | 6020 | 6450 | 6020 | 11180 | 11997 | 11210 | 140/147 | 21 | 150/157 |
| 6-55 | 55 | 7700 | 8250 | 7700 | 14300 | 15345 | 14339 | 160/167 | 26 | 150/157 |
| | | | | | | | | | 21 | 168.3 x 3.0/4.0 |

1) Flat ducts possible as well

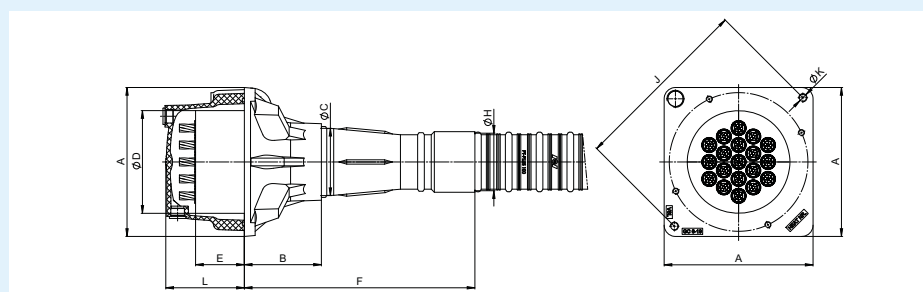
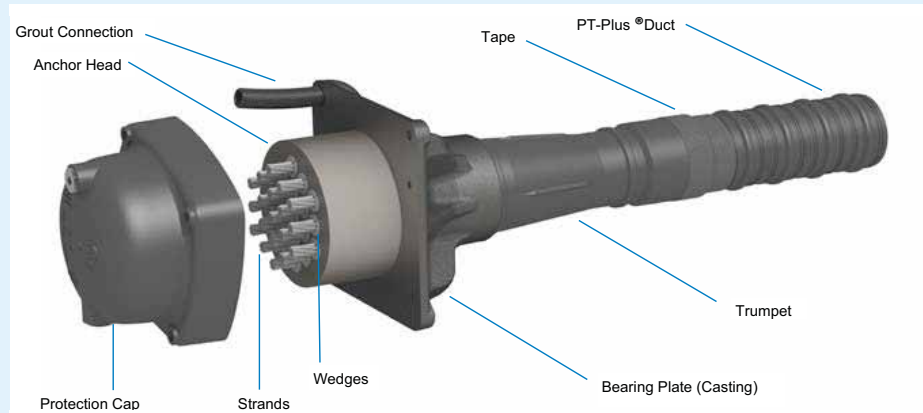
2) Flat duct PT-PLUS® with rectangular slab anchorages, for PT-PLUS® see also under 3.1.3.

3) If flat ducts (steel or PT PLUS®) to be used with square type castings please contact your VSL representative. In plan view, tendons with slab type anchorages must be straight between anchorages or have only unidirectional turns with min. radii of > 6 m. Strands must always be pushed-in prior to concreting. Eccentricity e: negligible

4) Given values may slightly vary depending on local availability of ducts. They are minimal for most applications. For special cases (long tendons, many curvatures, small radii etc.) greater size duct is recommended – please verify with VSL. In any case the filling ratio (cross-section steel / duct) must not exceed 0.5 (EN523).

5) Please check with the nearest VSL office for the complete anchorage list.

Multistrand Post-Tensioning System
Internal Bonded Post-Tensioning
ANCHORAGE TYPE GC



| Unit | A | B | ØC | ØD | E | F | ØH ⁽²⁾ | J ⁽¹⁾ | ØK | L |
|------|-----|-----|-----|-----|-----|------|-------------------|------------------|-----|-----|
| 6-3 | 130 | 120 | 50 | 95 | 50 | 120 | 50 | 140 | M12 | 105 |
| 6-4 | 140 | 120 | 60 | 110 | 55 | 120 | 60 | 154 | M12 | 110 |
| 6-7 | 180 | 135 | 76 | 135 | 60 | 135 | 69 | 210 | M12 | 120 |
| 6-12 | 230 | 220 | 92 | 170 | 75 | 220 | 92 | 264 | M16 | 135 |
| 6-15 | 260 | 240 | 113 | 190 | 85 | 240 | 113 | 316 | M16 | 145 |
| 6-19 | 290 | 150 | 131 | 200 | 95 | 450 | 112 | 354 | M16 | 155 |
| 6-22 | 320 | 150 | 153 | 220 | 100 | 640 | 112 | 400 | M16 | 160 |
| 6-27 | 350 | 170 | 164 | 240 | 110 | 620 | 127 | 430 | M16 | 170 |
| 6-31 | 375 | 170 | 173 | 260 | 120 | 580 | 143 | 470 | M16 | 180 |
| 6-37 | 410 | 170 | 196 | 280 | 135 | 770 | 142 | 524 | M16 | 200 |
| 6-43 | 470 | 180 | 230 | 320 | 145 | 935 | 166 | 420 | M20 | 215 |
| 6-55 | 520 | 180 | 240 | 340 | 160 | 1035 | 166 | 452 | M20 | 230 |

Notes

All dimensions in [mm]

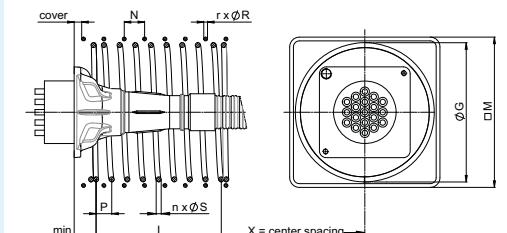
System applicable to strands with $A_p = 140 \text{ mm}^2$ or $A_p = 150 \text{ mm}^2$

(1) J-spacing of bolts for fixation to formwork

(2) ØH-Inner dia of the trumpet

System can be used with corrugated steel duct or with PT-Plus® duct

Multistrand Post-Tensioning System
Internal Bonded Post-Tensioning
ANCHORAGE TYPE GC (Strand $F_{pk} = 279 \text{ kN}$)
LOCAL ZONE REINFORCEMENT $f_y = 500 \text{ N/mm}^2$



Reinforcement consists of a combination of spiral and stirrups

CONCRETE 25/30 MPa

| Unit | Spiral Reinforcement | | | Orthogonal Reinf. | | | X | | |
|------|----------------------|------------------|----|-------------------|-----|----|------------------|-----|-----|
| | ØS | n ⁽¹⁾ | P | ØG | I | ØR | r ⁽²⁾ | N | M |
| 6-3 | 10 | 5 | 50 | 150 | 150 | 8 | 4,0 | 60 | 165 |
| 6-4 | 12 | 5 | 60 | 180 | 180 | 8 | 5,0 | 50 | 195 |
| 6-7 | 12 | 7 | 50 | 250 | 250 | 10 | 6,0 | 55 | 260 |
| 6-12 | 16 | 7 | 60 | 345 | 300 | 10 | 5,0 | 85 | 380 |
| 6-15 | 16 | 9 | 50 | 395 | 350 | 8 | 7,0 | 70 | 425 |
| 6-19 | 16 | 10 | 50 | 445 | 400 | 12 | 7,0 | 70 | 495 |
| 6-22 | 20 | 9 | 60 | 480 | 420 | 10 | 6,0 | 100 | 515 |
| 6-27 | 16 | 12 | 50 | 530 | 500 | 16 | 9,0 | 65 | 570 |
| 6-31 | 16 | 13 | 50 | 570 | 550 | 16 | 11,0 | 60 | 615 |
| 6-37 | 20 | 11 | 60 | 630 | 540 | 16 | 10,0 | 70 | 670 |

CONCRETE 28/35 MPa

| Unit | Spiral Reinforcement | | | Orthogonal Reinf. | | | X | | |
|------|----------------------|------------------|----|-------------------|-----|----|------------------|----|-----|
| | ØS | n ⁽¹⁾ | P | ØG | I | ØR | r ⁽²⁾ | N | M |
| 6-3 | 10 | 5 | 50 | 140 | 150 | 8 | 4,0 | 55 | 185 |
| 6-4 | 12 | 5 | 60 | 170 | 180 | 8 | 5,0 | 50 | 195 |
| 6-7 | 12 | 6 | 50 | 230 | 200 | 10 | 6,0 | 50 | 280 |
| 6-12 | 16 | 7 | 60 | 320 | 300 | 10 | 6,0 | 75 | 370 |
| 6-15 | 16 | 9 | 50 | 365 | 350 | 8 | 9,0 | 50 | 390 |
| 6-19 | 16 | 9 | 50 | 410 | 350 | 12 | 9,0 | 55 | 460 |
| 6-22 | 20 | 9 | 60 | 445 | 420 | 10 | 7,0 | 80 | 475 |
| 6-27 | 16 | 11 | 50 | 490 | 450 | 16 | 9,0 | 60 | 530 |
| 6-31 | 16 | 13 | 45 | 530 | 495 | 16 | 10,0 | 60 | 570 |
| 6-37 | 20 | 12 | 55 | 585 | 550 | 16 | 9,0 | 80 | 625 |

CONCRETE 32/40 MPa

| Unit | Spiral Reinforcement | | | Orthogonal Reinf. | | | X | | |
|------|----------------------|------------------|----|-------------------|-----|----|------------------|----|-----|
| | ØS | n ⁽¹⁾ | P | ØG | I | ØR | r ⁽²⁾ | N | M |
| 6-3 | 12 | 5 | 55 | 155 | 165 | - | - | - | 165 |
| 6-4 | 12 | 6 | 45 | 180 | 180 | - | - | - | 190 |
| 6-7 | 12 | 6 | 50 | 215 | 200 | 10 | 6,0 | 50 | 245 |
| 6-12 | 16 | 7 | 55 | 295 | 275 | 10 | 5,0 | 90 | 325 |
| 6-15 | 16 | 8 | 50 | 335 | 300 | 10 | 7,0 | 65 | 365 |
| 6-19 | 16 | 10 | 45 | 375 | 360 | 12 | 7,0 | 65 | 410 |
| 6-22 | 20 | 8 | 60 | 410 | 360 | 12 | 6,0 | 85 | 445 |
| 6-27 | 16 | 11 | 45 | 455 | 405 | 16 | 8,0 | 65 | 495 |
| 6-31 | 16 | 12 | 45 | 490 | 450 | 16 | 10,0 | 55 | 530 |
| 6-37 | 20 | 12 | 50 | 540 | 500 | 16 | 8,0 | 85 | 580 |

CONCRETE 40/50 MPa

| Unit | Spiral Reinforcement | | | Orthogonal Reinf. | | | X | | |
|------|----------------------|------------------|----|-------------------|-----|----|------------------|----|-----|
| | ØS | n ⁽¹⁾ | P | ØG | I | ØR | r ⁽²⁾ | N | M |
| 6-3 | 12 | 5 | 50 | 135 | 150 | - | - | - | 155 |
| 6-4 | 12 | 6 | 40 | 160 | 160 | - | - | - | 180 |
| 6-7 | 16 | 6 | 60 | 220 | 240 | - | - | - | 240 |
| 6-12 | 16 | 7 | 50 | 295 | 250 | - | - | - | 315 |
| 6-15 | 20 | 7 | 60 | 330 | 300 | - | - | - | 350 |
| 6-19 | 16 | 8 | 50 | 335 | 300 | 12 | 8,0 | 50 | 370 |
| 6-22 | 20 | 7 | 60 | 370 | 300 | 12 | 7,0 | 65 | 400 |
| 6-27 | 20 | 8 | 60 | 400 | 360 | 16 | 6,0 | 85 | 445 |
| 6-31 | 20 | 9 | 60 | 435 | 420 | 16 | 7,0 | 75 | 480 |
| 6-37 | 20 | 9 | 60 | 480 | 420 | 20 | 7,0 | 80 | 530 |

Notes

All dimension in [mm]

Min. yield strength for local zone reinforcement $f_y = 500 \text{ N/mm}^2$

Min. required concrete strength $f_{cylinder} / f_{c,cube}$ in MPa at stressing

Strand $A_p = 150 \text{ mm}^2$, $f_{pk} = 1860 \text{ N/mm}^2$ (GUTS), $F_{pk} = 279 \text{ kN}$

For max. tendon force and temporary over stressing refer to 4.1 and 4.2.8 resp.

For units 6-43 and 6-55 used with Strand Fpk = 279 kN please contact VSL.

X = minimal center spacing between anchorages

For calculation of minimum edge distance refer to 4.4.1

n = number of spiral turns including first and last required as anchorage length

Reinforcement, edge distance, center spacing may be modified, contact VSL

Multistrand Post-Tensioning System

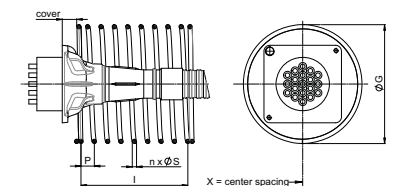
Internal Bonded Post-Tensioning

ANCHORAGE TYPE GC (Strand $F_{pk} = 260 / 265 \text{ kN}$)

LOCAL ZONE REINFORCEMENT $f_y = 460 \text{ N/mm}^2$



OPTION A - SPIRAL REINFORCEMENT



CONCRETE 20/25 MPa

| Unit | A Spiral Reinforcement | | | | | | B Stirrup Reinforcement | | | | | | |
|------|------------------------|----|----|-----|---|-----|-------------------------|----|----|-----|----|-----|----|
| | I | P | ØS | ØG | n | X | I | P | ØR | M | r | X | ØT |
| 6-3 | 225 | 45 | 10 | 190 | 5 | 210 | 180 | 45 | 12 | 190 | 5 | 210 | 8 |
| 6-4 | 275 | 55 | 12 | 220 | 5 | 240 | 250 | 55 | 12 | 220 | 6 | 240 | 8 |
| 6-7 | 320 | 40 | 12 | 290 | 8 | 310 | 300 | 40 | 16 | 290 | 7 | 310 | 10 |
| 6-12 | 385 | 55 | 16 | 388 | 7 | 405 | 360 | 40 | 16 | 385 | 10 | 405 | 16 |

CONCRETE 24/30 MPa

| Unit | A Spiral Reinforcement | | | | | | B Stirrup Reinforcement | | | | | | |
|------|------------------------|----|----|-----|----|-----|-------------------------|----|----|-----|----|-----|----|
| | I | P | ØS | ØG | n | X | I | P | ØR | M | r | X | ØT |
| 6-3 | 225 | 45 | 10 | 175 | 5 | 195 | 180 | 45 | 12 | 160 | 5 | 180 | 8 |
| 6-4 | 250 | 50 | 12 | 200 | 4 | 220 | 205 | 55 | 16 | 185 | 4 | 205 | 8 |
| 6-7 | 325 | 65 | 16 | 265 | 5 | 285 | 250 | 65 | 16 | 245 | 5 | 265 | 10 |
| 6-12 | 400 | 50 | 16 | 350 | 8 | 370 | 360 | 60 | 20 | 350 | 7 | 370 | 12 |
| 6-15 | 400 | 45 | 16 | 395 | 9 | 415 | 400 | 50 | 20 | 365 | 8 | 385 | 16 |
| 6-19 | 440 | 40 | 16 | 445 | 11 | 465 | 405 | 45 | 20 | 415 | 10 | 435 | 16 |
| 6-22 | 495 | 55 | 20 | 480 | 9 | 500 | 455 | 65 | 25 | 445 | 8 | 465 | 16 |
| 6-27 | 550 | 50 | 20 | 535 | 11 | 555 | 540 | 60 | 25 | 535 | 10 | 555 | 20 |
| 6-31 | 550 | 50 | 20 | 575 | 11 | 595 | 550 | 55 | 25 | 535 | 10 | 555 | 20 |
| 6-37 | 585 | 65 | 25 | 630 | 13 | 650 | 600 | 50 | 25 | 630 | 9 | 650 | 25 |
| 6-43 | 715 | 65 | 25 | 680 | 17 | 700 | 675 | 75 | 32 | 680 | 10 | 700 | 25 |
| 6-55 | 770 | 55 | 25 | 770 | 14 | 790 | 715 | 65 | 32 | 770 | 12 | 790 | 25 |

CONCRETE 32/40 MPa

| Unit | A Spiral Reinforcement | | | | | | B Stirrup Reinforcement | | | | | | |
|------|------------------------|----|----|-----|----|-----|-------------------------|----|----|-----|----|-----|----|
| | I | P | ØS | ØG | n | X | I | P | ØR | M | r | X | ØT |
| 6-3 | 225 | 45 | 10 | 150 | 5 | 170 | 135 | 45 | 12 | 150 | 4 | 170 | 8 |
| 6-4 | 250 | 50 | 12 | 175 | 5 | 195 | 195 | 65 | 16 | 175 | 4 | 195 | 8 |
| 6-7 | 325 | 65 | 16 | 230 | 5 | 250 | 225 | 45 | 16 | 220 | 5 | 240 | 8 |
| 6-12 | 350 | 50 | 16 | 305 | 6 | 325 | 300 | 60 | 20 | 305 | 6 | 325 | 12 |
| 6-15 | 360 | 45 | 16 | 340 | 8 | 360 | 350 | 50 | 20 | 340 | 8 | 360 | 12 |
| 6-19 | 400 | 40 | 16 | 390 | 10 | 410 | 360 | 45 | 20 | 390 | 9 | 410 | 16 |
| 6-22 | 440 | 55 | 20 | 415 | 8 | 435 | 420 | 60 | 25 | 415 | 8 | 435 | 16 |
| 6-27 | 500 | 50 | 20 | 465 | 10 | 485 | 440 | 55 | 25 | 465 | 9 | 485 | 16 |
| 6-31 | 495 | 45 | 20 | 500 | 11 | 520 | 450 | 50 | 25 | 500 | 10 | 520 | 20 |
| 6-37 | 585 | 65 | 25 | 545 | 9 | 565 | 525 | 75 | 32 | 545 | 8 | 565 | 20 |
| 6-43 | 600 | 60 | 25 | 590 | 10 | 610 | 560 | 70 | 32 | 590 | 9 | 610 | 25 |
| 6-55 | 650 | 55 | 25 | 670 | 13 | 690 | 660 | 60 | 32 | 675 | 12 | 695 | 25 |

CONCRETE 40/50 MPa

| Unit | A Spiral Reinforcement | | | | | | B Stirrup Reinforcement | | | | | | |
|------|------------------------|----|----|-----|----|-----|-------------------------|----|----|-----|----|-----|----|
| | I | P | ØS | ØG | n | X | I | P | ØR | M | r | X | ØT |
| 6-3 | 200 | 50 | 10 | 135 | 4 | 155 | 150 | 40 | 8 | 135 | 4 | 155 | 8 |
| 6-4 | 250 | 50 | 12 | 155 | 5 | 175 | 195 | 65 | 16 | 155 | 4 | 175 | 8 |
| 6-7 | 325 | 65 | 16 | 205 | 5 | 225 | 225 | 45 | 16 | 205 | 4 | 225 | 8 |
| 6-12 | 330 | 55 | 16 | 275 | 6 | 295 | 300 | 60 | 20 | 275 | 6 | 295 | 10 |
| 6-15 | 315 | 45 | 16 | 305 | 7 | 325 | 300 | 50 | 20 | 305 | 7 | 325 | 12 |
| 6-19 | 360 | 50 | 12 | 350 | 8 | 370 | 315 | 45 | 16 | 350 | 7 | 370 | 16 |
| 6-22 | 360 | 55 | 20 | 375 | 9 | 395 | 360 | 60 | 25 | 375 | 8 | 395 | 16 |
| 6-27 | 450 | 50 | 20 | 415 | 8 | 435 | 440 | 55 | 25 | 415 | 8 | 435 | 16 |
| 6-31 | 450 | 50 | 20 | 450 | 9 | 470 | 450 | 50 | 25 | 450 | 10 | 470 | 16 |
| 6-37 | 520 | 65 | 25 | 490 | 8 | 510 | 450 | 50 | 25 | 490 | 7 | 510 | 16 |
| 6-43 | 585 | 65 | 25 | 530 | 9 | 550 | 490 | 70 | 32 | 530 | 8 | 550 | 20 |
| 6-55 | 600 | 50 | 25 | 600 | 12 | 620 | 600 | 60 | 32 | 615 | 11 | 635 | 20 |

Notes

All dimension in [mm]

Min. yield strength for local zone reinforcement $f_y = 460 \text{ N/mm}^2$

Min. required concrete strength $f_c, cylinder / f_c, cube$ in MPa at stressing

Strand $A_p = 150 \text{ mm}^2$, $F_{pk} = 1770 \text{ N/mm}^2$ (GUTS), $F_{pk} = 265 \text{ kN}$

Strand $A_p = 140 \text{ mm}^2$, $F_{pk} = 1860 \text{ N/mm}^2$ (GUTS), $F_{pk} = 260 \text{ kN}$



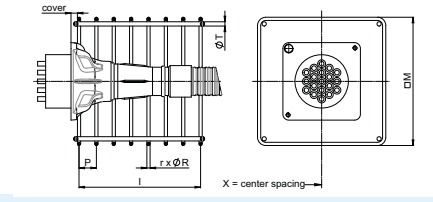
Multistrand Post-Tensioning System

Internal Bonded Post-Tensioning

ANCHORAGE TYPE GC (Strand $F_{pk} = 260$ or 265 kN)

LOCAL ZONE REINFORCEMENT $f_y = 390 \text{ N/mm}^2$

OPTION A - SPIRAL REINFORCEMENT



CONCRETE 20/25 MPa

| Unit | A Spiral Reinforcement | | | | | | B Stirrup Reinforcement | | | | | | |
|------|------------------------|----|----|-----|----|-----|-------------------------|----|----|-----|----|-----|----|
| | I | P | ØS | ØG | n | X | I | P | ØR | M | r | X | ØT |
| 6-3 | 225 | 45 | 12 | 175 | 5 | 195 | 180 | 45 | 12 | 160 | 5 | 180 | 8 |
| 6-4 | 250 | 55 | 12 | 200 | 4 | 220 | 205 | 55 | 16 | 185 | 4 | 205 | 8 |
| 6-7 | 325 | 65 | 16 | 265 | 5 | 285 | 225 | 65 | 16 | 245 | 5 | 265 | 10 |
| 6-12 | 400 | 50 | 16 | 350 | 8 | 370 | 360 | 60 | 20 | 350 | 7 | 370 | 12 |
| 6-15 | 400 | 45 | 16 | 395 | 9 | 415 | 350 | 50 | 20 | 365 | 8 | 385 | 16 |
| 6-19 | 440 | 40 | 16 | 445 | 10 | 465 | 405 | 45 | 20 | 415 | 10 | 435 | 16 |
| 6-22 | 495 | 55 | 20 | 480 | 9 | 500 | 455 | 65 | 25 | 445 | 8 | 465 | 16 |
| 6-27 | 550 | 50 | 20 | 535 | 11 | 555 | 540 | 55 | 25 | 535 | 10 | 555 | 20 |
| 6-31 | 550 | 50 | 20 | 575 | 11 | 595 | 550 | 55 | 25 | 575 | 9 | 595 | 20 |
| 6-37 | 585 | 65 | 25 | 630 | 13 | 650 | 575 | 75 | 32 | 575 | 9 | 595 | 25 |
| 6-43 | 600 | 60 | 25 | 590 | 9 | 610 | 560 | 70 | 32 | 590 | 8 | 610 | 25 |
| 6-55 | 650 | 55 | 25 | 680 | 12 | 700 | 600 | 60 | 32 | 645 | 11 | 665 | 25 |

CONCRETE 28/35 MPa

| Unit | A Spiral Reinforcement | | | | | | B Stirrup Reinforcement | | | | | | |
|------|------------------------|----|----|-----|---|-----|-------------------------|----|----|-----|---|-----|----|
| | I | P | ØS | ØG | n | X | I | P | ØR | M | r | X | ØT |
| 6-3 | 225 | 45 | 12 | 150 | 4 | 170 | 180 | 45 | 12 | 150 | 4 | 170 | 8 |
| 6-4 | 240 | 40 | 12 | 180 | 6 | 200 | 220 | 55 | 16 | 185 | 6 | 200 | 8 |
| 6-7 | 330 | 55 | 16 | 245 | 6 | 265 | 240 | 45 | 16 | 245 | 6 | 265 | 10 |
| 6-12 | 360 | 45 | 16 | 325 | 7 | 345 | 300 | 50 | 20 | 325 | 7 | 345 | 12 |
| 6-15 | 360 | 40 | 16 | 365 | 9 | 385 | 325 | 55 | 25 | 365 | 8 | 385 | 16 |
| 6-19 | 400 | 40 | 16 | 3 | | | | | | | | | |

VSL – CTT POT BEARINGS

Type PF

Bearings type PF can support horizontal loads in both longitudinal and transverse directions and don't allow any movement.

H2



Bearings according to AASHTO

| BEARING TYPE | V MAX ULS (kN) | H MAX ULS (kN) | V MAX SLS (kN) | H MAX SLS (kN) | V min SLS, ULS (kN) | Aprox. Weight (kg) |
|--------------------|----------------|----------------|----------------|----------------|---------------------|--------------------|
| PF 140/100/H2 AA | 1395 | 300 | 1000 | 200 | 500 | 62 |
| PF 280/200/H2 AA | 2790 | 600 | 2000 | 400 | 1000 | 150 |
| PF 420/300/H2 AA | 4185 | 900 | 3000 | 600 | 1500 | 208 |
| PF 560/400/H2 AA | 5580 | 1200 | 4000 | 800 | 2000 | 267 |
| PF 700/500/H2 AA | 6975 | 1500 | 5000 | 1000 | 2500 | 366 |
| PF 840/600/H2 AA | 8370 | 1800 | 6000 | 1200 | 3000 | 523 |
| PF 1000/700/H2 AA | 9765 | 2100 | 7000 | 1400 | 3500 | 648 |
| PF 1100/800/H2 AA | 11160 | 2400 | 8000 | 1600 | 4000 | 750 |
| PF 1250/900/H2 AA | 12555 | 2700 | 9000 | 1800 | 4500 | 804 |
| PF 1400/1000/H2 AA | 13950 | 3000 | 10000 | 2000 | 5000 | 1037 |
| PF 1535/1100/H2 AA | 15345 | 3300 | 11000 | 2200 | 5500 | 1123 |
| PF 1700/1200/H2 AA | 16740 | 3600 | 12000 | 2400 | 6000 | 1217 |
| PF 1800/1300/H2 AA | 18135 | 3900 | 13000 | 2600 | 6500 | 1295 |
| PF 1950/1400/H2 AA | 19530 | 4200 | 14000 | 2800 | 7000 | 1453 |
| PF 2100/1500/H2 AA | 20925 | 4500 | 15000 | 3000 | 7500 | 1728 |
| PF 2200/1600/H2 AA | 22320 | 4800 | 16000 | 3200 | 8000 | 1828 |
| PF 2400/1700/H2 AA | 23715 | 5100 | 17000 | 3400 | 8500 | 1855 |
| PF 2500/1800/H2 AA | 25110 | 5400 | 18000 | 3600 | 9000 | 2075 |
| PF 2650/1900/H2 AA | 26505 | 5700 | 19000 | 3800 | 9500 | 2718 |
| PF 2800/2000/H2 AA | 27900 | 6000 | 20000 | 4000 | 10000 | 2928 |
| PF 3100/2200/H2 AA | 30690 | 6600 | 22000 | 4400 | 11000 | 3107 |
| PF 3350/2400/H2 AA | 33480 | 7200 | 24000 | 4800 | 12000 | 3571 |
| PF 3600/2600/H2 AA | 36270 | 7800 | 26000 | 5200 | 13000 | 4108 |
| PF 3900/2800/H2 AA | 39060 | 8400 | 28000 | 5600 | 14000 | 4512 |
| PF 4200/3000/H2 AA | 41850 | 9000 | 30000 | 6000 | 15000 | 5032 |

Bearings have been designed with the following parameters :

Concrete on Deck is H40 (fck = 40 Mpa)

Concrete on Piers and Abutment is H30 (fck = 30 Mpa)

Maximum Horizontal load is 10% of the Vertical load

Minimum load at SLS and ULS is 50% of Maximum Vertical load at SLS

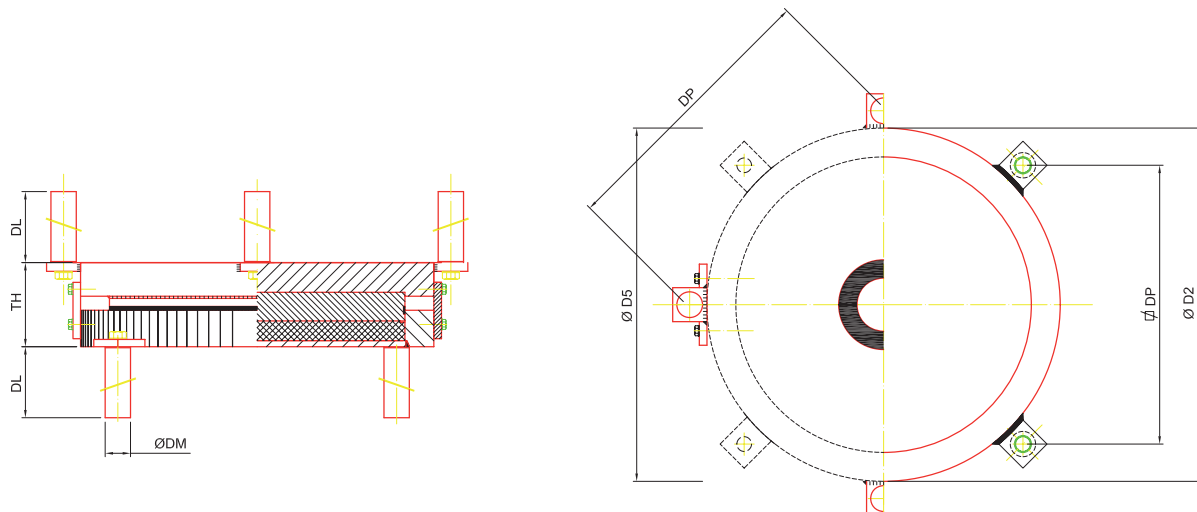
Rotation 0,015 rad

Other models are available under request



Main Dimensions

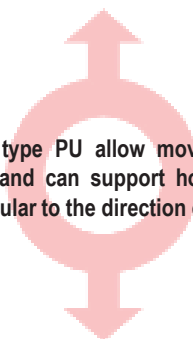
| PART NUMBER | Pot Ø D2 (mm) | Total height TH (mm) | Top Plate Dimensions L5 x B5 (mm) | Recommended Pilar Ø (mm) | DM Ø (mm) | DL (mm) | DP (mm) |
|--------------------|---------------|----------------------|-----------------------------------|--------------------------|-----------|---------|---------|
| PF 140/100/H2 AA | 295 | 94 | 295 | 472 | 40 | 200 | 251 |
| PF 280/200/H2 AA | 395 | 110 | 395 | 632 | 60 | 300 | 336 |
| PF 420/300/H2 AA | 474 | 124 | 474 | 758 | 60 | 300 | 392 |
| PF 560/400/H2 AA | 543 | 132 | 543 | 869 | 60 | 300 | 441 |
| PF 700/500/H2 AA | 606 | 139 | 606 | 970 | 70 | 350 | 492 |
| PF 840/600/H2 AA | 678 | 158 | 678 | 1085 | 80 | 400 | 550 |
| PF 1000/700/H2 AA | 714 | 164 | 714 | 1142 | 90 | 450 | 576 |
| PF 1100/800/H2 AA | 782 | 167 | 782 | 1251 | 90 | 450 | 624 |
| PF 1250/900/H2 AA | 814 | 173 | 814 | 1302 | 90 | 450 | 646 |
| PF 1400/1000/H2 AA | 853 | 190 | 853 | 1365 | 90 | 450 | 674 |
| PF 1535/1100/H2 AA | 896 | 192 | 896 | 1434 | 90 | 450 | 704 |
| PF 1700/1200/H2 AA | 938 | 199 | 938 | 1501 | 90 | 450 | 734 |
| PF 1800/1300/H2 AA | 974 | 200 | 974 | 1558 | 90 | 450 | 759 |
| PF 1950/1400/H2 AA | 1018 | 207 | 1018 | 1629 | 90 | 450 | 791 |
| PF 2100/1500/H2 AA | 1068 | 219 | 1068 | 1709 | 90 | 450 | 826 |
| PF 2200/1600/H2 AA | 1102 | 226 | 1102 | 1763 | 90 | 450 | 850 |
| PF 2400/1700/H2 AA | 1112 | 226 | 1112 | 1779 | 90 | 450 | 857 |
| PF 2500/1800/H2 AA | 1162 | 233 | 1162 | 1859 | 90 | 450 | 892 |
| PF 2650/1900/H2 AA | 1176 | 274 | 1176 | 1882 | 90 | 450 | 902 |
| PF 2800/2000/H2 AA | 1224 | 281 | 1224 | 1958 | 90 | 450 | 936 |
| PF 3100/2200/H2 AA | 1266 | 283 | 1266 | 2026 | 90 | 450 | 966 |
| PF 3350/2400/H2 AA | 1328 | 290 | 1328 | 2125 | 90 | 450 | 1010 |
| PF 3600/2600/H2 AA | 1432 | 300 | 1432 | 2291 | 90 | 450 | 1083 |
| PF 3900/2800/H2 AA | 1442 | 315 | 1442 | 2307 | 90 | 450 | 1090 |
| PF 4200/3000/H2 AA | 1514 | 319 | 1514 | 2422 | 90 | 450 | 1141 |



The dimensions given are indicative. Desings and dimensions can be modified by VSL-CTT without prior notification.



VSL – CTT POT BEARINGS



Bearings type PU allow movement in one direction and can support horizontal loads perpendicular to the direction of movement.

Type PU

H2



Bearings according to AASHTO

| BEARING TYPE | V MAX ULS (kN) | H MAX ULS (kN) | V MAX SLS (kN) | H MAX SLS (kN) | V min SLS, ULS (kN) | Aprox. Weight (kg) |
|--------------------|----------------|----------------|----------------|----------------|---------------------|--------------------|
| PU 140/100/H2 AA | 1395 | 300 | 1000 | 200 | 500 | 81 |
| PU 280/200/H2 AA | 2790 | 600 | 2000 | 400 | 1000 | 194 |
| PU 420/300/H2 AA | 4185 | 900 | 3000 | 600 | 1500 | 286 |
| PU 560/400/H2 AA | 5580 | 1200 | 4000 | 800 | 2000 | 400 |
| PU 700/500/H2 AA | 6975 | 1500 | 5000 | 1000 | 2500 | 541 |
| PU 840/600/H2 AA | 8370 | 1800 | 6000 | 1200 | 3000 | 644 |
| PU 1000/700/H2 AA | 9765 | 2100 | 7000 | 1400 | 3500 | 858 |
| PU 1100/800/H2 AA | 11160 | 2400 | 8000 | 1600 | 4000 | 962 |
| PU 1250/900/H2 AA | 12555 | 2700 | 9000 | 1800 | 4500 | 1051 |
| PU 1400/1000/H2 AA | 13950 | 3000 | 10000 | 2000 | 5000 | 1347 |
| PU 1535/1100/H2 AA | 15345 | 3300 | 11000 | 2200 | 5500 | 1458 |
| PU 1700/1200/H2 AA | 16740 | 3600 | 12000 | 2400 | 6000 | 1573 |
| PU 1800/1300/H2 AA | 18135 | 3900 | 13000 | 2600 | 6500 | 1766 |
| PU 1950/1400/H2 AA | 19530 | 4200 | 14000 | 2800 | 7000 | 2044 |
| PU 2100/1500/H2 AA | 20925 | 4500 | 15000 | 3000 | 7500 | 2283 |
| PU 2200/1600/H2 AA | 22320 | 4800 | 16000 | 3200 | 8000 | 2410 |
| PU 2400/1700/H2 AA | 23715 | 5100 | 17000 | 3400 | 8500 | 2511 |
| PU 2500/1800/H2 AA | 25110 | 5400 | 18000 | 3600 | 9000 | 2726 |
| PU 2650/1900/H2 AA | 26505 | 5700 | 19000 | 3800 | 9500 | 3571 |
| PU 2800/2000/H2 AA | 27900 | 6000 | 20000 | 4000 | 10000 | 3650 |
| PU 3100/2200/H2 AA | 30690 | 6600 | 22000 | 4400 | 11000 | 4182 |
| PU 3350/2400/H2 AA | 33480 | 7200 | 24000 | 4800 | 12000 | 5008 |
| PU 3600/2600/H2 AA | 36270 | 7800 | 26000 | 5200 | 13000 | 5356 |
| PU 3900/2800/H2 AA | 39060 | 8400 | 28000 | 5600 | 14000 | 6815 |
| PU 4200/3000/H2 AA | 41850 | 9000 | 30000 | 6000 | 15000 | 7803 |

Bearings have been designed with the following parameters :

Concrete on Deck is H40 (fck = 40 Mpa)

Concrete on Piers and Abutment is H30 (fck = 30 Mpa)

Maximum Horizontal load is 20% of the Vertical load

Minimum load at SLS and ULS is 50% of Maximum Vertical load at SLS

Movement ± 100 mm

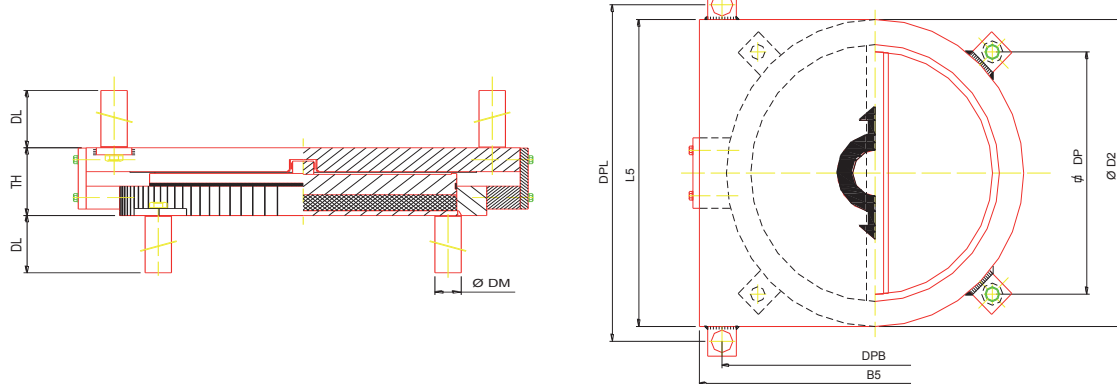
Rotation 0,015 rad

Other models are available under request



Main Dimensions

| BEARING TYPE | Pot Ø D2 (mm) | Total height TH (mm) | Top Plate Dimensions L5 x B5 (mm) | Recommended Pier Ø (mm) | DM Ø (mm) | DL (mm) | DPL (mm) | DPB (mm) | DP (mm) |
|--------------------|---------------|----------------------|-----------------------------------|-------------------------|-----------|---------|----------|----------|---------|
| PU 140/100/H2 AA | 313 | 92 | 495 x 313 | 501 | 40 | 200 | 405 | 373 | 264 |
| PU 280/200/H2 AA | 405 | 119 | 587 x 405 | 648 | 60 | 300 | 477 | 485 | 343 |
| PU 420/300/H2 AA | 488 | 137 | 660 x 488 | 781 | 60 | 300 | 550 | 568 | 402 |
| PU 560/400/H2 AA | 556 | 150 | 720 x 556 | 890 | 70 | 350 | 600 | 646 | 457 |
| PU 700/500/H2 AA | 616 | 168 | 772 x 616 | 986 | 80 | 400 | 642 | 716 | 506 |
| PU 840/600/H2 AA | 678 | 176 | 825 x 678 | 1085 | 80 | 400 | 695 | 778 | 550 |
| PU 1000/700/H2 AA | 730 | 193 | 870 x 730 | 1168 | 90 | 450 | 740 | 830 | 587 |
| PU 1100/800/H2 AA | 784 | 195 | 916 x 784 | 1254 | 90 | 450 | 786 | 884 | 625 |
| PU 1250/900/H2 AA | 824 | 202 | 950 x 824 | 1318 | 90 | 450 | 820 | 924 | 653 |
| PU 1400/1000/H2 AA | 856 | 228 | 975 x 856 | 1370 | 90 | 450 | 845 | 956 | 676 |
| PU 1535/1100/H2 AA | 898 | 230 | 1010 x 898 | 1437 | 90 | 450 | 880 | 998 | 706 |
| PU 1700/1200/H2 AA | 938 | 237 | 1045 x 938 | 1501 | 90 | 450 | 915 | 1038 | 734 |
| PU 1800/1300/H2 AA | 976 | 248 | 1077 x 976 | 1562 | 90 | 450 | 947 | 1076 | 761 |
| PU 1950/1400/H2 AA | 1.016 | 255 | 1114 x 1016 | 1626 | 90 | 450 | 984 | 1116 | 789 |
| PU 2100/1500/H2 AA | 1.072 | 268 | 1164 x 1072 | 1715 | 90 | 450 | 1034 | 1172 | 829 |
| PU 2200/1600/H2 AA | 1.102 | 274 | 1189 x 1102 | 1763 | 90 | 450 | 1059 | 1202 | 850 |
| PU 2400/1700/H2 AA | 1.128 | 275 | 1209 x 1128 | 1805 | 90 | 450 | 1079 | 1228 | 868 |
| PU 2500/1800/H2 AA | 1.164 | 281 | 1242 x 1164 | 1862 | 90 | 450 | 1112 | 1264 | 894 |
| PU 2650/1900/H2 AA | 1.198 | 323 | 1272 x 1198 | 1917 | 90 | 450 | 1142 | 1298 | 918 |
| PU 2800/2000/H2 AA | 1.224 | 329 | 1293 x 1224 | 1958 | 90 | 450 | 1163 | 1324 | 936 |
| PU 3100/2200/H2 AA | 1.282 | 342 | 1344 x 1282 | 2051 | 90 | 450 | 1214 | 1382 | 977 |
| PU 3350/2400/H2 AA | 1.388 | 351 | 1442 x 1388 | 2221 | 90 | 450 | 1312 | 1488 | 1052 |
| PU 3600/2600/H2 AA | 1.434 | 368 | 1479 x 1434 | 2294 | 90 | 450 | 1349 | 1534 | 1085 |
| PU 3900/2800/H2 AA | 1.594 | 381 | 1629 x 1594 | 2550 | 90 | 450 | 1499 | 1694 | 1198 |
| PU 4200/3000/H2 AA | 1.696 | 401 | 1726 x 1696 | 2714 | 90 | 450 | 1596 | 1796 | 1270 |

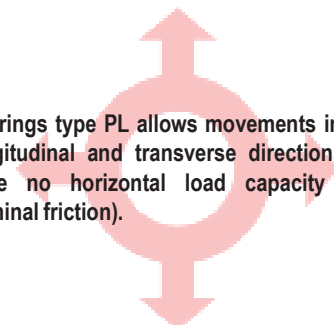


The dimensions given are indicative. Desings and dimensions can be modified by VSL-CTT without prior notification.



VSL – CTT POT BEARINGS

Type PL



Bearings type PL allows movements in both longitudinal and transverse directions and have no horizontal load capacity (only nominal friction).



Bearings according to AASHTO

| BEARING TYPE | V MAX ULS (kN) | H MAX ULS (kN) | V MAX SLS (kN) | H MAX SLS (kN) | V min SLS, ULS (kN) | Aprox. Weight (kg) |
|-----------------|-------------------|-------------------|-------------------|-------------------|------------------------|-----------------------|
| PL 140/100 AA | 1395 | 42 | 1000 | 30 | 500 | 76 |
| PL 280/200 AA | 2790 | 84 | 2000 | 60 | 1000 | 126 |
| PL 420/300 AA | 4185 | 126 | 3000 | 90 | 1500 | 171 |
| PL 560/400 AA | 5580 | 167 | 4000 | 120 | 2000 | 234 |
| PL 700/500 AA | 6975 | 209 | 5000 | 150 | 2500 | 298 |
| PL 840/600 AA | 8370 | 251 | 6000 | 180 | 3000 | 370 |
| PL 1000/700 AA | 9765 | 293 | 7000 | 210 | 3500 | 452 |
| PL 1100/800 AA | 11160 | 335 | 8000 | 240 | 4000 | 559 |
| PL 1250/900 AA | 12555 | 377 | 9000 | 270 | 4500 | 607 |
| PL 1400/1000 AA | 13950 | 419 | 10000 | 300 | 5000 | 678 |
| PL 1535/1100 AA | 15345 | 460 | 11000 | 330 | 5500 | 801 |
| PL 1700/1200 AA | 16740 | 502 | 12000 | 360 | 6000 | 879 |
| PL 1800/1300 AA | 18135 | 544 | 13000 | 390 | 6500 | 1003 |
| PL 1950/1400 AA | 19530 | 586 | 14000 | 420 | 7000 | 1129 |
| PL 2100/1500 AA | 20925 | 628 | 15000 | 450 | 7500 | 1203 |
| PL 2200/1600 AA | 22320 | 670 | 16000 | 480 | 8000 | 1340 |
| PL 2400/1700 AA | 23715 | 711 | 17000 | 510 | 8500 | 1372 |
| PL 2500/1800 AA | 25110 | 753 | 18000 | 540 | 9000 | 1488 |
| PL 2650/1900 AA | 26505 | 795 | 19000 | 570 | 9500 | 1678 |
| PL 2800/2000 AA | 27900 | 837 | 20000 | 600 | 10000 | 1911 |
| PL 3100/2200 AA | 30690 | 921 | 22000 | 660 | 11000 | 2096 |
| PL 3350/2400 AA | 33480 | 1004 | 24000 | 720 | 12000 | 2294 |
| PL 3600/2600 AA | 36270 | 1088 | 26000 | 780 | 13000 | 2630 |
| PL 3900/2800 AA | 39060 | 1172 | 28000 | 840 | 14000 | 2815 |
| PL 4200/3000 AA | 41850 | 1256 | 30000 | 900 | 15000 | 3218 |

Bearings have been designed with the following parameters :

Concrete on Deck is H40 (fck = 40 Mpa)

Concrete on Piers and Abutment is H30 (fck = 30 Mpa)

Minimum load at SLS and ULS is 50% of Maximum Vertical load at SLS

Movements ± 100/ ± 10 mm

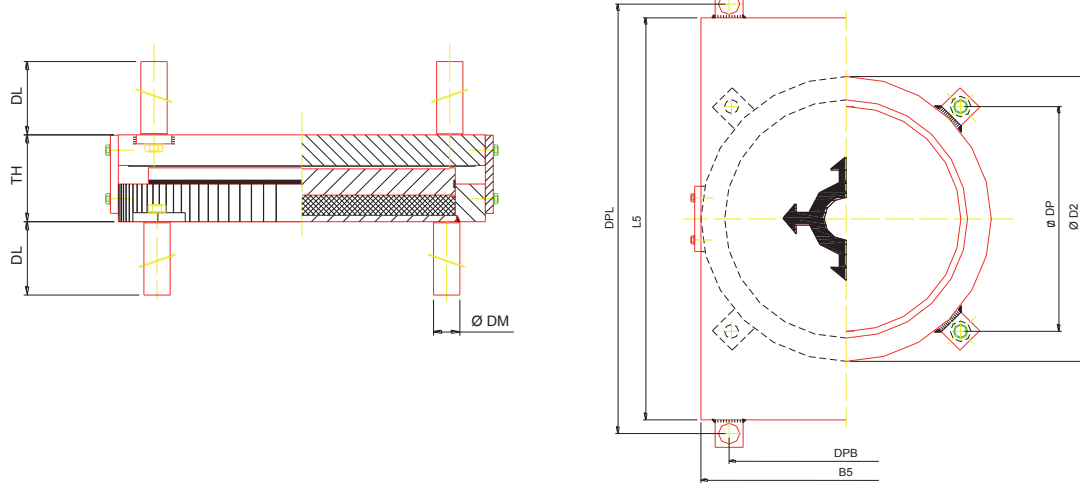
Rotation 0,015 rad

Other models are available under request



Main Dimensions

| BEARING TYPE | Pot Ø D2 (mm) | Total height TH (mm) | Top Plate Dimensions L5 x B5 (mm) | Recommended Pier Ø (mm) | DM Ø (mm) | DL (mm) | DPL (mm) | DPB (mm) | DP (mm) |
|-----------------|---------------|----------------------|-----------------------------------|-------------------------|-----------|---------|----------|----------|---------|
| PL 140/100 AA | 295 | 92 | 487 x 307 | 472 | 40 | 200 | 547 | 217 | 251 |
| PL 280/200 AA | 395 | 103 | 587 x 407 | 632 | 40 | 200 | 647 | 317 | 322 |
| PL 420/300 AA | 476 | 107 | 658 x 478 | 762 | 40 | 200 | 718 | 388 | 379 |
| PL 560/400 AA | 546 | 120 | 717 x 546 | 874 | 40 | 200 | 777 | 456 | 429 |
| PL 700/500 AA | 608 | 127 | 770 x 608 | 973 | 40 | 200 | 830 | 518 | 472 |
| PL 840/600 AA | 680 | 131 | 835 x 680 | 1088 | 40 | 200 | 895 | 590 | 523 |
| PL 1000/700 AA | 720 | 147 | 864 x 720 | 1152 | 40 | 200 | 924 | 630 | 552 |
| PL 1100/800 AA | 784 | 155 | 926 x 784 | 1254 | 40 | 200 | 986 | 694 | 597 |
| PL 1250/900 AA | 818 | 156 | 950 x 818 | 1309 | 40 | 200 | 1010 | 728 | 621 |
| PL 1400/1000 AA | 864 | 158 | 989 x 864 | 1382 | 40 | 200 | 1049 | 774 | 653 |
| PL 1535/1100 AA | 900 | 175 | 1020 x 900 | 1440 | 40 | 200 | 1080 | 810 | 679 |
| PL 1700/1200 AA | 942 | 177 | 1055 x 942 | 1507 | 40 | 200 | 1115 | 852 | 709 |
| PL 1800/1300 AA | 979 | 183 | 1087 x 979 | 1566 | 40 | 200 | 1147 | 889 | 735 |
| PL 1950/1400 AA | 1020 | 185 | 1124 x 1020 | 1632 | 60 | 300 | 1204 | 910 | 778 |
| PL 2100/1500 AA | 1054 | 186 | 1152 x 1054 | 1686 | 60 | 300 | 1232 | 944 | 802 |
| PL 2200/1600 AA | 1106 | 194 | 1199 x 1106 | 1770 | 60 | 300 | 1279 | 996 | 839 |
| PL 2400/1700 AA | 1120 | 194 | 1206 x 1120 | 1792 | 60 | 300 | 1286 | 1010 | 849 |
| PL 2500/1800 AA | 1166 | 196 | 1252 x 1166 | 1866 | 60 | 300 | 1332 | 1056 | 881 |
| PL 2650/1900 AA | 1182 | 212 | 1260 x 1182 | 1891 | 60 | 300 | 1340 | 1072 | 892 |
| PL 2800/2000 AA | 1218 | 213 | 1292 x 1218 | 1949 | 90 | 450 | 1392 | 1088 | 932 |
| PL 3100/2200 AA | 1273 | 221 | 1337 x 1273 | 2037 | 90 | 450 | 1437 | 1143 | 971 |
| PL 3350/2400 AA | 1334 | 223 | 1392 x 1334 | 2134 | 90 | 450 | 1492 | 1204 | 1014 |
| PL 3600/2600 AA | 1400 | 231 | 1452 x 1400 | 2240 | 90 | 450 | 1552 | 1270 | 1061 |
| PL 3900/2800 AA | 1448 | 233 | 1489 x 1448 | 2317 | 90 | 450 | 1589 | 1318 | 1095 |
| PL 4200/3000 AA | 1516 | 252 | 1556 x 1516 | 2426 | 90 | 450 | 1656 | 1386 | 1143 |



The dimensions given are indicative. Desings and dimensions can be modified by VSL-CTT without prior notification.





Form AK/TA-04
rev01

**PROGRAM STUDI S-1 JURUSAN TEKNIK SIPIL FTSP - ITS
LEMBAR KEGIATAN ASISTENSI TUGAS AKHIR (WAJIB DIISI)**

Jurusan Teknik Sipil lt.2, Kampus ITS Sukolilo, Surabaya 601111
Telp.031-5946094, Fax.031-5947284



| | |
|--------------------------|--|
| NAMA PEMBIMBING | : Prof. Dr. Ir. I Gusti Putu Raka |
| NAMA MAHASISWA | : Iwan Pratama Pasak |
| NRP | : 03111240000066 |
| JUDUL TUGAS AKHIR | : Modifikasi Perencanaan Fly Over Lingkar Dalam Barat Surabaya Dengan Menggunakan Balok Box Girder Pratekan |
| TANGGAL PROPOSAL | : 26 Oktober 2016 |
| NO. SP-MMTA | : 067535 / IT2.3.I.1 / PP.05 -02-00 / 2016 |

| NO | TANGGAL | KEGIATAN | | PARAF ASISTEN |
|----|----------|--|----------------------|---------------|
| | | REALISASI | RENCANA MINGGU DEPAN | |
| 15 | 26-09-17 | Kehilangan Gaya Prategang | | R |
| 16 | 10-10-17 | Kehilangan Gaya Prategang | | R |
| 17 | 11-09-17 | Kehilangan Gaya Prategang | | R |
| 18 | 25-09-17 | Perencanaan Tulangan Geser, Momen Nominal | | R |
| 19 | 9-10-17 | Perencanaan Torsi dan Lendutan | | R |
| 20 | 25-10-17 | Perencanaan Kolom (Revisi) | | R |
| 21 | 0-11-17 | Perencanaan Kolom | | R |
| 22 | 21-11-17 | Perencanaan Pondasi & Pile Cap | | R |
| 23 | 11-12-17 | Asistensi Gambar | | R |
| 24 | 18-12-17 | Asistensi Gambar | | R |
| 25 | 15-01-18 | Tulangan Angkat | | R |
| 26 | 6-03-18 | Bearing Pad | | R |
| 27 | 0-03-18 | Gambar | | R |
| 28 | 12-03-18 | Gambar | | R |
| 29 | 0-04-18 | Gambar | | R |
| 30 | 6-04-18 | Gambar | | R |



PROGRAM STUDI S-1 JURUSAN TEKNIK SIPIL FTSP - ITS
LEMBAR KEGIATAN ASISTENSI TUGAS AKHIR (WAJIB DIISI)

Jurusan Teknik Sipil Lt.2, Kampus ITS Sukolilo, Surabaya 601111
Telp.031-5946094, Fax.031-5947284



| | |
|-------------------|--|
| NAMA PEMBIMBING | : Prof. Dr. Ir. I Gusti Putu Raka |
| NAMA MAHASISWA | : Irvan Pratama Pasale |
| NRP | : 03111240000066 |
| JUDUL TUGAS AKHIR | : Modifikasi Perencanaan Fly Over Lingkar Dalam Barat Surabaya Dengan Menggunakan Balok Box Girder Pratchan |
| TANGGAL PROPOSAL | : 26 Oktober 2016 |
| NO. SP-MMTA | : 067535/ IT2. 3.I.1 /pp. 05.02.08/2016 |

| NO | TANGGAL | KEGIATAN | | PARAF ASISTEN |
|----|----------|--|----------------------|---------------|
| | | REALISASI | RENCANA MINGGU DEPAN | |
| 1 | 4-11-16 | Struktur Selunder | | R. |
| 2 | 11-11-16 | Dimensi Box Girder | | R. |
| 3 | 18-11-16 | Perencanaan Tendon Cantilever (Revisi) | | R. |
| 4 | 25-11-16 | Perencanaan Tendon Cantilever (Revisi) | | R. |
| 5 | 9-12-16 | Perencanaan Tendon Cantilever (Revisi) | | R. |
| 6 | 21-01-17 | Perencanaan Tendon Cantilever (Revisi) | | R. |
| 7 | 1-03-17 | Perencanaan Tendon Cantilever | | R. |
| 8 | 17-03-17 | Analisa Struklur setelah menjadi struklur penuh | | R. |
| 9 | 20-03-17 | Perencanaan Tendon Menerus (Revisi) | | R. |
| 10 | 24-03-17 | Perencanaan Tendon Menerus | | R. |
| 11 | 27-03-17 | Perencanaan Tendon Menerus | | R. |
| 12 | 7-04-17 | Perencanaan Tendon Menerus | | R. |
| 13 | 14-04-17 | Perencanaan Tendon Menerus | | R. |
| 14 | 18-04-17 | Kehilangan Gaya Prategang | | R. |
| | | <i>-</i> | | <i>TR</i> |



Form AK/TA-04
rev01

PROGRAM STUDI S-1 JURUSAN TEKNIK SIPIL FTSP - ITS
LEMBAR KEGIATAN ASISTENSI TUGAS AKHIR (WAJIB DIISI)
 Jurusan Teknik Sipil lt.2, Kampus ITS Sukolilo, Surabaya 60111
 Telp.031-5946094, Fax.031-5947284



| | |
|-------------------|--|
| NAMA PEMBIMBING | : DATA IRANATA , ST. MT. PhD |
| NAMA MAHASISWA | : IRVAN PRATAMA PASAK |
| NRP | : 03111240000066 |
| JUDUL TUGAS AKHIR | : Modifikasi Perencanaan Fly Over Lingkar Dalam Bandar Surabaya dengan Menggunakan Balok Box Girder Pratekan |
| TANGGAL PROPOSAL | : 26 Oktober 2016 |
| NO. SP-MMTA | : 067535/IT2-3.I/PP.05.02.00/2016 |

| NO | TANGGAL | KEGIATAN | | PARAF ASISTEN |
|-----|----------|---|----------------------|---------------|
| | | REALISASI | RENCANA MINGGU DEPAN | |
| 1. | 10-11-16 | Struktur setunder | - | |
| 2. | 29-11-16 | Dimensi box girder | - | |
| 3. | 7-12-16 | Perencanaan Tendon Cantilever (Revisi) | - | |
| 4. | 22-02-17 | Perencanaan Tendon Cantilever (Revisi) | - | |
| 5. | 3-03-17 | Perencanaan Tendon Cantilever | - | |
| 6. | 17-03-17 | Analisa Struktur Setelah jadi struktur penutup | - | |
| 7. | 24-03-17 | Perencanaan Tendon menerus (revisi) | - | |
| 8. | 31-03-17 | Perencanaan Tendon menerus (revisi) | - | |
| 9. | 7-04-17 | Perencanaan Tendon menerus | - | |
| 10. | 17-04-17 | Perencanaan Tendon menerus | - | |
| 11. | 15-04-17 | Re Kehilangan Gaya prategang | - | |



PROGRAM STUDI S-1 JURUSAN TEKNIK SIPIL FTSP - ITS

LEMBAR KEGIATAN ASISTENSI TUGAS AKHIR (WAJIB DIISI)

Jurusan Teknik Sipil lt.2, Kampus ITS Sukolilo, Surabaya 60111

Telp.031-5946094, Fax.031-5947284



| | |
|-------------------|---|
| NAMA PEMBIMBING | : DATA IRANATA, ST. MT. PhD |
| NAMA MAHASISWA | : IRVAN PRATAMA PASA/C |
| NRP | : 03111240000066 |
| JUDUL TUGAS AKHIR | : Modifikasi Perencanaan Fly Over Lingkar Dalam Barat Surabaya dengan menggunakan Balok Box Girder Pratekan |
| TANGGAL PROPOSAL | : 26 Oktober 2016 |
| NO. SP-MMTA | : 067535/IT2.3.I/PP.05.02.00/2016 |

| NO | TANGGAL | KEGIATAN | | PARAF ASISTEN |
|----|----------|---|----------------------|---------------|
| | | REALISASI | RENCANA MINGGU DEPAN | |
| 12 | 29-05-17 | Kehilangan gaya prategang | | |
| 13 | 01-09-17 | Kehilangan gaya prategang | | |
| 14 | 25-09-17 | Perencanaan Tulangan Geser, Momen Nominal | | |
| 15 | 0-10-17 | Perencanaan Torsi dan lendutan | | |
| 16 | 25-10-17 | Perencanaan Kolom (Revisi) | | |
| 17 | 0-11-17 | Perencanaan Kolom | | |
| 18 | 21-11-17 | Perencanaan Pendek & Pile Cap | | |
| 19 | 4-12-17 | Asistensi Gambar | | |
| 20 | 11-12-17 | Asistensi Gambar | | |
| 21 | 18-12-17 | Asistensi Gambar | | |
| 22 | 5-01-18 | Asiste Beri Tulangan Angkat | | |
| 23 | 10-01-18 | Bearing part | | |
| 24 | 0-03-18 | Gambar | | |
| 25 | 10-03-18 | Gambar | | |
| 26 | 5-04-18 | Gambar | | |

BIODATA PENULIS



Irvan Pratama Pasak lahir di Maliana pada tanggal 12 Maret 1993, merupakan anak terakhir dari dua bersaudara dari pasangan Domingus dan Regina Tandisole.

Penulis telah menempuh pendidikan formal di SDN 4 No. 56 Rantepao (1999-2005), SMPN 2 Rantepao (2005-2008), dan SMAN 1 Rantepao (2008-2011).

Penulis melanjutkan pendidikan sarjana di Jurusan Teknik Sipil ITS Surabaya angkatan 2012 dan terdaftar dengan NRP 03111240000066. Semasa kuliah penulis mengikuti beberapa kegiatan yang diadakan oleh Himpunan Mahasiswa Sipil (HMS).

Penulis sangat berharap agar Tugas Akhir ini dapat bermanfaat bagi pembaca serta bagi penulis sendiri. Apabila pembaca ingin berkorespondensi.

Penulis dapat dihubungi melalui email: irvanpasak@gmail.com

